

Hauptprogramm



DGHO
DEUTSCHE GESELLSCHAFT FÜR
HÄMATOLOGIE UND ONKOLOGIE



SGMO SSOM SSMO



Congress Center **LEIPZIG**
4. – 8. November **2006**

Gemeinsame Jahrestagung der
Deutschen, Österreichischen und Schweizerischen
Gesellschaften für Hämatologie und Onkologie

www.haematologie-onkologie-2006.de

Zulassung bei

FUO

Fever of Unknown Origin

LEUKOS:
<500/mm³

Ihre Vermutung:
Mykose

Ihre Therapie:
flexibel dosierbar
und fungizid

Ihre Wahl...

AmBisome[®]
Liposomales Amphotericin B

AmBisome[®] Wirkstoff: Amphotericin B **Zusammensetzung:** 1 Durchstechflasche mit 1,326 g Trockensubstanz enthält 50 mg in Liposomen verkapseltes Amphotericin B. Liposomen: Hydriertes (3-sn-Phosphatidyl)cholin aus Sojabohnen, 1,2-Distearoyl-sn-glycero(3)phospho(3)-sn-glycerol, Natriumsalz, Cholesterol, α -Tocopherol. Weitere Bestandteile: Saccharose, Natriumsuccinat 6 H₂O, Salzsäure, Natriumhydroxid. **Anwendungsgebiete:** Behandlung von schweren systemischen und/oder tiefen Mykosen bei Patienten, bei denen konventionelles Amphotericin B wegen einer Nierenschädigung oder aus Unverträglichkeitsgründen nicht angewendet werden darf. Empirische Behandlung von vermuteten Pilzinfektionen bei neutropenischen Patienten mit Fieber. Sekundärtherapie der viszeren Leishmaniose bei immunkompetenten Patienten. Bei Patienten mit geschädigtem Immunsystem kann AmBisome[®] ebenfalls bis zum Vorliegen ausreichender Studiendaten als Sekundärtherapie der VL (Leishmania donovani) angewendet werden. Bei diesen Patienten ist mit dem Auftreten von Rezidiven zu rechnen. Es liegen keine Erfahrungen zur Rezidivprophylaxe vor. **Gegenanzeigen:** Nicht verabreichen bei nachgewiesener Überempfindlichkeit gegenüber einem der Bestandteile. Eine Ausnahme sind vitale Indikationen. **Nebenwirkungen:** Fieber und Schüttelfrost sind die häufigsten Reaktionen nach einer Infusion, die bei Verabreichung der ersten Dosis AmBisome[®] zu erwarten sind, sofern diese nicht durch entsprechende vorab verabreichte Arzneimittel verhindert werden. Seltener Infusionsreaktionen: Rückenschmerzen und/oder Engegefühl in der Brust oder Brustschmerzen, Atembeschwerden, Bronchospasmus, gestörtes Wärmeempfinden, Herzrasen und niedriger Blutdruck. All diese Nebenwirkungen klingen nach Absetzen der Infusion rasch ab. Die genannten Reaktionen treten möglicherweise nicht bei jeder weiteren Dosis erneut auf und können ausbleiben, wenn das Arzneimittel langsamer (über zwei Stunden) verabreicht wird. Nephrotoxizität (definiert als Serumkreatinin-Anstieg um mehr als das zweifache des Ausgangswerts) trat unter AmBisome[®] in zwei doppelblinden Studien etwa halb so oft auf wie unter konventionellem Amphotericin B oder Amphotericin-B-Lipidkomplex. Folgende Nebenwirkungen wurden unter Behandlung mit AmBisome[®] beobachtet: **Sehr häufig** ($\geq 10\%$): Fieber, erhöhte Muskelspannung, Schüttelfrost, verringerte Kaliumkonzentration im Blut, Übelkeit, Erbrechen. **Häufig** ($< 10\%$, $\geq 1\%$): Erhöhung des Kreatininwerts und des Blutharnstoffs, verringerte Blutwerte von Magnesium, Calcium, und Natrium, erhöhte Blutzuckerwerte, Anstieg der alkalischen Phosphatase, erhöhte Bilirubinwerte (erhöhte Gallenfarbstoffwerte, Bilirubinämie), auffällige Leberwerte, Durchfall, Bauchschmerzen, Atembeschwerden, gestörtes Wärmeempfinden, Gefäßerweiterung, Kopfschmerzen, Rückenschmerzen, Brustschmerzen, Herzrasen, niedriger Blutdruck, Hautausschlag. **Gelegentlich** ($< 1\%$, $\geq 0,1\%$): Krämpfe, Bronchospasmus, Blutplättchen-Mangel, allergieartige (anaphylaktoide) Reaktionen. Im Zusammenhang mit Infusionen von AmBisome[®] sehr selten anaphylaktische Reaktionen und Überempfindlichkeit; sehr selten Angioödem. Sehr seltene Fälle von Nierenversagen und Niereninsuffizienz. Nierenfunktionsstörungen sind unter konventionellem Amphotericin B häufig. Zu Beginn der Therapie fällt fast stets die glomeruläre Filtrationsrate ab (um bis zu 40%). Bei der Mehrzahl der Behandelten bleibt sie über die gesamte Therapiedauer erniedrigt. Es kommt zum Anstieg harnpflichtiger Substanzen wie Kreatinin und Harnstoff im Blut. Gelegentlich werden bleibende Nierenfunktionsstörungen über das Therapieende hinaus beobachtet. Bei ca. 20% der Patienten kann es zu einer Erniedrigung der Kaliumkonzentration im Blut (Hypokaliämie) infolge einer renalen Azidose kommen. Eine Verminderung der Zahl und/oder des Hämoglobingehaltes der roten Blutkörperchen (Anämie) ist unter konventionellem Amphotericin B häufig. In der Regel bilden sich die Blutbildveränderungen nach Beendigung der Therapie von selbst zurück. Unter der Therapie mit konventionellem Amphotericin B wurden in seltenen Fällen vorübergehender Hörverlust, Ohrgeräusche (Tinnitus), Sehstörungen und Doppeltsehen beobachtet. Nach Infusion von konventionellem Amphotericin B traten in Einzelfällen erhöhter Blutdruck, Blutdruckabfall, Herzrhythmusstörungen und Herzstillstand auf. **Aufbewahrungshinweis:** Nicht über 25 °C lagern. Das Behältnis im Umkarton aufbewahren, um den Inhalt vor Licht zu schützen. Nicht einfrieren. (Stand: 05/04) **Verschreibungspflichtig.**

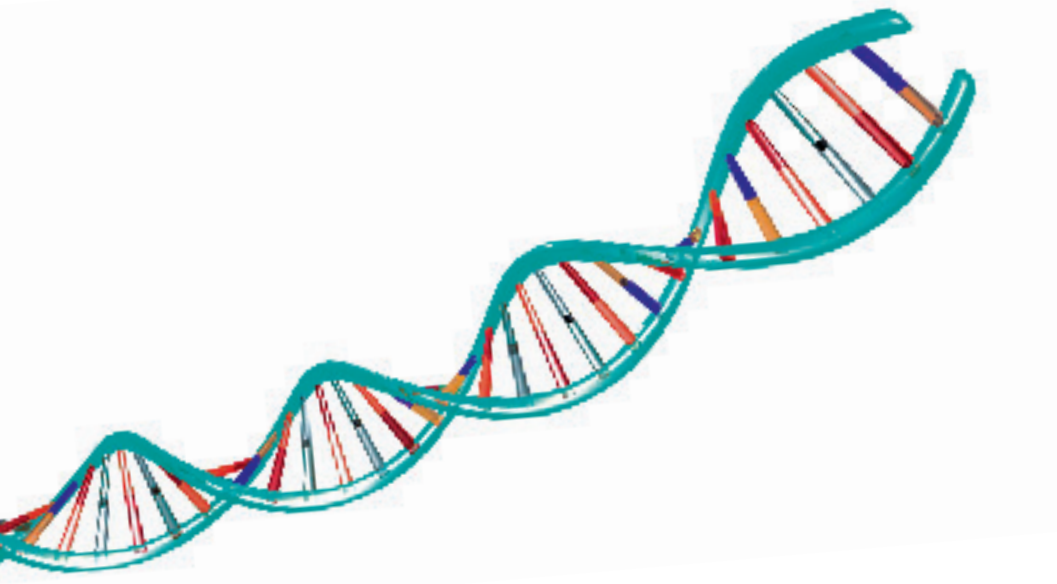
GILEAD Sciences GmbH • Fraunhoferstr. 17 • 82152 Martinsried b. München

GILEAD
Advancing Therapeutics.
Improving Lives.

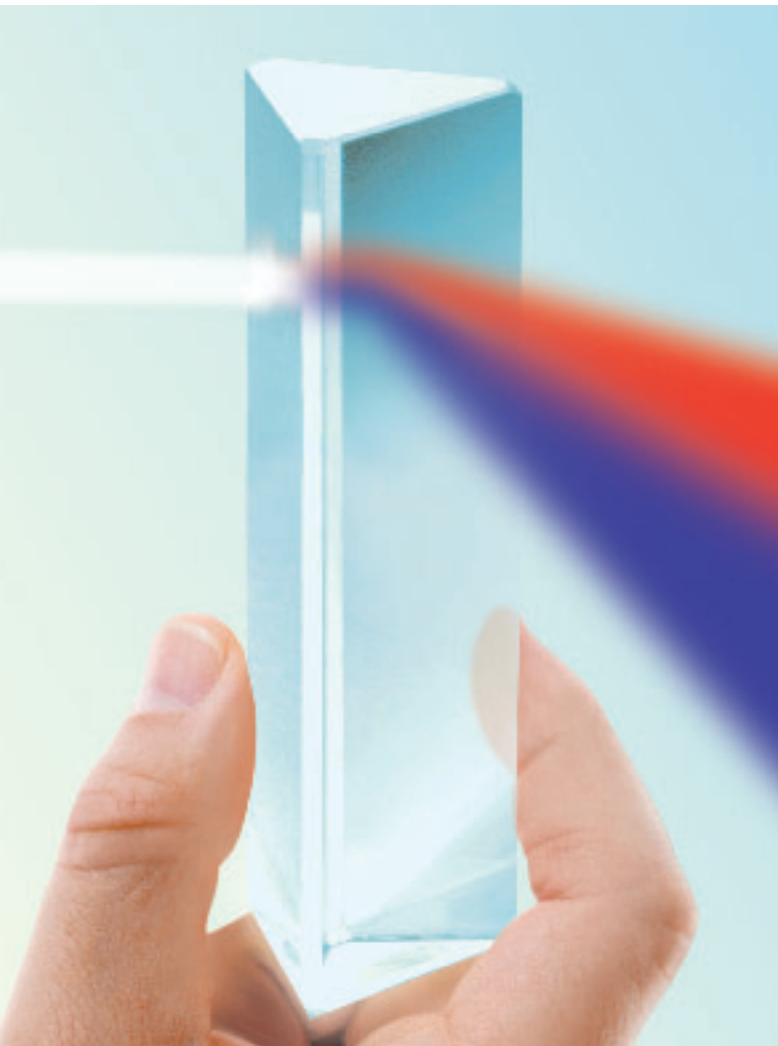
Inhaltsverzeichnis

Herzlich Willkommen	Liste der Vorsitzenden
Komitee	Autorenverzeichnis
Wichtige Adressen	Richtlinien für Autoren
Tagesübersichten	Freie Vorträge
Wissenschaftliches Programm	Posters
Samstag, 4. November 2006	Rahmenprogramm
Sonntag, 5. November 2006	Ausflüge
Montag, 6. November 2006	Anmeldung
Dienstag, 7. November 2006	Allgemeine Informationen
Mittwoch, 8. November 2006	Sponsoren
Posters	Ausstellerliste
Montag, 6. November 2006	Ausstellungsplan
Dienstag, 7. November 2006	Raumübersicht
Patiententag	Stadtplan
Pflegetagung	

Gemeinsame Jahrestagung der Deutschen, Österreichischen und
Schweizerischen Gesellschaften für Hämatologie und Onkologie 2007
6. – 9. Oktober 2007
Basel / Schweiz



[Zukunftsarbeit] hat ein Ziel: Chancen ermöglichen!



 **ERYPO**[®]
Epoetin alfa

 **VELCADE**[®]
Bortezomib

Biotech

Herzlich Willkommen

Liebe Freunde,



wir begrüßen Sie recht herzlich zur Gemeinsamen Jahrestagung der Deutschen, Österreichischen und Schweizerischen Gesellschaften für Hämatologie und Onkologie. Leipzig, als Kulturstadt, Handelsstadt und Sportstadt seit vielen Jahrhunderten bekannt, wird sich bemühen, Ihren Aufenthalt so angenehm wie nur möglich zu gestalten. Ich bin mir sicher, dass auch Sie, wie ich selber, nach kurzer Zeit von dieser Stadt begeistert sein werden. Ein aktuelles und für möglichst viele Kollegen interessantes Programm wird Ihnen in einer schönen Kulisse an der neuen Messe geboten. Es werden auch ansprechende Inhalte für Patienten, Selbsthilfegruppen und Angehörige (Samstag) und für das Pflegepersonal (während der ganzen Jahrestagung) nicht fehlen. Nutzen Sie auch die Gelegenheit zum Besuch der Industrieausstellung und der zahlreichen Satellitensymposien.

Nach einiger Zeit der Stagnation befindet sich die Hämatologie und Onkologie, wie die gesamte Medizin, in einer deutlichen Umbruchphase. Neue biochemische und molekularbiologische Methoden haben zu neuen Erkenntnissen in der Pathogenese und zu neuen Möglichkeiten in der Behandlung geführt. Nicht nur die Zerstörung der Tumorzellen durch spezifische molekulare Therapien stehen heute im Vordergrund, sondern auch andere für das Tumorwachstum wichtige Faktoren sind Ziel der Behandlung geworden. So hat die Hemmung der Angiogenese eine, bis vor wenigen Jahren noch ungeahnte Entwicklung erlangt. Auch der Einsatz immunologischer Mechanismen zur Tumorzellzerstörung ist heute Realität geworden. Diese und andere Faktoren haben eine ausserordentliche Dynamik erzeugt, die wir Ihnen während der Jahrestagung übermitteln möchten.

Es sollen aber nicht nur die Onkologie und onkologische Hämatologie vertreten sein. Ein besonderes Augenmerk sollen auch die Gerinnung, die Fortbildung junger Kollegen und die Diagnostik bekommen. Qualität und Zusammenarbeit zwischen Kollegen aus dem niedergelassenen Bereich, aus kleinen und grossen Versorgungshäusern und aus anderen Fachgebieten nehmen eine extrem wichtige Stellung ein. Dementsprechend werden auch nationale und europäische Netzwerke gebührend vertreten sein.

Dem rasanten klinischen Fortschritt stehen Grenzen des ökonomischen Wachstums und des wachsenden Bürokratismus gegenüber. Neue Direktiven erschweren die klinische Forschung, insbesondere wenn entsprechende Finanzierungsmöglichkeiten nicht bedacht werden. Absprachen zwischen Politikern und Ärzten sind zum Wohle unserer Patienten zwingend erforderlich.

Alle diese Probleme werden sich in der Jahrestagung 2006 niederschlagen und Ihnen helfen, die Herausforderungen der neuen Zeit zu meistern. Ich wünsche Ihnen, dass Sie aus der Jahrestagung für sich das Optimale herausholen, seien es Neuigkeiten, Kooperationen oder neue Ideen für die Zukunft. Ich bin mir sicher, dass dank Ihrer aktiven Teilnahme der Kongress ein Erfolg und Höhepunkt in der Hämatologie und Onkologie im Jahre 2006 werden wird.

Das ganze Organisationskomitee und ich heissen Sie ganz herzlich in Leipzig willkommen.

A handwritten signature in blue ink, which appears to read "Prof. Dietger Niederwieser". The signature is written in a cursive, somewhat stylized script.

Ihr
Prof. Dietger Niederwieser

Gamunex® 10%



i.v. Immunglobulinlösung

Besuchen Sie uns an
unserem Stand 623

Die **Beweise** sprechen für sich



Entscheidend Anders.

- Gamunex® 10% ist ■ hoch wirksam
■ intensiv klinisch geprüft
■ anwenderfreundlich und gut verträglich

www.gamunex.de
www.talecris.de

*Gamunex® 10% kann einmalig bis zu 6 Monate bei Raumtemperatur aufbewahrt werden.

Gamunex® 10%

Wirkstoff: Normales Immunglobulin G vom Menschen zur intravenösen Anwendung

Zusammensetzung: arzneilich wirksame Bestandteile: 1 ml Gamunex® 10% enthält 100 mg Protein mit einem IgG-Anteil von mindestens 98% (durchschnittlicher IgA-Gehalt: 0,059 mg/ml; max.: 0,084 mg/ml; n=5; IgG-Subklassen: IgG₁ 62,8%, IgG₂ 29,7%, IgG₃ 4,8%, IgG₄ 2,7%). Sonstige Bestandteile: Glycerin, Wasser für Injektionszwecke. Anwendungsgebiete: Substitutionsbehandlung bei a) primären Immundefizienzen wie kongenitale Agammaglobulinämie und Hypogammaglobulinämie, allgemeine, variable Immundefizienzen, schwere, kombinierte Immundefizienzen, Wiskott-Aldrich-Syndrom, b) bei chronisch-lymphatischer Leukämie (CLL) oder Multiplem Myelom mit schwerer sekundärer Hypogammaglobulinämie und rezidivierenden Infektionen, c) Kinder mit AIDS und rezidivierenden schweren bakteriellen Infektionen. Immunmodulation: Idiopathische (autoimmune) thrombozytopenische Purpura (ITP) bei Erwachsenen und Kindern mit hohem Blutungsrisiko oder vor chirurgischen Eingriffen zur Korrektur der Thrombozytenzahl, Kawasaki-Syndrom (in Verbindung mit einer Acetylsalicylsäure-Therapie), Guillain-Barré-Syndrom, allogene Knochenmarktransplantation. Gegenanzeigen: Überempfindlichkeit gegen homologe Immunglobuline oder sonstige Bestandteile des Produktes, insbesondere bei Patienten mit äußerst selten vorkommendem selektivem IgA-Mangel, wenn der Patient anti-IgA-Antikörper hat. Nebenwirkungen: Gelegentlich: Schüttelfrost, Kopfschmerz, Schwindel, Fieber, Übelkeit und Erbrechen, Durchfall, niedriger Blutdruck, allergische Reaktionen wie Nesselsucht, Hautausschlag und Juckreiz, Gelenkschmerzen, Schwäche, leichte Rückenschmerzen und Reaktionen an der Einstichstelle. Selten: Überempfindlichkeitsreaktionen mit plötzlichem Blutdruckabfall und anaphylaktische Reaktionen, in Einzelfällen bis zum anaphylaktischen Schock, vorübergehende Hautreaktionen. In Einzelfällen: vor allem bei hochdosierter Anwendung von Immunglobulinen reversible Zeichen einer aseptischen Meningitis wie starke Kopfschmerzen, Übelkeit, Erbrechen, Fieber, Nackensteifigkeit oder Bewusstseinsstörung; Beeinträchtigung der Nierenfunktion mit Erhöhung des Serumkreatinins bis hin zum akuten Nierenversagen; reversible hämolytische Anämie/Hämolyse, thromboembolische Ereignisse bei älteren, übergewichtigen oder schwer hypovolämischen Patienten, Patienten mit ischämischer Gefäßerkrankung. Packungsgrößen: 1 g in 10 ml (N1), 5 g in 50 ml (N1), 10 g in 100 ml (N1), 20 g in 200 ml (N1); Klinikpackungen. Verschreibungspflichtig. Stand der Information: D/2 (April/2005)

Talecris
BIOTHERAPEUTICS

Tagungspräsident

Prof. Dietger Niederwieser
Universitätsklinikum AöR
Leipzig / Deutschland

Wissenschaftliche Sekretäre

Dr. Haifa Al-Ali
PD Dr. Nadezda Basara
Dr. Thoralf Lange
Dr. Wolfram Pönisch
Dr. Martin Raida

Universitätsklinikum AöR
Johannisallee 32 A
D-04103 Leipzig / Deutschland
Tel. +49 341 971 30 50
Fax +49 341 971 30 59

Wissenschaftliches Komitee

Prof. D. Niederwieser (Leipzig)
Prof. H.J. Schmoll (Halle)

Lokales Organisationskomitee

Prof. E. Brähler (Leipzig)
Prof. M. Deininger (Portland, OR)
Prof. V. Diehl (Heidelberg)
Prof. G. Dölken (Greifswald)
Prof. B. Dörken (Berlin)
Prof. G. Ehninger (Dresden)
Prof. A. Franke (Magdeburg)
Prof. M. Freund (Rostock)
Prof. N. Frickhofen (Wiesbaden)
Prof. R. Hehlmann (Mannheim)
Prof. M. Herold (Erfurt)
Prof. A. Ho (Heidelberg)
Prof. D. Hoelzer (Frankfurt)
Dr. F.-A. Hoffmann (Leipzig)
Prof. Ch. Huber (Mainz)
Prof. E. Jäger (Frankfurt)
Prof. H. Link (Kaiserslautern)
Prof. M. Löffler (Leipzig)
Prof. G. Maschmeyer (Potsdam)
Prof. C. Nerl (München)
Prof. A. Rodloff (Leipzig)
Prof. R. Schwarz (Leipzig)
Dr. A. Schwarzer (Leipzig)
Prof. R. Schwerdtfeger (Wiesbaden)
Prof. E. Thiel (Berlin)
Prof. J. Thiery (Leipzig)
Prof. M. Wilhelm (Nürnberg)

Wissenschaftliches Komitee und Abstractbegutachter

H. Al-Ali, R. Andreesen, C. Aul,
H.-H. Bartsch, W.E. Berdel,
P. Bettelheim, C. Bokemeyer,
E. Brähler, M. Cross, M. Deininger,
C. Dittrich H. Döhner, G. Dölken,
B. Dörken, J. Drach, U. Dühsen,
H. Einsele, B. Emmerich, M. Fey,
C. Fonatsch, A. Franke, M. Freund,
N. Frickhofen, R. Fuchs, H. Gadner,
A. Gaiger, A. Ganser, G. Gastl,
H. Gisslinger, W. Graninger, A. Gratwohl,
R. Greil, H. Greinix, M. Hallek,
R. Hehlmann, H. Heimpel, M. Herold,
R. Herrmann, B. Hertenstein,
W. Hiddemann, A.D. Ho, K. Höffken,
D. Hoelzer, E. Holler, U. Jäger,
R. Joss, L. Kanz, U. Keilholz,
M. Kneba, A. Knuth, C.-H. Köhne,
H.-J. Kolb, O. Krieger, T. Lange,
K. Lechner, H. Link, W. Linkesch,
M. Lübbert, W.-D. Ludwig, D. Lutz,
J. Meran, J. Nadig, C. Nerl,
A. Neubauer, N. Niederle, D. Niederwieser,
I. Pabinger, C. Peschel, A. Petzer,
M. Pfreundschuh, R. Pirker, W. Pönisch,
K. Possinger, M. Raida, P. Reinhardt,
J. Ritter, C. Rochlitz, A. Rodloff, H. Samonigg,
W. Scheithauer, N. Schmitz,
H.-J. Schmoll, H. Schrezenmeier,
R. Schwarz, R. Schwerdtfeger, S. Seeber,
C. Sillaber, J.-C. Simon, J. Thaler, E. Thiel,
J. Thiery, A. Tichelli, A. Tobler,
L. Trümper, M. Wilhelm, E. Wöll,
A.R. Zander, C. Zielinski

Kennen Sie uns schon?



Unsere Vision ist es, schwerwiegende Erkrankungen beherrschbar zu machen. In enger Kooperation mit medizinischen Zentren arbeiten wir an innovativen Therapieoptionen, die lebensbedrohliche Immun- und Krebserkrankungen in kontrollierbare chronische Leiden überführen.

www.celgene.de

Celgene ist ein globales biopharmazeutisches Unternehmen, das 1986 in New Jersey, USA, gegründet wurde. Celgene erforscht, entwickelt und vertreibt innovative Arzneimittel, hauptsächlich zur Behandlung von Krebserkrankungen und Krankheiten des Immunsystems. In Deutschland ist Celgene seit 2006 durch die Celgene GmbH in München vertreten.

Celgene GmbH
Joseph-Wild-Strasse 20
81829 München

www.celgene.de
info@celgene.de

Wichtige Adressen

Tagungsort

Congress Center Leipzig
Messe-Allee 1
D-04356 Leipzig / Deutschland
www.ccl-leipzig.de
Tel. +49 341 41 45 52 52
Fax +49 341 41 45 52 53

Tagungspräsident

Prof. Dietger Niederwieser
Universitätsklinikum AÖR
Johannisallee 32 A
D-04103 Leipzig / Deutschland
Tel. +49 341 971 30 50
Fax +49 341 971 30 59
E-mail dietger.niederwieser@medizin.uni-leipzig.de

Koordination Patiententag

Dr. Ulrike Holtkamp
Deutsche Leukämie- und Lymphom-Hilfe e.V.
Thomas-Mann-Strasse 40
D-53111 Bonn / Deutschland
Tel. +49 228 33 88 9 200
Fax +49 228 33 88 9 222
E-mail u.holtkamp@leukaemie-hilfe.de

Koordination Pflorgetagung

Rolf Bäumer
Konferenz Onkologischer Kranken- und
Kinderkrankenpflege (KOK)
c/o Deutsche Krebsgesellschaft
Steinlestrasse 6
D-60596 Frankfurt a.M. / Deutschland
Tel. +49 69 6300 96 0
Fax +49 69 6300 96 66
E-mail baeumer@kok-krebsgesellschaft.de

Administratives Sekretariat

AKM Congress Service
Postfach
CH-4005 Basel / Schweiz
Tel. +41 61 686 77 11
Fax +41 61 686 77 88
E-mail info@akm.ch
www.haematologie-onkologie-2006.de

Ausstellung

AKM Congress Service
Ausstellungsabteilung
Postfach
CH-4005 Basel / Schweiz
Tel. +41 61 686 77 66
Fax +41 61 686 77 88
E-mail exhibition@akm.ch

Hotelvermittlung und Ausflüge

AKM Travel AG
Messeplatz 10
Postfach
CH-4016 Basel / Schweiz
Tel. +41 61 690 94 11
Fax +41 61 690 94 14
E-mail info@akmtravel.ch

Programmübersicht

Samstag, 4. November 2006

	Ebene 0				Ebene 1				Ebene 2	
	Saal 1	Mehrzweckfläche 1	Mehrzweckfläche 2	Mehrzweckfläche 3	Mehrzweckfläche 4	Saal 2	Saal 3	Saal 4	Saal 5	Saal 10
7:00										
7:30										
8:00										
8:30										
9:00			9:00–12:00	9:00–12:00			9:00–12:00		9:00–12:00	9:00–12:00
9:30			Arbeitskreis Infektionen	Arbeitskreis Refraktäre Hochmaligne Lymphome			Arbeitskreis Stammzellbiologie und -therapie		Arbeitskreis Palliativmedizin	Arbeitskreis DRG
10:00	9:45–12:15					10:00–12:00				
10:30	Patiententag					Arbeitskreis CESAR		10:30–12:00		
11:00								Arbeitskreis Psycho-Onkologie		
11:30										
12:00										
12:30										
13:00										
13:30	13:15–15:00									
14:00	Patiententag					14:00–15:30	14:00–15:30	14:00–15:00		
14:30						Fortbildung Stammzelltransplantation	Fortbildung Palliativmedizin	Symposium Budgetverhandlungen		
15:00										
15:30										
16:00		16:00–18:00			16:00–18:00	15:45–17:15	15:45–17:15	16:00–18:00	16:00–18:00	16:00–18:00
16:30		Patiententag			Patiententag	Fortbildung Akute Leukämien	Fortbildung Hämostaseologie	Patiententag	Patiententag	Patiententag
17:00										
17:30										
18:00										
18:30										
19:00					18:30					
19:30					Konzert in der Thomaskirche					
20:00										
20:30					20:00					
21:00					Besuch des Museums der Bildenden Künste					

Programmübersicht

Samstag, 4. November 2006

Ebene 2							Ebene 0			
Saal 11	Saal 6 / 7	Saal 14 / 15	Saal 9	Saal 12	Saal 8	Saal 13	Bankettraum 2	Bankettraum 3		
									7:00	
									7:30	
									8:00	
									8:30	
									9:00	
9:00–12:00 Arbeitskreis Nicht- onkologische Hämatologie									9:30	
									10:00	
									10:30	
									11:00	
									11:30	
									12:00	
									12:30	
								13:00		
								13:30		
								14:00		
								14:30		
								15:00		
								15:30		
								16:00		
16:00–18:00 Patiententag	16:00–18:00 Patiententag	16:00–18:00 Patiententag	16:00–18:00 Patiententag	16:00–18:00 Patiententag	16:00–18:00 Patiententag	16:00–18:00 Patiententag	16:00–18:00 Patiententag	16:00–18:00 Patiententag	16:30	
									17:00	
									17:30	
									18:00	
				18:30					18:30	
				Konzert in der Thomaskirche						19:00
									19:30	
				20:00					20:00	
				Besuch des Museums der Bildenden Künste						20:30
									21:00	

Programmübersicht

Sonntag, 5. November 2006

	Halle 2	Ebene 0			Ebene 1				
	Plenarsaal	Saal 1	Mehrzweckfläche 1/2	Mehrzweckfläche 3	Mehrzweckfläche 4	Saal 2	Saal 3	Saal 4	
7:00									
7:30									
8:00		8:00-9:30	8:00-9:30	8:00-9:30	8:00-9:30	8:00-9:30		8:00-9:30	
8:30		Fortbildung Sarkome	Fortbildung Nierenzell- karzinom	Fortbildung Bronchus- karzinom	Fortbildung Stammzell- transplantation	Fortbildung Hämosta- seologie		Fortbildung Prostata- karzinom und Blase	
9:00									
9:30		9:30-11:00	9:30-11:00	9:30-11:00	9:30-11:00	9:30-11:00	9:30-17:00 Pflegetagung	9:30-11:00	
10:00		Fortbildung ZNS Tumoren	Fortbildung Kolorektales- Karzinom	Fortbildung Multiple Myelom	Fortbildung Mamma- karzinom	Fortbildung MDS			Fortbildung Palliativmedizin
10:30									
11:00									
11:30		11:30-13:00	11:30-13:00	11:30-13:00		11:30-13:00		11:30-13:00	
12:00		Satelliten- symposium Wyeth	Satelliten- symposium Genzyme	Satelliten- symposium Novartis		Satelliten- symposium Roche		Satelliten- symposium Sanofi-Aventis	
12:30									
13:00									
13:30	13:30-15:00	13:30-15:00	13:30-15:00	13:30-15:00	13:30-15:00	13:30-15:00		13:30-15:00	
14:00	Satelliten- symposium Celgene	Satelliten- symposium Pfizer	Satelliten- symposium Roche	Satelliten- symposium Novartis	Satelliten- symposium Lilly	Satelliten- symposium Ortho Biotech		Satelliten- symposium Ribosepharm	
14:30									
15:00									
15:30	15:30-17:00	15:30-17:00	15:30-17:00	15:30-17:00	15:30-17:00	15:30-17:00		15:30-17:00	
16:00	Satelliten- symposium Schering	Satelliten- symposium Bayer	Satelliten- symposium Merck	Satelliten- symposium Bioevision	Satelliten- symposium Alexion	Satelliten- symposium Ortho Biotech		Satelliten- symposium Roche	
16:30									
17:00									
17:30									
18:00	18:00-19:30								
18:30	Eröffnung								
19:00									
19:30									
20:00				19:30					
20:30				Empfang in der Ausstellung					
21:00									

Programmübersicht

Sonntag, 5. November 2006

Ebene 1	Ebene 2							
Saal 5	Saal 10	Saal 11	Saal 6 / 7	Saal 14 / 15	Saal 9	Saal 12		
							7:00	
							7:30	
							8:00	
8:30–12:30 Fortbildung Mikroskopiekurs	8:00–9:30 Fortbildung Akute Leukämien	8:00–9:30 Symposium Integration psycho- onkologischer Versorgungs- strukturen					8:30	
							9:00	
	9:30–11:00 Symposium Antibodies					9:30–11:00 Workshop Arzt-Patienten- Kommunikation	9:30	
							10:00	
			11:30–13:00 Symposium Versorgungs- forschung in der Onkologie				10:30	
							11:00	
							11:30	
							12:00	
							12:30	
							13:00	
							13:30	
13:30–15:00 Satelliten- symposium Bristol-Myers Squibb			14:00–17:00 ADHOK Mitglieder- versammlung				13:30	
							14:00	
							14:30	
							15:00	
15:30–17:00 Satelliten- symposium Shire							15:30	
							16:00	
							16:30	
							17:00	
							17:30	
							18:00	
							18:30	
							19:00	
			19:30				19:30	
			Empfang in der Ausstellung					
							20:00	
							20:30	
							21:00	

Programmübersicht

Montag, 6. November 2006

	Halle 2	Ebene 0		Ebene 1				Ebene 2	
	Plenarsaal	Saal 1	Mehrzweckfläche 1/2	Mehrzweckfläche 3/4	Saal 2	Saal 3	Saal 4	Saal 5	Saal 10
7:00									
7:30									7:00–8:00 Meet the Expert Palliativmedizin
8:00		8:00–9:30	8:00–9:30	8:00–9:30	8:00–9:30	8:00–12:00	8:00–9:30	8:00–9:30	8:00–9:30
8:30		Freie Vorträge NHL – Biologie	Fortbildung Multiples Myelom	Fortbildung Mamma- karzinom	Fortbildung Sarkome	Pflegetagung	Freie Vorträge Akute lymphotische Leukämien	Freie Vorträge Bronchus- karzinom	Freie Vorträge Nicht-maligne Hämatologie
9:00									
9:30									
10:00	10:00–12:00								
10:30	Plenarsitzung Beste Abstracts								
11:00									
11:30									
12:00									
12:30	12:15–13:45	12:15–13:45	12:15–13:45	12:15–13:45	12:15–13:45	12:15–13:45	12:15–13:45	12:15–13:45	12:15–13:45
13:00	Satelliten- symposium Roche	Satelliten- symposium Mundipharma	Satelliten- symposium Merck Pfizer	Satelliten- symposium AstraZeneca	Satelliten- symposium Pharmion	Satelliten- symposium Amgen	Satelliten- symposium Lilly	Satelliten- symposium Sanofi-Aventis	Satelliten- symposium Gilead
13:30									
14:00		14:00–15:30	14:00–15:30	14:00–15:30	14:00–15:30	14:00–16:00	14:00–15:30	14:00–15:30	
14:30		Freie Vorträge Chronische Leukämien	Fortbildung Prostata- karzinom und Blase	Fortbildung Kolonreales Karzinom	Fortbildung ZNS Tumoren	Pflegetagung	Freie Vorträge Akute Promyelozyten- leukämie	Freie Vorträge Immunologie (Immun- modulation)	
15:00									
15:30									
16:00			15:45–17:15	15:45–17:15	15:45–17:15		15:45–17:15	15:45–17:35	15:45–17:15
16:30			Fortbildung MDS	Fortbildung Nierenzell- karzinom	Fortbildung Bronchus- karzinom		Freie Vorträge Allogene Stammzell- transplantation	Freie Vorträge Stammzell- biologie 1	Freie Vorträge Chronische lymphatische Leukämie
17:00									
17:30									
18:00	18:00–19:30								
18:30	Posterbegehung								
19:00									
19:30									
20:00									
20:30									
21:00									

Programmübersicht

Montag, 6. November 2006

Ebene 2							Ebene 0		
Saal 11	Saal 6 / 7	Saal 14 / 15	Saal 9	Saal 12	Saal 8	Saal 13	Bankettraum 2	Bankettraum 3	
7:00–8:00 Meet the Expert NHL	7:00–8:00 Meet the Expert Bronchuskarzinom	7:00–8:00 Meet the Expert AML	7:00–8:00 Meet the Expert Mamma- karzinom	7:00–8:00 Meet the Expert Nierenzell- karzinom	7:00–8:00 Meet the Expert Zerebrale Lymphome	7:00–8:00 Meet the Expert Gallengang und Klutzkin-Tumor	7:00–8:00 Meet the Expert Ernährung / Tumorkachexie	7:00–8:00 Meet the Expert Sport und Krebs	7:00
8:00–9:30 Freie Vorträge Ösophagus / Magen- karzinom									7:30
									8:00
									8:30
									9:00
									9:30
									10:00
									10:30
									11:00
									11:30
									12:00
12:15–13:45 Satelliten- symposium MSD Sharp & Dohme									12:30
									13:00
									13:30
									14:00
									14:30
									15:00
									15:30
									16:00
									16:30
									17:00
									17:30
									18:00
									18:30
									19:00
									19:30
									20:00
									20:30
									21:00

Programmübersicht

Dienstag, 7. November 2006

	Halle 2	Ebene +1	Ebene 0		Ebene 1				Ebene 2
	Plenarsaal	Saal 1	Mehrzweckfläche 1/2	Mehrzweckfläche 3/4	Saal 2	Saal 3	Saal 4	Saal 5	Saal 10
7:00									
7:30									
8:00		7:30–8:30 DGHO Mitglieder- versammlung							
8:30	8:30–10:00	8:30–10:00	8:30–10:00	8:30–10:00	8:30–10:00	8:30–10:00	8:30–10:00	8:30–10:00	
9:00	Symposium Targeted therapies	Symposium Infektionen	Symposium SHG-OSHO	Freie Vorträge Myelo- proliferatives Syndrom	Freie Vorträge Multiple Myelom	Freie Vorträge Chronische lymphatische Leukämie	Freie Vorträge Graft-Versus- Host-Disease	Freie Vorträge Onkologie 1	
9:30									
10:00	10:00–12:00								
10:30	Plenarsitzung Hematologies the European dimension								
11:00									
11:30									
12:00									
12:30		12:15–13:45	12:15–13:45	12:15–13:45	12:15–13:45	12:15–13:45	12:15–13:45	12:15–13:45	12:15–13:45
13:00		Satelliten- symposium Roche	Satelliten- symposium Pfizer	Satelliten- symposium Novartis	Satelliten- symposium The Binding Site	Satelliten- symposium Art Temp	Satelliten- symposium Sirtex Medical	Satelliten- symposium Essex	Satelliten- symposium Therakos
13:30									
14:00	14:00–15:30	14:00–15:30	14:00–15:30	14:00–15:30	14:00–15:30	14:00–15:30	14:00–15:30		
14:30	Symposium Tumor- immunologie	Symposium Cancer stem cells	Symposium Autoimmun- hämolytische Anämien	Freie Vorträge NHL	Freie Vorträge Karzinom des Pankreas, Colon und Rektum	Freie Vorträge Graft-Versus- Tumor	Freie Vorträge Immunologie 2		
15:00									
15:30									
16:00	15:45–17:15	15:45–17:15	15:45–17:15	15:45–17:15	15:45–17:15	15:45–17:15			
16:30	Symposium Cellular therapeutics	Symposium Lymphoma biology	Symposium Tyrosinkinase- hemmer	Freie Vorträge AML Biologie	Freie Vorträge Urogenital tumoren / Sarkome / Melanom	Freie Vorträge Stammzell- biologie 2			
17:00									
17:30									
18:00									
18:30	18:00–19:30								
19:00	Posterbegehung								
19:30									
20:00					20:00				
20:30					Bankett in der Glashalle				
21:00									

Programmübersicht

Dienstag, 7. November 2006

Ebene 2							Ebene 0		
Saal 11	Saal 6 / 7	Saal 14 / 15	Saal 9	Saal 12	Saal 8	Saal 13	Bankettraum 2	Bankettraum 3	
									7:00
									7:30
7:30-8:30 ÖGHO Mitglieder- versammlung									8:00
									8:30
									9:00
									9:30
									10:00
									10:30
									11:00
									11:30
									12:00
									12:30
									13:00
									13:30
									14:00
									14:30
									15:00
									15:30
									16:00
									16:30
									17:00
									17:30
									18:00
									18:30
									19:00
									19:30
									20:00
				20:00					20:30
				Bankett in der Glashalle					21:00

Programmübersicht

Mittwoch, 8. November 2006

	Ebene 0		Ebene 1				Ebene 2		
	Saal 1	Mehrzweckfläche 2	Mehrzweckfläche 3/4	Saal 2	Saal 3	Saal 4	Saal 5	Saal 10	Saal 11
7:00									
7:30						7:00–8:00 Meet the Expert Multiples Myelom	7:00–8:00 Meet the Expert Chronische myeloische Leukämie	7:00–8:00 Meet the Expert Neuroendokrine Tumore	7:00–8:00 Meet the Expert Fortgeschrittene Melanome
8:00									
8:30	8:30–10:00	8:30–10:00	8:30–10:00	8:30–10:00	8:30–10:00	8:30–10:00			
9:00	Symposium Tumor- vakzinierung	Symposium Neue Marker bei Leukämien	Symposium Ösophagus Magen- karzinom	Freie Vorträge Hodgkin und Non-Hodgkin Lymphome	Freie Vorträge Supportive Therapie	Freie Vorträge Qualitäts- management			
9:30									
10:00									
10:30	10:30–12:30	10:30–12:30	10:30–12:30	10:30–12:30	10:30–12:30	10:30–12:30			
11:00	Symposium Evidenz- basierten Medizin	Symposium Kompetenz- netzes Maligne Lymphome	Symposium Stammzellen	Freie Vorträge MDS und AML	Freie Vorträge Onkologie 2	Freie Vorträge Immunologie 3			
11:30									
12:00									
12:30	Schlussitzung								
13:00									
13:30									
14:00									
14:30									
15:00									
15:30									
16:00									
16:30									
17:00									
17:30									
18:00									
18:30									
19:00									
19:30									
20:00									
20:30									
21:00									

Programmübersicht

Mittwoch, 8. November 2006

Ebene 2						Ebene 0		
Saal 6 / 7	Saal 14 / 15	Saal 8	Saal 9	Saal 12	Saal 13	Bankettraum 2	Bankettraum 3	
7:00-8:00 Meet the Expert Virale Infektionen in der Hämatologie	7:00-8:00 Meet the Expert Thromboembolische Komplikationen bei Tumorpatienten	7:00-8:00 Meet the Expert Pankreatobiliäre Tumoren	7:00-8:00 Meet the Expert TK-Inhibitoren bei Bronchialkarzinom	7:00-8:00 Meet the Expert Osteosarkome und Ewing Tumoren	7:00-8:00 Meet the Expert Genetisch predeterminierte kolorektale Tumore	7:00-8:00 Meet the Expert CVP Syndrom	7:00-8:00 Meet the Expert Hepatozelluläres Karzinom	7:00
								7:30
								8:00
								8:30
								9:00
								9:30
								10:00
								10:30
								11:00
								11:30
								12:00
								12:30
								13:00
								13:30
								14:00
								14:30
								15:00
								15:30
								16:00
								16:30
								17:00
								17:30
								18:00
								18:30
								19:00
								19:30
								20:00
								20:30
								21:00

09:00–12:00	Mitgliederversammlung Arbeitskreis Infektionen	Mehrzweckfläche 2
09:00–12:00	Arbeitskreis Refraktäre Hochmaligne Lymphome <i>Vorsitz: I. Schmidt-Wolf (Bonn, D)</i>	Mehrzweckfläche 3
09:00	Begrüßung I. Schmidt-Wolf* (Bonn, D)	2
09:05	Molekulare Grundlagen: Molekularpathologie bei refraktären hochmalignen Lymphomen I. Gütgemann* (Bonn, D)	2a
09:25	Molekulare Veränderungen bei PCNSL M. Deckert* (Köln, D)	2b
09:50	Relevanz der PET bei Lymphomen – Stand 2006 R. Naumann* (Dresden, D)	2c
10:00	Primärtherapie: Follikuläres Lymphom HD2000 mit 1, 3 oder 6 R plus CHOP in der Primärtherapie M. Hensel* (Heidelberg, D)	2d
10:15	Rezidivtherapie: Ifosfamid in der Rezidivtherapie M. Reiser* (Köln, D)	2e
10:25	R-DHAP mit Rituximab-Erhaltung bei refraktärem oder rezidiviertem Lymphom U. Mey*, K. Orlopp*, H. Popp*, J. Strehl*, I. Schmidt-Wolf* (Bonn, D)	2f
10:40	Hochdosistherapie: Zevalin, Carboplatin, Melphalan und ASCT bei CD20+ Lymphomen G. Geißler* (Chemnitz, D)	2g
10:55	Erhaltungstherapie: Rituximab-Erhaltungstherapie bei CD-20 positiven B-Zell-Non-Hodgkin-Lymphomen: eine multizentrische Phase II-Studie M. Witzens-Harig* (Heidelberg, D)	2h
11:10	PERLL-Studie: Pentostatin-Endoxan-Rituximab bei lymphoplasmozytärem Lymphom u. CLL M. Hensel* (Heidelberg, D)	2i
11:20	Therapieoptionen beim refraktären Myelom A. Glasmacher* (München, D)	2j
11:35	Orale T-CID-Therapie beim refraktären Myelom M. von Lilienfeld-Toal*, I. Schmidt-Wolf* (Bonn, D)	2k
11:45	Allgemeines	
09:00–12:00	Workshop des Arbeitskreises Stammzellbiologie und -Therapie <i>Vorsitz: A.D. Ho (Heidelberg, D); S. Frühauf (Heidelberg, D)</i>	Saal 3
09:00	Rapid mobilization of hematopoietic stem cells by POL6326, a novel CXCR4 antagonist C. Ludin* (Allschwil, CH)	10
09:20	Recent advances in clinical stem cell mobilization using AMD3100, a novel CXCR4 antagonist S. Frühauf* (Heidelberg, D)	10a
09:40	Human platelet-derived factors regulate gene expression in mesenchymal stem cells D. Strunk* (Graz, A)	10b
10:00	ca. 15 Kurzvorträge Mitglieder des Arbeitskreises	10c

09:00– 12:00	Arbeitskreis Palliativmedizin	Saal 5
09:00– 12:00	Mitgliederversammlung Arbeitskreis DRG	Saal 10
09:00– 12:00	Arbeitskreis Nicht-onkologische Hämatologie <i>Vorsitz: H. Schrezenmeier (Ulm, D)</i>	Saal 11
09:00	Update klinische Studien:	14
	Eculizumab bei PNH J. Schubert* (Homburg, D)	
	Aplastische Anämie: ATG + CsA ± G-CSF H. Schrezenmeier* (Ulm, D)	14a
09:30	Vorschläge klinische Studien:	14b
	Refraktäre aplastische Anämie: Alemtuzumab S. Körper* (Stuttgart, D)	
	Diskussion, weitere Vorschläge	
09:50	Studien zur Epidemiologie / Register / „Orphan Diseases“:	
	International PNH Registry: aktueller Stand S. Körper* (Stuttgart, D)	14c
	Studie „Risikofaktoren seltener Bluterkrankungen (RISEB)“: aktueller Stand E. Garbe*, F. Andersohn* (Berlin, D)	14d
	Datenerhebung PNH in Deutschland J. Schubert* (Homburg, D)	14e
	Hämatologische Manifestationen bei Morbus Gaucher E. Mengel* (Mainz, D)	14f
	Orphanet	
	Berichte aus weiteren Registern	
10:50	Studien zur Pathophysiologie:	
	Telomerlänge bei AA und PNH T. Brümmendorf* (Hamburg, D)	14g
	Fanconi-Anämie: molekulare Grundlagen und klinische Konsequenzen W. Ebell* (Berlin, D)	14h
	Diskussion, weitere Vorschläge	
11:30	Leitlinien:	
	AIHA	
	AA und PNH	
11:50	Sonstiges:	
	IQWiG-Vorbericht zur unverwandten Transplantation bei aplastischer Anämie: Stellungnahme des Arbeitskreises „Nicht-onkologische Hämatologie“	
	Veranstaltungen / Termine	

10:00– 12:00	Arbeitskreis CESAR: Neue experimentelle, pharmakologische und klinische Fortschritte des Programms von CESAR	Saal 2
	<i>Vorsitz: M.E. Scheulen (Essen, D); K. Mross (Freiburg, D)</i>	
10:00	Einleitung M.E. Scheulen* (Essen, D)	4
10:05	Engraftment und Differenzierung von humanen hämatologischen Stammzellen in NOD/SCID Mäusen K. Eckert*, A. Wulf, M. Keil, I. Fichtner (Berlin, D)	5
10:25	Pharmakokinetik/Pharmakodynamik-Untersuchungen in der Onkologie am Beispiel von Oxaliplatin F. Lentz*, A.C. Pieck, A. Drescher, A. Junker, R.A. Hilger, M.E. Scheulen, U. Jaehde (Bonn, Essen, D)	6
10:45	Sicherheit und Wirksamkeit von Adecatumumab (MT201) bei Patientinnen mit metastasiertem Mammakarzinom – Interimanalyse einer randomisierten, multizentrischen Phase II-Studie A. Awada*, M. Schmidt, M.E. Scheulen, N. Marschner, A. Eniu, L. Dirix, M. Huizing, C. Dittrich, C. Reinhardt, M. Schuler (Brüssel, B; Mainz, Essen, Freiburg, D; Cluj-Napoca, RO; Wilrijk-Antwerp, Edegem, B; Wien, A; München, D)	7
11:05	Ergebnisse einer Phase II-Studie mit Sorafenib bei Patienten mit metastasiertem hormonrefraktärem Prostatakarzinom S. Steinbild*, K. Mross, D. Morant, D. Köberle, C. Dittrich, D. Strumberg, A. Hochhaus, A. Hanauske, L. Edler, I. Burkholder, M.E. Scheulen (Freiburg, D; St. Gallen, CH; Wien, A; Herne, Mannheim, Heidelberg, Essen, D)	8
11:25	Zusammenfassung K. Mross* (Freiburg, D)	9
10:30– 12:00	Mitgliederversammlung Arbeitskreis Psycho-Onkologie	Saal 4
	Fortbildung	
14:00– 15:30	Stammzelltransplantation	Saal 2
	<i>Vorsitz: A. Zander (Hamburg, D); H. Greinix (Wien, A)</i>	
	Rolle der Stammzelltransplantation in der CML A. Gratwohl* (Basel, CH)	17
	Umbilical cord blood transplantation G. Sanz* (Valencia, E)	18
	Stand der HCT in Deutschland 2006 G. Ehninger* (Dresden, D)	19
	Haploidentical stem cell transplantation H.-J. Kolb* (München, D)	20
	Fortbildung	
14:00– 15:30	Palliativmedizin	Saal 3
	<i>Vorsitz: N. Niederle (Leverkusen, D); J. Meran (Wien, A)</i>	
	Fragen der Kommunikation in der Palliativmedizin M. Weber* (Mainz, D)	21
	Psychiatrische Symptome bei Patienten mit fortgeschrittenen Tumorerkrankungen I. Strohscheer* (Graz, A)	22
	Gastrointestinale Symptome, Diagnostik und Therapie in der Palliativmedizin A. Weiss* (Mannheim, D)	23
20	Strukturen in einem Flächenstaat W. Freier* (Hildesheim, D)	24

Symposium

14:00–15:00 **Vorbereitung Budgetverhandlungen in Hämatologie/Onkologie oder zur Ermittlung des ärztlichen Personalbedarfs** **Saal 4**

Vorsitz: A. Haas (Potsdam, D)

Fortbildung

15:45–17:15 **Akute Leukämien** **Saal 2**

Vorsitz: T. Büchner (Münster, D); H. Löffler (St. Peter)

Diagnostik und Verlauf bei AML **26**

T. Haferlach* (München, D)

Therapierelevante molekulare Marker bei der AML **27**

H. Döhner* (Ulm, D)

Emerging therapies for older patients **28**

H. Al-Ali* (Leipzig, D)

Update der GMALL-Studien **29**

N. Gökbuget* (Frankfurt, D)

Fortbildung

15:45–17:15 **Hämostaseologie** **Saal 3**

Vorsitz: I. Pabinger (Wien, A), U. Budde (Hamburg, D)

Venous thrombosis/antiphospholipid syndrome **30**

I. Pabinger* (Wien, A)

Management der Thromboembolie beim Tumorpatienten **31**

H. Riess* (Berlin, D)

Angeborene hämorrhagische Diathesen: moderne Therapieoptionen **32**

W. Schramm* (München, D)

Prophylaxe und Therapie erworbener hämorrhagischer Diathesen **33**

C.-E. Dempfle* (Mannheim, D)

Fortbildung

08:00– 09:30	Sarkome: Jugendlich – Erwachsen	Saal 1
	<i>Vorsitz: R. Arnold (Berlin, D); H. Jürgens (Münster, D)</i>	
	Nichtrhabdomyosarkomartige Weichteilsarkome im Kindes- und Jugendalter. Prognose und Zukunftsperspektiven aus Erfahrungen der CWS-Studiengruppe	53
	E. Koscielniak* (Stuttgart, D)	
	Systemtherapie beim Weichteilsarkom des Erwachsenen	54
	J.T. Hartmann* (Tübingen, D)	
	Stellenwert der Hochdosistherapie bei Sarkomen	55
	R. Ladenstein* (Wien, A)	
	Sarkome bei Adoleszenten und Erwachsenen: andere Tumoren, andere Patienten?	56
	P. Reichardt* (Berlin, D)	

Fortbildung

08:00– 09:30	Nierenzellkarzinom	Mehrzweckfläche 1/2
	<i>Vorsitz: S. Seeber (Essen, D); W.M. Fiedler (Hamburg, D)</i>	
	Molecular pathology and biology of RCC	34
	S. Störkel* (Wuppertal, D)	
	New standardtherapy of renal cell carcinoma: role of VGF-raf-kinase and mTor inhibitors	35
	C.-H. Köhne* (Oldenburg, D)	
	Second-line therapy for RCC	36
	L. Bergmann* (Frankfurt, D)	
	Immunotherapy and vaccination strategies	37
	A. Knuth* (Zürich, CH)	

Fortbildung

08:00– 09:30	Bronchuskarzinom	Mehrzweckfläche 3
	<i>Vorsitz: G. D'Addario (St. Gallen, CH), A. Schülte (Halle, D)</i>	
	Genetic alterations and therapeutic targets of NSCLC	38
	M. Schuler* (Mainz, D)	
	Adjuvant therapy of the resected NSCLC	39
	R. Pirker* (Wien, A)	
	Neoadjuvant/perioperative therapy in patients with limited stage of NSCLC	40
	W. Eberhardt* (Essen, D)	
	First and second line therapy of advanced NSCLC	41
	M. Thomas* (Heidelberg, D)	

Fortbildung

08:00– 09:30	Stammzelltransplantation	Mehrzweckfläche 4
	<i>Vorsitz: A. Zander (Hamburg, D); H. Greinix (Wien, A)</i>	
	Rolle der Stammzelltransplantation in der CML	42
	A. Gratwohl* (Basel, CH)	
	Umbilical cord blood transplantation	43
	G. Sanz* (Valencia, E)	
	Stand der HCT in Deutschland 2006	44
	G. Ehninger* (Dresden, D)	
	Haploidentical stem cell transplantation	45
	H.-J. Kolb* (München, D)	

Fortbildung

08:00– 09:30	Hämostaseologie	Saal 2
	<i>Vorsitz: K. Lechner (Wien, A); U. Budde (Hamburg, D)</i>	
	Venous thrombosis/antiphospholipid syndrome	46
	I. Pabinger* (Wien, A)	
	Management der Thromboembolie beim Tumorpatienten	47
	H. Riess* (Berlin, D)	
	Angeborene hämorrhagische Diathesen: moderne Therapieoptionen	48
	W. Schramm* (München, D)	
	Prophylaxe und Therapie erworbener hämorrhagischer Diathesen	49
	C.-E. Dempfle* (Mannheim, D)	

Fortbildung

08:00– 09:30	Prostatakarzinom und Blase	Saal 4
	<i>Vorsitz: E. Jäger (Frankfurt, D); K. Possinger (Berlin, D)</i>	
	Systemische Therapie des Prostatakarzinoms; hormonablativ Therapie	50
	W. Aulitzky* (Stuttgart, D)	
	Management des fortgeschrittenen Prostatakarzinoms in der Praxis	51
	H. Tesch* (Frankfurt, D)	
	Lokale Therapie des Prostatakarzinoms	52
	A. Heidenreich* (Köln, D)	

Fortbildung

08:00– 09:30	Akute Leukämien	Saal 10
	Vorsitz: T. Büchner (Münster, D); U. Wedding (Jena, D)	
	Diagnostik und Verlauf bei AML	57
	T. Haferlach* (München, D)	
	Therapierelevante molekulare Marker bei der AML	58
	H. Döhner* (Ulm, D)	
	Emerging therapies for older patients	59
	H. Al-Ali* (Leipzig, D)	
	Update der GMALL-Studien	60
	N. Gökbuget* (Frankfurt, D)	

Symposium

08:00– 09:30	Verschiedene Modelle der Integration psycho-onkologischer Versorgungstrukturen in die Onkologie	Saal 11
	Vorsitz: P. Heußner (München, D); A. Sellschopp (München, D)	
	TBC	61
	B. Sperner-Unterweger* (Innsbruck, A)	
	Psycho-onkologische Versorgungsforschung: Angst und Depression bei Langzeitüberlebenden	62
	A. Gaiger* (Wien, A)	
	Integrationsmodelle psycho-onkologischer Versorgung im Rahmen von interdisziplinären Tumortherapiezentren	63
	P. Heußner* (München, D)	
08:30– 12:30	Mikroskopierkurs	Saal 5
	Vorsitz: T. Nebe (Heidelberg, D)	
08:30	Zytologie maligner Ergüsse	946
	M. Engels*, T. Binder* (Düren, Wuppertal, D)	
10:30	Pause	
10:45	Myelodysplastische Syndrome	946a
	W. Gassmann*, P. Bettelheim*, T. Haferlach* (Siegen, D; Linz, A; München, D)	

Fortbildung

09:30– 11:00	ZNS Tumoren	Saal 1
	Vorsitz: E. Thiel (Berlin, D); R.-D. Kortmann (Leipzig, D)	
	Blood brain barrier and progress in neuro-oncology and neuro-immaging	84
	E.A. Neuwelt* (Portland, USA)	
	Systemic therapy of brain metastasis	85
	M. deWit* (Hamburg, D)	
	State of the art in the managment of primary ZNS Lymphoma	86
	A. Korfel* (Berlin, D)	
24	Pathophysiology Neurology and and therapeutic approaches in menigeosis neoplastica	87
	B. Gleissner* (Homburg, D)	

Fortbildung

09:30– 11:00	Kolorektales Karzinom	Mehrzweckfläche 1/2
	<i>Vorsitz: H.-J. Schmoll (Halle, D); U. Vanhöfer (Hamburg, D)</i>	
	Molekulare Targets beim Kolorektalkarzinom	66
	U. Gräven* (Mönchengladbach, D)	
	Adjuvante Therapie des Kolonkarzinoms	67
	W. Scheithauer* (Wien, A)	
	Therapie des fortgeschrittenen kolorektalen Karzinoms	68
	H.-J. Schmoll* (Halle, D)	
	Perioperative Therapie des Rektumkarzinoms	69
	R. Hofheinz* (Mannheim, D)	

Fortbildung

09:30– 11:00	Multiples Myelom	Mehrzweckfläche 3
	<i>Vorsitz: H. Ludwig (Wien, A); C. Taverna (Münsterlingen, CH)</i>	
	MGUS and smoldering myeloma	70
	J. Drach* (Wien, A)	
	Stammzelltransplantation	71
	H. Einsele* (Würzburg, D)	
	Konventionelle Therapie und Neue Substanzen	72
	W. Pönisch* (Leipzig, D)	

Fortbildung

09:30– 11:00	Mammakarzinom	Mehrzweckfläche 4
	<i>Vorsitz: N. Marschner (Freiburg, D); H.-J. Senn (St. Gallen, CH)</i>	
	Neoadjuvante Therapie des Mammakarzinoms	74
	K. Possinger* (Berlin, D)	
	Therapie des fortgeschrittenen Mammakarzinoms – Konsensusempfehlungen	75
	C. Zielinsky* (Wien, A)	
	Neue Substanzen	76
	V. Heinemann* (München, D)	

Fortbildung

09:30– 11:00	MDS	Saal 2
	<i>Vorsitz: A. Ganser (Hannover, D); C. Aul (Duisburg, D)</i>	
	Diagnostik und Prognose-Scores	77
	U. Germing* (Düsseldorf, D)	
	Immunmodulatorische und differenzierungsinduzierende Therapie	78
	M. Lübbert* (Freiburg, D)	
	Intensive Chemotherapie und Stammzelltransplantation	79
	N. Kröger* (Hamburg, D)	

Fortbildung

09:30– 11:00	Palliativmedizin	Saal 4
	<i>Vorsitz: N. Niederle (Leverkusen, D); J. Meran (Wien, A)</i>	
	Fragen der Kommunikation in der Palliativmedizin	80
	M. Weber* (Mainz, D)	
	Psychiatrische Symptome bei Patienten mit fortgeschrittenen Tumorerkrankungen	81
	I. Strohscheer* (Graz, A)	
	Gastrointestinale Symptome, Diagnostik und Therapie in der Palliativmedizin	82
	A. Weiss* (Mannheim, D)	
	Strukturen in einem Flächenstaat	83
	W. Freier* (Hildesheim, D)	

Symposium

09:30– 11:00	Antibodies in hematopoietic cell transplantation	Saal 10
	<i>Vorsitz: F. Emmrich (Leipzig, D); N. Basara (Leipzig, D)</i>	
	Introduction	945
	M. Gramatzki* (Kiel, D)	
	CD20-radioimmunconjugates in transplantation	945a
	L. Trümper* (Göttingen, D)	
	Pre-transplant use of CD33-immunconjugates	945b
	M. Bornhäuser* (Dresden, D)	
	CD45 und CD66 antibodies for conditioning therapy	945c
	D. Bunjes* (Ulm, D)	
	Antibodies to treat graft-versus-host-disease	945d
	R. Repp* (Kiel, D)	

Workshop

09:30– 11:00	„Arzt-Patienten-Kommunikation in der Onkologie“	Saal 12
	Achtung: Nur für vorregistrierte Teilnehmer	
	<i>Vorsitz: Y. Barthel (Leipzig, D); S. Kuhnt (Leipzig, D)</i>	
	Inhalt des Workshops ist es, aufbauend auf den Erfahrungen der TeilnehmerInnen und ihrer konkreten Anliegen, Anregungen für die persönlich-fachliche Gesprächsführung in schwierigen Situationen zu gewinnen. Dabei sollen vor allem praktische Übungen zur Anwendung kommen.	88

Satellitensymposium der Fa. Wyeth Pharma GmbH

11:30– 13:00	Targeted Therapy – Neue Perspektiven bei Leukämien (AML) und soliden Tumoren (NZK)	Saal 1
	<i>Vorsitz: H. Döhner (Ulm, D)</i>	
11:30	Begrüßung / Einleitung H. Döhner* (Ulm, D)	89
11:35	Antibody directed chemotherapy in acute myeloid leukemia (AML) A. Burnett* (Cardiff, UK)	89a
12:00	Gemtuzumab Ozogamicin im Transplantationssetting (dosisreduzierte Konditionierung) bei AML-Patienten M. Bornhäuser* (Dresden, D)	89b
12:10	Gemtuzumab Ozogamicin in der Kombinationstherapie (GO + A-HAM) bei AML-Patienten im Rezidiv R. Schlenk* (Ulm, D)	89c
12:20	Gemtuzumab Ozogamicin in der Kombinationstherapie (7+GO) bei Patienten mit de novo AML >60 Jahre H. Serve* (Münster, D)	89d
12:30	mTOR-Inhibition: Temsirolimus beim metastasierenden Nierenzellkarzinom – The Global ARCC Trial C. Bokemeyer* (Hamburg, D)	89e
12:55	Diskussion	

Satellitensymposium der Fa. Genzyme GmbH

11:30 – 13:00	Thymoglobulin (r-ATG) und Lymphoglobulin (h-ATG) in der Stammzelltransplantation, aplastischer Anämie und MDS	Mehrzweckfläche 1/2
	<i>Vorsitz: H. Einsele (Würzburg, D); A. Elmaagacli (Essen, D); H.-J. Kolb (München, D); D. Niedewieser (Leipzig, D)</i>	
	Mechanism of action of Thymoglobulin: T cell depletion and beyond M. Mohty* (Marseille, F)	90
	Wirkmechanismen von Lymphoglobulin (h-ATG) und Thymoglobulin (r-ATG) bei aplastischer Anämie und MDS – Apoptose von malignen Zellen H. Schrezenmeier* (Ulm, D)	90a
	Wirkmechanismen von Thymoglobulin – neueste Erkenntnisse über Wirkung auf NK-Zellen L. Uharek* (Berlin, D)	90b
	Wirkmechanismen von Thymoglobulin auf B-Zelllinien und dendritische Zellen N. Kröger* (Hamburg, D)	90c
	Wirkmechanismen von Thymoglobulin auf Stammzellen N. Basara* (Leipzig, D)	90d

Satellitensymposium der Fa. Novartis Pharma GmbH

11:30– 13:00	Neueste Entwicklungen zur Therapie der Eisenüberladung	Mehrzweckfläche 3
	<i>Vorsitz: N. Gattermann (Düsseldorf, D)</i>	
11:30	Begrüßung N. Gattermann* (Düsseldorf, D)	91
11:35	Toxic iron and NTBI Z.I. Cabantchik* (Jerusalem, IL)	91a
12:05	Diskussion N. Gattermann* (Düsseldorf, D)	91b
12:15	Therapie der Eisenüberladung bei vererbten Anämien H. Cario* (Ulm, D)	91c
12:35	Therapie der Eisenüberladung bei erworbenen Anämien N. Gattermann* (Düsseldorf, D)	91d
12:55	Diskussion und Zusammenfassung N. Gattermann* (Düsseldorf, D)	91e

Satellitensymposium der Fa. Roche Pharma AG

11:30– 13:00	Anti-Angiogenese: neue Therapieoptionen bei soliden Tumoren	Saal 2
	<i>Vorsitz: D. Marmé (Freiburg, D)</i>	
11:30	Angiogenese und Anti-Angiogenese in der Tumorthherapie J. Dreves* (Freiburg, D)	92
12:15	Anti-angiogene Therapie mit Avastin: Wirksamkeitsdaten D. Arnold* (Halle, D)	92a

Satellitensymposium der Fa. Sanofi-Aventis Deutschland GmbH

11:30– 13:00	ASCO 2006 setzt neue Standards – Taxotere bei Bronchial- und Kopf-Hals Tumoren	Saal 4
	<i>Vorsitz: M. Thomas (Heidelberg, D); U. Keilholz (Berlin, D)</i>	
11:30	Einleitung: Taxotere bei Bronchial- und Kopf-Hals Tumoren M. Thomas* (Heidelberg, D)	93
11:40	ASCO 2006: Metaanalyse etabliert Taxotere als Standard in der 1st line Therapie des NSCLC F. Griesinger* (Göttingen, D)	93a
12:10	Taxotere in der kurativen Behandlung des NSCLC M. Wolf* (Kassel, D)	93b
12:30	ASCO 2006: mehrere Phase III Studien zeigen die Überlegenheit von Taxotere bei lokal fortgeschrittenen Kopf-Hals Tumoren R. Knecht* (Frankfurt/Main, D)	93c
12:55	Zusammenfassung und Schlussworte U. Keilholz* (Berlin, D)	93d

11:30– 13:00	Versorgungsforschung in der Onkologie	Saal 11
	<i>Vorsitz: S. Schmitz (Köln, D); W. Baumann (Köln, D)</i>	
	Begrüßung und Moderation	94
	S. Schmitz* (Köln, D)	
	Einführung in das Thema	95
	W. Baumann* (Köln, D)	
	Was wissen wir über die Zufriedenheit der Patienten?	96
	H. Pfaff* (Köln, D)	
	Versorgungsforschung in der Onkologie – wie macht man das? Über Methoden und Endpunkte	97
	A. Katalinic* (Lübeck, D)	
	Versorgungsforschung für mehr Effizienz-Forschungsbedarf und Forschungsthemen	98
	G. Glaeske* (Bremen, D)	

Satellitensymposium der Fa. Celgene GmbH

13:30– 15:00	Neue Paradigmen in der Behandlung der myelodysplastischen Syndrome und des multiplen Myeloms	Plenarsaal
	<i>Vorsitz: H. Ludwig (Wien, A); A. Ganser (Hannover, D)</i>	
13:30	Einführung	99
	A. Ganser* (Hannover, D)	
13:35	Immunmodulatorische Substanzen (IMiDs®): ein neuer Behandlungsansatz bei hämatologischen Erkrankungen	99a
	A. Glasmancher* (Bonn, D)	
13:50	Bedeutung der Zytogenetik für Diagnostik und Behandlung der myelodysplastischen Syndrome	99b
	N. Gattermann* (Düsseldorf, D)	
14:05	Die klinische Bedeutung von Lenalidomid bei myelodysplastischen Syndrome	99c
	A. Giagounidis* (Duisburg, D)	
14:20	Lenalidomid: eine neue Behandlungsoption des multiplen Myeloms	99d
	H. Einsele* (Würzburg, D)	
14:40	Podiumsdiskussion und Schlußwort	99e
	H. Ludwig* (Wien, A)	
	Die Veranstaltung wird durch eine inhaltlich nicht einschränkende Zuwendung der Celgene GmbH an die Excerpta Medica unterstützt.	

Satellitensymposium der Fa. Pfizer Pharma GmbH

13:30– 15:00	Spezielle Aspekte und neue Erkenntnisse in der antimykotischen Therapie	Saal 1
	<i>Vorsitz: O. Cornely (Köln, D)</i>	
13:30	Therapie invasiver Mykosen: pharmakologische Gesichtspunkte bei der Substanzwahl	100
	G. Maschmeyer* (Potsdam, D)	
14:00	Voriconazol intravenös bei kritisch kranken Patienten unter Nierenersatzverfahren	100a
	M.-A. von Mach* (Mainz, D)	
14:30	Primärprophylaxe von Lungeninfiltraten mit Voriconazol	100b
	O. Cornely* (Köln, D)	

Satellitensymposium der Fa. Roche Pharma AG

13:30– 15:00	Aktuelle Therapie des Darmkrebs	Mehrzweckfläche 1/2
	<i>Vorsitz: H.-J. Schmoll (Halle, D)</i>	
13:30	Begrüßung und Einführung H.-J. Schmoll* (Halle, D)	101
13:35	Aktuelle Studienergebnisse zu Avastin und Xeloda U. Gräven* (Mönchengladbach, D)	101a
14:15	Diskussion der aktuellen Daten H.-J. Schmoll* (Halle, D)	101b

Satellitensymposium der Fa. Novartis Pharma GmbH

13:30– 15:00	Aktuelle Therapieansätze bei soliden Tumoren	Mehrzweckfläche 3
	<i>Vorsitz: G. Ehninger (Dresden, D)</i>	
13:30	Begrüßung G. Ehninger* (Dresden, D)	102
13:35	Verringerung des Rezidivrisikos von Anfang an – Letrozol im adjuvanten Continuum K. Höffken* (Jena, D)	102a
13:55	Zukünftiger Stellenwert der Bisphosphonate bei soliden Tumoren M. Wilhelm* (Nürnberg, D)	102b
14:15	Diskussion G. Ehninger* (Dresden, D)	102c
14:30	GIST – Heilung durch multimodale Therapie? P. Reichardt* (Berlin, D)	102d
14:50	Diskussion und Zusammenfassung G. Ehninger* (Dresden, D)	102e

Satellitensymposium der Firma Lilly Deutschland GmbH

13:30– 15:00	Therapie thorakaler Tumore – Aufbruch in eine neue Ära	Mehrzweckfläche 4
	<i>Vorsitz: A.-R. Hanauske (Hamburg, D); M. Thomas (Heidelberg, D)</i>	
13:30	Begrüßung M. Thomas* (Heidelberg, D)	103
13:35	Meilensteine der NSCLC Therapie M. Thomas* (Heidelberg, D)	103a
13:50	1st Line Therapie des NSCLC W. Schütte* (Halle/Saale, D)	103b
14:05	2nd Line Therapie des NSCLC A.-R. Hanauske* (Hamburg, D)	103c
14:20	Therapie des malignen Pleuramesothelioms M. Reck* (Grosshansdorf, D)	103d
14:35	Patientenkasuistiken M. Serke* (Berlin, D)	103e
14:50	Diskussion und Zusammenfassung A.-R. Hanauske* (Hamburg, D)	103f

**Satellitensymposium der Fa. Ortho Biotech,
Division of Janssen-Cilag GmbH**

13:30– 15:00	Velcade – auf dem Weg zur Leitsubstanz?	Saal 2
	<i>Vorsitz: H. Goldschmidt (Heidelberg, D); D. Niederwieser (Leipzig, D)</i>	
13:30	Begrüßung und Einführung D. Niederwieser* (Leipzig, D)	104
13:35	Chronifizierung des multiplen Myeloms – Schritte der klinischen Entwicklung M.R. Nowrousian* (Essen, D)	104a
13:50	Neueste Studienkonzepte in der Behandlung des multiplen Myeloms W. Pönisch* (Leipzig, D)	104b
14:00	Bedeutung von Bortezomib für den Knochenstoffwechsel beim Multiplem Myelom O. Sezer* (Berlin, D)	104c
14:15	Ist die Kombinationstherapie mit Velcade anderen Therapien beim multiplen Myelom überlegen? M. Kropff* (Münster, D)	104d
14:40	Stellenwert von Bortezomib im niedergelassenen Bereich B. Otremba* (Oldenburg, D)	104e
14:50	Zusammenfassung H. Goldschmidt* (Heidelberg, D)	104f

Satellitensymposium der Fa. Ribosepharm GmbH

13:30– 15:00	Bendamustin – eine Substanz geht ihren Weg	Saal 4
	<i>Vorsitz: W.U. Knauf (Frankfurt/Main, D); N. Niederle (Leverkusen, D)</i>	
13:30	Bendamustin – eine Substanz geht ihren Weg bei indolenten Lymphomen M.J. Rummel* (Frankfurt/Main, D)	105
	Diskussion	
13:55	Perspektiven von Bendamustin im Rahmen der GLSG M. Dreyling* (München, D)	105a
	Diskussion	
14:15	Stellenwert von Bendamustin in der Behandlung der CLL C.M. Wendtner* (Köln, D)	105b
	Diskussion	
14:40	Bendamustin – der Weg geht weiter: SCLC Diskussion W. Köster* (Essen, D)	105c

Satellitensymposium der Fa. Bristol-Myers Squibb Onkologie

13:30– 15:00	Imatinib – Resistenz: quo vadis?	Saal 5
	<i>Vorsitz: G. Ehninger (Dresden, D); D. Niederwieser (Leipzig, D)</i>	
13:30	Begrüßung und Einleitung	
13:35	Therapieresistenzen: Molekularbiologische Grundlagen	106
	N. von Bubnoff* (München, D)	
13:55	Therapieoptimierung der CML auf der Grundlage molekularer Parameter	106a
	A. Hochhaus* (Mannheim, D)	
14:15	Aktuelle Aspekte: Klinisches Management der CML – Schwerpunkt Tyrosinkinaseinhibitoren	106b
	A. Gratwohl* (Basel, CH)	
14:35	Philadelphia chromosom-positive ALL	106c
	O.G. Ottmann* (Frankfurt, D)	
14:50	Diskussion und Zusammenfassung	108

Satellitensymposium der Fa. Schering

15:30– 17:00	●●●	Plenarsaal
	<i>Vorsitz:</i>	
	Programm bis 25.09.06	108

Satellitensymposium der Fa. Bayer

15:30– 17:00	●●●	Saal 1
	<i>Vorsitz:</i>	
	Programm bis 25.09.06	108

Satellitensymposium der Fa. Merck Pharma GmbH

15:30– 17:00	Erbix – ein neuer Standard bei Kopf- Hals Tumoren	Mehrzweckfläche 1/2
	<i>Vorsitz: R. Knecht (Frankfurt/Main, D); H. Wilke (Essen, D)</i>	
15:30	Begrüßung und Einführung	109
	R. Knecht* (Frankfurt/Main, D)	
15:35	Erbix & Strahlentherapie: präklinische Rationale	109a
	D. Zips* (Dresden, D)	
16:00	Erbix & Strahlentherapie: Überlebensvorteil bei lokal fortgeschrittenen Kopf-Hals-Tumoren	109b
	J. Dunst* (Lübeck, D)	
16:30	Systemische Therapie in der metastasierten Situation	109c
	H. Wilke* (Essen, D)	

Satellitensymposium der Fa. Bioenvision Ltd

15:30– 17:00	Clofarabine (Evoltra®)– neue Behandlungsmöglichkeiten bei akuter Leukämie	Mehrzweckfläche 3
	<i>Vorsitz: T. Büchner (Münster, D)</i>	
15:30	Begrüßung und Einführung T. Büchner* (Münster, D)	110
15:40	Clofarabine (EVOLTRA®), eine zweite Generation von Nukleosidanaloga mit neuen Eigenschaften – angewandt in Kombinationstherapien bei akuter Leukämie S. Faderl* (Houston, USA)	110a
16:00	Behandlungsmöglichkeiten von rekurrender und refraktärer ALL bei Kindern – welche Rolle spielt Clofarabine (EVOLTRA®)? G. Henze* (Berlin, D)	110b
16:20	Clofarabine (EVOLTRA®) für ältere Patienten mit AML: aktuelle Ergebnisse und zukünftige Aussichten A. Ganser* (Hannover, D)	110c
16:40	Fragen und Diskussion T. Büchner* (Münster, D)	110d

Satellitensymposium der Fa. Alexion Europe

entwickelt, organisiert und durchgeführt von der Fa. Thomson Physicians World GmbH

15:30– 17:00	Paroxysmale nächtliche Hämoglobinurie: aktuelle Aspekte zu Pathophysiologie, Diagnose und Therapie	Mehrzweckfläche 4
	<i>Vorsitz: J. Schubert (Homburg, D); H. Schrezenmeier (Ulm, D)</i>	
15:30	PNH: Pathophysiologie, Diagnose und klinischer Verlauf H. Schrezenmeier* (Ulm, D)	111
15:55	Behandlung der PNH: aktuelle Standards und zukünftige Entwicklungen J. Schubert* (Homburg, D)	111a
16:25	Stammzelltransplantation bei PNH T. Lange* (Leipzig, D)	111b
16:50	Podiumsdiskussion	

**Satellitensymposium der Fa. Ortho Biotech,
Division of Janssen-Cilag GmbH**

15:30– 17:00	Ein Jahr Initiative Geriatrische Hämatologie und Onkologie IN-GHO® – Wo stehen wir?	Saal 2
	<i>Vorsitz: G. Kolb (Lingen, D); C. Bokemeyer (Hamburg, D)</i>	
15:30	Begrüßung und Einleitung G. Kolb*, C. Bokemeyer* (Lingen, Hamburg, D)	112
15:35	Der geriatrisch onkologische Patient - Wahrheiten und Irrtümer G. Kolb* (Lingen, D)	112a
15:45	IN-GHO® – Ziele, Module und Instrumente C. Bokemeyer* (Hamburg, D)	112b
15:55	Erste Daten vom IN-GHO®-Patientenregister F. Honecker* (Hamburg, D)	112c
16:10	Die Bedeutung geriatrischer Assessments in der Onkologie – die Theorie C. Friedrich* (Herne, D)	112d
16:25	Die Bedeutung geriatrischer Assessments in der Onkologie – die Durchführung W. Freier* (Hildesheim, D)	112e
16:40	Welche Rolle spielt die klinische Pharmazie bei der Therapie geriatrisch onkologischer Patienten? H.-P. Lipp* (Tübingen, D)	112f
16:55	Zusammenfassung G. Kolb*, C. Bokemeyer* (Lingen, Hamburg, D)	112g

Satellitensymposium der Fa. Roche Pharma AG

15:30– 17:00	Epirubicin/Paclitaxel (EP) vs. Capecitabin/Paclitaxel (XP) first-line beim metastasierten Brustkrebs	Saal 4
	<i>Vorsitz: H. Riess (Berlin, D)</i>	
	Interimsergebnisse einer prospektiven randomisierten Phase III Studie der AGO Studiengruppe Brustkrebs H.-J. Lück* (Wiesbaden, D)	113
	Stellenwert von Tarceva bei der Therapie des fortgeschrittenen Pankreaskarzinom H. Riess* (Berlin, D)	113a
	Chemotherapeutische Optionen beim fortgeschrittenen Magenkarzinom – Stellenwert Xeloda M. Möhler* (Mainz, D)	113b

Satellitensymposium der Fa. Shire

15:30–
17:00 ●●●

Saal 5

Vorsitz:

Programm bis 25.09.06

114

18:00–
19:30 **Eröffnungsveranstaltung**

Plenarsaal

Vorsitz:

Eröffnung

115

G. Ehninger (Dresden, D)

Präsident der Deutschen Gesellschaft für Hämatologie und Onkologie (DGHO)

D. Lutz (Linz, A)

Präsident der Österreichischen Gesellschaft für Hämatologie und Onkologie (OEGHO)

L. Nadig (Bülach, CH)

Präsident der Schweizerischen Gesellschaft für Medizinische Onkologie (SGMO)

D. Niederwieser (Leipzig, D)

Kongresspräsident

H.-D. Genscher - TBC

J. Carreras - TBC

Meet the Expert

07:00– 08:00	Bronchuskarzinom <i>Vorsitz: M. Wolff (Kassel, D)</i>	Saal 6/7
07:00– 08:00	Zerebrale Lymphome <i>Vorsitz: E. Thiel (Berlin, D)</i>	Saal 8
07:00– 08:00	Mammakarzinom <i>Vorsitz: P. Schmid (London, UK)</i>	Saal 9
07:00– 08:00	Palliativmedizin <i>Vorsitz: J. Meran (Wien, A)</i>	Saal 10
07:00– 08:00	NHL <i>Vorsitz: M. Pfreundschuh (Homburg, D)</i>	Saal 11
07:00– 08:00	Nierenzellkarzinom <i>Vorsitz: W. Fiedler (Hamburg, D)</i>	Saal 12
07:00– 08:00	Gallengang und Klatzkin-Tumor <i>Vorsitz: P. Neuhaus (Berlin, D)</i>	Saal 13
07:00– 08:00	AML <i>Vorsitz: T. Büchner (Münster, D)</i>	Saal 14/15
07:00– 08:00	Ernährung / Tumorkachexie <i>Vorsitz: W. Scheppach (Würzburg, D)</i>	Bankettraum 2
07:00– 08:00	Sport und Krebs <i>Vorsitz: E. Jäger (Frankfurt/Main, D)</i>	Bankettraum 3

Fortbildung

08:00– 09:30	Multiples Myelom <i>Vorsitz: H. Ludwig (Wien, A); C. Taverna (Münsterlingen, CH)</i>	Mehrzweckfläche 1/2
	MGUS and smoldering myeloma J. Drach* (Wien, A)	116
	Stammzelltransplantation H. Einsele* (Würzburg, D)	117
	Konventionelle Therapie und Neue Substanzen W. Pönisch* (Leipzig, D)	118

Fortbildung

08:00– 09:30	Mammakarzinom <i>Vorsitz: N. Marschner (Freiburg, D); H.-J. Senn (St. Gallen, CH)</i>	Mehrzweckfläche 3/4
	Neoadjuvante Therapie des Mammakarzinoms K. Possinger* (Berlin, D)	120
	Therapie des fortgeschrittenen Mammakarzinoms – Konsensusempfehlungen C. Zielinsky* (Wien, A)	121
	Neue Substanzen V. Heinemann* (München, D)	122

Fortbildung

08:00– 09:30	Sarkome: Jugendlich – Erwachsen	Saal 2
	<i>Vorsitz: R. Arnold (Berlin, D); H. Jürgens (Münster, D)</i>	
	Nichtrhabdomyosarkomartige Weichteilsarkome im Kindes- und Jugendalter. Prognose und Zukunftsperspektiven aus Erfahrungen der CWS-Studiengruppe	123
	E. Koscielniak* (Stuttgart, D)	
	Systemtherapie beim Weichteilsarkom des Erwachsenen	124
	J.T. Hartmann* (Tübingen, D)	
	Stellenwert der Hochdosistherapie bei Sarkomen	125
	R. Ladenstein* (Wien, A)	
	Sarkome bei Adoleszenten und Erwachsenen: andere Tumoren, andere Patienten?	126
	P. Reichardt* (Berlin, D)	

Freie Vorträge

08:00– 09:30	NHL – Biologie	Saal 1
	<i>Vorsitz: R. Herrmann (Basel, CH), U. Jäger (Wien, A)</i>	
08:00	Das onkogene Fusionsprotein NPM-ALK kooperiert mit Bcl2 in der Induktion von T-Zell-Lymphomen in der Maus	V127
	C. Miething*, R. Grundler, C. Mugler, A. Bauer, G. Hacker, C. Peschel, J. Duyster (München, D)	
08:12	Der Hedgehog Signalweg: ein neues Target für B-Zell Lymphoma und Plasmozytome	V128
	C. Dierks*, J. Grbic, R. Beigi, P. Schultz, M. Warmuth (San Diego, USA)	
08:24	Herstellung und Charakterisierung einer NIPA defizienten Maus	V129
	A.L. Illert*, H. Kawaguchi, L. Quintanilla-Fend, F. Bassermann, C. von Klitzing, P. Seipel, M. Hiwatari, S.W. Morris, C. Peschel, J. Duyster (München, D; Memphis, New York, USA)	
08:36	Inaktivierung der Histonmethyltransferase Suv39h1 beschleunigt Myc-initiierte B-Zell-Lymphomgenese und kompromittiert Chemotherapie-induzierbare Seneszenz	V130
	V. Tabor*, C. Loddenkemper, H. Stein, B. Dörken, M. Eilers, T. Jenuwein, C. A. Schmitt (Berlin, Marburg, D; Wien, A)	
08:48	Vergleichbare Histon-Methylierungs-Muster bei Doxorubicin- und Onkogen-induzierter Seneszenz	V131
	M. T. Rosenfeldt*, H. Däbritz, M. Braig, B. Dörken, C. A. Schmitt (Berlin, D)	
09:00	Immunogenität gemeinsamer und einzigartiger Peptidepitope des Idiotyps maligner B-Zell-Lymphome bei experimenteller anti-Tumorvakzinierung	V132
	M. Buchner*, M. Warncke, H. Veelken (Freiburg, D)	
09:12	ATM abhängige Apoptose eliminiert prä-neoplastische Lymphomläsionen durch Konvertierung von onkogen-induziertem DNA Schaden	V133
	M. Reimann*, C. Loddenkemper, C. Rudolph, I. Schildhauer, B. Teichmann, H. Stein, B. Schlegelberger, B. Dörken, C.A. Schmitt (Berlin, Hannover, D)	

Freie Vorträge

- | | | |
|-----------------|--|---------------|
| 08:00–
09:30 | Akute lymphatische Leukämien | Saal 4 |
| | <i>Vorsitz: O.G. Ottmann (Frankfurt, D), M. Freund (Rostock, D)</i> | |
| 08:00 | Die bedingte Aktivierung von SCL während der T-Zell-Entwicklung induziert die Entstehung von abnormen CD8+TCRlow Zellen aus unreifen CD4+CD8+ doppelpositiven Thymozyten | V134 |
| | J.R. Göthert*, R.L. Brake, C.G. Begley, D.J. Izon (Essen, D; Thousand Oaks, USA; Fitzroy, AUS) | |
| 08:15 | Ein neuer molekularer Risikofaktor in akuter T-lymphoblastischer Leukämie (T-ALL) bei Erwachsenen: hohe Expression des ETS Transkriptionsfaktors ERG ist assoziiert mit einer ungünstigen Prognose | V135 |
| | C.D. Baldus*, T. Burmeister, P. Martus, S. Schwartz, N. Gökbuget, C.D. Bloomfield, D. Hoelzer, E. Thiel, W.K. Hofmann (Berlin, Frankfurt, D; Columbus, USA) | |
| 08:30 | 9p21 Deletionen sind die häufigsten, mit array-CGH gefundenen genomischen Veränderungen bei der akuten lymphatische Leukämie des Erwachsenen und sind möglicherweise prognostisch relevant | V136 |
| | A. Viardot*, C. Schwaenen, N. Gökbuget, D. Hoelzer, S. Ruf, H. Döhner, S. Weßendorf, M. Schmid (Ulm, Frankfurt, D) | |
| 08:45 | Effektive Hemmung der Oligomerisierung von Bcr/Abl über das Targeting der Helix alpha-2 in der N-terminalen Coiled coil Domäne | V137 |
| | T. Beissert, A. Mian, D. Hoelzer, O. Ottmann, M. Ruthardt* (Frankfurt, D) | |
| 09:00 | Detektion von Bcr-Abl- Tyrosinkinase-Mutationen bei Patienten mit Ph+ALL > 55 Jahre im Rezidiv und im Verlauf unter Imatinib-basierter Kombinationstherapie | V138 |
| | H. Pfeifer*, B. Wassmann, A. Pavlova, T. Lange, L. Wunderle, P. Brück, M. Müller, J. Oldenburg, A. Hochhaus, D. Hoelzer, O. Ottmann (Frankfurt, Leipzig, Mannheim, D) | |
| 09:15 | Therapieergebnisse bei Erwachsenen mit Rezidiv einer akuten T-lymphatischen Leukämie (T-ALL) | V139 |
| | N. Gökbuget*, R. Arnold, A. Böhme, C. Bartram, R. Fietkau, M. Freund, A. Ganser, M. Kneba, T. Lipp, W. Ludwig, G. Maschmeyer, D. Messerer, H. Rieder, E. Thiel, D. Hoelzer as protocol committee of the German Multicenter Study Group for Adult ALL (GMALL) | |

Freie Vorträge

- | | | |
|-----------------|---|---------------|
| 08:00–
09:30 | Bronchuskarzinom | Saal 5 |
| | <i>Vorsitz: R. Pirker (Wien, A), W. Eberhardt (Essen, D)</i> | |
| 08:00 | Der Treg-spezifische Marker FOXP3 ist überexprimiert in NSCLC jedoch ohne klinische Bedeutung | V140 |
| | D. Wolf*, H. Rumpold, A.M. Wolf, S. Skvortsov, E. Müller-Holzner, C. Marth, W. Hilbe (Innsbruck, A) | |
| 08:15 | Proteomanalyse beim Bronchialkarzinom mittels SELDI-TOF MS | V141 |
| | R.T. Sreseli*, S. Zimmermann, M. Kuhn, S. Sundararajan, W. Digel, D. Pfeifer, H. Veelken, U.M. Martens (Freiburg, D) | |
| 08:30 | Funktionelle Untersuchung des „Pituitary tumor transforming gene 1“ (PTTG-1) beim nicht-kleinzelligen Lungenkarzinom mit Hilfe der RNA-Interferenz | V142 |
| | G. Garcia-Pardillos*, U. Rohr, A. Rohrbeck, S. Raschke, I. Bruns, T. Gräf, A. Bär, M. Roskopf, A. von Haeseler, R. Haas, R. Kronenwett (Düsseldorf, D) | |
| 08:45 | Prädiktion von Lungenkrebs in Blutproben vor der klinischen Manifestation | V143 |
| | T. Zander*, D. Eggle, S. Debey-Pascher, A. Staratschek-Jox, J. Linseisen, P. Boffetta, J. Schultze, J. Wolf (Köln, Heidelberg, D; Lyon, F) | |
| 09:00 | Nukleäres CXCR4 korreliert mit Lymphknotenmetastasierung im Bronchialkarzinom | V144 |
| | I. Na*, C. Scheibenbogen, C. Adam, A. Stroux, U. Keilholz, P. Ghadjari, A. Busse, E. Thiel, S.E. Coupland (Berlin, D) | |
| 09:15 | Multizentrische Phase II Studie zur Untersuchung der Wirksamkeit und Sicherheit von 1250 mg PTK787/ZK222584, einmal oder zweimal täglich oral als Zweitlinienmonotherapie bei Patienten mit fortgeschrittenem nicht-kleinzelligen Lungenkarzinom (NSCLC) | V145 |
| | T.C. Gauler*, B. Fischer, J.C. Soria, B. Besse, V. Gounant, O. Rixe, F. Griesinger, H. Krissel, D. Laurent, W.E.E. Eberhardt (Essen, Mainz, Göttingen, Berlin, D; Villejuif, Paris, F) | |

Freie Vorträge

08:00– 09:30	Nicht-maligne Hämatologie	Saal 10
	<i>Vorsitz: C. Nerl (München, D); NN</i>	
08:00	Genetische Heterogenität bei Patienten mit kongenitaler dyserythroetische Anämie Typ I (CDAI) K. Schwarz*, J. Goede, E. Kohne, M. Schmid, H. Heimpel (Ulm, D; Zürich, CH)	V146
08:15	Erfolgreiche Therapie refraktärer Autoimmunthrombopenie mit Cyclophosphamid und Rituximab H. Einsele, D. Kraemer, J. Rath* (Würzburg, D)	V147
08:30	Vitamin K Epoxid Reduktase (VKORC1) Haplotypen und ihr Einfluss auf die Pharmakogenetik der oralen Antikoagulation C. Geisen*, B. Luxembourg, M. Watzka, K. Sittinger, M. Steffens, C.R. Müller, T.F. Wienker, E. Lindhoff-Last, E. Seifried, J. Oldenburg (Frankfurt, Bonn, Würzburg, D)	V148
08:45	Proteomanalyse der Telomerdysfunktion S. Zimmermann*, W. Kloos, H. Veelken, U.M. Martens (Freiburg, D)	V149
09:00	Fukosyltransferase I bei der Aktivierung von Endothelzellen und Angiogenese T.M. Moehler*, M. Witzel, S. Sauer, N. Zhou, M. Andrusis, A. Greiner, H. Goldschmidt, R. Grobholz, R. Schwartz-Albiez (Heidelberg, Mannheim, D)	V150

Freie Vorträge

08:00– 09:30	Ösophagus / Magenkarzinom	Saal 11
	<i>Vorsitz: D. Arnold (Halle, D), NN</i>	
08:00	Metabolische Responsevorhersage mittels 18FDG-PET und Response-adaptierte neoadjuvante Chemotherapie (CTx) bei lokal fortgeschrittenen Adenokarzinomen am gastroösophagealen Übergang (AEG). Ergebnisse der MUNICON-1 Studie F. Lordick*, K. Ott, W. Weber, H.J. Stein, K. Becker, H. Wiedler, C. Peschel, U. Fink, M. Schwaiger, J.R. Siewert (München, D; Los Angeles, USA; Salzburg, A)	V151
08:15	Versorgungsrealität in der Behandlung von 687 Patienten mit Magenkarzinom R. Hofheinz*, S. Al-Batran, L. Kellermann, D. Arnold (Mannheim, Frankfurt, Freiburg, Halle, D)	V152
08:30	Capecitabin und Oxaliplatin in Kombination mit Strahlentherapie bei Patienten mit kurativ reseziertem Adenokarzinom des Magen bzw. des gastro-ösophagealen Überganges: eine Phase-I Studie R. Hofheinz*, W. Staiger, S. Mai, M. Möhler, N. Lukan, M. Schwarzbach, S. Post, A. Hochhaus, F. Wenz (Mannheim, Mainz, D)	V153
08:45	Neoadjuvante Therapie mit 5Fluorouracil und Oxaliplatin in eskalierender Dosis mit begleitender Radiatio (RT) bei Patienten mit lokal fortgeschrittenem Plattenepithel Ca des Ösophagus. Eine Phase II Studie S. Lorenzen*, B. Bruecher, K. Herrmann, F. Zimmermann, N. Roethling, J.R. Siewert, C. Peschel, F. Lordick (München, D)	V154
09:00	Docetaxel und Cisplatin/5Fluorouracil und Leukovorin als Erstlinientherapie beim metastasierten und lokal fortgeschrittenen Magenkarzinom und AEG. Ergebnisse der Phase II Multicenterstudie GASTRO-TAX -1 S. Lorenzen*, N. Weigert, V. Heinemann, M. Hentrich, R. Hollweck, T. Seroneit, N. Roethling, C. Peschel, F. Lordick (München, Straubing, Berlin, D)	V155
09:15	Cetuximab und wöchentlich Oxaliplatin/5FU/FA (FUFOX) in der Erstlinientherapie des fortgeschrittenen Magenkarzinoms. Ergebnisse einer multizentrischen Phase II Studie der AIO Studiengruppe Ösophagus- und Magenkarzinom F. Lordick*, S. Lorenzen, S. Hegewisch-Becker, G. Folprecht, E. Wöll, T. Decker, S. Höhne, E. Endlicher, F. Fend, C. Peschel für die Arbeitsgemeinschaft Internistische Onkologie	V156

Plenarsitzung

10:00 – 12:00	Evidenz und ärztliche Kompetenz <i>Vorsitz: G. Ehninger (Dresden, D); M. Freund (Rostock, D)</i>	Plenarsaal
10:00	Aufgaben einer Fachgesellschaft; Spagat zwischen Wissenschaft und Politik G. Ehninger* (Dresden, D)	281
10:20	Linking evidence with decision making and coverage of medical decisions in oncology B. Djulbegovic* (Tampa, USA)	281a
10:40	Das Recht des Einzelnen und die Verpflichtung der Gemeinschaft E. Hauck* (Kassel, D)	281b
11:00	Hematology: the European dimension E. Hellström-Lindberg* (Stockholm, S)	281c
11:20	Diskussion	

Satellitensymposium der Fa. Roche Pharma AG

12:15– 13:45	Zielgerichtete Therapie des Lungenkarzinoms <i>Vorsitz: U. Gatzemeier (Großhansdorf, D); U. Thomas (Heidelberg, D)</i>	Plenarsaal
12:15	Anti-angiogene Therapie des NSCLC mit Bevacizumab M. Wolf* (Kassel, D)	165
12:55	Welche Patienten profitieren von Tarceva? Erfahrungen aus der täglichen Praxis U. Gatzemeier* (Großhansdorf, D)	165a
13:20	Neue zielgerichtete Therapien: wo stehen wir, wo geht es hin M. Thomas* (Heidelberg, D)	165b

Symposium der Fa. Mundipharma

12:15– 13:45	Effektive Behandlung und Prophylaxe von leptomeningealem Befall <i>Vorsitz: D. Hoelzer (Frankfurt, D); R. Herrmann (Basel, CH)</i>	Saal 1
12:15	Begrüßung R. Herrmann* (Basel, CH)	166
12:20	Liposomales Cytarabin bei hämatologischen Neoplasien – von der Behandlung zur Prophylaxe W. Linkesch* (Graz, A)	167
12:45	Leptomeningeal metastases: evaluation and treatment M. Chamberlain* (Tampa, USA)	168
13:10	Intensivierte Behandlung des leptomeningealem Befalls – neue Therapieansätze M. Freund* (Rostock, D)	169
13:35	Diskussion	
13:40	Zusammenfassung D. Hoelzer* (Frankfurt, D)	170

Gemeinsames Satellitensymposium Merck Pharma GmbH und Pfizer Oncology

12:15– 13:45	Therapie des metastasiereten kolorektalen Karzinoms – Kuration oder Palliation?	Mehrzweckfläche 1/2
	<i>Vorsitz: V. Heinemann (München, D); C.-H. Köhne (Oldenburg, D)</i>	
12:15	Begrüßung und Einführung C.-H. Köhne* (Oldenburg, D)	171
12:20	Neue Therapiestrategien beim kolorektalen Karzinom C.-H. Köhne* (Oldenburg, D)	171a
12:45	Chancen der kurativen Therapie G. Folprecht* (Dresden, D)	171b
13:10	Neoadjuvante Konzepte beim Rektumkarzinom R. Hofheinz* (Mannheim, D)	171c
13:35	Umsetzung neuer Therapieansätze in Studienkonzepte V. Heinemann* (München, D)	171d

Satellitensymposium der Fa. AstraZeneca GmbH

12:15– 13:45	AstraZeneca – die Kraft in der targeted Therapy	Mehrzweckfläche 3/4
	<i>Vorsitz: K. Possinger (Berlin, D)</i>	
	Arimidex – der neue Standard in der adjuvanten Therapie des Mammakarzinoms A. Schneeweiss* (Heidelberg, D)	172
	Faslodex – die Erweiterung der Therapiesequenz beim metastasierten Mammakarzinom N. Harbeck* (München, D)	172a
	Hormontherapie des Prostatakarzinoms – doch ein kurativer Ansatz? T. Ebert* (Fürth, D)	172b
	Neue Therapieansätze in der Karzinombehandlung – Novels und Ausblicke W. Eberhardt* (Essen, D)	172c

Symposium der Fa. Pharmion

12:15– **1st-line Therapie des multiplen Myeloms und epigenetische** **Saal 2**
 13:45 **Therapieansätze bei MDS / AML**

Vorsitz: H. Einsele (Würzburg, D); A. Ganser (Hannover, D)

1st-line Therapie des multiplen Myeloms:

Einführung **173**
 H. Einsele* (Würzburg, D)

1st-line Therapie des multiplen Myeloms **173a**
 M. Kropff* (Münster, D)

Diskussion

Epigenetische Therapieansätze bei MDS / AML:

Einführung **173b**
 A. Ganser* (Hannover, D)

Epigenetik: Demethylierende Substanzen und HDAC-Inhibitoren **173c**
 N. Gattermann* (Düsseldorf, D)

5-Azacytidin bei AML **173d**
 D. Niederwieser* (Leipzig, D)

Diskussion

Satellitensymposium der Fa. Amgen GmbH

12:15– **Neue Therapiestrategien in der Onkologie durch biotechnologische** **Saal 3**
 13:45 **Präparate von AMGEN**

Vorsitz: C. Bokemeyer (Hamburg, D); H. Döhner (Ulm, D)

Dosisdichte Chemotherapie des Mammakarzinoms in der Adjuvans: Kann man oder muss man? **174**
 V. Möbius* (Frankfurt/Main, D)

Stellenwert G-CSF-gestützter dosisdichter Therapiekonzepte in der Standardbehandlung von Non-Hodgkin-Lymphomen **174a**
 U. Dührsen* (Essen, D)

Erythropoiesis stimulating factors in the treatment of MDS **174b**
 E. Hellström-Lindberg* (Stockholm, S)

Fortschritte durch innovative Anti-EGFR-Strategien beim metastasierten kolorektalen Karzinom **174c**
 D. Arnold* (Halle, D)

Innovationen in der Behandlung von Knochenerkrankungen und der ITP aus der biotechnologischen Forschung bei AMGEN **174d**
 J. Dommaschk* (München, D)

Satellitensymposium der Fa. Lilly Deutschland GmbH

12:15– 13:45	Länger und besser leben beim Mammakarzinom	Saal 14
	<i>Vorsitz: S. Seeber (Essen, D); T. Tesch (Frankfurt/Main, D)</i>	
	Moderation & Einführung	175
	S. Seeber*, H. Tesch* (Essen, Frankfurt/Main, D)	
	Die Biologie des Mammakarzinom	175a
	H.P. Sinn* (Heidelberg, D)	
	Therapie des metastasierten Mammakarzinom	175b
	V. Heinemann* (München, D)	
	Falldiskussion nach Anthrazyklin-Vorbehandlung	175c
	D. Lüftner* (Berlin, D)	
	Therapie in der adjuvanten Situation: die SUCCESS-Studie	175d
	B. Rack* (München, D)	
	Lilly Konzepte: individualisierte Therapie und Pipeline-Produkte	175e
	T. Bauknecht* (Bad Homburg, D)	
	Take home message	
	S. Seeber*, H. Tesch* (München, Frankfurt/Main, D)	

Satellitensymposium der Fa. Sanofi-Aventis Deutschland GmbH

12:15– 13:45	Aktuelle Entwicklungen beim Magenkarzinom	Saal 5
	<i>Vorsitz: H.-J. Schmoll (Halle, D)</i>	
	Diagnostik des Magenkarzinoms	176
	T. Seufferlein* (Ulm, D)	
	Stellenwert von Taxotere in der Therapie des Magenkarzinoms	176a
	P. Reichardt* (Berlin, D)	
	Das Magenkarzinom, eine interdisziplinäre Herausforderung?	176b
	F. Lordick* (München, D)	

Satellitensymposium der Fa. Gilead Sciences GmbH

12:15– 13:45	Welche antimykotische Therapie ist modern – prä-emptiv oder empirisch?	Saal 10
	<i>Vorsitz: D. Niederwieser (Leipzig, D); H. Einsele (Würzburg, D)</i>	
12:15	Begrüßung und Hinführung zur Thematik	177
	D. Niederwieser* (Leipzig, D)	
12:25	Wie exotisch sind Exoten?	177a
	V. Rickerts* (Frankfurt/Main, D)	
12:50	Therapieentscheidung im Spannungsfeld zwischen Zeit und Wirkspektrum	177b
	H. Einsele* (Würzburg, D)	
13:15	Anforderungen an die empirische Therapie - Diskussion am Beispiel AmBiLoad	177c
	C. Rieger* (München, D)	
13:40	Zusammenfassung und Resumee	177d
	H. Einsele* (Würzburg, D)	

Satellitensymposium der Fa. MSD Sharp & Dohme GmbH

12:15–
13:45 **Moderne Therapie systemischer Mykosen: eine wertvolle Investition in den Patienten** **Saal 11**

Vorsitz: H. Ostermann (München, D)

Mikrobiologische Aspekte **178**
A. Rodloff* (Leipzig, D)

Therapie systemischer Mykosen **178a**
O. Cornely* (Köln, D)

Wechselwirkungen von Antimykotika **178b**
H. Ostermann* (München, D)

MSD unterstützt die AGIHO*

*Arbeitsgemeinschaft Infektionen in der Hämatologie und Onkologie der DGHO

Fortbildung

14:00–
15:30 **Prostatakarzinom und Blase** **Mehrzweckfläche 1/2**

Vorsitz: E. Jäger (Frankfurt, D); K. Possinger (Berlin, D)

Systemische Therapie des Prostatakarzinoms; hormonablativ Therapie **179**
W. Aulitzky* (Stuttgart, D)

Management des fortgeschrittenen Prostatakarzinoms in der Praxis **180**
H. Tesch* (Frankfurt, D)

Lokale Therapie des Prostatakarzinoms **181**
A. Heidenreich* (Köln, D)

Fortbildung

14:00–
15:30 **Kolorektales Karzinom** **Mehrzweckfläche 3/4**

Vorsitz: H.-J. Schmoll (Halle, D); U. Vanhöfer (Hamburg, D)

Molekulare Targets beim Kolorektalkarzinom **182**
U. Gräven* (Mönchengladbach, D)

Adjuvante Therapie des Kolonkarzinoms **183**
W. Scheithauer* (Wien, A)

Therapie des fortgeschrittenen kolorektalen Karzinoms **184**
H.-J. Schmoll* (Halle, D)

Perioperative Therapie des Rektumkarzinoms **185**
R. Hofheinz* (Mannheim, D)

Fortbildung

14:00– 15:30	ZNS Tumoren	Saal 2
	<i>Vorsitz: E. Thiel (Berlin, D); R.-D. Kortmann (Leipzig, D)</i>	
	Blood brain barrier and progress in neuro-oncology and neuro-immaging	186
	E.A. Neuwelt* (Portland, USA)	
	Systemic therapy of brain metastasis	187
	M. deWit* (Hamburg, D)	
	State of the art in the management of primary ZNS Lymphoma	188
	A. Korfel* (Berlin, D)	
	Pathophysiology Neurology and and therapeutic approaches in menigeosis neoplastica	189
	B. Gleissner* (Homburg, D)	

Freie Vorträge

14:00– 15:30	Chronische Leukämien	Saal 1
	<i>Vorsitz: NN, NN</i>	
14:00	Der prädiktive Wert des molekularen Ansprechens auf Imatinib nach 12 Monaten: die Deutsche CMLIV Studie	V190
	P. Erben*, M. Müller, L. Sadikaj, M. Kripp, C. Schneider, T. Lorenz, T. Schenk, T. Ernst, S. Lauber, J. Kruth, S. Saußebe, T. Lahaye, U. Berger, R. Hehlmann, A. Hochhaus on behalf of the CML study group	
14:15	Eine Phase II Studie mit Nilotinib (AMN017), einem neuen Bcr-Abl Inhibitor, bei Patienten mit Imatinib resistenter oder intoleranter chronischer myeloischer Leukämie in chronischer Phase (CP)	V191
	P. le Coutre*, N. Gattermann, G. Baskaynak, S. O'Brien, T. Brümmendorf, K. Bhalla, A. Hochhaus, F. Cervantes, P. Schuld, T. Rafferty, O. Ottmann, H. Kantarjian (Berlin, Düsseldorf, Hamburg, Mannheim, Nürnberg, Frankfurt, D; Newcastle, UK; Barcelona, E, Tampa, New Jersey, Houston, USA)	
14:30	Dasatinib in der Behandlung der CML in chronischer Phase nach Versagen von Imatinib: eine Phase-II-Studie	V192
	A. Hochhaus*, T. Brümmendorf, D. Niederwieser, T. Fischer, O. Ottmann, A. Gratwohl, P. Valent, M. Müller, P. Erben, T. Lahaye, J. Radich, S. Branford, H. Kantarjian, C. Nicaise, R. Ezzedine, B. Druker (Mannheim, Hamburg, Leipzig, Mainz, Frankfurt, D; Basel, CH; Wien, A; Adelaide, AUS; Seattle, Houston, Wallingford, Portland, USA)	
14:45	Ansprechen von Dasatinib nach Imatinib-Versagen in Abhängigkeit vom Vorliegen unterschiedlicher Bcr-Abl-Mutationen	V193
	M.C. Müller*, P. Erben, T. Schenk, S. Lauber, J. Kruth, J. Hoffmann, T. Ernst, M. Schatz, T. Lahaye, G. Metzgeroth, M. Acevedo, C. Nicaise, R. Hehlmann, A. Hochhaus (Mannheim, D; Wallingford, USA)	
15:00	Allogene Stammzelltransplantation bei chronischer myeloischer Leukämie nach Imatinib-basierter Primärtherapie: der Hauptdeterminator des Transplantationsergebnisses bleibt der Prätransplantations-Risikoscore	V194
	D.W. Beelen*, A.H. Elmaagacli, H. Ottinger, R. Peceny, R. Trenschel, N. Steckel, M. Koldehoff, M. Ditschkowski, M. Hlinka, M. Engelhard, C. Schulte, H. Grosse-Wilde (Essen, D)	
15:15	Adoptive Donorlymphozytentransfusionen sind zur Induktion lang anhaltender molekularer Remissionen notwendig nach Transplantation von CD34+ Zellen bei Patienten mit CML in erster chronischer Phase- Ergebnisse einer Langzeitbeobachtung einer Phase II Studi	V195
	A. Elmaagacli*, M. Koldehoff, N.K. Steckel, R. Peceny, H. Ottinger, R. Trenschel, D.W. Beelen (Essen, D)	

Freie Vorträge

- | | | |
|-----------------|--|---------------|
| 14:00–
15:30 | Akute Promyelozytenleukämie | Saal 4 |
| | <i>Vorsitz: A. Franke (Magdeburg, D), H. Link (Kaiserslautern, D)</i> | |
| 14:00 | Untersuchung von Leukämieentstehung Mithilfe synthetischer Onkogene: ein Rapamycin-sensitives Mausmodell für APL | V196 |
| | T.M. Sternsdorf*, V.T. Phan, C.B. Ocampo, S.C. Kogan, M. Downes, R.M. Evans (La Jolla, San Francisco, USA) | |
| 14:15 | Genomweite Analysen der PML-RARalpha Bindung durch ChIP-chip legt onkogene Netzwerke dar | V197 |
| | C. Hömme*, K. Nieselt, M. Zschunke, C. Disselhoff, S. Argawal, M. McClelland, Y. Wang, W. Berdel, H. Serve, C. Müller-Tidow (Münster, Tübingen, D; San Diego, USA) | |
| 14:30 | Die direkte Interaktion von PU.1 mit den APL-assoziierten Fusionsproteinen PML/RAR und PLZF/RAR trägt zu seiner Inaktivierung bei | V198 |
| | A. Seshire, D. Hoelzer, M. Ruthardt, E. Puccetti* (Frankfurt, D) | |
| 14:45 | APC interagiert direkt mit PLZF/RAR aber nicht mit PML/RAR | V199 |
| | A. Seshire, D. Hoelzer, M. Ruthardt, E. Puccetti* (Frankfurt, D) | |
| 15:00 | Nur Arsen und nicht die All-trans Retinsäure überwindet die abnorme Stammzellaktivität PML/RAR- positiver Leukämienstammzellen | V200 |
| | X. Zheng, B. Rüster, A. Seshire, D. Hoelzer, R. Henschler, M. Ruthardt* (Frankfurt, D) | |

Freie Vorträge

- | | | |
|-----------------|---|---------------|
| 14:00–
15:30 | Immunologie (Immunmodulation) | Saal 5 |
| | <i>Vorsitz: T. Wölfel (Main, D), A. Mackensen (Regensburg, D)</i> | |
| 14:00 | Identifikation neuer für regulatorische CD4+CD25highFOXP3+ T-Zellen spezifischer Gene in CLL Patienten und gesunden Spendern | V201 |
| | M. Beyer*, M. Kochanek, D. Eggle, A. Popov, E. Endl, P. A. Knolle, S. Classen, S. Debey-Pascher, J. Schultze (Köln, Bonn, D) | |
| 14:15 | Regulatorische T-Zellen hemmen die Effizienz einer Antigen-spezifischen T-Zell Antwort in vivo | V202 |
| | D. Kofler*, M. Chmielewski, T. Riet, H. Köhler, P. Schmidt, G. Rappl, A. Hombach, M. Hallek, C.-M. Wendtner, H. Abken (Köln, D) | |
| 14:30 | Selektiver Metalloproteinase-Inhibitor blockiert Schädigung von normalen Zellen bei der anti-CD30-Immuntherapie von Lymphomen | V203 |
| | H. Hansen*, E. Pogge von Strandmann, V. Lakshmi Simhadri, D. Eichenauer, A. Ludwig, K. Reiners, B. von Tresckow, A. Engert (Köln, Aachen, D) | |
| 14:45 | Der ruhende Zustand humaner CD4+ T-Zellen wird durch TGFbeta reguliert | V204 |
| | S. Classen*, D. Eggle, M. Beyer, J. Chemnitz, A. Popov, S. Debey-Pascher, T. Zander, J.L. Schultze (Köln, D) | |
| 15:00 | Rekombinante Immunrezeptoren durchbrechen die Toleranz von autologen Tumorzellen und induzieren eine Antigen-spezifische T-Zellantwort | V205 |
| | A Hombach*, D. Kofler, M. Chmielewski, H. Köhler, T. Riet, C. Kopetzky, A. Wieczarkowicz, N. Fein, C. Ederer, M. Suther, P. Schmidt, H. Abken(Köln, D) | |
| 15:15 | Peritumorale Inflammation ist charakterisiert durch die Kombination von inhibitorischen Mechanismen: Rolle von Prostaglandin E2 bei der Induktion tolerogener dendritischer Zellen | V206 |
| | A. Popov*, C. Wickenhauser, J. Driesen, S. Classen, T. Saric, M. von Bergwelt-Baildon, M. Beyer, J. Chemnitz, S. Debey-Pascher, F. Hanisch, J. Schultze (Köln, D) | |

Fortbildung

15:45– 17:15	MDS	Mehrzweckfläche 1/2
	<i>Vorsitz: A. Ganser (Hannover, D); C. Aul (Duisburg, D)</i>	
	Diagnostik und Prognose-Scores	207
	U. Germing* (Düsseldorf, D)	
	Immunmodulatorische und differenzierungsinduzierende Therapie	208
	M. Lübbert* (Freiburg, D)	
	Intensive Chemotherapie und Stammzelltransplantation	209
	N. Kröger* (Hamburg, D)	

Fortbildung

15:45– 17:15	Nierenzellkarzinom	Mehrzweckfläche 3/4
	<i>Vorsitz: S. Seeber (Essen, D); W.M. Fiedler (Hamburg, D)</i>	
	Molecular pathology and biology of RCC	210
	S. Störkel* (Wuppertal, D)	
	New Standardtherapy of Renal Cell Carcinoma: Role of VGF-raf-kinase and mTor inhibitors	211
	C.-H. Köhne* (Oldenburg, D)	
	Second-line therapy for RCC	212
	L. Bergmann* (Frankfurt, D)	
	Immunotherapy and Vaccination strategies	213
	A. Knuth* (Zürich, CH)	

Fortbildung

15:45– 17:15	Bronchuskarzinom	Saal 2
	<i>Vorsitz: G. D'Addario (St. Gallen, CH), A. Schülte (Halle, D)</i>	
	Genetic alterations and therapeutic targets of NSCLC	214
	M. Schuler* (Mainz, D)	
	Adjuvant therapy of the resected NSCLC	215
	R. Pirker* (Wien, A)	
	Neoadjuvant/perioperative therapy in patients with limited stage of NSCLC	216
	W. Eberhardt* (Essen, D)	
	First and second line therapy of advanced NSCLC	217
	M. Thomas* (Heidelberg, D)	

Freie Vorträge

- 15:45–17:15 **Allogene Stammzelltransplantation** **Saal 4**
Vorsitz: R. Handgretinger (Tübingen, D), NN
- 15:45 Alemtuzumab ist ein Risikofaktor für inkomplettes T-Zell-Engraftment bei Patienten mit CLL** **V218**
 J. Schetelig*, C. Thiede, M. Bornhäuser, B. Mohr, U. Oelschlägel, G. Geissler, R. Schwerdtfeger, H. Baumann, A. Kiani, U. Platzbecker, A. Helwig, W. Siegert, G. Ehninger for the German Cooperative Transplant Study Group
- 16:00 Allogene hämatopoietische Zelltransplantation bei Osteomyelofibrose – Erkenntnisse aus den Ergebnissen eines Zentrums** **V219**
 H. Baumann*, F. Collenbusch, I. Burlakova, C. Thiede, M. Schleuning, R. Schwerdtfeger (Wiesbaden, Dresden, D)
- 16:15 Frühe Gabe von aufgereinigten CD56+CD3- NK-Zellen nach haploidenten Stammzelltransplantation in der Behandlung von myeloischen und lymphatischen Malignomen** **V220**
 C. Gentilini*, U. Hilbers, V. Huppert, C. Loddenkemper, T. Lange, N. Basara, M. Uhrberg, E. Thiel, D. Niederwieser, L. Uharek (Berlin, Leipzig, Bergisch Gladbach, Düsseldorf, D)
- 16:30 Haploidente allogene hämatopoetische Stammzelltransplantation bei Erwachsenen mit CD3/CD19 depletiertem Transplantat und dosisreduzierter Konditionierung: schnelles Engraftment und niedrige Toxizität** **V221**
 W. Bethge*, C. Faul, M. Bornhäuser, G. Stuhler, M. Stelljes, P. Lang, R. Handgretinger, L. Kanz (Tübingen, Dresden, Würzburg, Münster, D)
- 16:45 Etablierung eines PCR-basierten Testsystems zum gleichzeitigen Nachweis von Spenderchimärismus und Gewebsspezifität an kleinen Proben** **V222**
 S. Bakhtiar*, K. Bender, T. Schmitt, A. Konur, C. Huber, W. Herr, R.G. Meyer (Mainz, D)
- 17:00 Prophylaktische CD8-depletierte Spenderlymphozyten unterstützen die T-Zellrekonstitution und den hämatopoetischen Spenderchimärismus** **V223**
 R. G. Meyer*, C.M. Britten, A. Konur, G. Heß, K. Bender, D. Wehler, C. Gentilini, L. Uharek, T.C. Wehler, C. Huber, K. Kolbe, W. Herr (Mainz, Berlin, D)

Freie Vorträge

- 15:45–17:35 **Stammzellbiologie 1** **Saal 5**
Vorsitz: NN, S. Frühau (Heidelberg, D)
- 15:45 Adhäsion verschiedener Fraktionen hämatopoetischer Progenitorzellen and supportiven Zellen** **V224**
 C. Roderburg*, W. Wagner, F. Wein, R. Saffrich, A. Faber, V. Eckstein, A.D. Ho (Heidelberg, D)
- 15:57 Ventx-2 - ein Vent-like Homeoboxgen - ist ein neuer Kandidat für ein regulatorisches Protein in der Hämatopoese** **V225**
 N. Arseni*, F. Ahmed, T. Sadlon, R.J. d'Andrea, W. Hiddemann, C. Buske, M. Feuring-Buske (München, D; Adelaide, AUS)
- 16:09 Antigen- und Expressionsprofil isolierter Stromazelllinien aus der Aorta-Gonado-Mesonephros (AGM) Region** **V226**
 K.C. Weisel*, Y. Gao, E. Schweigle, M.A. Moore, L. Kanz, R. Möhle (Tübingen, D; New York, USA)
- 16:21 Analyse der hämopoetische Stammzellnische in der embryonalen Aorta-Gonaden- und Mesonephrosregion** **V227**
 R.A.J. Oostendorp, M.O. Judex*, J. Renström, R. Lange, J. Mages, C. Peschel (München, D)
- 16:33 Die konstitutive Expression von ABCG2 - der molekularen Determinante der Side Population – induziert myeloische Differenzierung in vitro und in vivo** **V228**
 F. Ahmed*, N. Arseni, W. Hiddemann, C. Buske, M. Feuring-Buske (München, D)
- 16:45 Präparation von mesenchymalen Stammzellen aus Nabelschnurblut in einem tiereserumfreien Verfahren** **V229**
 A. Reinisch*, C. Malischnik, E. Rohde, K. Schallmoser, V. Bjelic-Radisic, D. Strunk (Graz, A)
- 16:57 Leukozyten unterstützen die vaskuläre Regeneration** **V230**
 E. Rohde*, C. Malischnik, K. Schallmoser, A. Reinisch, G. Lanzer, W. Linkesch, C. Guelly, D. Strunk (Graz, A)
- 17:09 Deutscher Titel nicht vorhanden** **V231**
 A.K. Trivedi*, D. Bararia, M. Christopheit, A.A. PeerZada, S.M. Singh, G. Behre (Halle, D)
- 17:21 Deutscher Titel nicht vorhanden** **V232**
 D. Bararia*, A. Trivedi, A. PeerZada, M. Christopheit, S. Bohlander, G. Behre (Halle, München, D)

Freie Vorträge

- | | | |
|-----------------|---|----------------|
| 15:45–
17:15 | Chronische lymphatische Leukämie / Prolymphozytenleukämie | Saal 10 |
| | <i>Vorsitz: U. Dührsen (Essen, D), B. Emmerich (München, D)</i> | |
| 15:45 | Genomweite Analyse von Veränderungen der DNA-Kopienzahl mit SNP-Microarrays bei der CLL | V233 |
| | <i>D. Pfeifer*, M. Pantic, J. Rawluk, U. Martens, C. Kreutz, J. Timmer, H. Veelken (Freiburg, D)</i> | |
| 16:00 | Die Rolle von CD31 Interaktionen in B-CLL | V234 |
| | <i>G. Rubenzer*, R. Greil, I. Tinhofer (Salzburg, A)</i> | |
| 16:15 | Spezifische Zytotoxizität gegen chronische lymphatische Leukämie durch den Lipoprotein Lipase Inhibitor Orlistat | V235 |
| | <i>C.P. Pallasch*, J. Schwamb, A. Schulz, D. Kofler, S. Debey, J.L. Schultze, M. Hallek, A. Ultsch, C.M. Wendtner (Köln, Marburg, D)</i> | |
| 16:30 | Zytotoxische T-Zellen gegen heteroclitische Peptide töten primäre Tumorzellen unabhängig von der Bindungsaffinität der nativen Peptide zu HLA-A2 | V236 |
| | <i>K. Zirik*, D. Zahrieh, D. Neuberg, J. Gribben (Freiburg, D; Boston, USA; London, UK)</i> | |
| 16:45 | T-Zellrezeptor-Klonalitäten und BCR V Gen Verwendung in B-CLL | V237 |
| | <i>A. Egle*, C. Holler, J. Pinon, R. Greil (Salzburg, A)</i> | |
| 17:00 | Nachweis von T-Zellen mit sehr kurzen Telomeren und hoher Telomeraseaktivität bei der T-Prolymphozytenleukämie (T-PLL) | V238 |
| | <i>A. Röth*, J. Dürig, H. Himmelreich, R. Siebert, S. Bug, U. Dührsen, P. Lansdorp, G. Baerlocher (Essen, Kiel, D; Bern, CH; Vancouver, CAN)</i> | |
| 18:00–
19:30 | Posterausstellung P424 – P672 | |
| | <i>(siehe Seiten XX – XX)</i> | |

07:30– 08:30	Mitgliederversammlung der DGHO	Saal 1
07:30– 08:30	Mitgliederversammlung der ÖGHO	Saal 11
	Plenarsaal	
08:30– 10:00	Targeted therapies: The new slogan in oncology <i>Vorsitz: D. Lutz (Linz, A); D. Niederwieser (Leipzig, D)</i>	Plenarsaal
	Targeted therapies in oncology M. Fey* (Bern, CH) 290	
	Disease modelling M. Löffler* (Leipzig, D)	291
	Acute lymphoblastic leukemia D. Hölzer* (Frankfurt/Main, D)	292
	Chronic myelogenous leukemia M. Deininger* (Portland, USA)	292a
	Symposium	
08:30– 10:00	Infektionen in der Hämatologie und Onkologie <i>Vorsitz: C. Lass-Flörl (Innsbruck, A); H. Ostermann (München, D)</i>	Saal 1
	Antibiotika Prophylaxe S. Reuter* (Ulm, D)	243
	Infektionen unter Antikörpertherapie O. Cornely* (Köln, D)	244
	Stellenwert neuer Antibiotika und Antimykotika G. Maschmeyer* (Potsdam, D)	245
	Symposium	
08:30– 10:00	SHG-OSHO <i>Vorsitz: A. Hochhaus (Mannheim, D); D. Niederwieser (Leipzig, D)</i>	Mehrzweckfläche 1/2
	CML: Therapiekonzept und erste Ergebnisse der OSHO T. Lange* (Leipzig, D)	246
	Neue Therapieoptionen bei BCR-ABL negativen myeloproliferativen Erkrankungen A. Reiter* (Mannheim, D)	247
	Die NHL-Studien der OSHO M. Herold* (Erfurt, D)	248
	Onkogene Signaltransduktionswege beim multiplen Myelom: Identifizierung therapeutischer Zielstrukturen und Entwicklung molekularer Therapieansätze R. Bargou* (Würzburg, D)	249

Freie Vorträge

- 08:30–10:00 **Myeloproliferatives Syndrom / Mastozytose** **Mehrzweckfläche 3/4**
Vorsitz: P. Valent (Wien, A), NN
- 08:30 **Eine neue hämatopoetische Stammzellerkrankung mit t(8;9)(p22;p24) und PCM1-JAK2 Fusionsgen** **V250**
 C. Walz*, P. Erben, O.G. Ottmann, H. Sill, A. Tzankov, A. Hochhaus, R. Hehlmann, N.C.P. Cross, A. Reiter (Mannheim, Frankfurt, D; Graz, Innsbruck, A; Salisbury, UK)
- 08:40 **Nachweis von aktiviertem STAT5 in neoplastischen Zellen in verschiedenen myeloischen Neoplasien** **V251**
 K. Sonneck*, R. Fritz, L. Müllauer, K.V. Gleixner, M. Mayerhofer, M. Kerényi, W.R. Sperr, C. Sillaber, R. Moriggl, P. Valent (Wien, A)
- 08:50 **Klinische Charakteristika und Ansprechen auf Imatinib bei FIP1L1-PDGFRα positiver chronischer Eosinophilenleukämie** **V252**
 G. Metzgeroth*, H. Popp, P. Erben, C. Walz, J. Mix, R. Hehlmann, A. Hochhaus, A. Reiter (Mannheim, D)
- 09:00 **Sensitiver Nachweis und Quantifizierung der JAK2 V617F Mutation bei Bcr-Abl negativen chronisch-myeloproliferativen Erkrankungen durch neue PCR-Anwendungen** **V253**
 J. Kruth*, P. Erben, G. Metzgeroth, M. Müller, T. Schenk, S. Lauber, C. Walz, R. Hehlmann, A. Hochhaus, A. Reiter (Mannheim, D)
- 09:10 **Serum Tryptase als neuer Marker myeloischer Neoplasien** **V254**
 W.R. Sperr*, A. El-Samahi, M. Girschikofsky, S. Winkler, H. Semper, G. Endler, O. Wagner, D. Lutz, P. Valent (Wien, Linz, A)
- 09:20 **Update der deutschen ET-Studie: Inzidenz von Komplikationen im Langzeitverlauf** **V255**
 M. Griesshammer*, E. Lengfelder, R. Hehlmann, A. Reiter, A. Wehmeier, H. Beneke, H. Gisslinger, H. Döhner, H. Heimpel (Ulm, Mannheim, Remscheid, D, Wien, A)
- 09:30 **Pegyliertes Interferon alpha (PegIntron) in der Behandlung der Polycythämia vera. Eine prospektive multizentrische Phase 2 Studie** **V256**
 K. Merx*, A. Fabarius, J. Kruth, P. Erben, M. Schatz, H. Pahl, M. Griesshammer, B. Stade, H. Kreipe, A. Schmitt-Gräff, J. Thiele, A. Reiter, A. Hochhaus, R. Hehlmann, E. Lengfelder (Mannheim, Freiburg, Ulm, München, Hannover, Köln, D)
- 09:40 **Dasatinib hemmt alleine und in Kombination mit Cladribine die Proliferation von KIT-D816V positiven humanen Mastzellen** **V257**
 K.V. Gleixner*, M. Mayerhofer, K.V. Sonneck, A. Gruze, P. Samorapoompichit, F.Y. Lee, W.F. Pickl, C. Sillaber, P. Valent (Wien, A; Princeton, USA)
- 09:50 **Therapie der systemischen Mastozytose mit Nilotinib (AMN107) - eine Phase-II-Studie** **V258**
 A. Hochhaus*, G. Verhoef, N. Gattermann, O. Ottmann, P. Erben, T. Schenk, P. le Coutre, T. Schimansky, T. Rafferty, P. Schuld, A. Reiter, A. Schmitt-Graeff, A. Gratwohl (Mannheim, Düsseldorf, Frankfurt, Berlin, Freiburg, D; Leuven, B; Basel, CH)

Freie Vorträge

- 08:30–10:00 **Multiples Myelom** **Saal 2**
Vorsitz: H. Ludwig (Wien, A), H. Einsele (Tübingen, D)
- 08:30 **Bedeutung und Regulation der Heat Shock Proteine 90alpha und 90beta in der Pathophysiologie des multiplen Myeloms** **V259**
 M. Chatterjee*, S. Jain, T. Stühmer, M. Andrulis, U. Ungethüm, R. Kuban, K. Bommert, M. Topp, D. Krämer, H. Müller-Hermelink, H. Einsele, A. Greiner, R. Bargou (Würzburg, Heidelberg, Berlin, D)
- 08:45 **Molekularzytogenetische Untersuchung zur Inzidenzbestimmung chromosomaler Aberrationen bei der monoklonalen Gammopathie unklarer Signifikanz (MGUS)** **V260**
 C. Wendl*, A. Greiner, H. Döhner, P. Liebisch (Ulm, D)

09:00 **Bortezomib inhibiert die humane Osteoklastogenese** V261
I. von Metzler*, M. Hecht, H. Krebbel, C. Fleissner, M. Mieth, M. Kaiser, U. Heider, C. Jakob, J. Sterz, O. Sezer (Berlin, D)

09:15 **Deutscher Titel nicht vorhanden** V262
C. Pfrepper*, C. Kliem, R. Krahl, H.-K. Al-Ali, W. Pönisch, N. Basara, D. Niederwieser (Leipzig, D)

Freie Vorträge

08:30–10:00 **Prognostische Faktoren und Therapie der chronischen lymphatischen Leukämie** Saal 3

Vorsitz: R. Greil (Salzburg, D), P. Dreger (Heidelberg, D)

08:30 **Klonale Evolution bei der CLL** V263
S. Stilgenbauer*, S. Sander, L. Bullinger, A. Benner, E. Leupolt, D. Winkler, A. Kröber, D. Kienle, P. Lichter, H. Döhner (Ulm, Heidelberg, D)

08:45 **Genexpressionssignaturen bei CD38+ZAP-70+ vs. CD38-ZAP-70- CLL** V264
J. Dürig*, A. Hüttmann, L. Klein-Hitpass, J. Thomale, U. Dührsen (Essen, D)

09:00 **Der GNAS1 T393C Polymorphismus ist assoziiert mit dem Krankheitsverlauf und dem Gesamtüberleben bei der chronischen lymphatischen Leukämie** V265
H. Nückel*, L. Sellmann, D. Bechtel, J. Dürig, R. Küppers, W. Siffert, U. Dührsen, U. Frey (Essen, D)

09:15 **Serum Thymidine Kinase zeigt sich als geeigneter Prognosefaktor für jüngere Patienten mit chronischer lymphatischer Leukämie, während beta 2 Mikroglobulin bei älteren Patienten mit chronischer lymphatischer Leukämie zwischen guter und schlechter Prognose** V266
P. Jenke*, P. Cramer, V. Goede, R. Busch, M. Hallek, B. Eichhorst, GCLLSG. German Chronic Lymphocytic Leukemia Study Group (Köln, München, D)

09:30 **Komorbidität als unabhängiger Prognoseparameter bei Patienten mit chronischer lymphatischer Leukämie** V267
P. Cramer*, V. Goede, P. Jenke, R. Busch, M. Hallek, B. Eichhorst, GCLLSG German CLL Study Group (Köln, München, D)

09:45 **Die Konsolidierung mit Alemtuzumab führt zu einem verbesserten progressionsfreien Überleben bei Patienten mit CLL in Erstremission – Langzeit-Follow-up einer randomisierten Phase III Studie der Deutschen CLL Studiengruppe (DCLLSG)** V268
C. D. Schweighofer*, M. Ritgen, B. Eichhorst, R. Busch, M. Kneba, M. Hallek, C.-M. Wendtner für die Deutsche CLL Studiengruppe (DCLLSG)

Freie Vorträge

08:30–10:00 **Graft-versus-Host-Disease** Saal 4

Vorsitz: D.W. Beelen (Essen, D), R. Schwerdtfeger (Wiesbaden, D)

08:30 **T-Zell-Depletion verhindert Bronchiolitis obliterans (BO) und Bronchiolitis obliterans mit organisierender Pneumonie (BOOP) nach allogener Stammzelltransplantation mit verwandten Spendern** V269
M. Ditschkowski*, A.H. Elmaagacli, R. Trenschele, M. Hlinka, N. Steckel, M. Koldehoff, D.W. Beelen (Essen, D)

08:45 **GVHD Prophylaxe mit Everolimus und Tacrolimus bei MDS Patienten nach allogener PBSZT** V270
U. Platzbecker*, I. Wagner, C. Pabst, A. Kiani, J. Schetelig, M. Wermke, A. Helwig, G. Ehninger, M. Bornhäuser (Dresden, D)

09:00 **Einfluss von Toll-like-Rezeptoren auf Graft-versus-Host Erkrankung nach allogener Stammzelltransplantation** V271
A. Nogai*, M. Heimesaat, M. Thiele, S. Bereswill, E. Thiel, U. Göbel, L. Uharek (Berlin, D)

09:15 **Behandlung der akuten Steroid refraktären Graft-versus-Host Disease mit Campath-1H** V272
M. Egger*, H. Bertz, A. Rückert, R. Wäsch, J. Finke (Freiburg, D)

09:30 **Präferentielle Integration retroviraler Vektoren in Rezeptor-, Signalkaskade- und Transkriptionsregulator-Gene in T-Lymphozyten in vitro und in vivo** **V273**
 F. A. Giordano*, B. Fehse, A. Hotz-Wagenblatt, S. Jonnakuty, C. Del Val, J.-U. Appelt, K. Z. Nagy, K. Kuehlicke, S. Naundorf, A. R. Zander, W. J. Zeller, A. D. Ho, S. Laufs, S. Fruehauf (Heidelberg, Eppendorf, Hamburg, Idar-Oberstein, D)

09:45 **Verminderte Zahl an (IgD-/CD27+) Memory-B-Lymphozyten als neuer Biomarker für chronische Graft-versus-Host Erkrankung** **V274**
 D. Pohlreich*, H. Greinix, K. Feldmann, U. Koermoeczi, I. Lohmann, M. Mitterbauer, P. Kalhs, W. Rabitsch, A. Schulenburg, C. Zielinski, W. Pickl (Wien, A)

Freie Vorträge

08:30–10:00 **Onkologie 1** **Saal 5**

Vorsitz: J. Ritter (Münster, D), J. Thaler (Wels, A)

08:30 **Apoptose- und Zellzyklusregulatoren bei neuroendokrinen Tumoren: Rolle von p27** **V275**
 P. Grabowski*, J. Schrader, D. Hörsch, R. Arnold, C. N. Arnold, H. Stein, M. Zeitz, P. T. Daniel, I. Sturm (Berlin, Marburg, D)

08:45 **Zunahme des hepatozellulären und des intrahepatischen cholangiozellulären Karzinoms im Nordosten Deutschlands** **V276**
 R. Schurr*, U. Stölzel, D. Schuppan, C. Schwertner, J. Steinberg, H. Scherübl (Berlin, Chemnitz, D; Boston, USA)

09:00 **Capecitabin in Kombination mit Docetaxel und Mitomycin C bei Patienten mit fortgeschrittener Tumorerkrankung: Ergebnisse einer Phase-I/II Studie** **V277**
 T. Ernst*, B. Schultheis, K. Merx, U. Gnad-Vogt, N. Lukan, R. Hehlmann, A. Hochhaus, R.-D. Hofheinz (Mannheim, D)

09:15 **Assoziation zwischen G-CSF Dosis und Leukämieentstehung bei Patienten mit congenitalen Neutropenien** **V278**
 C. Zeidler*, B. Schwinzer, G. Pracht, K. Welte for the European Branch of the Severe Chronic Neutropenia International Registry (SCNIR)

09:30 **Aktivierung des PI3K/Akt Signalwegs ist ein neuer negativer prognostischer Marker beim Neuroblastom** **V279**
 D. Opel*, C. Poremba, T. Simon, K. Debatin, S. Fulda (Ulm, Düsseldorf, Köln, D)

09:45 **Verlust der Caspase-8 Expression korreliert nicht mit MYCN Amplifikation, fortgeschrittener Krankheit oder Prognose beim Neuroblastom** **V280**
 S. Fulda*, C. Poremba, B. Berwanger, S. Häcker, M. Eilers, H. Christiansen, B. Hero, K. Debatin (Ulm, Düsseldorf, Marburg, Köln, D)

Plenarsitzung

10:00–12:00 **Beste Abstracts**

Vorsitz: G. Ehninger (Dresden, D); D. Niederwieser (Leipzig, D)

10:00 **Card9 kontrolliert einen neuen NF-κB aktivierenden Signalweg in der angeborenen Immunantwort** **157**
 O. Groß*, A. Gewies, K. Finger, M. Schäfer, T. Sparwasser, C. Peschel, I. Förster, J. Ruland (München, D)

10:15 **Das Epitop des monoklonalen Antikörpers Rituximab** **158**
 M. Binder*, F. Otto, R. Mertelsmann, H. Veelken, M. Trepel (Freiburg, D)

10:30 **Deutscher Titel nicht vorhanden** **159**
 A.A. PeerZada*, J.A. Pulikkan, D. Bararia, M. Geletu, A.K. Trivedi, M.J. Balkhi, G. Behre (Halle, D)

10:45 **Die JAK2V617F-Mutation ist bei sideroblastischer Anämie mit Thrombozytose häufig nachweisbar** **160**
 N. Gattermann*, J. Billiet, R. Kronenwett, E. Zipperer, U. Germing, F. Nollet, A. Criel, D. Selleslag (Düsseldorf, D; Brügge, B)

11:00 **Molekulare Charakterisierung der Tumorprogression in NSCLC** **161**
 A. Rohrbeck*, U.-P. Rohr, H. Geddert, M. Roskopf, A. von Haessler, A. Schwalen, R. Haas, R. Kronenwett (Düsseldorf, D; Vienna, A)

- 11:15 **Gemcitabin plus Treosulfan versus Treosulfan mono zur Behandlung des metastasierten Aderhautmelanoms: eine randomisierte Phase II Studie** **162**
 A. Schmittel*, M. Schmidt-Hieber, P. Martus, N. Bechrakis, R. Schuster, J. Siehl, M. Foerster, E. Thiel, U. Keilholz (Berlin, D)
- 11:30 **Intranodale RNA Vakzinierung als neue Methode zur Induktion von Immunantworten** **163**
 S. Kreiter*, R. Selmi, M. Diken, M. Koslowski, C. Huber, Ö. Türeci, U. Sahin (Mainz, D)
- 11:45 **Die Zugabe von Rituximab zur Primärchemotherapie mit MCP (Mitoxantron, Chlorambucil, Prednisolon) verlängert das Überleben von Patienten mit fortgeschrittenen folliculären Lymphomen** **164**
 M. Herold*, A. Haas, S. Srock, S. Nesper, K. Al Ali, A. Neubauer, G. Dölken, R. Naumann, T. Fietz, M. Freund, R. Rohrberg, K. Höffken, A. Franke, T. Ittel, E. Kettner, U. Haak, U. Mey, M. Assmann, U. von Grünhagen, K. Dachsel, H. Schwenke, D. Bleyl, H. Wolf, S. Hahnfeld, F. Hoffmann, V. Lakner, P. Richter, D. Hähling, H. Wolf, H. Eschenburg, M. Clemens, N. Grobe, D. Behringer für die Ostdeutsche Studiengruppe Hämatologie/Onkologie (OSHO)

Satellitensymposium der Fa. Roche Pharma AG

- 12:00–13:45 **Wie würden Sie diese Patienten behandeln?** **Saal 1**
Vorsitz: M. Herold (Erfurt, D)
- 12:00 **Einführung** **282**
 M. Herold* (Erfurt, D)
- Follikuläre NHL**
 Vorsitz: M. Herold (Erfurt, D)
- 12:05 **Patientenfall 1: Patient mit folliculärem NHL** **282a**
 M. Herold* (Erfurt, D)
- 12:20 **Patientenfall 2: Patient mit folliculärem NHL (eingereichter Patientenfall)** **282b**
→ Interaktiv durch Digivote/TED
 Moderator: M. Herold* (Erfurt, D)
- Aggressive NHL**
 Vorsitz: M. Pfreundschuh (Homburg, D)
- 12:35 **Patientenfall 3: Patient mit aggressivem NHL** **282c**
 M. Pfreundschuh* (Homburg, D)
- 12:50 **Patientenfall 4: Patient mit aggressivem NHL (eingereichter Patientenfall)** **282d**
→ Interaktiv durch Digivote/TED
 Moderator: M. Pfreundschuh* (Homburg, D)
- Chronische lymphatische Leukämie**
 Vorsitz: M. Hallek (Köln, D)
- 13:05 **Patientenfall 5: Patient mit CLL** **282e**
 M. Hallek* (Köln, D)
- 13:20 **Patientenfall 6: Patient mit CLL (eingereichter Patientenfall)** **282f**
→ Interaktiv durch Digivote/TED
 Moderator: M. Hallek* (Köln, D)
- 13:35 **Schlussworte** **282g**
 M. Hallek* (Köln, D)

Satellitensymposium der Fa. Pfizer

12:15–
13:45

●●●

Mehrzweckfläche 1/2

Vorsitz:

283

Satellitensymposium der Fa. Novartis Oncology und dem Kompetenznetz „Akute und chronische Leukämien“

12:15–
13:45

CML-Therapie 2006: Aktuelle Empfehlungen

Mehrzweckfläche 3/4

Vorsitz: A. Hochhaus (Mannheim, D)

12:15

Primärtherapie und Therapieoptimierung

284

A. Hochhaus* (Mannheim, D)

12:35

Stellenwert der allogenen Stammzelltransplantation

284a

M. Bornhäuser* (Dresden, D)

12:55

Mechanismen der Resistenzentwicklung

284b

A. Burchert* (Marburg, D)

13:15

Einsatz von neuen Tyrosinkinaseinhibitoren bei Resistenz

284c

O. Ottmann* (Frankfurt, D)

13:35

Diskussion

Satellitensymposium der Fa. The Binding Site GmbH

12:15–
13:45

Multiples Myelom und andere Plasmazeldyskrasien: neue Strategien durch die Bestimmung der freien Leichtketten im Serum

Saal 2

Vorsitz: H. Einsele (Würzburg, D); H. Ludwig (Wien, A)

Diagnose und Monitoring des multiplen Myeloms

285

J. Drach* (Wien, A)

Amyloidose and light chain deposition disease

285a

N. Zojer* (Wien, A)

Risikobeurteilung von MGUS

285b

S. Knop* (Würzburg, D)

Freie Leichtketten in der klinischen Routine

285c

M.R. Nowrousian* (Essen, D)

Removal of free light chains using dialysis

285d

A.R. Bradwell* (Birmingham, UK)

Satellitensymposium der Fa. Art Tempi

12:15–
13:45

●●●

Saal 3

Vorsitz:

Programm bis 25.09.2006

286

Satellitensymposium der Fa. Sirtex Medical Europe GmbH

12:15– 13:45	Liver directed radiotherapy with microspheres	Saal 4
	<i>Vorsitz:</i>	
	SIRT: Eine neue Technologie- Sicht des interventionellen Radiologen R.T. Hoffmann* (München, D)	287
	SIRT: Eine neue Technologie- Sicht des interventionellen Radiologen K. Tatsch* (München, D)	287a
	Ergebnisse der SIRT bei Lebermetastasen von kolorektalen und Mammakarzinomen T. Jacobs* (München, D)	287b
	Results in primary liver cancer and other metastatic disease H. Wasan* (London, UK)	287c
	Der ideale SIRT-Kandidat? A. Schalhorn*, T. Helmberger* (München, Lübeck, D)	287d

Satellitensymposium der Fa. Essex Pharma

12:15– 13:45	Strategien zur Behandlung und Prophylaxe invasiver Mykosen	Saal 5
	<i>Vorsitz: G. Maschmeyer (Potsdam, D); O. Cornely (Köln, D)</i>	
12:15	Begrüßung und Einleitung G. Maschmeyer* (Potsdam, D)	288
12:20	Aktuelle Epidemiologie und neue Erkenntnisse zu Risikofaktoren für Pilzinfektionen bei hämatologischen Patienten M. Karthaus* (Bielefeld, D)	288a
12:35	Invasive Mykosen: das Prinzip der präemptiven Therapie G. Maschmeyer* (Potsdam, D)	288b
12:50	Status quo und neue Erkenntnisse zur Prophylaxe bei Risikopatienten nach Stammzelltransplantation U. Schuler* (Dresden, D)	288c
13:10	Neues zur Prophylaxe bei AML Patienten O. Cornely* (Köln, D)	288d
13:30	Podiumsdiskussion	
13:40	Zusammenfassung und Verabschiedung O. Cornely* (Köln, D)	288e

Satellitensymposium der Fa. Therakos

12:15– 13:45	Therakos-photopheresis: present and future the next instrument generation	Saal 10
	<i>Vorsitz: ●●●●</i>	
	Photopheresis – the process, mechanism of action, indications and clinical trial program A. Bullinger* (Exton, USA)	289
	Clinical experience in chronic and acute GvHD H. Greinix* (Wien, A)	289a
	Cellex – the next photopheresis instrument generation M. Hutchinson* (Exton, USA)	289b

Symposium

14:00– 15:30	Tumorimmunologie	Plenarsaal
	<i>Vorsitz: C. Huber (Mainz, D); R. Andreesen (Regensburg, D)</i>	
	Overcoming tumor-intrinsic resistance to immune effector function G.J. Hämmerling* (Heidelberg, D)	239
	Novel tumor antigens and HLA ligands for cellular immunotherapy H.-G. Rammensee* (Tübingen, D)	240
	Novel antigens and monoclonal antibodies for treatment of cancer Ö. Türeci* (Mainz, D)	241
	Natural killer cell alloreactivity for leukemia therapy R. Handgretinger* (Tübingen, D)	242

Symposium

14:00– 15:30	Cancer stem cells	Saal 1
	<i>Vorsitz: B. Dörken (Berlin, D); R. Mertelsmann (Freiburg, D)</i>	
	Normal and malignant human breast epithelial stem cells C.J. Eaves* (Vancouver, CAN)	293
	Liver cancer stem cells D. Felsher* (Stanford, USA)	294
	AML stem cell targeting M. Ruthardt* (Frankfurt, D)	295

Symposium

14:00– 15:30	Autoimmunhämolytische Anämien und Eisenstoffwechsel	Mehrzweckfläche 1/2
	<i>Vorsitz: H. Heimpel (Ulm, D); H. Gadner (Wien, A)</i>	
	Therapie steroid-refraktärer autoimmunhämolytischer Anämien H. Schrezenmeier* (Ulm, D)	296
	Diagnose und Therapie autoimmunhämolytischer Anämien im Kindesalter A. Heitger* (Innsbruck, A)	297
	Pathophysiologie und Behandlung sekundärer Hämochromatosen bei angeborenen Anämien G. Janka-Schaub* (Hamburg, D)	298
	Behandlung der sekundären Hämochromatose bei erworbenen Anämie N. Gattermann* (Düsseldorf, D)	299

Freie Vorträge

- 14:00–
15:30 **NHL (Biologie und Therapie inkl. zerebrale Lymphome)** **Mehrzweckfläche 3/4**
Vorsitz: G. Dölken (Greifswald, D), M. Herold (Erfurt, D)
- 14:00 **Extranodale Marginalzonen B-Zell Lymphome sind aberrant somatisch hypermutier** **V300**
A. Deutsch*, A. Aigelreiter, P. Staber, C. Beham-Schmid, A. Beham, M. Frühwirth, W. Linkesch, P. Neumeister (Graz, A)
- 14:15 **Die transformierende Aktivität von REL ist in vitro erhöht durch eine aktivierende Mutation (Ser525Pro) innerhalb der transaktivierenden Domäne von REL bei zwei Patienten mit B-Zell-Lymphomen** **V301**
H. Trautmann*, D.T. Starczynowski, C. Pott, L. Harder, N. Arnold, R. Seibert, M. Kneba, T.D. Gilmore (Kiel, D; Boston, USA)
- 14:30 **Identifikation von 41 im Mantelzelllymphom durch Behandlung mit dem 26S-Proteasominhibitor Bortezomib beeinflussten Proteinen durch zweidimensionale Gelelektrophorese** **V302**
M. Weinkauff*, Y. Zimmermann, M. Rieken, A. Pastore, G. Hutter, W. Hiddemann, M. Dreyling (München, D)
- 14:45 **Unterschiedliche chromosomale Aberrationsmuster korrelieren mit molekular definierten Lymphomsubgruppen sowie regionalen mRNA Genexpressionsprofilen. Eine Analyse von 213 Gewebeproben aggressiver B-Zell Lymphome** **V303**
S. Wessendorf*, M. Hummel, R. Siebert, H. Stein, H. Berger, D. Hasenclever, M. Rosolowski, M. Kreuz, S. Bentink, R. Spang, W. Klapper, R.M. Parwaresch, T.F.E. Barth, P. Möller, A.C. Feller, M.L. Hansmann, A. Rosenwald, G. Ott, E. Haralambieva, K. Müller-Hermelink, H. Kohlhammer, A. Viardot, Z. Keresmann, M. Enz, B. Stürzenhofecker, H.A. Kestler, M. Bentz, M. Löffler, L. Trümper, H. Döhner, P. Lichter, C. Schwänen für das Lymphoma Network der Deutschen Krebshilfe (MMML)
- 15:00 **Primär zerebrale Lymphome bei jüngeren Patienten: Firstline-Therapie mit Hochdosis-Chemotherapie autologer Stammzelltransplantation gefolgt von hyperfraktionierter Ganzhirnbestrahlung – Update einer multizentrischen Phase-II Studie** **V304 und**
G. Illerhaus*, R. Marks, G. Ihorst, R. Guttenberger, C. Ostertag, G. Derigs, N. Frickhofen, F. Feuerhake, B. Volk, J. Finke (Freiburg, Mainz, Wiesbaden, D)
- 15:15 **Ergebnisse einer Phase II Studie mit Polychemotherapie bei Patienten mit primärem ZNS Lymphom** **V305**
I.G.H. Schmidt-Wolf*, A. Jürgens, H. Pels, A. Glasmacher, H. Schulz, A. Engert, M. Linnebank, H. Reichmann, F. Kroschinsky, M. Vogt-Schaden, G. Egerer, K. Fließbach, U. Schlegel (Bonn, Bochum, Köln, Dresden, Heidelberg, D)

Freie Vorträge

- 14:00–
15:30 **Karzinom des Pankreas, Colon und Rektum** **Saal 2**
Vorsitz: S. Seeber (Essen, D), C.-H. Koehne (Oldenburg, D)
- 14:00 **Cd40 Gentransfer in einem orthotopen Pankreaskarzinommodell der Maus** **V306**
S. Serba*, E. Ryschich, M. Büchler, J. Schmidt, A. Märten (Heidelberg, D)
- 14:15 **XIAP Antagonisten durchbrechen die Apoptoseresistenz von Pankreaskarzinomzellen und unterdrücken synergistisch zusammen mit TRAIL das Tumorstadium und die Invasion in vivo** **V307**
M. Vogler*, M. Jovanovic, K. Dürr, K. Debatin, S. Fulda (Ulm, D)
- 14:30 **Wirksamkeit von Chemotherapiekombinationen beim fortgeschrittenen, metastasierten Pankreaskarzinom: eine Meta-Analyse** **V308**
V. Heinemann*, A. Hinke, S. Boeck (München, D)
- 14:45 **Cetuximab mit Capecitabin und Oxaliplatin kombiniert mit Standard-Radiotherapie als neoadjuvante Therapie fortgeschrittener Rektumkarzinome. Ergebnisse einer Phase I/II-Studie** **V309**
D. Arnold*, M. Hipp, W. Hohenberger, R. Siewczynski, F. Lordick, T. Liersch, H. Sülberg, R. Sauer, C. Rödel (Halle, Regensburg, Erlangen, München, Göttingen, Lengenfeld, D)
- 15:00 **Irinotecan in der Therapie von älteren und nicht älteren Patienten: Metaanalyse von 3 Studien, die 5-FU und Irinotecan untersuchten** **V310**
G. Folprecht*, P. Rougier, L. Saltz, E. van Cutsem, J.-Y. Douillard, E. Mitry, H. Hecker, U. Schubert, C.-H. Köhne (Dresden, Hannover, Oldenburg, D; Paris, F; New York, USA; Leuven, B; St Herblain, F)

- 15:15 **Capecitabine plus Irinotecan versus 5-FU/FA/Irinotecan +/- Celecoxib in der first-line Behandlung des metastasierten kolorektalen Karzinoms. Langzeitergebnisse der prospektiven multizentrischen EORTC Phase III Studie 40015** **V311**
 C.-H. Köhne*, J. De Grève, J. Hartmann, I. Lang, P. Vergauwe, K. Becker, D. Braumann, M. Debois, U. Bethe, E. Van Cutsem (Oldenburg, Tübingen, Hamburg, D; Brüssel, B; Budapest, HUN; Kortrijk, B; Leuven, B)

Freie Vorträge

- 14:00–15:30 **Graft-versus-Tumor** **Saal 3**
Vorsitz: B. Hertenstein (Bremen, D), J. Finke (Freiburg, D)
- 14:00 **HLA-B-associated transcript 3 (BAT3) ist ein neuer tumor-assoziiertes Ligand des NK Zell-Rezeptors NKp30 und hemmt das Tumorwachstum in einem Xenograft Maus Modell** **V312**
 E. Pogge von Strandmann*, V. Rao Simhadri, B. von Tresckow, S. Sasse, K. Reiners, H. Hansen, A. Rothe, P. Borchmann, M. Hallek, A. Engert (Köln, D)
- 14:15 **Proteinkinase B als therapeutisches Target zur Verbesserung der Effektivität adoptiver Immuntherapien** **V313**
 P.S. Hähnel*, S. Hoffarth, S. Thaler, C. Huber, M. Theobald, M. Schuler (Mainz, D)
- 14:30 **Der CD107a assay - eine neue Methode zur Quantifizierung und Characterisierung von NK Zellen nach allogener Transplantation** **V314**
 O. Penack*, L. Fischer, A. Stroux, C. Gentilini, A. Nogai, A. Muessig, S. Ganepola, O. Blau, I. Blau, E. Thiel, L. Uharek (Berlin, D)
- 14:45 **Die in vitro-Tumorreaktivität von CD8+ T-Zellen ist in allogenen gesunden Geschwisterspendern gegenüber autologen Patienten erhöht** **V315**
 S. Kausche*, T. C. Wehler, E. Schnürer, V. Lennerz, W. Brenner, S. Melchior, S. Strand, M. Gröne, R. Meyer, C. Huber, C. S. Falk, W. Herr (Mainz, München, D)
- 15:00 **Das CD8+CD62L(high)+ naive/central memory Kompartiment enthält die Mehrheit der AML-reaktiven zytotoxischen T-Zellvorläufern in HLA-passenden naiven Individuen** **V316**
 E. Distler*, C. Wölfel, S. Köhler, N. Kaus, T. Wehler, M. Nonn, C. Huber, T. Wölfel, W. Herr (Mainz, D)
- 15:15 **Adjuvante Spenderlymphozytentransfusionen verbessern das Überleben von Patienten mit Hochrisiko-AML nach Konditionierung mit reduzierter Intensität und allogener Stammzelltransplantation** **V317**
 M. Schleuning*, C. Schmid, C. Könecke, B. Hertenstein, H. Baurmann, R. Schwerdtfeger, H.-J. Kolb (Wiesbaden, München, Hannover, D)

Freie Vorträge

- 14:00–15:30 **Immunologie 2** **Saal 4**
Vorsitz: M. Theobald (Mainz, D), P. Brossart (Tübingen, D)
- 14:00 **Rekrutierung von CD4+ T-Zellen für eine Antigen-spezifische, MHC-unabhängige Lyse von Tumorzellen** **V318**
 A. Hombach*, H. Köhler, D. Kofler, G. Rappl, H. Abken (Köln, D)
- 14:15 **Charakterisierung der Gene p275 und p306 mit spezifischer Expression in dendritischen Zellen** **V319**
 I. Hilgendorf*, D. Kurz, A. Bringmann, F. Grünebach, L. Kanz, P. Brossart (Tübingen, D)
- 14:30 **SGPVVAMVW, ein Peptid aus NM23-H2 ist immunogen, bindet an HLA-A32 and ist ein mögliches Ziel für eine Leukämie-spezifische Immuntherapie** **V320**
 S. Tschiedel*, A. Reinhardt, C. Wölfel, T. Wölfel, H. Rammensee, C. Gentilini, D. Niederwieser (Leipzig, Mainz, Tübingen, D)
- 14:45 **Heat shock protein 32 (Hsp32) als neues therapeutisches Target in neoplastischen Zellen** **V321**
 K.V. Gleixner*, M. Mayerhofer, A. Vales, A. Gruze, G. Hörmann, P. Samorapoompichit, M. Kneidinger, K. Greish, W.F. Pickl, H. Maeda, P. Valent (Wien, A; Kumamoto, JP)
- 15:00 **Generierung von allorestingierten T-Zell Klonen gegen Epitope von Cancer Testis Antigenen** **V322**
 H. Krönig*, K. Hofer, C. Peschel, H. Bernhard (München, D)
- 15:15 **Koexpression eines Einzelketten T-Zell-Rezeptors und einer konstanten T-Zell-Rezeptor alpha Domäne vermittelt Tumor-Reaktivität** **V323**
 S. Thomas*, R.-H. Voss, R. Engel, J. Kuball, C. Huber, M. Theobald (Mainz, D)

Symposium

15:45– 17:15	Cellular therapeutics	Plenarsaal
	<i>Vorsitz: N. Schmitz (Hamburg, D); A. Knuth (Zürich, CH)</i>	
	Transplantation mit minimal conditioning and DLI as a platform for cellular therapies	324
	D. Niederwieser* (Leipzig, D)	
	Characterization, isolation and expansion of tumor-specific T cells from healthy donors	325
	W. Herr* (Mainz, D)	
	Adoptive transfer of autologous tumor-specific T cells	326
	A. Mackensen* (Regensburg, D)	
	Adoptive transfer of autologous virus-specific T cells	327
	H. Einsele* (Würzburg, D)	
	Redirecting immunity by T cell receptor transfer	328
	M. Theobald* (Mainz, D)	

Symposium

15:45– 17:15	Lymphoma biology	Saal 1
	<i>Vorsitz: C. Peschel (München, D); M. Kneba (Kiel, D)</i>	
	Mechanismen der Lymphom Pathogenese durch Genrearrangement	329
	U. Jäger* (Wien, A)	
	Signaltransduktion bei Alk+ großzellig anaplastischen Lymphomen	330
	J. Duyster* (München, D)	
	Die Rolle von myc in der Pathogenese von Lymphomen	331
	M. Eilers* (Marburg, D)	
	Reprogramming and transdifferentiation of the neoplastic B cell in Hodgkin's lymphoma	332
	B. Dörken* (Berlin, D)	

Freie Vorträge

15:45– 17:35	AML Biologie	Mehrzweckfläche 3/4
	<i>Vorsitz: H. Döhner (Ulm, D), NN</i>	
15:45	Das leukämogene Potential des Homeobox-Gens Cdx2 beruht auf dessen N-terminaler Transaktivierungsdomäne und kann durch einen MEK1/2-Inhibitor in einem t(12;13)-Mausmodell antagonisiert werden	V336
	V.P.S. Rawat*, N. Arseni, N.M. Vegi, H. Reuter, W. Hiddemann, M. Feuring-Buske, C. Buske (München, Heidelberg, D)	
15:55	Direkte Aktivierung von STAT5 durch Flt3-ITD	V337
	C. Choudhary*, C. Brandts, J. Schwable, L. Tickenbrock, B. Sargin, F. Böhmer, W.E. Berdel, C. Müller-Tidow, H. Serve (Münster, Jena, D)	
16:05	Die Duplikation von Arginin 595 ist entscheidend für das transformierende Potential von FLT3-Längenmutationen in der AML	V338
	S. Vempati*, C. Reindl, R. Schwab, T. Malamoussi, M. Dugas, G. Mellert, S. Schnittger, W. Hiddemann, K. Spiekermann (München, D)	
16:15	Die Rolle von Nucleophosmin (NPM1) bei der FLT3-ITD vermittelten Zelltransformation	V339
	R. Grundler*, S. Wötzel, C. Miething, C. Peschel, J. Duyster (München, D)	
16:25	NPM1-mutierte/FLT3 ITD-negative akute myeloische Leukämiefälle mit normalem Karyotyp weisen ein charakteristisches Genexpressionsprofil auf	V340
	L. Bullinger*, K. Döhner, R. Kranz, F. Rücker, S. Fröhling, R. Schlenk, J. Pollack, H. Döhner (Ulm, D; Stanford, USA)	

- 16:35 **Identifizierung von Kandidatengen in kritischen Regionen in AML mit komplexem Karyotyp mittels Microarray-basierter Charakterisierung** V341
F.G. Rücker*, L. Bullinger, S. Miller, H.A. Kestler, P. Lichter, K. Döhner, H. Döhner (Ulm, Heidelberg, D)
- 16:45 **Der Transkriptionsfaktor Egr-1 reguliert die Expression von Survivin bei akuten myeloischen Leukämien** V342
M. Wagner*, K. Schmelz, B. Dörken, I. Tamm (Berlin, D)
- 16:55 **Seltene CBFβ-MYH11 Fusionstranskripte bei der AML mit inv(16)/t(16;16) sind assoziiert mit t-AML M4eo, untypischer Zytomorphologie, untypischem Immunphänotyp, untypischen sekundären Chromosomenaberrationen und niedriger Leukozytenzahl : eine Studie von 16** V343
S. Schnittger*, U. Bacher, C. Schoch, W. Kern, T. Haferlach (München, D)
- 17:05 **Leukämie-spezifische chromosomale Aberrationen mesenchymaler Knochenmarkzellen von Patienten mit myelodysplastischen Syndrom und akute myeloischer Leukämie** V344
O. Blau*, I. Blau, C.D. Baldus, G. Thiel, V. Serbent, E. Schümann, E. Thiel, W-K. Hofmann (Berlin, D)
- 17:15 **Die genomweite Einzelnukleotidpolymorphismusanalyse deckt rekurrent auftretende uniparentale Disomie und submikroskopische genetische Veränderungen bei der akuten myeloischen Leukämie mit normalem Karyotyp auf** V345
C. Schön*, L. Bullinger, F. G. Rücker, K. Döhner, H. Döhner (Ulm, D)
- 17:25 **Globale miRNA Expression in unterschiedlichen zyto-genetischen Riskogruppen von AML Patienten** V346
D. Ovcharenko*, M. Schaich, D. Kosel, C. Thiede, M. Bornhaeuser, A. Kiani, A. Neubauer, G. Ehninger, D. Brown, T. Illmer for the AML-DSIL2003

Freie Vorträge

- 15:45–17:15 **Urogenitaltumoren / Sarkome / Melanom** Saal 2
Vorsitz: P. Reichardt (Berlin, D), J.C. Simon (Leipzig, D)
- 15:45 **Eine adjuvante Vakzinierung mit Reniale verlängert das progressionsfreie Überleben und das Gesamtüberleben bei Patienten mit einem Nierenzellkarzinom nach radikaler Nephrektomie: zweite Analyse einer randomisierten Phase-III Studie** V347
C. Doehn*, A. Richter, R. Theodor, W. Lehmacher, D. Jocham (Lübeck, Leipzig, Ulm, Köln, D)
- 16:00 **Einmalige versus sequentielle Hochdosischemotherapie bei rezidierten oder refraktären Keimzelltumoren – Subgruppenanalyse von 41 Patienten mit Spätrezidiven** V348
A. Lorch*, O. Rick, J. Hartmann, C. Kollmannsberger, B. Metzner, I. Schmidt-Wolf, W. Berdel, J. Schleicher, R. Schirren, J. Beyer, C. Bokemeyer for the German Testicular Cancer Study Group
- 16:15 **Effekt von Thalidomid auf die Expression von VEGF und VEGF-R in Keimzelltumorzellen** V349
O. Rick*, J. Salau, M. Fleischhacker (Bad Wildungen, Berlin, D)
- 16:30 **Strahlen-induzierte Sarkome** V350
F. Mayer*, H. Kopp, J. Classen, M. Rudert, A. Königsrainer, L. Kanz, M. Bamberg, J. T. Hartmann (Tübingen, D)
- 16:45 **Erfahrungen mit Chemotherapie bei Patienten mit high-grade oder dedifferenziertem Chondrosarkom** V351
M. Schuler*, D. Pink, T. Lindner, P.-U. Tunn, W.-D. Ludwig, P. Reichardt (Berlin, D)
- 17:00 **Erster Nachweis einer Dosis-Antwort-Beziehung einer DNA-Prime-Boost-Vakzine** V352
A. Busse*, C. Scheibenbogen, R. Hawkins, A. Dangoor, A. Harris, C. Ottensmeier, D. Schadendorf, J. Smyth, K. Hoffmann, M. Cripps, J. Schneider, U. Keilholz (Berlin, Mannheim, Bochum, D; Manchester, Oxford, Southampton, Edinburgh, UK)

Freie Vorträge

- 15:45–
16:45 **Stammzellbiologie 2** **Saal 3**
Vorsitz: H. Goldschmidt (Heidelberg, D), H. Schrezenmeier (Ulm, D)
- 15:45 **Kontinuierliche G-CSF Stimulation mit pegyliertem G-CSF mobilisiert CD34+ Zellen mit anderen Subpopulationen und funktionellen Eigenschaften im Vergleich zu pulsatilem G-CSF Stimulation** **V353**
I. Bruns*, U. Steidl, J.C. Fischer, S. Raschke, G. Kobbe, R. Fenk, M. Roskopf, S. Pechtel, S. Kliszewski, U. Rohr, A. von Haeseler, P. Wernet, D. Tenen, R. Haas, R. Kronenwett, I. Bruns (Düsseldorf, D; Boston, USA; Wien, A)
- 16:00 **Der CXCR4 Antagonist AMD3100 mobilisiert eine Untermenge G-CSF vorbehandelter peripherer Blutstammzellen mit spezifischen Genexpressionscharakteristika** **V354**
S. Fruehauf*, T. Seeger, X. Li, S. Weinhardt, S. Laufs, V. Eckstein, G. Bridger, G. Calandra, F. Wenz, W. J. Zeller, H. Goldschmidt, A. D. Ho (Heidelberg, D; Langley, CAN)
- 16:15 **Hocheffizientes Verfahren zur transienten Transfektion von humanen Progenitorzellen mit mRNA und cDNA** **V355**
J. Greiner*, J. Wiehe, P. Ponsaerts, M. Rojewski, J. Homann, D. Kronawitter, H. Schrezenmeier, V. Hombach, M. Wiesneth, O. Zimmermann, J. Torzewski (Ulm, D; Antwerpen, B)
- 16:30 **Anzahl und Größe von Klonen nach Zytostatikaresistenzgentransfer – serielle Transplantation und Chemo Selektion resultiert in polyklonaler Hämatopoese** **V356**
S. Bleier*, S. Laufs, U. Sorg, V. Kleff, M. Flasshove, S. Seeber, W.J. Zeller, T. Moritz, S. Fruehauf (Heidelberg, Essen, D)
- 18:00–
19:30 **Posterausstellung P672 – P943**
(siehe Seiten XX – XX)

Meet the Expert

07:00– 08:00	Multiples Myelom Vorsitz: H. Goldschmidt (Heidelberg, D)	Saal 4
07:00– 08:00	Chronische myeloische Leukämie Vorsitz: A. Hochhaus (Mannheim, D)	Saal 5
07:00– 08:00	Virale Infektionen in der Hämatologie Vorsitz: E. Holler (Regensburg, D)	Saal 6/7
07:00– 08:00	Pankreatobiliäre Tumoren Vorsitz: H. Oettle (Berlin, D)	Saal 8
07:00– 08:00	TK-Inhibitoren bei Bronchialkarzinom Vorsitz: F. Griesinger (Göttingen, D)	Saal 9
07:00– 08:00	Neuroendokrine Tumoren Vorsitz: K. Öberg (Uppsala, S)	Saal 10
07:00– 08:00	Fortgeschrittene Melanome Vorsitz: U. Keilholz (Berlin, D)	Saal 11
07:00– 08:00	Osteosarkome und Ewing Tumoren Vorsitz: S. Bielack (Stuttgart, D); H. Jürgens (Münster, D)	Saal 12
07:00– 08:00	Genetisch predeterminierte kolorektale Tumoren Vorsitz: P. Propping (Bonn, D)	Saal 13
07:00– 08:00	Thromboembolische Komplikationen bei Tumorpatienten Vorsitz: S. Eichinger (Wien, A)	Saal 14/15
07:00– 08:00	CUP Syndrom Vorsitz: G. Hübner (Oldenburg, D)	Bankettraum 2
07:00– 08:00	Hepatozelluläres Karzinom Vorsitz: H. Scherübl (Berlin, D)	Bankettraum 3

Symposium

08:30– 10:00	Tumorvakzinierung: Prevention und Behandlung <i>Vorsitz: L. Kanz (Tübingen, D); A. Neubauer (Marburg, D)</i>	Saal 1
08:30– 10:00	A pharmacological approach to tumor vaccines N. Sahin* (Mainz, D)	357
08:30– 10:00	Rolle der dendritischen Zellen für die Tumorvakzinierung P. Brossart* (Tübingen, D)	358
08:30– 10:00	The role of human papillomavirus vaccines in prevention A. Kaufmann* (Berlin, D)	359
08:30– 10:00	Therapy of CML using bcr/abl vaccines M. Bocchia* (Siena, I)	360
08:30– 10:00	Regulatorische Aspekte T. Hinz* (Langen, D)	361

Symposium des Kompetenznetzes „Akute und chronische Leukämien“

08:30– 10:00	Neue genetische und molekulare Marker bei Leukämien	Mehrzweckfläche 2
	<i>Vorsitz: R. Hehlmann (Mannheim, D); D. Hoelzer (Frankfurt, D)</i>	
	Identifikation und Evaluierung neuer Genmutationen bei AML	366
	R. Schlenk* (Ulm, D)	
	Aktivierung alternativer Signaltransduktionswege bei Resistenz gegen Tyrosinkinaseinhibitoren	367
	A. Buchert* (Marburg, D)	
	Zentrosomen- und Spindelapparat – Aberrationen als möglich Ursache für Karyotypveränderungen in Leukämien	368
	A. Fabarius* (Mannheim, D)	
	BCR-ABL Mutationen in Ph+ ALL	369
	H. Pfeiffer* (Frankfurt, D)	

Symposium

08:30– 10:00	Ösophagus Magenkarzinom	Mehrzweckfläche 3/4
	<i>Vorsitz: H.-J. Schmoll (Halle, D); S. Al-Batran (Frankfurt, D)</i>	
	Perioperative Therapie des Ösophagiskarzinoms	362
	H.-J. Wilke* (Essen, D)	
	Perioperative Therapie des Cardia-Magenkarzinoms	363
	F. Lordick* (München, D)	
	Therapie des fortgeschrittenen Magenkarzinoms	364
	S. Al-Batran* (Frankfurt, D)	
	Neue Entwicklungen in der Therapie des Magenkarzinoms	365
	D. Arnold* (Halle, D)	

Freie Vorträge

08:30– 10:00	Hodgkin und Non-Hodgkin Lymphome: Therapieergebnisse	Saal 2
	<i>Vorsitz: NN, NN</i>	
08:30	Rituximab-Erhaltung verlängert das Progressions-freie und Gesamtüberleben nach kombinierter Immun-Chemotherapie (R-FCM) in Patienten mit rezidiviertem folliculären und Mantelzell-Lymphom – Endauswertung einer prospektiv randomisierten GLSG-Studie	V370
	M. Dreyling*, R. Forstpointner, H. Böck, R. Repp, H. Wandt, C. Pott, J. Seymour, B. Metzner, A. Hänel, S. Hermann, F. Hartmann, H. Einsele, M. Unterhalt, W. Hiddemann (München, Offenbach, Erlangen, Nürnberg, Kiel, Oldenburg, Chemnitz, Berlin, Homburg/Saar, Würzburg, D; East Melbourne, AUS)	
08:45	Eine kombinierte Immunchemotherapie mit Rituximab verbessert das Gesamtüberleben von Patienten mit folliculärem Lymphom und Mantel-Zell-Lymphom: Resultate einer systematischen Übersichtsarbeit	V371
	H. Schulz*, J.F. Bohlius, N. Skoetz, S. Trelle, T. Kober, G. Schwarzer, O. Weingart, M. Dreyling, M. Herold, A. Engert for the Cochrane Hematological Malignancies Group (CHMG), University of Cologne	
09:00	Rituximab Pharmakokinetik bei älteren Patienten mit aggressivem diffus grosszelligem B-NHL unter einer Therapie mit R-CHOP-14 im Rahmen der RICOVER-60 Studie	V372
	M. Reiser*, M. Wenger, C. Nickenig, N. Peter, C. Kuhn, B. Metzner, M. Pfreundschuh (Köln, München, Cottbus, Mannheim, Oldenburg, Homburg, D, Basel, CH)	
09:15	Der quantitative Nachweis t(14;18) positiver Zellen mittels RQ-PCR bei Diagnose und im Therpieverlauf korreliert bei folliculären Lymphomen mit klinischen Charakteristika und der Zeit bis zum Therpieversagen	V373
	C. Pott*, S. Böttcher, M. Brüggemann, T. Raff, M. Ritgen, M. Unterhalt, M. Dreyling, W. Hiddemann, E. Hoster, M. Kneba (Kiel, München, D)	

09:30 **Immunisierung von Patienten mit indolenten B-NHL in "watch and wait"-Situation oder klinischer Remission mit einer rekombinanten Idiotypvaccine** V374
K. Heining-Mikesch*, C. Bertinetti, A. von den Berg, T. Tomann, B. Franke, H. Veelken (Freiburg, D)

09:45 **HD12 Studie für Hodgkin Patienten in fortgeschrittenen Stadien: 5. Zwischenauswertung der Deutschen Hodgkin Studiengruppe (DHSG)** V375
A. Engert*, J. Franklin, H. Bredenfeld, R.P. Mueller, H.T. Eich, A. Gossmann, H. K. Mueller-Hermelink, T. Cerny, J. Markova, A. Ho, L. Kanz, R. Greil, W. Hiddemann, B. Pfistner, V. Diehl (Köln, Würzburg, Heidelberg, Tübingen, München, D; St. Gallen, CH; Prag, CZ; Salzburg, A)

Freie Vorträge

08:30– **Supportive Therapie** Saal 3
10:00

Vorsitz: A. Rodloff (Leipzig, D), NN

08:30 **Eine prospektive, randomisierte, kontrollierte Multicenter-Studie zu IgGMA-angereicherten Immunglobulinen bei neutropenischen Krebspatienten mit Sepsis Syndrom und septischem Schock** V376
M. Hentrich*, H. Ostermann, K. Fehnle, J. Kienast, O. Cornely, C. Salat, R. Übelacker, D. Buchheidt, G. Behre, W. Hiddemann, X. Schiel (München, Münster, Köln, Würzburg, Mannheim, D)

08:45 **Empirische Therapie bei Verdacht auf systemische Infektion durch Pilze: eine posthoc Analyse der Nephrotoxizitätsdaten einer doppelblinden, randomisierten vergleichenden klinischen Studie mit Caspofungin (Cancidas®) versus liposomales Amphotericin B** V377
P. Kaskel*, S. Tuschy, A. Wagner, A. Glasmacher, O. A. Cornely, A. J. Ullmann (Haar (Kr. München), Bonn, Köln, Mainz, D)

09:00 **Analyse der Korrelation, der zunehmenden Inzidenz von Candida glabrata, mit primären Azol-Resistenzen, bei Patienten unter KMT oder intensiver Chemotherapie hämatologischer Neoplasien, mit dem Gesamt Azol-Verbrauch, mittels „DNA-Fingerprinting“** V378
W. Willenbacher*, D. Nachbaur, K. Grif, E. Nogler-Semenitz, G. Gastl, C. Lass-Floerl (Innsbruck, A)

09:15 **Prädiktive Faktoren für ein Ansprechen auf rekombinantes humanes Erythropoietin: ein systematischer Review** V379
S. Trelle*, M. Piper, J. Bohlius, O. Weingart, N. Aronson, A. Engert (Bern, CH; Chicago, USA; Köln, D)

Freie Vorträge

08:30– **Qualitätsmanagement** Saal 4
10:00

Vorsitz: M. Löffler (Leipzig, D), J. Thiery (Leipzig, D)

08:30 **Die indikationsspezifische Datenbank Hämato-Onkologie TIHO: ein Verbundprojekt der Cochrane Haematological Malignancies Group und der Deutschen Zentralbibliothek für Medizin** V380
F. Naumann*, P. Hipp, O. Weingart, H. Hülsewede, J. Bohlius, K. Hinnenthal, U. Korwitz, A. Engert (Köln, D)

08:45 **Die Einbeziehung eines Good Clinical Practice (GCP) Teams erleichtert die Optimierung der Qualitätssicherung und -kontrolle bei der Bestellung und Verabreichung der Chemotherapie und anderen Tumor-assoziierten Eingriffen** V381
N. Chevalier*, C. Wehr, C. Robbel, C. Riechel, A. Weis, V. Thierry, H. Henß, B. Lubrich, A. Goebel, M. Engelhardt (Freiburg, D)

09:00 **Aufbau eines nationalen Registers für Therapiestudien bei Leukämien gemäß WHO-Richtlinien** V382
A. Hellenbrecht*, R. Späth, N. Gökbuget (Frankfurt, Neu-Isenburg, D)

09:15 **Pilot-Phase des IN-GHO Registers für ältere Tumorpatienten** V383
F.U. Honecker*, G. Kolb, R. Angermund, C. Bokemeyer für den Wissenschaftlichen Beirat der Initiative Geriatrische Hämatologie und Onkologie IN-GHO

09:30 **Das Centrum für Integrierte Onkologie (CIO) am Universitätsklinikum Köln: optimierte Strukturen für interdisziplinäre Patientenversorgung** V384
J. Wolf*, R. Walshe, M. Schwartzkopff, P. Schneider, J.P. Glossmann, R.P. Müller, A. Hölsch, A. Hölscher, M. Hallek (Köln, D)

09:45 **Qualitätssicherung in der Gentherapie: Entwicklung eines automatischen Sequenzanalyse- und Mapping-Tools von retroviralen Integrationsstellen und nachfolgender Datenbankanalyse** V385
F.A. Giordano*, U. Appelt, M. Zimmermann, A. Hotz-Wagenblatt, W.J. Zeller, S. Fruehauf, S. Laufs (Heidelberg, D)

Symposium

10:30–12:30 **Stellenwert und Grenzen der Evidenz-basierten Medizin in der Hämatologie/Onkologie** **Saal 1**

Vorsitz: A. Engert (Köln, D); G. Gastl (Innsbruck, D)

Limitations of evidence-based medicine in hematology and oncology **387**
T. Klingebiel* (Frankfurt, D)

Clinical studies and meta-analysis: experience from the German Hodgkin Study Group **388**
A. Engert* (Köln, D)

Systematic review on erythropoietin in hematology and oncology **389**
J. Bohlius* (Köln, D)

Symposium des Kompetenznetzes Maligne Lymphome

10:30–12:30 **Ergebnisse klinischer Studien und Serviceangebote des KML für deren Durchführung** **Mehrzweckfläche 2**

Vorsitz: M. Hallek (Köln, D); M. Löffler (Leipzig, D)

10:30 **Der Einsatz von Rituximab und CHOP-Chemotherapie in der Behandlung transplantationsassoziierter lymphoproliferativer Erkrankungen. Daten der aktuellen Zwischenauswertung der internationalen prospektiven PTLD-1 Studie** **394**
R. Trappe* (Berlin, D)

10:45 **Molekulare Pathogenese der Lymphome – neue Konzepte** **395**
H. Hummel* (Berlin, D)

11:00 **Unterstützung von Studienzentralen und Prüfarzten bei der Durchführung von TOS** **396**
A. Strenge-Hesse* (Köln, D)

11:15 **Die Rolle des PET bei diffus grosszelligen Lymphomen** **3997**
C. Kobe* (Köln, D)

11:30 **Aktuelle Trends und neue Studienkonzepte der DSHNHL** **398**
N. Schmitz* (Hamburg, D)

11:45 **Aktuelle Trends und neue Studienkonzepte der DLGLSG** **399**
M. Dreyling* (München, D)

12:00 **Aktuelle Trends und neue Studienkonzepte der DCLLSG** **400**
M. Hallek* (Köln, D)

12:15 **Aktuelle Trends und neue Studienkonzepte der DHSG** **401**
A. Engert* (Köln, D)

Symposium

10:30–12:30 **Stammzellen** **Mehrzweckfläche 3/4**

Vorsitz: A. Ho (Heidelberg, D); M. Cross (Leipzig, D)

Wechselwirkung zwischen Blutstammzellen und Mesenchymalstammzellen – Significanz für die normale und neoplastische Differenzierung **390**
A. Ho* (Heidelberg, D)

Herausforderung bei der Herstellung von Mesenchymalen Stammzellen **391**
D. Strunk* (Graz, A)

Mesenchymale Stammzellen in der Behandlung nicht-hämatologischer Erkrankungen 392
N. Basara* (Leipzig, D)

Mesenchymal-Stammzelltransplantation als neue Behandlungsstrategie der Immundysregulation 393
O. Ringden* (Stockholm, S)

Freie Vorträge

10:30–12:30 **MDS und AML** Saal 2

Vorsitz: W.E. Berdel (Münster, D), O. Krieger (Linz, A)

10:30 **Schneller und empfindlicher Nachweis von NPM1-Mutationen durch LNA-vermitteltes PCR-clamping** V402
C. Thiede*, E. Creutzig, M. Schaich, T. Illmer, V. Heise, G. Ehninger, O. Landt (Dresden, Berlin, D)

10:40 **Wo beginnt die Leukämie? Korrelation zytogenetischer Marker mit dem Knochenmark-Blastenanteil bei 1728 Patienten mit MDS** V403
J. Schanz*, C. Steidl, U. Germing, B. Hildebrandt, L. Trümper, D. Haase (Göttingen, Düsseldorf, D)

10:50 **Neuer Score zur Abschätzung der Prognose von Patienten mit myelodysplastischen Syndromen** V404
U. Germing*, L. Malcovati, A. Kündgen, M. Della Porta, A. Giagounidis, C. Strupp, B. Hildebrandt, C. Aul, M. Cazzola, N. Gattermann (Düsseldorf, Duisburg, D; Pavia, I)

11:00 **Molekulare Marker bei MDS und AML: eine vergleichende Studie an 381 Patienten mit MDS und an 4130 Patienten mit AML** V405
U. Bacher*, W. Kern, T. Haferlach, C. Schoch, S. Schnittger (München, D)

11:10 **Prognose von AML Patienten \leq 60 Jahre mit Trisomie 8: eine auf individuellen Patientendaten basierte Metaanalyse der Deutschen AML Intergroup** V406
M. Schaich*, R. Schlenk, H. Al-Ali, H. Döhner, A. Ganser, G. Heil, T. Illmer, R. Krahl, J. Krauter, D. Niederwieser, C. Sauerland, S. Soucek, T. Büchner, G. Ehninger (Dresden, Ulm, Leipzig, Hannover, Lüdenscheid, Münster, D)

11:20 **Original-Daten basierte Meta-Analyse von älteren Patienten (>60 Jahre) mit Core-Binding-Faktor akute myeloische Leukämie** 407
R.F. Schlenk*, R. Krahl, C. Sauerland, T. Büchner, S. Soucek, M. Schaich, A. Ganser, G. Ehninger, K. Döhner, H. Döhner, D. Niederwieser on behalf of the AMLSG

11:30 **Tumor-assoziierte Antigene bei der akuten myeloischen Leukämie – Expression, spezifische T-Zellantworten und Korrelation zur Überlebenszeit** V408
J. Greiner*, M. Schmitt, L. Li, K. Giannopoulos, K. Bösch, K. Döhner, J. Chen, A. Schmitt, R. Schlenk, J. Pollack, H. Döhner, L. Bullinger (Ulm, D; Stanford, USA)

11:40 **Differentielle Effekte molekularer Marker auf den klinischen Verlauf jüngerer AML Patienten mit normalem Karyotyp: Ergebnisse der AML Study Group (AMLSG)** V409
K. Döhner*, A. Corbacioglu, J. Krauter, L. Bullinger, M. Morgan, D. Späth, I. Schäfer, S. Fröhling, A. Ganser, H. Döhner, R. F. Schlenk (Ulm, Hannover, D)

11:50 **Durchflußzytometrisch bestimmte minimale Resterkrankung bei akuter myeloischer Leukämie: multivariate Analyse des prognostischen Einflusses** V410
W. Kern*, D. Voskova, C. Schoch, S. Schnittger, T. Haferlach (München, D)

12:00 **WT1-Peptid Vakzinierung besitzt anti-Leukämie-Aktivität bei Patienten mit AML und MDS** V411
C. Scheibenbogen*, A. Letsch, A.M. Asemissen, W.K. Hofmann, L. Uharek, G. Hütter, I.W. Blau, A. Mackensen, H.J. Kolb, M. Zeis, E. Thiel, U. Keilholz (Berlin, Regensburg, München, Hamburg, D)

12:10 **Die RHAMM/CD168-R3 Peptidvakzinierung von HLA-A2-positiven Patienten mit akuter myeloischer Leukämie (AML), myelodysplastischem Syndrom (MDS) und multiplem Myelom (MM) führt zu positiven immunologischen und klinischen Ergebnissen** V412
J. Greiner*, A. Schmitt, K. Giannopoulos, L. Li, P. Liebisch, C. Wendl, J. Chen, M. Ringhoffer, P. Guillaume, G. Ritter, H. Döhner, M. Schmitt (Ulm, D; Lausanne, CH; New York, USA)

Freie Vorträge

- 10:30–12:00 **Onkologie 2 (Biologie und Therapie)** **Saal 3**
Vorsitz: M. Raida (Bergisch Gladbach, D), U. Keilholz (Berlin, D)
- 10:30 **Histon-Deacetylase-Inhibitoren inhibieren Angiogenese durch Reduktion der VEGFR2 Proteinhalbwertszeit durch einen Cbl abhängigen Mechanismus** **V413**
 M. Meissner*, I. Hrgovic, R. Kaufmann, J. Gille (Frankfurt, D)
- 10:45 **Nicht-genotoxische Tumorthérapien, die die mdm2-p53 Interaktion attackieren, sind durch die kontinuierliche Inhibition von p53 durch mdm2 in normalen somatischen Zellen limitiert** **V414**
 I. Ringshausen*, C. O`Shea, A. Finch, L. Brown-Swigart, G. Evan (San Francisco, USA)
- 11:00 **Physische und funktionelle Interaktion zwischen einem neuen Protein-Inhibitor von Histonacetyltransferasen und den p53-Verwandten p63 und p73** **V415**
 N. Raulf*, K. Heyne, N. Dubois, P. Hublitz, N. Kunowska, M. Pfreundschuh, R. Schüle, K. Roemer (Homburg, Freiburg, D)
- 11:15 **Bak komplementiert für den Verlust von Bax bei Apoptoseinduktion durch p14ARF** **V416**
 P. Hemmati*, B. Gillissen, D. Güner, J. Wendt, C. von Haefen, G. Chinnadurai, B. Doerken, P. Daniel (Berlin, D; St. Louis, USA)
- 11:30 **Sensitivierung von Glioblastomzellen für Todesrezeptor- oder Zytostatika-induzierte Apoptose durch PI3K Inhibition** **V417**
 D. Opel*, M. Westhoff, K. Debatin, S. Fulda (Ulm, D)
- 11:45 **Geringes Ansprechen solider Tumorzellen auf Proteasominhibition ist durch bevorzugte Expression von konstitutiven Proteasomen bedingt und kann durch IFN-gamma Behandlung verbessert werden** **V418**
 A. Busse*, I.-K. Na, C. Scheibenbogen, W. Blau, A. Rietz, E. Thiel, U. Keilholz (Berlin, D)

Freie Vorträge:

- 10:30–12:00 **Immunologie 3** **Saal 4**
Vorsitz: U. Sahin (Mainz, D), A. Pezzutto (Berlin, D)
- 10:30 **Messung der gesamten Antigen-spezifischen CD4+ T-Helfer-Zell Immunität anhand von Antigen-induzierter CD154 Expression** **V419**
 O. Arbach*, M. Frentsch, B. Chmielewicz, M. Kaiser, H. Ellerbrok, R. Lauster, A. Radbruch, A. Scheffold, W. Ebell, A. Thiel (Berlin, D)
- 10:45 **B-Zell-Epitope des Cancer-Testis-Antigens NY-Eso-1. Minimalbedingung der Erkennung von synthetischen Peptiden durch Antikörper** **V420**
 K.D. Preuss*, E. Regitz, F. Neumann, M. Pfreundschuh (Homburg/Saar, D)
- 11:00 **Identifizierung des Epitops des immunosuppressiven Antikörpers Basiliximab** **V421**
 M. Binder*, N.F. Vögtle, R. Mertelsmann, M. Trepel (Freiburg, D)
- 11:15 **Molekularbiologische Analyse von B-Zellen, die den gegen Magenkarzinomzellen gerichteten Antikörper SC-1 exprimieren** **V422**
 P. Richl*, S. Brändlein, M. Albers, H. Morbach, H.P. Vollmers, H.J. Girschick (Würzburg, D)
- 11:30 **WT1-Peptid-Vakzinierung induziert Immunantworten im peripheren Blut und Knochenmark von Leukämiepatienten** **V423**
 A. Letsch*, C. Scheibenbogen, A. Asemissen, I. Na, S. Bauer, E. Thiel, U. Keilholz (Berlin, D)

- 12:45–13:00 **Schlussveranstaltung** **Saal 1**
Vorsitz:
- Vorstellung der Gemeinsamen Jahrestagung 2007 in Basel, Schweiz**
- Schlussworte**

18:00– **Akute Leukämien**

19:30

Vorsitz: N. Gökbuget (Frankfurt, D); NN; U. Mahlknecht (Heidelberg, D); NN; R.F. Schlenk (Ulm, D)

Akute lymphatische Leukämien

Vorsitz: N. Gökbuget (Frankfurt, D)

- P424 Identifizierung neuer bei chromosomalen Translokationen beteiligter Gene bei akuten T-Zell-Leukämien**
C.A. Schmidt, G.K. Przybylski, K. Kruse*, P. Grabarczyk (Greifswald, D; Poznan, PL)
- P425 Große Spannweite der Kopienzahlveränderungen von NUP214-ABL1-Amplifikationen bei der akuten lymphatischen Leukämie der T-Zelllinie der Erwachsenen**
B. Möhlendick*, T. Burmeister, S. Schwarz, E. Thiel, B. Royer-Pokora, N. Goekbuget, D. Hoelzer, H. Rieder (Düsseldorf, Berlin, Frankfurt, D)
- P426 Proliferation, Differenzierung und Bcl-2-abhängige Überlebenssignalwege sind Angriffspunkte der Glucocorticoid-Therapie bei kindlicher ALL**
P. Rhein*, S. Scheid, R. Ratei, C. Hagemeyer, K. Seeger, R. Kirschner-Schwabe, M. Schrappe, R. Spang, W.-D. Ludwig, L. Karawajew (Berlin, Kiel, D)
- P427 Klonale Veränderungen in Rearrangements der delta-Kette des T-Zellrezeptorgens in de novo und rezidivierter akuter lymphatischer Leukämie des Erwachsenen**
S. Irmer*, M. Brüggemann, S. Lüschen, T. Raff, B. Brix, N. Gökbuget, D. Hoelzer, M. Kneba (Kiel, Frankfurt, D)
- P429 Mutationen des nicht-rearrangierten Allels in ETV6-AML1 positiven ALL mit signifikanter Häufigkeit**
F. Griesinger*, A. Becker, M. Podleschny, H. Hennig, O. A. Haas, R. Panzer-Grümayer, L. Trümper (Göttingen, D; Wien, A)
- P430 Eine Phase II Studie mit Nilotinib (AMN107), einem neuen Inhibitor von BCR-ABL, bei Imatinib-resistenten oder -intoleranten Patienten mit rezidivierter oder refraktärer PH+ akuter lymphatischer Leukämie**
J. Chromik*, P. le Coutre, A. Hochhaus, T. Fischer, L. Wunderle, F. Giles, A. Binckebanck, T. Lahaye, P. Schuld, T. Rafferty, H. Kantarjian, D. Hoelzer, O.G. Ottmann (Frankfurt, Berlin, Mannheim, Mainz, Nürnberg, D; Houston, East Hanover, USA)
- P431 Bedeutung der minimalen Resterkrankung bei Hochrisiko-Patienten mit akuter lymphatischer Leukämie**
T. Raff*, N. Gökbuget, T. Flohr, C. Bartram, M. Kneba, D. Hoelzer, M. Brüggemann (Kiel, Frankfurt, Heidelberg, D)
- P432 Nachweis minimaler Resterkrankung bei Vorläufer B lymphoblastischen Leukämien mittels eines neun Farben Antikörper Panels und 13-Parameter Durchflußzytometrie**
R. Ratei*, P. Rhein, M. Dworzak, G. Gaipa, G. Basso, M. Schrappe, W.-D. Ludwig, L. Karawajew (Berlin, Kiel, D; Wien, A; Mailand-Bicocca, Padua, I)
- P433 Längsschnittanalysen des Knochenmarksbefalls bei akuter lymphatischer Leukämie unter Therapie**
J. Günther*, A. Waldau, K. Hoeffken, K. Pachmann (Jena, D)

M3

- P434 Genexpressionsanalyse von differenzierenden promyelozytären Zelllinien gibt Hinweise auf mögliche Schlüsselfaktoren im Differenzierungsprogramm**
T.M. Sternsdorf*, M. Downes, R.M. Evans (La Jolla, USA)
- P435 Proteomic analysis of acute promyelocytic leukemia: PML-RARalpha leads to decreased phosphorylation of OP18 at Serine 63**
A.A. PeerZada*, M. Geletu, J.A. Pulikkan, C.T. Mueller-Tidow, V.A. Reddy, M. Christopeit, G. Behre (Halle, Münster, D)
- P436 Erfolgreiche Mobilisierung von PML/RARalpha negativen autologen Blutstammzellen mittels G-CSF und CXCR4 Blockade nach Therapie mit Arsentrioxid bei einer Patientin mit rezidivierter Promyelozytenleukämie**
M. Wermke*, M. Bornhäuser, C. Thiede, C. Röllig, A. Kiani, J. Schetelig, H. Knoth, K. Hölig, M. Blechschmidt, G. Ehninger, T. Illmer (Dresden, D)
- P437 Arsentrioxid-induzierter Zelltod erfolgt teilweise unabhängig von den pro-apoptischen Bcl-2-Familienmitgliedern Bax und Bak**
C. Scholz*, A. Richter, A. Richter, F. Toetzke, B. Dörken, P.T. Daniel (Berlin, D)

AML Biologie

Vorsitz: NN

- P438 Im Vergleich zu MDS Zellen weisen AML Zellen eine verminderte Funktionalität des DNA-damage response pathways auf**
S. Boehrer*, L. Adès, C. Fabre, P. Fenaux, G. Kroemer (Villejuif, Bobigny, F)
- P439 Auswirkungen von Imatinibmesylat auf die Osteokalzineexpression in c-Kit-positiven Zelllinien**
P. Wihlidal*, H. Karlic, F. Varga, M. Pfeilstöcker (Wien, A)
- P440 Glucocorticoid induzierte Veränderungen von microRNA Expressionsmustern in Leukämiezellen**
R. Mitlöhner*, P. Rhein, R. Ratei, W. Ludwig, L. Karawajew (Berlin, D)
- P441 G1TR Ligand bei der Immunüberwachung von Leukämien durch NK Zellen**
M. Krusch*, K. Baltz, T. Baessler, M. Kloss, I. Kumbier, A. Peterfi, L. Kanz, H. Salih (Tübingen, D)
- P442 Unterschiedliche Wirkung der Proteasome Inhibition auf normale und leukämische Stamm-/Progenitorzellen vermittelt durch Interaktion mit Stroma**
K.S. Götz*, S. Marz, S. Rushton, R. Oostendorp, C. Peschel (München, D)
- P443 T-AML assoziierte MLL-Aberrationen werden durch Chemotherapie in vivo induziert**
J. Bäsecke*, E. Seiffert, K. Karim, M. Podleschny, A. Becker, D. Haase, B. Glass, L. Trümper, F. Griesinger (Göttingen, D)
- P444 Molekulare Charakterisierung in AML mit normalem Karyotyp identifiziert neue Kandidatengene**
F.G. Rücker*, L. Bullinger, S. Miller, H.A. Kestler, S. Fröhling, P. Lichter, K. Döhner, H. Döhner (Ulm, Heidelberg, D)
- P445 Überexpression von ENPP2 / Autotaxin in Patienten mit FLT3-ITD positiver akuter myeloischer Leukämie**
C. Ortlepp*, C. Steudel, S. Koch, M. Ryser, G. Ehninger, C. Thiede (Dresden, D)
- P446 Proteomics of acute myeloid leukemia: cytogenetic risk groups differ specifically in their proteome, interactome and post-translational protein modifications**
M.Y. Balkhi*, A.K. Trivedi, M. Geletu, M. Christopheit, S.K. Bohlander, G. Behre (Halle, München, D)
- P447 Untersuchung der Histondeacetylase-Inhibitor Funktion in der akuten myeloischen Leukämie des Erwachsenen durch Analyse der Valproinsäure bedingten Genexpressionsunterschiede in vitro und in vivo**
L. Bullinger*, K. Döhner, F. Rücker, R. Schlenk, J. Pollack, H. Döhner, M. Schmid (Ulm, D; Stanford, USA)
- P448 Verlust der Heterozygotie bei akuter myeloischer Leukämie mit normalem Karyotyp**
S. Traikov*, C. Steudel, U. Oelschlägel, M. Schaich, G. Ehninger, C. Thiede (Dresden, D)
- P449 SNP Analyse in Klasse I HDACs von gesunden Probanden im Vergleich zu AML-Patienten**
C.-L.T. Dransfeld*, M. Schaich, C. Thiede, A.D. Ho, G. Ehninger, U. Mahlkecht (Heidelberg, Dresden, D)
- P450 Überexpression von Growth factor independence 1B ist bei Patienten mit akuter Erythroleukämie und megakaryozytärer Leukämie**
A.H. Elmaagacli*, M. Koldehoff, N.K. Steckel, H. Ottinger, D.W. Beelen (Essen, D)
- P451 Mutationsanalyse des hCDC4 Gens in AML Zellen führt zur Identifikation eines neuen Intronpolymorphismus**
D. Nowak*, M. Mossner, C.D. Baldus, O. Hopfer, E. Thiel, W.K. Hofmann (Berlin, D)

Vorsitz: U. Mahlkecht (Heidelberg, D)

- P452 ABT-737, ein Inhibitor der BCL-2-Familie, neutralisiert die Resistenz gegen apoptotischen Zelltod durch PTK-Inhibitoren in BCL2- und BCL-xL-überexprimierenden Zelllinien**
T.M. Kohl*, C. Hellinger, W. Hiddemann, S.K. Bohlander, K. Spiekermann (München, D)
- P453 Lokalisation der Rezeptor Tyrosin Kinase FLT3 in normalen hämatopoetischen Stammzellen und in leukämischen Zellen**
S. Koch*, M. Ryser, M. Bornhäuser, G. Ehninger, C. Thiede (Dresden, D)
- P454 Inhibition des nuklären Onkogens Ski hemmt die FLT3-ITD-induzierte Signaltransduktion in 32D-FLT3-ITD-Zellen**
N. Hagner*, M.Q. Huynh, K. Sohlbach, L. Sytik, Y. Wang, D. Cai, T. Stübiger, S. Teichler, M. Ritter, A. Burchert, M. Eilers, A. Neubauer (Marburg, D)

- P455 Die EGFR-Inhibitoren Erlotinib und Gefitinib induzieren Apoptose in neoplastischen Populationen von myelodysplastischen Syndromen und akuten myeloischen Leukämien**
S. Boehrer*, L. Adès, C. Fabre, P. Fenaux, G. Kroemer (Villejuif, Bobigny, F)
- P456 Der Tyrosinkinaseinhibitor SU5614 induziert Apoptose in CD34+ Zellen aber führt gleichzeitig zum Überleben früher Stamm/Progenitorzellen durch Verzögerung der Zellzyklusprogression**
S. Rushton*, S. Gilfillan, S. Marz, C. Peschel, R. Oostendorp, K.S. Götze (München, D)
- P457 Onkogene CBL-Mutanten transformieren die Rezeptortyrosinkinase FLT3-exprimierende Zellen**
C. Reindl*, S. Vempati, H. Quentmeier, G. Mellert, W. Hiddemann, K. Spiekermann (München, Braunschweig, D)
- P458 Vergleich verschiedener Methoden zur Erfassung von FLT3-Mutationen in den Exons 14/15 und 20**
J. Heidemann*, T. Illmer, M. Schaich, G. Ehninger, C. Thiede (Dresden, D)
- P459 NM23 / NME1 ist differentiell reguliert in N-RAS mutierten vs. wildtyp AML Inversion**
T. Stübiger*, S. Teichler, M. Ritter, B. Samans, M. Krause, T. Illmer, A. Neubauer (Marburg, Dresden, D)
- P460 NUP214/CAN ist in akuter myeloischer Leukämie auf beiden Seiten der Kernpore lokalisiert**
D. Kraemer*, C. Thiede, H. Einsele, B. Fahrenkrog (Würzburg, Dresden, D; Basel, CH)
- P461 Kit-Aktivierung in akuten Leukämien: Bedeutung des PI3K-Pathways**
S. Horn*, J. Cammenga, U. Bergholz, J. McCubrey, W. Fiedler, L. Trümper, C. Stocking, J. Bäsecke (Hamburg, Göttingen, D; Greenville, USA)
- P462 Herunterregulation der WT1 Expression durch siRNA in leukämischen Zelllinien**
W. Glienke* (Frankfurt, D)
- P463 Effekt der Gendosis auf die Genexpression bei akuten myeloischen Leukämien**
C. Schoch*, A. Kohlmann, W. Kern, S. Schnittger, T. Haferlach (München, D; Pleasanton, USA)
- P464 DNMT Isoformen sind unterschiedlich mit aberranter Promotor Methylierung von MDS Stammzellen während der linienspezifischen Differenzierung assoziiert**
O.J. Hopfer* (Berlin, D)
- P465 Untersuchung der molekularen Ebene der akuten myeloischen Leukämie**
E. Müller*, M. Cross, D. Niederwieser (Leipzig, D)

AML – Diagnose

Vorsitz: NN

- P466 Genom-weite Analyse mittels Submegabasen-Matrix-CGH bei AML/MDS Patienten**
A. Zatkova*, M. Wandehack, C. Schoch, M. Jotterand, C.T. Storlazzi, C. Surace, C. Mannhalter, M.K. Andersen, B. Johansson, K. Wimmer, C. Fonatsch, R. Ullmann (Wien, A; Berlin, München, D; Lausanne, CH; Bari, I; Copenhagen, DK; Lund, S)
- P467 "Cup-like" AML – wirklich eine neue Entität oder nur ein Artefakt?**
F. Kroschinsky*, U. Schäkel, R. Fischer, S. Soucek, M. Schaich, G. Baretton, G. Ehninger, C. Thiede für die DSIL (Deutsche Studieninitiative Leukämie)
- P468 Regulation des leukämogenen Onkogens EVI1 durch all-trans Retinsäure**
R. Wieser*, S. Bingemann (Wien, A)
- P469 Eine internationale multi-zenter Studie zur Ermittlung der Genauigkeit der molekularen Subklassifikation von Leukämien durch Genexpressionsprofile: Zwischenanalyse von 1837 Patienten**
T. Haferlach*, K. Mills, W. Hofmann, T. Kronnie, G. Basso, J. Hernandez Rivas, J. Downing, J. de Vos, M. Béné, E. MacIntyre, C. Preudhomme, C. Brown, A. Kohlmann, L. Wiczorek, M. Williams, W. Liu, T. Kipps, A. Yeoh, R. Foa for MILE study in ELN
- P470 Cytogenetics detects infiltrations of a primary cutaneous acute myeloid leukaemia to the kidney**
M. Christopeit*, L.P. Mueller, M. Hainz, H.-J. Holzhausen, G. Behre (Halle, D)
- P471 Der Nachweis einer NPM-1, jedoch nicht einer FLT3-ITD Mutation ist mit der frühen Blastenclearance bei Patienten mit AML oder Hochrisiko myelodysplastischem Syndrom (MDS) und normalem Karyotyp assoziiert**
K. Spiekermann*, A. Dufour, S. Schneider, G. Mellert, E. Zellmeier, J. Braess, S. Bohlander, M. Feuring-Buske, C. Buske, M. Sauerland, A. Heinecke, E. Hoster, M. Unterhalt, S. Fritsch, W. Berdel, T. Büchner, B. Wörmann, W. Hiddemann on behalf of the German Acute Myeloid Leukemia Cooperative Group (AMLCG)

- P472 KIT Mutationsanalyse in Core Binding Factor (CBF) akuter myeloischer Leukämie: Inzidenz und prognostische Relevanz. Eine Studie der AML Study Group (AMLSG)**
J. Du*, R. F. Schlenk, A. Corbacioglu, M. Habdank, C. Scholl, J. Krauter, S. Fröhling, L. Bullinger, A. Ganser, H. Döhner, K. Döhner (Ulm, Hannover, D)
- P473 Expression des Angiopoietin/Tie-2 Systems im Knochenmark von Patienten mit akuter myeloischer Leukämie: Angiopoietin-2 ist ein positiver prognostischer Faktor**
C. Schliemann*, R. Bieker, T. Padro, T. Kessler, H. Hintelmann, T. Büchner, W. E. Berdel, R. M. Mesters (Münster, D)
- P474 Prognostische Bedeutung des NPM1/FLT3-ITD Mutationsstatus bei der AML des > 60 Jährigen mit normalem Karyotyp: Ergebnisse der AML Study Group (AMLSG)**
K. Döhner*, A. Corbacioglu, B. Krebs, S. Hein, L. Bullinger, S. Fröhling, H. Döhner, R. F. Schlenk (Ulm, D)
- P475 Interphasen-FISH zum Erkennen von Risikomerkmalen bei Patienten mit AML**
B. Mohr*, C. Thiede, U. Schäkel, S. Soucek, M. Schaich, G. Ehninger (Dresden, D)
- P476 Genetische Instabilität in Blasten und CD34 positiven Zellen der Remissionshämatopoese sind wichtige negative Risikofaktoren für das rückfallfreie Überleben von Patienten mit AML in erster kompletter Remission**
S. Schwarz, A. Reichle*, G. Götz, M. Raffner, R. Andreesen, F. Hofstädter, W. Dietmayer (Regensburg, D)
- P477 Einfluß von JAK2 Mutationen auf die Prognose von AML-Patienten**
T. Illmer*, M. Schaich, G. Ehninger, C. Thiede für die AML-DSIL2003
- P478 Geriatisches Assessment: eine prospektive Studie bei älteren Patienten mit AML und high-risk MDS**
B. Deschler*, G. Horst, B. Rüter, M. Kuhn, M. Lübbert (Freiburg, D)

Therapie

Vorsitz: R.F. Schlenk (Ulm, D)

- P479 5-Azacidine bei Patienten mit akuter myeloischen Leukaemie, die Chemotherapie-refractär oder nicht geeignet sind und transfusionsabhängige myeloproliferative Erkrankungen**
H. Al-Ali*, S. Schwind, C. Becker, C. Mueller, D. Niederwieser (Leipzig, D)
- P480 Zytogenetisches Ansprechen älterer Patienten mit AML und komplexem Karyotyp unter demethylierender Therapie**
B. Rüter*, S. Knipp, U. Germing, M. Lübbert (Freiburg, Düsseldorf, D)
- P481 All-trans Retin und Gemtuzumab Ozogamicin in Kombination mit konventioneller Chemotherapie bei Patienten mit primär refraktärer akuter myeloischer Leukämie: Ergebnisse der konsekutiven Phase II Studien der AMLSG**
R.F. Schlenk*, K. Döhner, M. Kerz, F. del Valle, B. Heydrich, H.A Horst, I. Schmidt-Wolf, H. Pralle, K. Götze, E. Koller, A. Petzer, H. Mergenthaler, H. Salwender, W. Fiedler, H. Kirchen, D. Haase, S. Kremers, M. Theobald, A. Matzdorff, A. Ganser, H. Döhner for the AMLSG
- P482 S-HAM Induktionstherapie in der Erstlinientherapie der akuten myeloischen Leukämie – eine Pilot-Studie der AML-CG**
J. Braess*, P. Staib, W. Ludwig, B. Wörmann, A. Reichle, W. Berdel, T. Büchner, A. Grüneisen, C. Schmid, C. Buske, W. Kern, K. Spiekermann, M. Fiegl, M. Feuring-Buske, S. Bohlander, A. Heinecke, C. Sauerland, M. Unterhalt, W. Hiddemann für die AML-CG
- P483 Doppelinduktion mit zwei Zyklen Hochdosis-AraC verlängert das ereignisfreie Überleben von jüngeren Patienten mit AML und komplexem Karyotyp: Analyse der Ergebnisse der AMLCG-2000 Studie**
K.H. Metzeler*, C. Buske, S.K. Bohlander, J. Braess, M. Feuring-Buske, K. Spiekermann, E. Hoster, M. Unterhalt, C. Sauerland, A. Heinecke, B. Wörmann, W.E. Berdel, T. Büchner, W. Hiddemann für die AMLCG
- P484 Therapeutische Leukapherese bei hyperleukozytärer akuter myeloischer Leukämie – eine monozentrische Analyse**
F. Gärtner*, M. Lübbert (Freiburg, D)
- P485 Das Chlorom einer akuten myeloischen Leukämie mit nachgewiesener Inversion 16, präsentiert sich als Prostatakarzinom: erfolgreiche Therapie einer 75-jährigen Patientin**
H. Schäfer*, M. Lübbert (Freiburg, D)
- P486 Leukostasesyndrom bei einer Patientin mit AML M5b and 47 XX, +i(3)(q10),t(10;11)(p11.2;q23)**
D. Schöndube*, R. Schabath, W.D. Ludwig, M. Hildebrandt (Berlin, D)

- P487 Überleben nach allogener Stammzelltransplantation verglichen mit intensiver Chemotherapie bei akuter myeloischer Leukämie in Abhängigkeit von den genetischen Risikogruppen – eine matched-pairs-Analyse**
S. Ruck*, A. Knopp, H. Krentz, K. Jost, I. Hilgendorf, C. Kahl, D. Wolff, M. Leithauser, J. Casper, M. Freund, C. Junghanss (Rostock, D)
- P488 Monitoring minimaler Resterkrankung (MRD) in CBFβ-MYH11 positiver AML: Prognostische Bedeutung für den klinischen Verlauf**
A. Corbacioglu*, C. Scholl, K. Eiwen, L. Bullinger, S. Fröhling, H. Döhner, R.F. Schlenk, K. Döhner on behalf of the German-Austrian AML Study Group (AMLSG)
- P489 Pegyliertes rekombinantes G-CSF nach sequentieller Cytarabin-basierter Induktionstherapie für AML – Pharmakokinetik und Effekt auf neutrophile Erholung von Pegfilgrastim**
M. Fiegl*, W. Hiddemann, J. Braess on behalf of the AML CG
- P490 Einfluss von Pegfilgrastim auf die hämatologische Rekonstitution und Inzidenz an neutropenischem Fieber nach Konsolidierungstherapie mit hoch-dosiertem Cytarabin bei der akuten myeloischen Leukämie: vergleichende Analyse AMLSG 07-04 versus Standardarm**
R.F. Schlenk*, K. Döhner, S. Groner, P.-C. Hartman, J. Krauter, A. Ganser, H. Döhner on behalf of the AMLSG
- P491 Pharmacokinetik von Pegfilgrastim bei Patienten mit AML nach intensiver Chemotherapie**
C. Becker*, C. Junghanss, H.K. Al Ali, S. Heyn, R. Krahl, W. Pönisch, M. Cross, A. Gerhardt, A. Schulze, U. Mahlke, D. Hähling, M. Schulze, E. Kettner, G. Dölken, H.H. Wolf, E. Zschuppe, N. Peter, U. Wedding, L. Uharek, U. Kreibich, A. Florschütz, B. Opitz, N. Zojer, W. Helbig, D. Niederwieser for the East German Hematology and Oncology Study Group (OSHO)

18:00–
19:30 **Chronische Leukämien**

Vorsitz: T. Lange (Leipzig, D); J. Duyster (München, D); E. Lengfelder (Mannheim, D)

Biologie

Vorsitz: T. Lange (Leipzig, D)

- P492 Die Rolle der SH2 Domäne in JAK2-V617F vermittelter Transfomation**
S. Gorantla*, T. Dechow, C. Peschel, J. Duyster (München, D)
- P493 Hohe basale Bcr-Abl-abhängige Signaltransduktion im Stammzellkompartiment von CML-Patienten verhindert die komplette Inhibition der Signaltransduktion durch Abl-Kinase-Inhibitoren**
P. La Rosée*, S. Holm-Eriksen, N. Härtel, H. König, B. Schultheis, R. Hehlmann, A. Hochhaus (Mannheim, D)
- P494 Beteiligung der Leukämie an der side Population und Expression von ABCA3 bei Patienten mit CML**
B. Chapuy*, F. Griesinger, B. Sadowski, R. Steffens, L. Trümper, D. Haase, G.G. Wulf (Göttingen, D)
- P495 Bcr-Abl wird zu einem dominant negativen Inhibitor von Wachstumsfaktor-Signalwegen in Gegenwart von Imatinib (STI571, Gleevec)**
I. Skorta*, H. van der Kuip, M. Sonnenberg, K. Gawronski, W. Aulitzky (Stuttgart, D)
- P496 Effekt von Kinase-inaktivem Bcr-Abl auf die zelluläre Antwort auf DNA-Schädigung in Imatinib-behandelten Zellen**
I. Skorta*, M. Sonnenberg, F. Fiesel, H. van der Kuip, W. Aulitzky (Stuttgart, D)
- P497 Leukämienstammzellen – treffen oder verfehlen**
I. Röder*, M. Horn, I. Glauche, M. Löffler (Leipzig, D)
- P498 Identifizierung von Signalwegen, die mit der Progression der CML in die Blastenkrise assoziiert sind**
C. Zheng*, B. Brors, L. Li, O. Frank, A. Fabarius, B. Spiess, N. Gretz, R. Hehlmann, A. Hochhaus, W. Seifarth (Mannheim, Heidelberg, D)
- P499 Die p210Bcr-Abl Tyrosinkinase ist ausreichend für die Induktion, aber nicht notwendig für den Erhalt zentrosomaler Hypertrophie in U937/C6 Zellen**
M. Giehl*, A. Fabarius, O. Frank, B. Spiess, C. Zheng, M.C. Müller, M. Hafner, R. Hehlmann, A. Hochhaus, W. Seifarth (Mannheim, D)

- P500 Ein neuer dualer Ligand für PPAR alpha/gamma inhibiert das Wachstum von chronisch myeloischen Leukämie-Zelllinien**
J. Bertz*, H. Liu, C. Zang, K. Possinger, E. Elstner (Berlin, D)
- P501 Erstellung individueller Resistenzprofile für FIP1L1-PDGFRalpha und FLT3-ITD gegenüber spezifischen Tyrosinkinaseinhibitoren**
N. von Bubnoff*, S. Thöne, S.P. Gorantla, J. Sängler, C. Peschel, J. Duyster (München, D)
- P502 Erstellung und Applikation von effizienten rekombinanten Adeno-assoziierten Viren (rAAV2) mit der „AAV Library“ Methode für die Transduktion von Bcr-Abl positiven Leukämiezellen**
L. Sellner*, M.R. Veldwijk, M. Stiefelhagen, J.A. Kleinschmidt, A. Jauch, F. Wenz, W.J. Zeller, S. Fruehauf (Heidelberg, Mannheim, D)
- P503 Geschlechtsabhängige Verteilung der Bcr-Abl Transkript Spleissvarianten bei Kindern mit chronisch myeloischer Leukämie (CML)**
R. Adler*, S. Viehmann, E. Kuhlisch, Y. Martiniak, J. Harbott, M. Suttrop (Dresden, Gießen, D)
- P504 Quantitative mRNA Analyse aus fixierten und entkalkten Knochenmarksbiopsien**
S. Lassmann*, U. Gerlach, H.E. Schaefer, M. Werner (Freiburg, D)

Therapie

Vorsitz: J. Duyster (München, D)

- P505 Phase II-Studie mit Nilotinib (AMN107), einem neuen Bcr-Abl-Inhibitor, bei Patienten mit Ph+ chronischer myeloischer Leukämie (CML), deren Erkrankung resistent gegen Imatinib ist oder die Imatinib nicht vertragen**
N. Gattermann*, P. le Coutre, O. Ottmann, A. Hochhaus, T. Brümmendorf, B. Fenk, E. Müller-Leydig, M. Müller, P. Schuld, T. Rafferty (Düsseldorf, Berlin, Frankfurt, Mannheim, Hamburg, Nürnberg, D; Basel, CH)
- P506 Zwischenauswertung der Phase 1/2 Studie Imatinib +/- Hydroxyurea der Ostdeutschen Studiengruppe für Hämatologie und Onkologie (OSHO) bei Patienten mit chronischer myeloischer Leukämie in erster chronischer Phase**
T. Lange*, A. Schwarzer, R. Uhle, U. von Grünhagen, C. Spohn, V. Lakner, T. Ittel, M. Assmann, M. Freund, H.K. Al-Ali, R. Krahl, D. Niederwieser for the The East German Study Group (OSHO); Magdeburg, Cottbus, Halle/S, Riesa, Rostock, Leipzig.
- P507 Experimentelle Untersuchungen zur Kombinationsbehandlung mit AMN107 und etablierten zytostatischen Substanzen in Imatinib-sensitiven und -resistenten Bcr-Abl-positiven CML-Zellen**
A. Radujkovic*, J. Topaly, A.D. Ho, W.J. Zeller, S. Fruehauf (Heidelberg, D)
- P508 Zentrosomenaberrationen nach Nilotinib und Imatinib Therapie in vitro korrelieren mit Spindeldefekten und genetischer Instabilität**
A. Fabarius*, M. Giehl, O. Frank, B. Spiess, C. Zheng, M. Müller, T. Lahaye, C. Weiss, P. Duesberg, R. Hehlmann, A. Hochhaus, W. Seifarth (Mannheim, D; Berkeley, USA)
- P509 Anti-leukämische CD4+ und CD8+ T-Zellantworten in CML-Patienten unter Behandlung mit Imatinib**
C. Chen*, A. Johannsen, W. Witteles, R. Falkow, H. Maecker, P. Lee (Stanford, San Jose, USA)
- P510 Antileukämische Wirkung des neuen Triterpenoids CDDO-Im in Imatinib sensitiven und resistenten Bcr-Abl positiven Leukämien**
N. Härtel*, J. Mayer, J. Debatin, S. Holm-Eriksen, H. Koenig, M. Sporn, R. Hehlmann, A. Hochhaus, P. La Rosée (Mannheim, D; Hanover, USA)
- P511 Suppression von plasmazytoiden dendritischen Zellen (PDC) bei CML Patienten in kompletter zyto-genetischer Remission unter Interferon alpha/Imatinib Kombinationstherapie, nicht aber Imatinib Monotherapie**
A. Burchert, S. Napieralski*, C. Barrett, D. Cai, Y. Wang, A. Hochhaus, A. Neubauer (Marburg, D)
- P512 Dosierung von Imatinib in Abhängigkeit vom molekularen Ansprechen bei der chronisch myeloischen Leukämie in chronischer Phase: Zwischenbilanz der Düsseldorfer Studie**
F. Neumann*, N. Gattermann, J. Markett, K. Habersang, M. Pooten, A. Koch, R. Haas, R. Kronenwett (Düsseldorf, D)
- P513 Langzeitverläufe des mutierten Bcr-Abl Anteils bei CML**
T. Schenk*, C. Lorentz, M. C. Müller, P. Erben, T. Ernst, S. Lauber, J. Kruth, R. Hehlmann, A. Hochhaus (Mannheim, D)

Myeloproliferatives Syndrom / Mastozytose / Histiocytose / Hypereosinophiles Syndrom

Vorsitz: E. Lengfelder (Mannheim, D)

- P514 JAK2 V617F Mutations-Status zur frühen Diagnose von chronisch myeloproliferativen Erkrankungen**
H. Hauser*, O. Zach, K. Peham, H. Kasparu, M. Girschikofsky, A. Kretschmer, M. Fridrik, D. Lutz (Linz, A)
- P515 Die Bedeutung von JAK2 Mutationen bei Bcr-Abl negativen myeloischen Erkrankungen: eine Studie von 1109 Patienten MPS und 197 Patienten mit AML**
S. Schnittger*, U. Bacher, C. Schoch, W. Kern, T. Haferlach (München, D)
- P516 Gleichzeitiges Vorliegen einer JAK2 Mutation sowie einer Bcr-Abl Translokation im myeloischen Progenitorkompartiment bei einem Patienten mit primärer Osteomyelofibrose**
M. Bornhäuser*, B. Mohr, U. Oelschlaegel, P. Bornhäuser, S. Jacki, G. Ehninger, C. Thiede (Dresden, Metzingen, Tübingen, D)
- P517 Vergleich klinischer Charakteristika in JAK2 V617F positiven und negativen chronisch myeloproliferativen Erkrankungen**
O.R.F. Zach*, H. Hauser, K. Peham, O. Krieger, A. Kretschmer, M. Fridrik, F. Lang, A. Petzer, S. Burgstaller, J. Thaler, M. Stöcher, R. Greil, D. Lutz (Linz, Wels, Salzburg, A)
- P518 Mcl-1 als neuer Survival Faktor und Target in neoplastischen Mastzellen**
K.J. Aichberger*, M. Mayerhofer, K.V. Gleixner, M.T. Krauth, A. Gruze, W.F. Pickl, V. Wacheck, E. Selzer, H. Agis, C. Sillaber, P. Valent (Wien, A)
- P519 Sensitiver Nachweis von c-kit Punktmutationen bei Patienten mit Mastozytose mittels D-HPLC**
S. Lauber*, M.C. Mueller, P. Erben, T. Schenk, J. Kruth, G. Metzgeroth, T. Ernst, P. Paschka, R. Hehlmann, A. Reiter, A. Hochhaus (Mannheim, D)
- P520 Langerhans-Histiocytose bei Erwachsenen, Erfahrungen einer Klinik**
Z. Adam*, M. Navratil, J. Vorlicek (Brno, CZ)
- P521 Fallbericht: ein 57 -Jahre alter Mann mit Hypereosinophilesyndrom. Komplette Remission und Krankheitskontrolle durch den Tyrosin Kinase Inhibitor Imatinib**
C. Gerecke*, R. Ratei, A. Reiter, T. Haferlach, W.D. Ludwig (Berlin, Mannheim, München, D)

18:00– 19:30 MDS

Vorsitz: C. Aul (Duisburg, D)

- P522 Nachweis versteckter genomischer Imbalancen mit Array-CGH bei MDS Patienten mit isolierter del5q in der konventionellen Zytogenetik**
C.M. Evers*, B. Hildebrandt, M. Beier, U. Germing, K. Servan, H.D. Royer, B. Royer-Pokora (Düsseldorf, Bonn, D)
- P523 MDS Patienten mit komplex verändertem Karyotyp mit Beteiligung von del(5q) haben eine extrem schlechte Prognose**
U. Germing*, A. Giagounidis, C. Strupp, B. Hildebrandt, C. Aul, A. Kündgen, R. Haas, N. Gattermann (Düsseldorf, Duisburg, D)
- P524 Exisulind induziert Apoptose bei CD34+ Zellen von Patienten mit einem fortgeschrittenen MDS**
A. Czibere*, C. Prall, M. Aivado, R. Haas (Düsseldorf, D)
- P525 Etablierung neuer cytogenetischer Prognosegruppen bei MDS**
D. Haase*, J. Schanz, C. Steidl, B. Hildebrandt, O. Krieger, C. Fonatsch, M. Pfeilstöcker, M. Lübbert, T. Nösslinger, A. Giagounidis, R. Stauder, L. Trümper, P. Valent, U. Germing im Auftrag der Österreichisch-Deutschen MDS-Studiengruppe
- P526 Zytogenetisches Ansprechen auf Thalidomid bei 22 Patienten mit MDS**
C. Strupp*, K. Nachtkamp, B. Hildebrandt, A. Kündgen, M. Aivado, N. Gattermann, R. Haas, U. Germing (Düsseldorf, D)
- P527 Promoterhypermethylierung des O6-Methylguanin-DNA-Methyltransferase (MGMT) Gens bei Patienten mit myelodysplastischem Syndrom**
M. Wölfler*, C. Nickolay, K. Lehmann, H. Döhner, M. Schmid (Ulm, D)

- P528 Lenalidomid verlängert das Überleben bei del(5q) MDS Patienten mit komplexem Karyotyp**
A. Giagounidis*, S. Haase, M. Heinsch, G. Göhring, B. Schlegelberger, U. Germing, C. Aul (Duisburg, Hannover, Düsseldorf, D)
- P529 Niedrig dosiertes Melphalan kann in der Zweitlinientherapie nach epigenetischer Behandlung von älteren, sekundären AML Patienten sehr effektiv sein**
A. Finck*, B. Rüter, M. Lübbert (Freiburg, D)
- P530 Kurzzeitige Lenalidomidbehandlung kann zu langdauernder Transfusionsfreiheit bei del(5q) MDS Patienten führen**
A. Giagounidis*, S. Haase, M. Heinsch, B. Schlegelberger, G. Göhring, U. Germing, C. Aul (Duisburg, D)
- P531 Web-basiertes Österreichisches Register für myelodysplastisches Syndrom**
S. Desole*, J. Meßmer, G. Schreier, G. Rocco, R. Stauder (Innsbruck, A)
- P532 Wie überlebt man ein EMEA Audit durch das BfArM**
A. Giagounidis*, V. Lohrbacher, S. Haase, B. Schuran, C. Aul (Duisburg, D)

18:00– 19:30 Allogene Transplantation

Vorsitz: L. Unarek (Berlin, D); I. Blau (Berlin, D); H. Sayer (Jena, D); M. Bornhäuser (Dresden, D); M. Gramatzki (Kiel, D)

Experimentelle Transplantation / Donor search / Graft characteristics

Vorsitz: L. Unarek (Berlin, D)

- P533 Selektive Depletion alloreaktiver T-Zellen via Aktivierungsmarker CD137**
T.C. Wehler*, M. Nonn, B. Brandt, C.M. Britten, M. Gröne, R.G. Meyer, C. Huber, U. Hartwig, W. Herr (Mainz, D)
- P534 Langfristiges Engraftment mit einer chemotherapeutischen Konditionierung mit Treosulfan und Cyclophosphamid ohne Anwendung von Antikörpern in einem murinen MHC-Mismatch Modell**
M. Thiele*, A. Nogai, M. Heimesaat, S. Bereswill, E. Thiel, U. Göbel, L. Uharek (Berlin, D)
- P535 Induktion der chronischen Graft-versus-Host Krankheit in Ratten mittels Knochenmarktransplantation gefolgt von einer Donorlymphozyteninfusion (DLI)**
N. Hofmeister-Mielke*, C. Junghanß, K. Sievert, H. Terpe, A. Sekora, M. Freund, D. Wolff (Rostock, D)
- P536 Pharmakokinetik von Mycophenolat-Mofetil in Hunden nach nicht-myeloablativer Stammzelltransplantation**
S. Lange*, S. Müller, M. Dahlhaus, I. Hilgendorf, D. Wolff, B. Drewelow, M. Freund, C. Junghanss (Rostock, D)
- P537 Die Dauer und Erfolgsrate einer nicht-verwandten Blutstammzellspendersuche bezogen auf die HLA-DRB1 Allelhäufigkeiten und dem DRB1-DQB1 Kopplungsungleichgewicht**
K. Hirv*, M. Fischer, C. Müller, H. Schrezenmeier, J. Mytilineos (Ulm, D)
- P538 Bedeutung von ABO-Inkompatibilitäten bei der allogenen Blutstammzelltransplantation**
K. Hoelig*, A. Haack, L. Lerche, K. Theuser, G. Ehninger, M. Bornhäuser (Dresden, D)
- P539 Depletion von CD14+ Monozyten aus G-CSF Leukapherisaten verstärkt die Suppressionskapazität regulatorischer T-Zellen**
R. Marks*, T. Hua, W. Melchinger, Y. Ibig-Rehm, G. Prinz, J. Finke (Freiburg, D)
- P540 Ausbeute von CD34+ Zellen bei peripherer Blutstammzellapherese ist unabhängig vom Alter des Spenders**
J.-H. Maas*, A. Strate, G. Wulf, T. Legler, M. Köhler, J. Riggert (Göttingen, D)
- P541 Die Anzahl natürlicher Killer-Zellen im Transplantat beeinflusst das Rezidivrisiko nach allogener Stammzelltransplantation**
J. Clausen*, D. Wolf, A.L. Petzer, E. Gunsilius, G. Gastl, D. Nachbaur (Innsbruck, A)
- P542 Generalized seizures after infusion of cryopreserved peripheral blood stem cells**
L.P. Mueller, S. Theurich, M. Christopheit, W. Grothe, A. Muetherig, T. Weber, S. Guenther, G. Behre (Halle, D)

Engraftment und Rekonstitution

Vorsitz: I. Blau (Berlin, D)

- P543 Epigenetische Regulation von Adhäsion und Engraftment**
U. Mahlkecht*, C. Schönbein, A.D. Ho (Heidelberg, D)
- P544 Rolle von T-Zellsubgruppen im Transplantat bei Patienten nach allogenen unverwandter PBSZT**
U. Platzbecker*, C. Pabst, H. Schirutschke, I. Wagner, C. Theuser, G. Ehninger, M. Bornhäuser (Dresden, D)
- P545 Imatinib beeinträchtigt sowohl die Funktion von CD4+ regulatorischen T-Zellen als auch von CD8+ RHAMM/CD168-spezifischen T-Lymphozyten**
J. Chen*, A. Schmitt, B. Chen, M. Ringhoffer, S. von Harsdorf, J. Greiner, P. Guillaume, H. Döhner, D. Bunjes, M. Schmitt (Ulm, D; Nanjing, RC; Lausanne, CH)
- P546 TRAIL ist nach haploidenter Stammzelltransplantation signifikant hochreguliert**
U. Platzbecker*, A. Schulze, U. Oelschlägel, H. Schirutschke, M. Schmitz, G. Ehninger, M. Bornhäuser (Dresden, D)
- P547 Minor Histocompatibility antigen HA-1-spezifische Immunreaktionen nach Transplantation hämatopoetischer Zellen**
M. Hudecek*, C. Gentilini, F. vRundstedt, A. Reinhardt, E. Greb, G. Patzer, D. Niederwieser, S. Tschiedel (Leipzig, D)
- P548 Expandierte T-Zell-Klone nach allogener Stammzelltransplantation verhalten sich nicht gleich – Unterschiede in der Größenmodulation durch Immunsuppression**
L.-O. Mügge*, C. Heuchel, S. Scholl, K. Höffken, H. G. Sayer (Jena, D)
- P549 Vascular endothelial growth factor und activin-A Serumspiegel und akute Lebertoxizität nach allogener Stammzelltransplantation**
D. Nachbaur*, P. Schumacher, J. Auberger, J. Clausen, B. Kircher (Innsbruck, A)
- P550 Der CMV-Serostatus des Spenders nicht jedoch die Gabe von ATG vor allogener Transplantation beeinflusst die Rekonstitution von CMV-spezifischen T-Zellen nach allogener Stammzelltransplantation**
S. Ganepola*, C. Gentilini, U. Hilbers, T. Lange, J. Hofmann, U. Liebert, E. Engelmann, R. Heilbronn, D. Niederwieser, E. Thiel, L. Uharek (Berlin, Leipzig, D)
- P551 Allo-reaktive NK-Zellen nach allogener Blutstammzelltransplantation**
J. Hasenkamp*, A. Borgerding, B. Chapuy, W. Jung, L. Truemper, G. Wulf, B. Glass (Göttingen, D)
- P552 Quantitative Analyse des Chimerismus nach allogener Stammzelltransplantation mittels real time PCR mit Single Nukleotide Polymorphismen gegenüber Standard Tandem Repeats**
M. Koldehoff*, A.H. Elmaagacli, N.K. Steckel, M. Ditschkowski, M. Hlinka, D.W. Beelen (Essen, D)
- P553 Die Kinetik des Engraftments ist vom Typ der Blutstammzelltransplantation abhängig**
M. Lioznov*, R. Ikogho, B. Fehse, A.R. Zander (Hamburg, D)
- P554 HFE genotype is possibly always of donor origin after allogeneic hematopoietic cell transplantation and does not correlate with iron overload frequently present after hematopoietic cell transplantation**
A.-K. Eisfeld*, R. Burkhardt, S. Schröder, R. Krahl, A. Junghans, E. Edel, U.-G. Liebert, D. Niederwieser, H.K. Al-Ali (Leipzig, D)
- P555 Double cord blood and mismatched CD34+ stem cell transplantation for primary graft failure**
G. Stuhler*, B. Schöttker, M. Schumm, H. Einsele (Würzburg, Tübingen, D)

Graft-versus-Host / Graft-versus-Tumor

Vorsitz: H. Sayer (Jena, D)

- P556 MMF in Kombination mit CsA +- Prednisolon versus CsA, MTX +- Prednisolon als Prophylaxe der akuten GvHD nach allogener Stammzelltransplantation: Ergebnisse einer randomisierten Phase II Studie**
A. Fauser*, D. Linck, K. Schäfer-Eckart, M. Bornhäuser, I. Blau, M. Kröger, H. Wandt, G. Ehninger, J. Kienast, N. Basara, H. Biersack (Idar-Oberstein, Nürnberg, Dresden, Berlin, Münster, D)
- P557 Eosinophilie in Knochenmark und Gastrointestinaltrakt zeigt die Entwicklung der akuten Graft-versus-Host-Disease an**
K. Laabs*, A.A. Fauser, V. Bertolino, A. Schmitt-Gräff, N. Basara (Idar-Oberstein, Freiburg, Leipzig, D)

- P558 Der Gehalt an CD4+CD25+ regulatorischen T-Zellen im Transplantat sagt das Auftreten einer aGVHD nach myeloablativer Konditionierung voraus**
D. Wolf*, A.M. Wolf, H. Rumpold, A. Strasak, J. Clausen, D. Nachbaur (Innsbruck, A)
- P559 Behandlung der Steroid-refraktären akuten GvHD mit niedrigen Dosen Alemtuzumab**
R. Repp*, A. Claviez, B. Gahn, N. Schub, A. Günther, C. Timke, C. Schrader, M. Gramatzki (Kiel, D)
- P560 Verbesserung des Langzeitüberlebens nach allogener Stammzelltransplantation bei rezidivierter akuter lymphatischer Leukämie durch chronische Graft-versus-Host Disease**
T. Terwey*, G. Massenkeil, I. Tamm, P. Hemmati, C. Lutz, S. Neuburger, B. Dörken, R. Arnold (Berlin, Bochum, D)
- P561 Behandlung der Steroid-refraktären chronischen Transplantat-gegen-Wirt-Reaktion mit Sirolimus**
I. Tamm*, T. Terwey, P. Hemmati, S. Neuburger, G. Massenkeil, B. Dörken, R. Arnold (Berlin, Bochum, D)
- P562 Allogene Blutstammzelltransplantation wegen Leukämie: Einfluß von HLA-A, B, C Allel Differenzen auf das Risiko einer chronischen Transplantat-gegen-Wirt Erkrankung**
H. D. Ottinger*, S. Ferencik, A. Elmaagacli, R. Trenchel, H. Grosse-Wilde, D. W. Beelen (Essen, D)
- P563 Versagen eines langanhaltenden Graft-versus-Tumor Effektes bei einer Patientin mit metastasiertem alveolärem Rhabdomyosarkom**
I. Hilgendorf*, D. Wolff, A. Knopp, K. Jost, C. Große-Thie, M. Leithauser, J. Casper, M. Freund, C. Junghanss (Rostock, D)

Spenderlymphozyteninfusion

- P564 Adoptive Immuntherapie mit Streptamer selektionierten HCMV spezifischen T-Zellen nach allogener Stammzelltransplantation**
G.U. Grigoileit*, D. Busch, M. Odendahl, F. Anderl, L. Germeroth, H. Einsele, T. Tonn (Würzburg, München, Göttingen, Frankfurt/M, D)
- P565 Langzeitergebnisse nach Spenderlymphozyteninfusion nach allogener Stammzelltransplantation**
D. Nachbaur*, J. Auberger, B. Kircher, J. Clausen (Innsbruck, A)

Klinische Transplantation: reduzierte Konditionierung

Vorsitz: M. Bornhäuser (Dresden, D)

- P566 Niedrig dosiertes Anti-Thymozyten Globulin prätransplant gegeben; zeigte eine verminderte Rate chronischer Graft-versus-Host Disease bei allogener hämatopoetischer Stammzelltransplantation mit reduzierter Konditionierung**
S. Langner*, P.B. Staber, D. Strunk, W. Linkesch (Graz, A)
- P567 Dosisreduzierte Konditionierung gefolgt von allogener Stammzelltransplantation für Patienten mit rezidiviertem peripheren T-Zell-Non-Hodgkin-Lymphom**
G.G. Wulf*, J. Hasenkamp, W. Jung, B. Chapuy, A. Borgerding, L. Trümper, B. Glass (Göttingen, D)
- P568 Hämatopoetischer Chimärismus nach toxizitätsreduzierter Konditionierung mit Fludarabin und Treosulfan vor allogener Stammzelltransplantation**
M. Schmidt-Hieber*, O. Blau, N. Leschinger, L. Uharek, H. Göldner, W. Knauf, W. Hopfenmüller, E. Thiel, I. Blau (Berlin, Frankfurt/Main, D)
- P569 Die Kinetik des linienspezifischen Chimerismus beim multiplen Myelom nach allogener Transplantation mit 2Gy erlaubt Vorhersagen zur Abstossung, nicht aber über den Krankheitsprogress**
C. Kliem*, G.N. Franke, S. Leiblein, J. Edelmann, H.K. Al-Ali, T. Lange, W. Pönisch, D. Niederwieser, N. Basara (Leipzig, D)

Klinische Transplantation: konventionelle Konditionierung

- P570 Hämatopoietische Stammzelltransplantation von verwandtem oder unverwandtem Spender nach konventionellem bzw. reduziertem Konditionierungs-Regimen als Therapie für Patienten mit akuter lymphatischer Leukämie**
K. Bartsch*, C. Kliem, H.K. Al-Ali, T. Lange, D. Niederwieser, N. Basara (Leipzig, D)
- P571 Erste Erfahrungen mit einer modifizierten BEAC-Konditionierung in Hoch-Risiko-ALL**
O. Krieger*, H. Kasparu, J. König, O. Zach, D. Lutz (Linz, A)
- P572 Exzellente Langzeitergebnisse nach allogener und syngener hämatopoetischer Stammzelltransplantation bei Patienten mit schwerer aplastischer Anämie**
M. Mitterbauer*, P. Kalhs, A. Schulenburg, W. Rabitsch, D. Pohlreich, G. Fischer, W. Hinterberger, K. Dieckmann, A. Rosenmayr, C. Zielinski, H. Greinix (Wien, A)
- P573 Langzeitergebnisse nach Transplantation von CD34+ selektionierten oder unselektionierten Peripheren Blutprogenitorzellen (PBPZ) von passenden Familienspendern**
W. Vogel*, C. Faul, W. Bethge, W. Brugger, L. Kanz (Tübingen, Villingen-Schwenningen, D)
- P574 Allogene Stammzelltransplantation nach Fludarabin-haltiger Salvage Chemotherapie (FLA) bei Patienten mit Hochrisiko-Leukämie**
J. Auberger*, J. Clausen, M. Erdel, E. Gunsilius, A. Petzer, G. Gastl, D. Nachbaur (Innsbruck, A)
- P575 Komplexe Karyotypaberrationen bei Patienten im Rezidiv einer Leukämie nach allogener Stammzelltransplantation**
O. Blau*, L. Uharek, G. Thiel, K. Rieger, C. Gentilini, A. Nogai, A. Müßig, E. Thiel, I.W. Blau (Berlin, D)
- P576 Imatinib (Glivec) in Kombination mit myeloablativer Konditionierung im Rahmen allogener Stammzelltransplantation in der Blastenkrise der CML und in Philadelphia-positiver ALL (Phase I/II-Studie)**
J. Topaly*, U. Hegenbart, P. Dreger, A.D. Ho, S. Fruehauf (Heidelberg, D)
- P577 Autologe Stammzelltransplantation bei einer Patientin mit schwerer, therapierefraktärer Takayasu Arteriitis**
T. Terwey*, T. Alexander, I. Tamm, P. Hemmati, C. Lutz, G. Massenkeil, B. Dörken, F. Hiepe, R. Arnold (Berlin, Bochum, D)
- P578 Allogene Stammzelltransplantation vom HLA-identischen Familienspender bei einem erwachsenen Patienten mit Adrenoleukodystrophie**
P. Hemmati*, T. Terwey, I. Tamm, S. Neuburger, C. Lutz, G. Massenkeil, S.-J. Köhl, W. Köhler, B. Dörken, R. Arnold (Berlin, Wermsdorf, D)
- P579 Erfolgreiche allogene Stammzelltransplantation eines Patienten mit akuter myeloischen Leukämie und fortgeschrittener Mucormykose**
M. Schmalzing*, W. Vogel, C. Faul, L. Kanz, W. Bethge (Tübingen, D)
- P580 Diagnostik, Staging und Verlaufskontrolle extramedullärer Rezidive myeloischer Leukämien nach allogener Stammzelltransplantation mittels Positronenemissionstomographie/Computertomographie (PET/CT)**
M. Häntschel*, W. Vogel, W. Bethge, C. Faul, P. Aschoff, C. Pfannenberg, L. Kanz (Tübingen, D)
- P581 Treatment of sinusoidal obstruction syndrome after allogeneic stem cell transplantation**
T. Weber*, M. Christopeit, L.P. Mueller, W. Grothe, G. Behre (Halle, D)
- P582 Schlechte Prognose für Patienten mit Intensivaufenthalt nach myelo- und non-myeloablativer allogener Stammzelltransplantation**
F. Neumann*, O. Lobitz, R. Fenk, M. Kondakci, T. Zeus, M. Kelm, A.N. Hünerlitürkoglu, R. Haas, G. Kobbe (Düsseldorf, D)
- P583 Zweitspende bei gesunden unverwandten Stammzellspendern - unbefriedigende Ergebnisse für Patienten mit Rezidiv oder Alter > 50 Jahre**
U. Platzbecker*, S. Zapf, C. Theuser, A. Schmidt, C. Rutt, G. Ehninger, M. Bornhäuser (Dresden, Tübingen, D)
- P584 Das Deutsche Register für Stammzelltransplantation gewinnt für die Durchführung nationaler klinischer Studien im Feld der hämatopoetischen Stammzelltransplantation zunehmende Bedeutung**
H. D. Ottinger*, C. Müller, D. W. Beelen, A. Zander, G. Ehninger, H. Schrezenmeier für das Deutsches Register für Stammzelltransplantationen e.V.

Infektionen

Vorsitz: M. Gramatzki (Kiel, D)

- P585 Zytomegalie- und Adenovirusinfektionen nach allogener Stammzelltransplantation: eine retrospektive Analyse an 58 konsekutiven Patienten**
C. Lotze*, M. Heskamp, T. Kiefer, C. Hirt, F. Schüler, G. Dölken, R. Mentel, W.H. Krüger (Greifswald, D)
- P586 Disseminierte Infektion mit *Fusarium solani* nach allogener Stammzelltransplantation mit myokardialer und aortaler Beteiligung**
C. Busemann*, B. Kallinich, W. Krüger, G. Schwesinger, G. Schröder, C. Schmidt, G. Dolken (Greifswald, D)
- P587 Human parvovirus B19 infection with graft-versus-host disease-like erythema in an allogeneic stem cell transplant recipient**
A. Muetherig*, M. Christopeit, L.P. Mueller, G. Behre (Halle, D)
- P588 Dreifach-antimykotische Therapie bei systemischer Candidose ermöglichte die Durchführung einer allogenen Stammzelltransplantation**
B. Gahn*, N. Schub, R. Repp, M. Gramatzki (Kiel, D)
- P589 Verminderte orale Mukositis und beschleunigte Erholung der intestinalen Mukosa gemessen durch Citrullin Serum Spiegel bei mit Palifermin behandelten Patienten nach allogener und autologer Stammzelltransplantation**
S. Langner*, P.B. Staber, A. Zebisch, K. Triebel-Roth, C. Urban, W. Zinke-Cerwenka, H. Sill, W. Linkesch, P. Neumeister (Graz, A)

18:00–
19:30

Mammakarzinom

Vorsitz: C. Zielinski (Wien, A); NN

- P590 Induktion von Wachstumshemmung und Apoptose durch TZD18, einem neuen dualen Liganden für PPAR alpha/gamma, in humanen Brustkrebszelllinien**
K. Hanke*, C. Zang, H. Liu, J. Bertz, K. Possinger, E. Elstner (Berlin, D)
- P591 Trastuzumab (Herceptin) führt über die Internalisierung von Her2 Molekülen in lipidreichen Mikrodomänen zu einer erhöhten Immunogenität von HER2 überexprimierenden Tumoren**
C. Meyer zum Büschenfelde*, Y. Feuerstacke, H. Bernhard, C. Peschel (München, D)
- P592 Einfluss von Wnt 5a auf Morphologie und Migrationsaktivität von Mamma-Carcinom-Zelllinien**
S. Jorgowski*, T. Pukrop, M. Schulz, S. Siemes, L. Trümper, C. Binder (Göttingen, D)
- P593 Mikroglia erhöht die Invasivität von Mamma-Karzinom Zelllinien über den Wnt-Signalweg**
K. Abenstein*, A. Hoffmann, U.-K. Hanisch, E. Pralle, M. Schulz, L. Trümper, C. Binder, T. Pukrop (Göttingen, D)
- P594 Der homozygote Cyclooxygenase - 2 (PTGS2) 8473 CC Genotyp ist assoziiert mit Brustkrebsrisiko und Östrogenrezeptorpositivität**
U. Langsenlehner*, T. Eder, W. Weitzer, A. Gerger, G. Hofmann, H. Samonigg, P. Krippel (Graz, A)
- P595 Ergebnisse einer Beobachtungsstudie mit oralem Vinorelbine und Trastuzumab bei fortgeschrittenen Brustkrebs**
R. Bartsch*, C. Wenzel, U. Pluschnig, G. Altorjai, T. Bachleitner-Hoffmann, G. Locker, M. Rudas, R. Mader, C. Zielinski, G. Steger (Wien, A)
- P596 Neoadjuvantes 5Fluoruracil, Epirubicin und Cyclophosphamid (FEC) bei lokal fortgeschrittenem Mammakarzinom gefolgt von Docetaxel in therapierefraktären Fällen**
W. Heller* (London, UK)
- P597 Salvage-Therapie mit Bendamustin bei Patientinnen mit intensiv vorbehandeltem, metastasierten Mammakarzinom: Resultate einer Phase-II-Studie**
U. Reichmann*, C. Bokemeyer, D. Wallwiener, M. Bamberg, J. Huober (Tübingen, Hamburg, D)
- P598 Verschreibungsmuster von Aromataseinhibitoren für die adjuvante Therapie des Mammakarzinoms in Deutschland – Ergebnisse einer zweiten Umfragen unter Gynäkologen und Internisten**
D. Lüftner* (Berlin, D)

- P599 Honokiol zeigt beim Mammakarzinom antiproliferative Aktivität und induziert Apoptose**
H. Liu*, A. Emde, A. Kühnl, M. Rosche, D. Kühnhardt, A. Dieing, C. Schulz, S. Lehenbauer-Dehm, K. Possinger, J. Eucker (Berlin, D)
- P600 Nicht-pegyliertes liposomales Doxorubicin in der klinischen Routine – Ergebnisse einer retrospektiven Analyse von 238 Patientinnen**
T. Klöckner*, R. Heffinger, S. Ullrich (Martinsried, D)
- P601 Zirkulierende Tumorzellen zur Therapieüberwachung und als Zielzellen der adjuvanten Chemotherapie**
A. Kohlhasse*, N. Malarski, O. Camara, S. Krauspe, I. Runnebaum, K. Hoeffken, K. Pachmann (Jena, D)
- P602 Magnetische Tumorzelldepletion aus peripherem Blut**
M. Schwalbe*, C. Jörke, K. Wagner, K. Pachmann, N. Buske, M. Schnabelrauch, K. Höffken, J.H. Clement (Jena, Berlin, D)

18:00– 19:30 **Lungenkarzinom**

Vorsitz: M. Schuler (Mainz, D); NN

- P603 Gefitinib und Erlotinib zeigen unterschiedliche Wirkprofile bei verschiedenen NSCLC assoziierten EGFR Mutationen**
R.K. Kancha*, N. von Bubnoff, C. Peschel, J. Duyster (München, D)
- P604 Die Rolle von Tumor Necrosis Factor-alpha Converting Enzyme (TACE) bei der Transformation von Bronchialkarzinomzellen**
P. Vlachou*, L. Michel, N. Schatz, C. Peschel, J. Duyster, T. Dechow (München, D)
- P605 Konstitutives und CXCR4 induziertes JAK2/STAT3 signaling in Zelllinien des kleinzelligen Bronchialkarzinoms beeinflussen Zelladhäsion und -invasion**
M. Pfeiffer*, T. Hartmann, M. Burger (Freiburg, D)
- P606 Prädiktion des Ansprechens auf AKT Inhibitoren in EGF Rezeptor unabhängigen nicht kleinzelligen Bronchialkarzinom Zelllinien durch PTEN Expression**
T. Zander*, M. Sos, R. Thomas, J. Classen, J. Wolf (Köln, D; Boston, USA)
- P607 Kölner Raucherstudie (CoSmoS): eine genetisch/psychosoziale Studie zur Identifizierung von Rauchern mit hohem Risiko für die Entwicklung eines Bronchialkarzinoms**
A. Staratschek-Jox*, T. Zander, J. Chang-Claude, K.-H. Ladwig, W. Lehmacher, P. Nürnberg, M. Neumann, H. Pfaff, J. L. Schultze, C. Schneider, G. Wassmer, T. Wienker, H.-E. Wichmann, J. Wolf (Köln, Heidelberg, Neuherberg, Bonn, D)
- P608 Die Entwicklung von Prozessindikatoren zur Unterstützung einer leitliniengerechten Behandlung von Patienten mit nicht-kleinzelligem Bronchialkarzinom an einem universitären onkologischen Versorgungszentrum**
J.-P. Glossmann*, P. Schneider, K. Töpelt, L. Nogova, J. Wolf (Köln, D)
- P609 Phase II Studie zur Therapie von Patienten mit Rezidiv eines kleinzelligen Bronchialkarzinoms mit Bendamustin**
A. Schmittel*, M. Knödler, P. Hortig, K. Schulze, E. Thiel, U. Keilholz (Berlin, D)
- P610 Expanded access programme (EAP) of the selective EGFR tyrosine-kinase inhibitor erlotinib (Tarceva®) in patients with advanced non- small cell lung cancer: a single institution experience**
M. Tewes*, T. Gauler, P. Schuett, V. Sailer, S. Bildat, S. Korfee, S. Seeber, W. Eberhardt (Essen, D)
- P611 Erlotinib in der Therapie des fortgeschrittenen NSCLC: Subgruppe mit gutem Ansprechen**
T.R. Overbeck*, C. Tomala, E. Stitz, L. Trümper, F. Griesinger (Göttingen, D)
- P612 Autologe Stammzelltransplantation zur Behandlung neuroendokriner kleinzelliger Karzinome: beeinflusst die Primaerlokalisierung das Therapieansprechen?**
A.M.S. Mueller*, A. Kuehnemund, M. Engelhardt (Freiburg, D)
- P613 Komplexpau schalen für die integrierte Versorgung von Patienten mit nichtkleinzelligem Bronchialkarzinom**
R. Walshe*, K. Töpelt, P. Schneider, M. Kocher, M. Hallek, J. Wolf (Köln, D)

18:00– 19:30 Magenkarzinom

Vorsitz: S. Al-Batran (Frankfurt, D); F. Lordick (München, D)

P614 Transketolase TKTL1 ist überexprimiert im Magenkarzinom

R. Hofheinz, W. Staiger, J.F. Coy, F. Willeke, N. Lukan*, R. Grobholz (Mannheim, D)

P615 Randomisierte Studie mit Darbeoetin vs. Kontrolle in Kombination mit Chemotherapie bei Patienten mit metastasiertem Magenkarzinom

G. Folprecht*, C.-H. Köhne, R. Hofheinz, T. Ittl, H. Eschenburg, F. Lordick, G. Schließer, G. Klausmann, K. Possinger, P. Ramdohr, C. Haag (Dresden, Oldenburg, Mannheim, Stralsund, Güstrow, München, Gießen, Aschaffenburg, Berlin, D)

P616 Wöchentliche Therapie mit Docetaxel mono bei fortgeschrittenem Magen-/Ösophaguskarzinom. Wirksamkeit und Sicherheit der Therapie bei vorbehandelten Patienten oder Patienten in schlechtem Allgemeinzustand

K. Abbrederis*, S. Lorenzen, J. Duyster, L. Fischer von Weikersthal, T. Seroneit, N. Röthling, C. Peschel, F. Lordick (München, Amberg, D)

P617 Dreierkombination von Docetaxel, Oxaliplatin und Capecitabin bei Patienten mit metastasiertem Magenkarzinom: Phase I Studie

S. Peinert*, D. Arnold, R. Hofheinz, L. Mantovani Löffler, J. Böhme, A. Hochhaus, H.J. Schmoll (Halle, Mannheim, Leipzig, D)

P618 Irinotecan/Capecitabin versus Cisplatin/Capecitabin beim fortgeschrittenen Adenokarzinom des Magens oder gastro-ösophagealen Übergang: Interimsanalyse einer randomisierten Phase II Studie

H. Moehler*, M. Geissler, J. Raedle, M. Ebert, H. Scherubl, D. Flieger, T. Seufferlein, P.R. Galle, T. Hoehler im Auftrag der AIO Gruppe Ösophagus- Magenkarzinom

P619 Therapie eines 60-jähriger Patienten mit Trastuzumab mono bei Rezidiv eines metastasierten Her2/neu positiven Magenkarzinom nach erfolgter konventioneller Chemotherapie

J. Rech*, F. Boxberger, A. Hueber, J. Leipe, D. Rech, M. Hofmann, W. Rösler (Erlangen, Kassel, D)

18:00– 19:30 Pankreaskarzinom

Vorsitz: A. Märten (Heidelberg, D); G. Folnrecht (Dresden, D)

P620 Synergistischer Effekt von IFN-alpha bei der Chemoradioimmuntherapie des Pankreaskarzinomes im orthotopem Mausmodell

Y. Zhu*, I. Tibensky, E. Ryschich, J. Schmidt, D. Jäger, M. Büchler, A. Märten (Heidelberg, D)

P621 Curcumin induzierte Apoptose in Pankreaskarzinomzelllinien durch Herunterregulation von Survivin

W. Glienke* (Frankfurt, D)

P622 Verstärkung einer in vivo antitumoralen Aktivität durch CD40L (CD154) Gentransfer in Pankreaskarzinom – dendritische Zell-Hybride

C. Ziske*, P.E. Etzrodt, A.-S. Eliu, S. Frank, J. Strehl, D. Flieger, V. Schmitz, T. Sauerbruch, I.G.H. Schmidt-Wolf (Bonn, Rüsselsheim, D)

P623 Inhibition von Survivin durch siRNA in Pankreaskarzinomzelllinien

L. Maute* (Frankfurt, D)

P624 Expression von CD94/NKG Rezeptoren auf CIK Zellen

J. Neuberg*, E. Sievers, S. Frank, M. Starkmuth, J. Strehl, I.G.H. Schmidt-Wolf (Bonn, D)

P625 Zoledronsäure wirkt anti-proliferativ und anti-metastasierend auf Pankreaskarzinomzellen und ist ein Antigen für delta2 gamma delta T Zellen

J. Schmidt, M. von Lilienfeld-Toal, M. Büchler, A. Märten* (Heidelberg, Bonn, D)

P626 Zwischenauswertung CONKO 004 - PROSPECT (Prospektive, randomisierte Studie mit simultaner Chemotherapie und Enoxaparin beim Pankreaskarzinom)

U. Pelzer*, A. Hilbig, J. Stieler, L. Roll, A. Görke, M. Stauch, B. Opitz, T. Scholten, L. Müller, S. Hahnfeld, B. Dörken, H. Riess, H. Oettle (Berlin, Kronach, Halle, Hagen, Leer, Jena, D)

P627 Pemetrexed als second-line Therapie nach Versagen von Gemcitabin bei Patienten mit lokal fortgeschrittenem oder metastasierten Pankreaskarzinom: Ergebnisse einer multizentrischen Phase II Studie
S. Boeck*, K. Weigang-Köhler, M. Fuchs, E. Kettner, D. Quietzsch, J. Trojan, O. Stötzer, S. Zeuzem, F. Lordick, C.-H. Köhne, H. Kröning, T. Steinmetz, E. Mueller, H. Depenbrock, V. Heinemann (München, Nürnberg, Magdeburg, Chemnitz, Frankfurt, Homburg/Saar, Dresden, Köln, Bad Homburg, D)

P628 Intratumorale Injektion von Makrophagen-aktivierendem Lipopeptid (MALP-2) in Patienten mit Pankreaskarzinom: eine Phase I/II Studie
J. Schmidt*, M. Büchler, D. Jäger, P. Mühlradt, A. Märten (Heidelberg, D)

18:00–
19:30 **Kolorektale Karzinome**

Vorsitz: W. Scheithauer (Wien, A); U. Gräven (Mönchengladbach, D)

Vorsitz: W. Scheithauer (Wien, A)

P629 Differentielle Expression der DNA-methyltransferasen 1, 3A und 3B in der kolorektalen Tumorigenese
R.M. Mader*, R. Sedivy, B. Forstner, G.G. Steger, S. Zöchbauer-Müller, W.M. Schmidt (Wien, A)

P630 Einfluss des ki-Ras-Onkogens auf die Resistenz gegenüber SN-38
B. Stelck*, A.K. Larsen, F. Gieseler (Kiel, D; Paris, F)

P631 Zusammenhang eines funktionellen Einzelnukleotidpolymorphismus im "Vascular endothelial growth factor"-Gen mit Kolorektalkarzinom-Risiko
G. Hofmann*, U. Langsenlehner, T. Eder, W. Renner, F. Fürst, H. Samonigg, P. Krippel (Graz, A)

P632 Stellenwert der Promotor-Methylierung (PM) der Tumorsuppressorgene p16INK4a und p14ARF in der neoplastischen Transformation bei Colitis ulcerosa (CU)
O. Nehls*, C. Hsieh, M. Sarbia, E..C. Jehle, J.T. Hartmann, V. Gaco, R. Porschen, A. Donner, M. Gregor, B. Klump (Tübingen, Berlin, Ravensburg, Bremen, Düsseldorf, D)

P633 Uniparentale Disomie bei mikrosatellitenstabilen und -instabilen kolorektalen Karzinomen
R. Melcher*, T. Kudlich, E. Hartmann, A. Rosenwald, M. Scheurlen, W. Scheppach, H. Lührs (Würzburg, D)

P634 CD44 definiert eine Subpopulation der LT97 Colonadenomzelllinie mit hoher Wachstumsfähigkeit
A. Schulenburg*, P. Czech, I. Herbacek, B. Marian, F. Wrba, P. Valent, H. Ulrich-Pur (Wien, A)

P635 Butyrat-vermittelte Regulation von potentiellen Onkogenen in der Adenom-Karzinom – Sequenz des Kolons
R. Melcher*, T. Kudlich, E. Hartmann, A. Rosenwald, S. Kneitz, M. Scheurlen, W. Scheppach, H. Lührs (Würzburg, D)

P636 Molekulares Markerprofil zur Rezidivprädiktion bei Patienten mit resezierten und adjuvant chemotherapierten Lebermetastasen kolorektaler Karzinome
S. Lassmann*, L. Tang, M. Capanu, A. Schöpflin, A. Zur Hausen, M. Gonen, N. Kemeny, J.-R. Shia, D. Klimstra, M. Werner (Freiburg, D; New York, USA)

P637 Neoadjuvante, Irinotecan-basierte Radiochemotherapie bei lokal fortgeschrittenen Rektumkarzinomen: Langzeitergebnisse von 140 Studien-Patienten aus zwei Universitätskliniken
R. Hofheinz*, G. Klautke, F. Wenz, F. Willeke, E. Klar, K. Ludwig, K. Horisberger, A. Hochhaus, R. Fietkau (Mannheim, Rostock, D)

P638 Bolus 5-FU plus Folinsäure versus 5-FU Dauerinfusion plus Folinsäure in der adjuvanten Behandlung von Patienten mit Kolonkarzinom im Stadium III: vorläufige Ergebnisse der PETACC-2-Studie
C.H. Köhne*, A. Carrato, L. Bedenne, I. Popov, O. Bouche, E. Gaspar, P. Rougier, U. Schubert, F. Biertz, H. Becker (Oldenburg, Hannover, Göttingen, D, Alicante, Barcelona, E; Dijon, Reims, Boulogne, F; Beograd, CS)

Vorsitz: U. Grävem (Mönchengladbach, D)

- P639 Ergebnisse einer Interimanalyse einer multinationalen, randomisierten, doppelt-blinden, placebokontrollierten Phase III-Studie mit FOLFOX4 und PTK787/ZK222584 (PTK/ZK) bei Patienten mit vorbehandeltem metastasiertem Adenocarcinom des Colons oder Rectums**
C.H. Köhne*, E. Bajetta, E. Lin, E. Van Cutsem, J. Hecht, J. Douillard, M. Moore, C. Germond, D. Laurent, C. Jacques (Oldenburg, Berlin, D; Mailand, I; Houston, Los Angeles, East Hanover, USA; Leuven, B; Nantes-St. Herblain, F; Toronto, Sudbury, CAN)
- P640 Cetuximab plus XELIRI versus Cetuximab plus XELOX als Erstlinientherapie des metastasierten kolorektalen Karzinoms (CRC): eine randomisierte Studie der AIO CRC Studiengruppe**
N. Moosmann*, L. Fischer von Weikersthal, U. Vehling-Kaiser, M. Stauch, D. Oruzio, M. Schulze, J. Walther, J. Weiß, H. Diefelbinger, V. Heinemann (München, Amberg, Landshut, Kronach, Augsburg, Zittau, Stuttgart, Weiden, Herrsching, D)
- P641 Adenovirus Targeting für kolorektale Karzinome**
A. Vogt, A. Hombach, T. Sauerbruch, I. Schmidt-Wolf, H. Abken, T. Heinicke* (Bonn, Köln, D)
- P642 Prospektive Phase II-Untersuchung zur Kombination von Radiofrequenzablation und Chemotherapie für Patienten mit Lebermetastasen bei kolorektalen Karzinomen**
C. Burkart*, J.T. Hartmann, M. Bitzer, S. Clasen, L. Kanz, P. Pereira (Tübingen, D)
- P643 ADEPT beim kolorektalen Karzinom: Konstruktion, Expression und in-vitro-Charakterisierung des rekombinanten Fusionsproteins A33scFv::CDy**
P.M. Deckert*, V. Coelho, U. Petrasch, J. Dornedde, C. Menzel, S. Dübel, H. Fuchs (Berlin, Braunschweig, D)
- P644 Palliative Chemotherapie bei metastasierten kolorektalen Karzinomen: retrospektive Auswertung von 206 Patienten, die von 01/99 bis 05/06 in einer onkologischen Schwerpunktpraxis behandelt wurden**
H. Köppler*, J. Heymanns, J. Thomalla, B. Weinbach, K. Kleboth, R. Weide (Koblenz, D)
- P645 Komplexpauschalen für die integrierte Versorgung von Patienten mit kolorektalem Karzinom**
R. Walshe*, U. Hacker, M. Hallek, J. Wolf (Köln, D)
- P646 Die Entwicklung von Prozessindikatoren zur Unterstützung einer leitliniengerechten Behandlung von Patienten mit kolorektalem Karzinom an einem universitären onkologischen Versorgungszentrum**
J.-P. Glossmann*, U. Hacker, P. Schneider, M. Weihrauch, J. Wolf (Köln, D)
- P647 DPD-Mutation und neoadjuvante Radiochemotherapie bei lokal fortgeschrittenem Rektumkarzinom – Schilderung zweier unterschiedlicher Verläufe**
M. Hipp*, S. Martinez, C. Schäfer, F. Pohl, O. Kölbl (Regensburg, D)
- P648 Ein seltener Fall von Tumorlyse-Syndrom nach Gabe von Oxaliplatin/5-FU/Folinsäure und Bevacizumab bei einem Patienten mit mehrfachem Rezidiv eines Kolonkarzinoms**
M. Hentrich*, U. Hoffmann, H. Pohlmann, M. Reitmeier, B. Scheidt, R. Hartenstein, L. Lutz (München, D)

18:00–
19:30 **Urogenitale Tumoren**

Vorsitz: • Schuler (Berlin, D); NN

- P649 Molekulare Charakterisierung humaner regulatorischer T-Zellen bei Patienten mit Nierenzellkarzinom**
A. Jeron*, S. Pfoertner, T. Toepfer, R. Geffers, R. Hofmann, P. Hammerer, J. Buer, A.J. Schrader (Braunschweig, D)
- P650 Randomisierte Phase-III Studie mit Sunitinib maleat versus interferon-alfa bei Patienten mit metastasiertem Nierenzellkarzinom**
W.E.E. Eberhardt*, V. Grünwald, M. Ringhoffer, G. Jakse, T.E. Huston, P. Tomczak, M.D. Michaelson, R.M. Bukowski, O. Rixe, S. Oudard, S.T. Kim, M. Baum, R.A. Figlin, R.J. Motzer (Essen, Hannover, Ulm, Aachen, D; Dallas, Boston, Cleveland, La Jolla, Los Angeles, New York, USA; Poznan, PL; Paris, F)
- P651 Prognostische Faktoren für klinischen Benefit mit Sorafenib in Patienten mit metastasiertem Nierenzellkarzinom**
A. M. Asemisen*, M. Rohde, U. Steiner, S. Ochsenreither, E. Thiel, K. Miller, U. Keilholz (Berlin, D)
- P652 Anti-inflammatorische Therapie bei Patienten mit metastasiertem klarzelligen Nierenzellkarzinom verbessert das Gesamtüberleben**
A. Reichle*, J. Grassinger, K. Bross, J. Wilke, T. Südhoff, B. Walter, W. Wieland, R. Andreesen (Regensburg, D)

- P653 Capecitabine in Kombination mit Peginterferon-alpha 2a (PEG-IFN) bei Patienten mit fortgeschrittenen Nierenzellkarzinomen (RCC)**
A. Jakob*, G. Handel, I. Dresel, F.W. Hirsch (Offenburg, D)
- P654 Der Cyclooxygenase-2 (PTGS-2) 8473T>C Polymorphismus ist nicht assoziiert mit Prostatakarzinomrisiko**
T. Eder*, U. Langsenlehner, W. Renner, G. Hofmann, K. Kapp, R. Mayer (Graz, A)
- P655 Ein Interleukin-10 Promoter Polymorphismus und Prostatakarzinomrisiko**
T. Eder*, U. Langsenlehner, W. Weitzer, P. Krippel, R. Mayer, K. Kapp (Graz, A)
- P656 Angiostatische und ant-inflammatorische Therapie bei einem Patienten mit metastasiertem Prostatakarzinom und paraneoplastischem subkutanem Lupus erythematodes**
T. Vogt*, B. Coras, C. Hafner, M. Landthaler, A. Reichle (Regensburg, D)
- P657 Offene multizentrische Phase II-Studie zum Einsatz von Capectabin bei Patienten mit Cisplatin-refraktären oder rezidierten Keimzelltumoren**
K. Oechsle*, F. Honecker, C. Kollmannsberger, O. Rick, V. Grünwald, F. Mayer, J.T. Hartmann, C. Bokemeyer (Hamburg, Bad Wildungen, Hannover, Tübingen, D; Vancouver, CAN)
- P658 Möglichst genaue Erfassung der Nierenfunktion verbessert die Individualisierung der Carboplatintherapie – Stellenwert eines neu eingeführten Algorithmus und klinische Relevanz in Verbindung mit Carboplatin-AUC-Bestimmungen**
K. Holweger*, H. Lipp, J. Beijnen, J. Huober, C. Bokemeyer, J. Hartmann (Tübingen, Hamburg, D; Amsterdam, NL)
- P659 68-jähriger Patient mit atypischer Metastasierung eines nichtseminomatösen Hodentumors**
A. Riecke*, M. Barthelmeh, K. von Dobschütz, U. Zeelen, T. Mayer, A. Schoengen (Ulm, D)

18:00–
19:30

Sarkome

Vorsitz: J. Hartmann (Tübingen, D); E. Koscielniak (Stuttgart, D)

- P660 Sequentielle Hochdosis-Chemotherapie in Kombination mit Bevacizumab bei refraktären Sarkomen und Hodenkarzinomen: vorläufige Ergebnisse**
K. Jordan*, H.-H. Wolf, W. Voigt, T. Behlendorf, L.-P. Müller, T. Kegel, H.-J. Schmoll (Halle, D)
- P661 Atypischer Fall eines Patienten mit metastasiertem alveolärem Rhabdomyosarkom mit ausgeprägter Hämophagozytose**
H. Thomssen*, A. Peyn, H.H. Kreipe, B. Hertenstein (Bremen, Hannover, D)
- P662 Der seltene Fall einer Patientin mit Gorsham-Stout-Syndrom mit maligner Entartung zu einem Angiosarkom: der klinische Verlauf und die erfolgreiche Behandlung in Kombination mit dem VEGF Antikörper Bevacizumab (Avastin®) - ein Fallbericht**
M. Heistinger*, W. Raunig, W. Kanowsky, Z. Jukic, E. Kressnig, E. Spuller, D. Geissler (Klagenfurt, Graz, A)
- P663 Transplantation ex vivo-kultivierter autologer PBSC nach Operation und intensiver Poly-Chemotherapie bei einem Patienten mit operiertem DSRCT (desmoplastischem klein- und rundzelligem Tumor)**
L. Houet*, B. Rumstadt, C. Waller (Freiburg, Mannheim, D)
- P664 Thymom und gastrointestinaler Stromatumor: eine einzigartige Konstellation**
E. Schalk*, U. Eßbach, F. Dombrowski, A. Franke, K. Jentsch-Ullrich (Magdeburg, D)
- P665 Langzeitstabilisierung eines refraktären Hämangiothelioms unter Gemcitabin**
J. Pintoff*, I. Meisinger, M. Benz, F. Mayer, S. Kröber, M. Horger, L. Kanz, J. T. Hartmann (Tübingen, D)
- P666 Malignes Schwannom mit intracardialer Manifestation: ein Fallbericht**
A. Helle*, W. Heinz, V. Kunzmann, H. Klinker, H. Einsele (Würzburg, D)

18:00– **Melanom**

19:30

Vorsitz: C. Scheibenbogen (Berlin, D); M. Wilhelm (Nürnberg, D)

P667 Mitofilin und Titin sind Antigene bei MAR

K.D. Preuss*, C. Pföhler, W. Tilgen, A. Stark, E. Regitz, N. Fadle, M. Pfreundschuh (Homburg/Saar, D)

P668 Tenascin-C Expression in viszerale Metastasen von Stadium IV Melanomen

M. Schwabe*, A. Kersten, H. Veelken (Freiburg, D)

P669 TCTP und die Entwicklung von Chemoresistenzen in malignen Melanomen

H. Andree*, H. Lage, J. Halangk, B.J. Thiele (Rostock, Berlin, D)

P670 Nachweis zirkulierender Tumorzellen mittels reverse Transkriptase - Polymerasekettenreaktion (RT-PCR) als prognostischer Faktor für Metastasierung und Überleben bei Patienten mit Aderhautmelanom

R. Schuster*, N. E. Bechrakis, A. Stroux, A. Busse, A. Schmittel, C. Scheibenbogen, E. Thiel, M. H. Foerster, U. Keilholz (Berlin, D)

P671 Nachweis zirkulierender Tumorzellen mittels reverse Transkriptase - Polymerasekettenreaktion (RT-PCR) als prognostischer Faktor für Krankheitsprogress und Überleben bei Patienten mit metastasiertem Aderhautmelanom

R. Schuster*, N.E. Nikolaos, A. Stroux, A. Busse, A. Schmittel, C. Scheibenbogen, E. Thiel, M.H. Foerster, U. Keilholz (Berlin, D)

P672 IL-2 Therapie führt zu einem signifikanten Abfall der IL-10 produzierenden regulatorischen T-Zellen Typ 1

A. M. Asemisen*, U. Keilholz, M. Guerreiro, S. Bauer, I. Na, A. Letsch, E. Thiel, J. Huehn, C. Scheibenbogen (Berlin, D)

18:00– Non-Hodgkin Lymphome

19:30

Vorsitz: I. Schmidt-Wolf (Bonn, D); M. Wilhelm (Nürnberg, D); M. Dreyling (München, D); B. Wörmann (Braunschweig, D); W. Linkesch (Graz, A)

ZNS-Lymphome MALT kutane Lymphome

Vorsitz: I. Schmidt-Wolf (Bonn, D)

P673 Vorläufige Ergebnisse des modifizierten Bonn Protokolls ohne intraventrikuläre Chemotherapie bei primären ZNS Lymphomen

I.G.H. Schmidt-Wolf*, H. Pels, A. Jürgens, A. Glasmacher, H. Schulz, F. Kroschinsky, G. Egerer, M. Lamprecht, C. Wismeth, U. Schlegel (Bonn, Bochum, Köln, Dresden, Heidelberg, Kiel, Regensburg, D)

P674 Primäre ZNS-Lymphome für Patienten über 65 Jahre: Hochdosis-Methotrexat kombiniert mit Procarbacin und CCNU: eine multizentrische Phase-II Studie

G. Illerhaus*, R. Marks, F. Müller, G. Ihorst, G. Derigs, C. Ostertag, J. Finke (Freiburg, Mainz, D)

P675 Behandlung des primären ZNS-Lymphoms mit HD-MTX, HD-Busulfan/Thiotepa, autologer Stammzelltransplantation und ergebnisabhängiger Ganzhirnbestrahlung: Ergebnisse der OSHO-53 Studie

M. Montemurro*, T. Kiefer, F. Schüler, H. Al-Ali, H. Wolf, R. Herbst, A. Haas, K. Helke, A. Theilig, C. Lotze, C. Hirt, D. Niederwieser, M. Schwenke, W. Krüger, G. Dölken für die Ostdeutsche Studiengruppe Hämatologie/Onkologie

P676 Gibt es einen Standard in der Behandlung primär gastrointestinaler Lymphome?

R. Liersch*, W.E. Berdel, N. Willich, G. Reinartz, M. Tiemann, P. Koch
on behalf of the German Multicenter Study Group (GIT NHL STG)

P677 MALT-Lymphome und Sjögren Syndrom sind assoziiert mit Chlamydia psittaci Infektion

A. Aigelsreiter*, E. Stelzl, E. Leitner, A. Deutsch, M. Frühwirth, C. Beham-Schmid, A. Beham, W. Linkesch, N. Borel, A. Pospischil, H. Kessler, P. Neumeister (Graz, A; Zürich, CH)

P678 Mutationen innerhalb der Ig-ähnlichen Domänen und der Caspase-ähnlichen Domäne des MALT1-Gens sind selten bei MALT Lymphomen

N. Albert*, E.M. Murga Penas, K. Hinz, C. Bokemeyer, J. Dierlamm (Hamburg, D)

P679 Molekulare Zytogenetik- und Mutations-Analyse in einem MALT Lymphom der Tonsille mit hsr(18) und Amplifikation des MALT1-Gens

E.M. Murga Penas*, N. Albert, E. Callet-Bauchu, K. Hinz, S. Gazzo, F. Berger, G. Salles, C. Bokemeyer, J. Dierlamm (Hamburg, D; Lyon, F)

P680 Anhaltende Vollremission eines aggressiven B-Zell-Lymphoms der Haut im Bereich des Beins, unter Strahlentherapie rezidivierend, durch Rituximab Monotherapie

K. Ranft*, M. Panzer, M. Dreyling (Penzberg, Weilheim, München, D)

Mantelzelllymphom

Vorsitz: M. Wilhelm (Nürnberg, D)

P681 Onkogenetische Hierarchie genomischer Alterationen der 17p13.3 chromosomalen Region in Mantelzelllymphomen

G. Hutter*, Y. Zimmermann, M. Weinkauff, A. Pastore, G. Ott, W. Hiddemann, M. Dreyling (München, Würzburg, D)

P682 Identifikation neuer chromosomaler Veränderungen bei Mantelzelllymphomen mittels Vielfarben-Karyotypisierung und Fluoreszenz in situ Hybridisierung mit spezifischen Sonden

K. Hinz*, N. Albert, P. Behrmann, E.M. Murga Penas, G. Schilling, C. Bokemeyer, J. Dierlamm (Hamburg, D)

P683 Signifikante Verbesserung des Gesamtüberlebens der Patienten mit Mantelzelllymphom in den letzten 30 Jahren

A. Herrmann*, E. Hoster, M. Dreyling, M. Unterhalt, T. Zwingers, G. Brittinger, W. Hiddemann (München, Augsburg, Essen, D)

P684 Radioimmuntherapie mit 90Y Ibritumomab Tiuxetan (Zevalin®) Induktion vs. Konsolidierung bei Patienten mit rezidiviertem/refraktärem Mantelzelllymphom (MCL) – Ergebnisse der Phase II Studien des European MCL Network und der Polish Lymphoma Research Group

O. Weigert*, W. Jurczak, C. von Schilling, A. Giza, M. Rummel, J. Wegrzyn, A. Hubalewska, A. Pezzutto, M. Unterhalt, W. Hiddemann, A. Skotnicki, M. Dreyling (München, Frankfurt; Berlin, D; Krakau, PL;)

P685 Verträglichkeit und Wirksamkeit von Bortezomib in Patienten mit Mantelzelllymphom: eine Fallserie aus der Schweiz

S. Pederiva*, C.B. Caspar (Baden, CH)

Vorsitz: M. Dreyling (München, D)

P686 Ein neuartiges, de-immunisiertes anti-CD20-IL-2 Immunzytokin (DI-Leu16-IL-2) ist wirksam in SCID-Mäusen mit subkutanen, Rituximab resistenten humanen Lymphom Xenografts

J.O. Staak*, D. Colcher, S. Lauder, S.D. Gillies, A.A. Raubitschek (Köln, D; Duarte, Billerica, USA)

P687 Myc unterstützt Lymphomentstehung mittels NF-kappaB2 Suppression

U. Keller*, J. Huber, J. Nilsson, M. Hall, C. Peschel, J. Cleveland (München, D; Memphis, USA)

P688 Transfer des Multidrugresistenzgens MDR-1 in hämatopoetische Vorläuferzellen eines Patienten mit transformiertem großzelligen Non-Hodgkin-Lymphom

S. Bleier*, S. Laufs, A. Hanks, P. Becker, S. Fruehauf (Heidelberg, D; Seattle, USA)

P689 Normbereich der Lymphozytensubpopulationen im Blut, Einfluß von Alter und Geschlecht sowie deren mögliche Bedeutung für die Pathogenese von B-Zell-Lymphomen

K. Jentsch-Ullrich*, E. Schalk, M. Mohren, M. Koenigsmann, A. Franke (Magdeburg, D)

P690 Zeitnahe Diagnose des Burkitt Lymphoms

T.F. Barth*, U. Novak, S. Henz, U. Schmid, P. Möller, S. Cogliatti (Ulm, D; NYC, USA; St. Gallen, CH)

P691 Prävalenz von HCV in Patienten mit erstdiagnostiziertem B-NHL– ein prospektive epidemiologische Studie

C. Teschendorf*, R. Noppeney, T. Südhoff, M. Reiser, A. Engert, V. Diehl, U. Dührsen, W. Schmiegel (Bochum, Essen, Passau, Köln, D)

P692 Sonographisch gesteuerte Lymphknotenstanzbiopsie in der Diagnostik maligner Lymphome

C. Aulmann*, J. Demharter, S. Neukirchen, T. Wagner, G. Schlimok, K. Bohndorf, K. Kirchhof (Augsburg, D)

P693 Feinnadelaspirationszytologie als erster diagnostischer Schritt bei der Abklärung malignitätssuspekter Lymphknoten

T. Mayer*, D. Beuermann, M. Müller, S. Opperbeck, A. Schoengen (Ulm, D)

Therapie

Vorsitz: B. Wörmann (Braunschweig, D)

P694 Der „Follicular Lymphoma International Prognostic Index“ (FLIPI) identifiziert Hochrisiko-Patienten mit fortgeschrittenem follikulären Lymphom nach Ersttherapie mit Rituximab/Chemotherapie: Analyse von 362 Patienten einer prospektiven Studie der GLSG

C. Buske*, E. Hoster, M. Dreyling, J. Hasford, M. Unterhalt, W. Hiddemann for the GLSG

P695 Bendamustin/Mitoxantron/Rituximab (BMR) ist eine sehr effektive Therapie bei Rituximab-vorbehandelten und rezidierten/refraktären indolenten Lymphomen. Eine multizentrische Phase II-Studie der Deutschen Studiengruppe Niedrigmaligne Lymphome (GLSG)

R. Weide*, G. Hess, H. Köppler, J. Heymanns, J. Thomalla, A. Aldaoud, C. Losem, S. Schmitz, U. Haak, C. Huber, M. Unterhalt, W. Hiddemann, M. Dreyling für die Deutsche Studiengruppe Niedrigmaligne Lymphome (GLSG)

P696 Eine Phase IIIb Studie mit Rituximab-Erhaltungstherapie bei Patienten mit follikulärem Non-Hodgkin-Lymphom, die auf eine Induktionstherapie angesprochen haben – das MAXIMA-Protokoll

M. Hensel*, M. Witzens-Harig, P. Dreger, I. Schmidt-Wolf, T. Geer, A.D. Ho, D. Thurley, S. Oertel (Heidelberg, Bonn, Schwäbisch-Hall, Grenzach, D; Basel, CH)

P697 Die kombinierte Immunchemotherapie gefolgt von einer Rituximab Erhaltungstherapie ist eine effektive Rezidivbehandlung nach Rituximab-haltiger Primärtherapie: Ergebnisse einer GLSG-Subgruppenanalyse bei Patienten mit rezidiertem indolentem Lymphom

R. Forstpointner*, M. Dreyling, H. Böck, R. Repp, H. Wandt, C. Pott, J. Seymour, B. Metzener, A. Hänel, T. Lehmann, F. Hartmann, H. Einsele, M. Unterhalt, W. Hiddemann für die GLSG

- P698 Phase-I Studie mit einem bispezifischen Einzelkettenantikörper MT103 (CD19xCD3 BITE) bei Patienten mit refraktärem oder rezidiviertem indolentem B-Zell Non-Hodgkin-Lymphom**
R. Bargou*, P. Kufer, P. Kirchinger, S. Knop, R. Noppeney, M. Schuler, A. Viardot, K. Weigang-Köhler, F. Zettl, L. Trümper, M. Libicher, G. Riethmüller, R. Lutterbüse, M. Klinger, H. Einsele, P. Bäumler, C. Reinhardt, E. Leo (Würzburg, München, Essen, Mainz, Ulm, Nürnberg, Göttingen, Heidelberg, Köln, D)
- P699 Molekulare und funktionelle Effekte des alphastrahlenden Radioimmunokongjugates 213Bi-Rituximab in B-Zell Lymphomen und in primären CD19+ Zellen**
S. Raschke*, S. Martin, S. Kliszewski, M. Roskopf, C. Apostolidis, A. Morgenstern, M. Weis, F. Neumann, A. von Haeseler, R. Haas, R. Kronenwett (Düsseldorf, Karlsruhe, D; Wien, A)
- P700 DHAP in Kombination mit Rituximab versus DHAP alleine als Salvagetherapie für Patienten mit rezidiviertem oder refraktären diffus großzelligen Non-Hodgkin-Lymphom: eine Matched-pair Analyse**
U. Mey*, A. Olivieri, K. Orlopp, J. Strehl, H. Popp, M. Gorschlüter, M. Hensel, D. Flieger, J. Birkmann, U. Kaiser, I. Schmidt-Wolf (Bonn, Heidelberg, Rüsselsheim, Nürnberg, Hildesheim, D; Ancona, I)
- P701 Pegfilgrastim als hämatopoetische Wachstumsfaktorunterstützung bei dosisdichter Immunchemotherapie mit R-CHOP-14 als Primärtherapie älterer Patienten mit diffus großzelligem Non-Hodgkin-Lymphom**
U. Mey*, A. Maier, C. Ziske, H. Forstbauer, G. Banat, J. Strehl, M. Gorschlüter, I. Schmidt-Wolf (Bonn, Troisdorf, Gießen, D)
- P702 Tandem HD Chemotherapy gefolgt von einer myeloablativen Radioimmuntherapie mit I 131- anti-CD 20 Rituximab bei Patienten mit rezidiviertem oder refraktärem B- NHL: Ergebnisse einer Phase II Studie der deutschen RAIT Studiengruppe**
K. Hohloch*, G. Wulf, B. Glass, W. Jung, E. Stitz, J. Meller, C. Sahlmann, L. Trümper, F. Griesinger (Göttingen, D)
- P703 Yttrium-90 Ibritumomab als mögliche Therapiestrategie bei älteren und mehrfach vortherafierten Patienten mit CD20+ Non-Hodgkin-Lymphomen**
C. Leitner*, A. Rohn, R. Brezinschek, D. Strunk, F. Bauer, R. Ulreich, S. Wassertheurer, R.W. Lipp, A. Dorda, W. Linkesch (Graz, A; Chemnitz, D)
- P704 Rituximab Erhaltungstherapie bei CD20+ B-Zell Non-Hodgkin-Lymphomen – erste Interimerggebnisse einer multizentrischen, prospektiv randomisierten Phase II Studie**
M. Witzens-Harig*, M. Hensel, J.W. Schmier, K. Neben, A. Benner, P. Dreger, C. Kuhn, I. Schmidt-Wolf, A. Krämer, A.D. Ho (Heidelberg, Mannheim, Bonn, D)
- P705 Rituximab-Erhaltungstherapie nach einer Kombination aus Pentostatin, Cyclophosphamid und Rituximab bei Patienten mit lymphoplasmocytischem Lymphom/M.Waldenström (WM) und chronischer lymphatischer Leukämie (PERLL-Studie)**
M. Hensel*, A.D. Ho (Heidelberg, D)
- P706 R-DHAP mit anschließender Rituximab Erhaltungstherapie bei älteren Patienten mit rezidiviertem hochmalignen B-NHL**
C. Kuhn*, P. La Rosée, J. Hastka, R. Hehlmann, E. Lengfelder (Mannheim, D)
- P707 Phase I /II Studie mit CLAOP21 und CLAOP14 bei Patienten mit hochmalignen Non-Hodgkin-Lymphomen**
A. Busse*, A. Schmittl, J. Siehl, G. Hütter, E. Thiel, U. Keilholz (Berlin, D)
- P708 Risiko-adaptierte Hochdosis-Therapie rezidivierter und refraktärer aggressiver Non-Hodgkin-Lymphome – ein multizentrisches Studienkonzept der OSHO**
M. Koenigsmann*, J. Casper, L. Uharek, A. Reichle, H. Sayer, H. Al-Ali, W. Krüger, B. Metzner, M. Mohren, A. Franke (Magdeburg, Rostock, Berlin, Regensburg, Jena, Leipzig, Greifswald, Oldenburg, D)

Vorsitz: W. Linkesch (Graz, A)

- P709 Rituximab plus Salvage-Chemotherapie bei aggressiven Non-Hodgkin-Lymphomen nach initialer Immuno-Chemotherapie mit Rituximab**
A. Borgerding*, J. Hasenkamp, B. Chapuy, L. Trümper, G.G. Wulf, B. Glass (Göttingen, D)
- P710 Langzeitergebnisse eines Risiko-adaptierten Vorgehens mit sequentieller Hochdosis-Chemotherapie bei Hochrisiko- oder konventioneller Chemotherapie bei Niedrigrisiko Non-Hodgkin-Lymphompatienten in der Erstlinientherapie**
P. Schütt*, A. Welt, C. Beling, P. Ebeling, M. Poser, S. Müller, K. Metz, J. Anhof, T. Moritz, S. Seeber, M. Nowrousian (Essen, D)

- P711 Bedeutung des Prognostischen Index für Periphere T-Zell Lymphome nicht weiter spezifizierbar nach myeloablativer Radiochemotherapie und autologem Stammzellsupport in der Erstlinientherapie**
P. Reimer*, T. Rüdiger, F. Weissinger, H. Müller-Hermelink, A. Engert, H. Einsele, M. Wilhelm (Würzburg, Köln, Nürnberg, D)
- P712 Therapie von Patienten mit AIDS-assoziierten Lymphomen im Zeitalter antiretroviraler Kombinationstherapien – erste Ergebnissen der deutschen ARL-Kohortenstudie**
C. Hoffmann*, C. Wyen, M. Oette, A. Plettenberg, J. van Lunzen, H. Jäger, J. Rockstroh, H. Horst, G. Härter, F. Mosthaf, H. Lehmann, A. Hammond, G. Fätkenheuer (Hamburg, Köln, Düsseldorf, München, Bonn, Kiel, Ulm, Karlsruhe, Dresden, Augsburg, D)
- P713 Der ältere Patient mit Krebs - inwieweit bilden Studien die Realität ab?**
M. Schroeder* (Duisburg, D)
- P714 Durchführbarkeit von Hochdosistherapie und autologer Stammzelltransplantation in älteren Patienten: retrospektive unizentrische Analyse**
B. Chapuy*, N. Götz, J. Hasenkamp, A. Borgerding, L. Trümper, B. Glass, G.G. Wulf (Göttingen, D)
- P715 Die zusätzliche Gabe von Rituximab zur Standard-Chemotherapie bei fortgeschrittenem NHL ist durch Einsparungen bei der Behandlung von Progressionen und Komplikationen kostenneutral – Zwischenauswertung einer randomisierten klinischen Studie**
K. Hieke*, M. Herold für die Ostdeutsche Studiengruppe Hämatologie/Onkologie (OSHO)
- P716 Zuverlässige periphere Stammzellsammlung bei Lymphompatienten nach Mobilisation mit Vinorelbin und Granulozytenwachstumsfaktor**
M. Heizmann*, M.J. Bargetzi (Aarau, CH)
- P717 Häufigkeit, Grad und Risikofaktoren für orale Mukositis nach BEAM Konditionierung und autologer peripherer Stammzelltransplantation sowie vorläufige Ergebnisse mit Palifermin vs. best supportive care (BSC)**
E.-S. Strobel*, K. Bauchmüller, G. Ihorst, M. Engelhardt (Höchenschwand, Freiburg, D)
- P718 Strahlenexposition bei der Y-90-Zevalin-Therapie**
L. Geworski*, A. Zander, B.O. Knoop, R. Heidenreich (Berlin, Hannover, D)
- P719 Das deutsche Radioimmuntherapieregister**
K. Hohloch*, J. Wehmeyer, F. Greisinger, J. Meller, L. Trümper (Göttingen, Münster, D)
- P720 ZNS-Spätrezidiv bei einem Patienten mit primärem Non-Hodgkin-Lymphom des Herzens**
J. Weyrauch*, C. Gerlach, B. Jung, N. Frickhofen (Wiesbaden, D)
- P721 Reversibles posteriores Leukoenzephalopathie Syndrom unter Therapie eines diffus grosszelligen B-Zell Non-Hodgkin-Lymphomes**
M.D. Haefner*, R.D. Siciliano, L.A. Widmer, B. Vogel Wigger, S. Frick (Zürich, CH)
- P722 Fallbericht: primäres Erguss-Lymphom bei einer älteren, HIV-negativen Patientin**
B. Kurzidim, S. Meier, M. Hildebrandt, W.-D. Ludwig (Berlin, D)
- P723 Erfolgreiche Therapie einer 50-jähriger Patientin mit nasalen NK-/T Zell Lymphom der Zunge mit Fludarabin, Cyclophosphamid, Doxorubicin und Alemtuzumab**
J. Rech*, J. Leipe, A. Hueber, F. Ruberg, S. Landgraf, G. Niedobitek, E. Weidmann, W. Rösler (Erlangen, Frankfurt, D)

18:00– 19:30 Hodgkin Lymphome

Vorsitz: A. Engert (Köln, D); R.-D. Kortmann (Leipzig, D)

- P724 Spezifische Lokalisierung, Gamma Imaging und Therapie L540 Hodgkin Lymphom Tumor tragenden Nacktmäusen mit dem radioaktiv markierten, humanisierten anti-Tac monoklonalen Antikörper (Daclizumab)**
J.O. Staak*, D. Colcher, A. Engert, A.A. Raubitschek (Köln, D; Duarte, USA)
- P725 Östrogen- und Progesteronrezeptorexpression in Hodgkin-Lymphomen**
M. Tiemann*, A. Claviez, W. Dörffel, G. Schellong (Hamburg, Kiel, Berlin, Münster, D)
- P726 HSP90-Inhibition für die zielgerichtete Therapie des Hodgkin-Lymphoms**
B. Böll*, F. Eltaib, K. Reiners, P. Borchmann, F. Burrows, A. Engert, E. Pogge von Strandmann (Köln, D; San Diego, USA)

- P727 CD30 als Target für die Radioimmuntherapie von Lymphomen**
J.O. Staak*, D. Colcher, S. Nagata, I. Pastan, A.A. Raubitschek (Köln, D; Duarte, Bethesda, USA)
- P728 Prenylierungs-Inhibitoren sind viel versprechende Medikamente zur Therapie des Hodgkin-Lymphoms**
B. von Tresckow*, P. Langendorf, E. Pogge von Strandmann, S. Sasse, S. Tawadros, A. Engert, H.P. Hansen (Köln, D)
- P729 Einfluss von Alter und sozio-ökonomischen Faktoren auf die Überlebenswahrscheinlichkeit von Hodgkin-Lymphom Patienten in England und Wales**
J. Bohlius*, B. Rachet, E. Nolte, A. Engert, M. Coleman (Köln, D; London, UK)
- P730 Hat das Bildungsniveau Auswirkungen auf das Überleben bei Hodgkin Lymphom Patienten? Ein Bericht der Deutschen Hodgkin Lymphom Studiengruppe (DHSG)**
K. Behringer*, E. Gilman, P. Borchmann, B. Pfistner, V. Diehl, A. Engert (Köln, D)
- P731 Bortezomib und Dexamethason zur Behandlung von Patienten mit rezidiertem Hodgkin-Lymphom: eine Phase II Studie**
S. Trelle*, O. Sezer, R. Naumann, M. Rummel, U. Keller, M. Nickelsen, A. Engert, P. Borchmann (Bern, CH; Berlin, Dresden, Frankfurt, München, Hamburg, Köln, D)
- P732 Salvage Therapie für Hodgkin-Lymphom Patienten im frühen Stadium, die ein Progress/Rezidiv nach der primären Therapie mit zwei Zyklen ABVD und Strahlentherapie erlitten haben**
M. Sieniawski*, J. Franklin, B. Pfistner, T. Schober, H. Nisters-Backes, V. Diehl, A. Josting (Köln, D)
- P733 Therapie des HIV-assoziierten Morbus Hodgkin: erste Ergebnisse einer prospektiven multizentrischen Studie**
M. Hentrich*, P. Kreckel, C. Wyen, D. Schürmann, A. Krümpelmann, M. Nickelsen, R. Meyer, D. Kingreen, K. Arastéh, G. Fätkenheuer, C. Hoffmann, A. Engert, P. Mitrou (München, Berlin, Köln, Hamburg, Bremen, Frankfurt, D)
- P734 Gonadale Toxizitäten bei Frauen nach Behandlung des Hodgkin-Lymphoms. Eine Auswertung des LENT-SOMA Bogens in den Studien HD10-HD12 der Deutschen Hodgkin Lymphom Studiengruppe (DHSG)**
K. Behringer*, E. Gilman, P. Borchmann, E. Heuser, B. Pfistner, V. Diehl, A. Engert (Köln, D)
- P735 PET Untersuchung nach vier Zyklen BEACOPP in der Therapie der fortgeschrittenen Stadien Hodgkin Lymphom (Studie HD15 DHSG)**
J. Markova*, K. Klaskova, J. Polivka, M. Skopalova, O. Belohlavek, T. Kozak (Prag, CZ)
- P736 Fertilität in männlichen Patienten mit Hodgkin-Lymphoma – Ergebnisse der Deutschen Hodgkin Studien Gruppe**
M. Sieniawski*, A. Josting, T. Reineke, B. Pfistner, V. Diehl, A. Engert (Köln, D)
- P737 Behandlung eines Patienten mit lymphozyten-prädominantem Hodgkin Lymphom mit Yttrium-90-ibritumomab Tiuxetan**
N. Zojer*, S. Mirzaei, H. Köhn, H. Ludwig (Wien, A)
- P738 Hodgkin-Krankheit der Schilddrüse: Fallbericht einer seltenen Manifestation**
V. Vucinic*, N. Jaekel, C. Nehring, D. Ditz, U. Poske, W. Poenisch, D. Niederwieser, H.K. Al-Ali (Leipzig, D)
- P739 Erreichen einer Vollremission nach 8 Zyklen Bendamustin bei einem Patienten mit M. Hodgkin und zweitem Rezidiv nach HDCT und ASCT**
A. Riecke*, M. Barthelmeh, T. Mayer, U. Zeelen, M. Müller, A. Schoengen (Ulm, D)

18:00–
19:30 **Multiples Myelom**

Vorsitz: M. Kropf (Münster, D); W. Pönisch (Leipzig, D); C. Straka (München, D)

Biologie

Vorsitz: M. Kropf (Münster, D)

- P740 Die Hemmung von mToR verlängert das Überleben im INA-6 Plasmozytom-SCID-Mausmodell durch Apoptoseinduktion**
A. Günther*, F. Bakker, A. Wohlfarth, W. Baum, M. Tiemann, R. Burger, M. Gramatzki (Kiel, Erlangen, Hamburg, D)
- P741 Identifizierung der antigenen Zielstrukturen von Paraproteinen**
K.D. Preuss*, C. Hung, N. Malatsidze, M. Wagner, B. Kubuschok, M. Pfreundschuh (Homburg/Saar, D)

- P742 Die Expression von Tetranectin, Thrombospondin 3, Cartilage oligomeric Protein und anderen Osteoblastenmarkern wird durch Myelomzellen inhibiert und durch Proteasominhibition stimuliert**
M. Hecht*, M. Kaiser, U. Ungethüm, R-J Kuban, I. von Metzler, O. Sezer, U. Heider (Berlin, D)
- P743 Modulation der zytotoxischen Aktivität der Proteasomeninhibitoren Bortezomib und MLN273 durch PgP-Expression**
H. Rumpold*, A. Wolf, C. Salvador, G. Gastl, D. Wolf (Innsbruck, A)
- P744 Funktionelle und molekulare Analyse onkogener Signalwege im multiplen Myelom**
A. Zöllinger*, T. Stühmer, M. Topp, S. Knop, R. Bargou (Würzburg, D)
- P745 BSc2118, ein neuer Proteasominhibitor mit in vitro Aktivität gegen Myelom- und Mantelzell-Lymphom**
C. Jakob*, J. Sterz, I. von Metzler, U. Kuckelkorn, H.A. Braun, C. Fleissner, M. Kaiser, H. Kemmer, U. Heider, K. Possinger, P.M. Kloetzel, O. Sezer (Berlin, D)
- P746 Das Y-box bindende Protein YB-1 ist mit einem aggressivem Krankheitsverlauf assoziiert und vermittelt Überleben und Zytostatikaresistenz beim multiplen Myelom**
M. Chatterjee*, C. Ranco, T. Stühmer, N. Eckstein, H. Royer, R. Bargou (Würzburg, Berlin, Bonn, D)
- P747 Sekundäre Bortezomib-Resistenz ist charakterisiert durch veränderte Proteasom-Regulation und deren insuffiziente Inhibition, welche durch alternative Proteasominhibitoren kombiniert mit der Induktion einer ER-Stressantwort überwunden werden kann**
C. Driessen*, J. Gogel, L. Kanz, M. Kraus, T. Rückrich (Tübingen, D)
- P748 Generierung Wue-1 spezifischer Masernviren zur Therapie bei multiplen Myelom**
H.-D. Hummel*, G. Kuntz, S. Russell, T. Nakamura, H. Einsele, M. S. Topp (Würzburg, D; Rochester, USA)
- P749 Proliferationshemmung von Myelomzellen durch Aktivierung der adenosinmonophosphat-aktivierten Kinase (AMPK)**
P. Baumann*, S. Mandl-Weber, B. Emmerich, C. Straka, R. Schmidmaier (München, D)
- P750 Prognostischer Einfluss klinisch-pathologischer Faktoren auf das Therapieergebniss von multiplen Myelom Patienten: eine retrospektive Analyse von 150 Patienten behandelt mit Standard- gegenüber Hochdosischemotherapie und autologer Stammzelltransplantation**
T. Ngo*, M. Kleber, B. Deschler, M. Engelhardt (Freiburg, D)
- P751 Die Translokation (11/14) ist assoziiert mit der Expression von CD56 auf Zellen des multiplen Myeloms**
M. Hundemer*, U. Klein, D. Hose, F. Cremer, M. Raab, M. Moos, A.D. Ho, H. Goldschmidt (Heidelberg, D)
- P752 Zytogenetische Untersuchungen im multiplen Myelom**
A. Muntean*, A. Brown, M. Riesch, L. Seppa, D. Betts (Zürich, CH)
- P753 Serum „total-RANKL“ Spiegel bei Patienten mit multiplen Myelom**
C. Jakob*, A. Goerke, I. von Metzler, L. Kleeberg, C. Fleissner, M. Kaiser, J. Sterz, U. Heider, M. Hecht, K. Possinger, O. Sezer (Berlin, D)
- P754 Monokine induced by interferon-gamma (MIG) Serumspiegel sind ein Marker für die Tumorlast und korrelieren mit der Prognose beim multiplen Myelom**
M. Schreder*, G. Koch, D. Heintel, K. Strasser-Weippl, K. Frischmuth, U. Jäger, H. Ludwig, N. Zojer (Wien, A)
- P755 Different Expression von Immunoglobulin-like transcript 2 (ILT2) in normalen und klonalen Plasmazellen, aber kein Unterschied zwischen MGUS und multiplen Myelom**
M. Schreder*, W. Hübl, G. Koch, K. Strasser-Weippl, N. Zojer, H. Ludwig (Wien, A)
- P756 Lösliches MICA als unabhängiger prognostischer Parameter bezüglich des Gesamtüberlebens für Patienten mit multiplen Myelom**
P. Schütt*, V. Rebmann, D. Brandhorst, B. Opalka, S. Seeber, M. Nowrousian, H. Grosse-Wilde, T. Moritz (Essen, D)

Vorsitz: W. Pönisch (Leipzig, D)

- P757 Hohe Inzidenz von Veränderungen der Mikrozirkulation des Knochenmarks, nachgewiesen durch dynamische kontrast-verstärkte MRT bei Patienten mit asymptomatischem multiplem Myelom und monoklonaler Gammopathie unklarer Signifikanz**
J. Hillengass*, C. Zechmann, A. Nadler, K. Wasser, S. Delorme, A.D. Ho, H. Goldschmidt, T. Moehler (Heidelberg, Mannheim, D)
- P758 Expression von BCMA und BAFF-R kann nicht nur im multiplen Myelom/Plasmazellen gefunden werden, sondern auch in gesunden hämatopoetischem und non-hämatopoetischem Geweben**
E. Hünig*, K. Hauschulz, S. Gattenlöhner, H.-K. Müller-Hermelink, H. Einsele, M.S. Topp (Würzburg, D)
- P759 Der lösliche Transferrinrezeptor bei multiplm Myelom**
G. Metzgeroth*, P. La Rosée, C. Kuhn, R. Hehlmann, J. Hastka (Mannheim, D)
- P760 Zeitabhängige Änderungen des Knochenstoffwechsels bei Patienten mit multiplm Myelom**
M. Koenigsmann*, S. Zacharias, K. Jentsch-Ullrich, S. Westphal, S. Kropf, D. Kose, A. Franke (Magdeburg, D)
- P761 FDG-PET bei Patienten mit multiplm Myelom, Plasmocytom und MGUS**
R. Hajek, M. Kreci, L. Pour, K. Bolcak, J. Stanicek, J. Neubauer, Z. Adam* (Brno, CZ)
- P762 Die Erhaltungstherapie von IFN-alfa oder Wechselerhaltungstherapie von IFN-alfa oder Dexamethason nach der Hochdosiertentherapie mit der Unterstützung der Stammzellen bei Patienten mit neu diagnostiziertem multiplen Myelom**
Z. Adam*, V. Scudla, M. Krejci, L. Pour, J. Bacovsky, M. Schutzova, V. Koza, E. Tothova, L. Novosadova, P. Kessler, M. Zemanova, E. Sumna, A. Svobodnik, J. Vorlicek, R. Hajek for the CMG Czech myeloma group
- P763 Revlimid, Adriacyin und Dexamethason (RAD) als Rezidivtherapie bei Patienten mit vorbehandeltem multiplen Myelom**
S. Knop*, C. Gerecke, M. Topp, S. Kotkiewitz, P. Liebisch, G. Hess, H. Einsele, R. Bargou für die Deutsche Studiengruppe Multiples Myelom (DSMM)
- P764 Behandlung von stark vorbehandelten Patienten mit rezidiviertem oder refraktärem multiplen Myelom mit Lenalidomide**
U. Klein*, M. Hundemer, G. Egerer, U. Hegenbart, D. Hose, T. Moehler, S. Schoenland, M. Witzens-Harig, P. Wuchter, M. Villalobos, A. Ho, H. Goldschmidt (Heidelberg, D)
- P765 Wirksamkeit einer Kombinationstherapie mit Thalidomid und Dexamethason bei Patienten mit rezidiviertem oder refraktärem multiplen Myelom: systematisches Review von 8 klinischen Studien und 283 Patienten**
M. von Lilienfeld-Toal*, C. Hahn-Ast, F. Hoffmann, K. Furkert, K. Orlopp, R. Naumann, M. Gorschlüter, I.G.H. Schmidt-Wolf, A. Glasmacher (Bonn, Dresden, D)
- P766 Bendamustin, Thalidomid und Prednisolon (BPT) in der Behandlung von Patienten mit fortgeschrittenem multiplen Myelom: Ergebnisse einer Phase I Studie**
W. Pönisch*, M. Rozanski, H. Goldschmidt, F.A. Hoffmann, T. Boldt, A. Schwarzer, U. Ruffert, R. Rohrberg, E. Schwalbe, J. Uhlig, T. Zehrfeld, V. Schirmer, A. Haas, U. Kreibich, D. Niederwieser für die Myelom Gruppe der OSHO
- P767 Multizenter Phase II Studie einer oralen Behandlung mit Thalidomid, Cyclophosphamid, Idarubicin und Dexamethason für Patienten mit refraktärem oder rezidiviertem multiplen Myelom**
I.G.H. Schmidt-Wolf*, T.M. Möhler, H. Goldschmidt, T. Geer, R. Kleinschmidt, T. Gaska, U. Janssens, J. Schubert, P. Brück, M.R. Clemens, W. Bair, G. Seipelt, M. Schleuning, C. Hahn-Ast, S. Herz, M. von Lilienfeld-Toal, R. Naumann, M. Gorschlüter, A. Glasmacher on behalf of the Refractory Myeloma Study Group
- P768 Pegyliertes liposomales Doxorubicin und Dexamethason als Salvage Therapie bei Patienten mit multiplen Myelom: eine prospektive monozentrische Phase II Studie mit 18 Patienten**
H. Nückel*, R. A. Hilger, M. Grubert, A. Röth, U. Dührsen (Essen, D)
- P769 Bortezomib in Kombination mit hoch dosiertem Dexamethason und einer Cyclophosphamid-Dauertherapie in oraler Form bei rezidiviertem Multiplm Myelom**
M. Kropff*, E. Schuck, G. Bisping, P. Liebisch, N. Lang, M. Engelhardt, C. Straka, O. Sezer, H. Einsele, W. Berdel, J. Kienast (Münster, Ulm, München, Freiburg, Berlin, Würzburg, D)
- P770 Effizienz einer Bortezomib Monotherapie in Bezug auf ECOG Performance-Status bei rezidivierten/refraktären Patienten mit multiplm Myelom. Ergebnisse einer prospektiven, nicht-interventionellen Anwendungsbeobachtung**
M. Welslau*, C. Maintz, M. Groschek, C. Schardt, H. Pliskat, R. Angermund (Aschaffenburg, Würselen, Gelsenkirchen, Neuss, D)

Vorsitz: C. Straka (München, D)

- P771 Effizienz einer Bortezomib-Therapie bei älteren Patienten mit multiplem Myelom. Ergebnisse einer prospektiven, nicht-interventionellen Anwendungsbeobachtung**
R. Schlag*, W. Zeller, H. Dietzfelbinger, H. Pliskat, R. Angermund (Würzburg, Hamburg, Herrsching, Neuss, D)
- P772 Effizienz einer Bortezomib-Monotherapie bei Patienten mit rezidiviertem/refraktärem multiplem Myelom. Ergebnisse einer prospektiven, nicht interventionellen Anwendungsbeobachtung**
A. Matzdorff*, B. Mohr, H. Wolf, H. Pliskat, R. Angermund (Saarbrücken, Berlin, Dresden, Neuss, D)
- P773 Stufentherapie mit Botrezomib, Dexamethason und Bendamustin bei Patienten mit multiplem Myelom**
R. Fenk*, M. Michael, F. Zohren, T. Graef, A. Szibere, S. Balleisen, F. Neumann, U.-P. Rohr, R. Haas, G. Kobbe (Düsseldorf, D)
- P774 Keine Unterlegenheit der Dosisreduktion von Thalidomide beim multiplen Myelom; günstiges Ansprechen insbesondere bei Patienten ohne Deletion 13q14 und in Kombination mit anderen myelomwirksamen Substanzen**
P.S. Haas*, U. Denz, G. Ihorst, M. Engelhardt (Freiburg, D)
- P775 Langzeitüberleben nach Hochdosischemotherapie und autologer Blutstammzelltransplantation. Wie sieht das Leben zwei Jahre danach aus?**
I. Bumeder*, E. Frick, M. Tyroller, N. Fischer, R. Busch, C. Straka, B. Emmerich (München, D)
- P776 Verbesserte Einschätzung der Nierenfunktion durch Berechnung der glomerulären Filtrationsrate bei multiplen Myelompatienten behandelt mit Standard- gegenüber Hochdosischemotherapie und autologer Stammzelltransplantation**
M. Kleber*, T. Ngo, B. Deschler, B. Koch, M. Engelhardt (Freiburg, D)
- P777 Ganzkörper-Low-Dose-Computertomographie ist einer konventionellen Beurteilung des Plasmozytom-Verlaufes anhand von Osteolysen und Laborparametern überlegen**
C. Driessen*, H. Brodoefel, C. Faul, B. Denecke, R. Vonthein, M. Vogel, C. Claussen, L. Kanz, M. Horger (Tübingen, D)
- P778 Vollremission und Frührezidiv einer Plasmazell-Leukämie nach Bortezomib-Induktion und allogener Stammzelltransplantation**
W.H Krüger*, T. Kiefer, F Schüler, C. Busemann, G. Dölken (Greifswald, D)
- P779 Progressive multifokale Leukenzephalopathie nach allogener Transplantation in multiplem Myelom**
R. Seggewiß*, W. Heinz, V. Kunzmann, H. Klinker, H. Einsele (Würzburg, D)
- P780 Evaluation eines stationären Rehabilitationsprogramms für Patienten mit multiplem Myelom/Plasmozytom**
A. Mumm*, J. Weis, M. Poppelreuter, H.H. Bartsch (Freiburg, D)
- P781 Lenalidomid und Bendamustin bei refraktärem Myelom nach allogener Stammzelltransplantation**
S. Knop*, C. Faul, W. Vogel, H. Einsele, R. Bargou (Würzburg, Tübingen, D)
- P782 Behandlung eines Myeloms bei koexistenter essentieller Trombozythämie: Fallstudie mit autologer PBSZT**
C. Unzicker*, S. Brenner, P. Reimer, H. Einsele (Würzburg, D)
- P783 Hochdosis-Chemotherapie mit Melphalan und autologe periphere Blutstammzelltransplantation bei einem Patienten mit multiplem Myelom und terminaler Niereninsuffizienz**
C. Messner*, M. Mohren, P. Bartsch, A. Franke, M. Koenigsmann (Magdeburg, D)
- P784 Meningeales- und zerebrales Rezidiv bei einer Patientin mit Hochrisiko Plasmozytom nach autologer- und allogener Stammzelltransplantation**
I. Markmann*, A. Franke, M. Koenigsmann, C. Mawrin, C. Messner, S. Schinkel, M. Mohren (Magdeburg, D)

18:00– **Chronische lymphatische Leukämie**

19:30

Vorsitz: J. Schetelig (Dresden, D); NN; W. Knauf (Frankfurt, D); A. Schwarzer (Leipzig, D)

Chronische lymphatische Leukämie 1

Vorsitz: J. Schetelig (Dresden, D)

- P785 Ein neues NOD/SCID-xenograft Modell für die humane chronische B-Zell Leukämie (B-CLL)**
P. Ebeling*, F. Grabellus, L. Sellmann, M. Flasshove, S. Seeber, U. Dührsen, J. Dürig, T. Moritz (Essen, D)
- P786 Sphingosin 1-Phosphat fördert das Überleben von Zellen der chronischen lymphatischen Leukämie (B-CLL) durch Aktivierung der Erk/MAP-Kinase-abhängigen Signaltransduktion über den G Protein-gekoppelten Rezeptor S1P1**
G. Seitz*, S. Yildirim, A. Boehmler, L. Kanz, R. Möhle (Tübingen, D)
- P787 Unterschiedliche genetische Subgruppen der chronischen lymphatischen Leukämie (CLL) zeigen nach Behandlung mit Fludarabin, Etoposid und Alemtuzumab (Campath-1H) in-vitro spezifische Ansprechraten und Zelltodmechanismen**
D. Winkler*, C. Schneider, D. Nitsch, A. Habermann, H. Döhner, S. Stilgenbauer (Ulm, D)
- P788 Arsentrioxid induziert Apoptose in neoplastischen B- aber nicht T-Zellen in B-CLL Patienten unabhängig vom klinischen und molekularen Risikoprofil**
C. Heyder*, D. Asslaber, F. Hamacher, I. Tinhofer, O. Merkel, R. Greil (Salzburg, A)
- P789 Vergleichende Untersuchung der Genexpressionsprofile der B-Zellrezeptorstimulation in CLL-Zellen und physiologischen CD5-positive B-Lymphozyten**
C.P. Pallasch*, J. Schwamb, D. Kofler, S. Debey, J.L. Schultze, M. Hallek, A. Ultsch, C.M. Wendtner (Köln, Marburg, D)
- P790 Beteiligung der Proteinkinase B in der B-CLL**
S. Hofbauer*, I. Tinhofer, R. Greil (Salzburg, A)
- P791 Rolle von reaktiven Sauerstoffradikalen beim Arsentrioxid induzierten Zelltod in B-CCL Zellen**
D. Asslaber*, C. Heyder, F. Hamacher, I. Tinhofer, O. Merkel, R. Greil (Salzburg, A)
- P792 CD23 wird als tumor-assoziiertes Antigen (TAA) bei der B-CLL von autologen CD8+ T-Lymphocyten erkannt**
D. Bund*, C. Mayr, D. Kofler, M. Hallek, C. Wendtner (München, Köln, D)
- P793 Globale Genexpressionsanalyse Arsentrioxid behandelter chronisch lymphatischer Leukämie-Zellen**
F. Hamacher*, C. Heyder, M. Scheideler, I. Tinhofer, Z. Trajanoski, O. Merkel, R. Greil (Salzburg, Graz, A)
- P794 Human Ly9 (CD229) als neues tumor-assoziiertes Antigen (TAA) bei der Chronisch lymphatischen Leukämie (B-CLL) wird von autologen CD8+ T-Zellen erkannt**
D. Bund*, C. Mayr, D. Kofler, M. Hallek, C. Wendtner (München, Köln, D)
- P795 Die Transfektion von primären CLL Zellen mit Locked Nucleic Acid gegen BCL-2 führt zu einer verminderten Expression von BCL-XL und P27**
C. Schneider*, D. Winkler, A. Habermann, D. Kienle, P. Kearney, H. Doehner, S. Stilgenbauer (Ulm, D; Hørsholm, DK)
- P796 Fludarabin und seine immunmodulatorische Wirkung auf T-Zellen in B-CLL – mehr als nur ein Antimetabolit?**
F. Gassner*, L. Weiss, I. Tinhofer, R. Greil (Salzburg, A)
- P797 Funktionelle Charakterisierung der Bcl-2 Splicevariante beta**
C. Leistert*, P. Staib, T. Schinköthe (Köln, D)
- P798 Homöostatische Proliferation der chronisch lymphatischen Leukämie**
S. Wirths*, F. Bertoni, L. Kanz, A. Lanzavecchia (Tübingen, D; Bellinzona, CH)
- P799 Bryostatin 1 und Immunotoxin BL22: wirksame Apoptosevermittler in B-CLL Zellen**
C. Bogner*, I. Ringshausen, C. Peschel, T. Decker (München, D)
- P800 Hochauflösendes genomisches Screening bei der B-CLL zeigt eine spezifische Korrelation von genomischen Imbalancen mit prognostischen Subgruppen und unterstreicht die Stetigkeit dieser chromosomalen Aberrationsmuster innerhalb dieser Erkrankung**
C. Schwaenen*, D. Kienle, A. Kröber, S. Ruf, M. Enz, D. Winkler, H. Kohlhammer, A. Viardot, H. Kestler, P. Lichter, S. Wessendorf, H. Döhner, S. Stilgenbauer (Ulm, Heidelberg, D)

Chronische lymphatische Leukämie 2

Vorsitz: W. Knauf (Frankfurt, D); A. Schwarzer (Leipzig, D)

- P801 Metaphasen Zytogenetik in Verbindung mit FISH für eine umfassende Charakterisierung von chromosomalen Aberrationen bei CLL**
F. Dicker*, S. Schnittger, W. Kern, T. Haferlach, C. Schoch (München, D)
- P802 Quantitative Genexpressionsanalyse von Surrogatmarkern für genetische Risikogruppen und die Überlebenszeit bei der CLL**
D. Kienle*, A. Benner, A. Kröber, A. Habermann, D. Winkler, P. Lichter, R. Dalla-Favera, H. Döhner, S. Stilgenbauer (Ulm, Heidelberg, D; NYC, USA)
- P803 Erhöhte Pro-BNP Werte bei Patienten mit CLL und normaler linksventrikulärer Funktion**
A. Jakob*, S. Wieshammer, E.S. Kielwein, F.W. Hirsch (Offenburg, D)
- P804 Einfluß des MDM2 Polymorphismus SNP309 auf Erkrankungsalter und Verlauf bei der chronisch lymphatischen Leukämie**
T. Zenz*, S. Häbe, A. Bühler, A. Kröber, T. Denzel, H. Döhner, S. Stilgenbauer (Ulm, D)
- P805 Vorhersage des Therapieansprechens mittels des Chemosensitivitätsindex Ci bei Patienten mit chronischer lymphatischer Leukämie**
R. Lube*, T. Schinköthe, P. Staib (Köln, D)
- P806 Durchflusszytometrischer Nachweis der ZAP-70 Expression: unterschiedliche Analysestrategien und Korrelation mit der Zytogenetik**
U. Oelschlägel*, B. Mohr, C. Thiede, G. Ehninger, J. Schetelig (Dresden, D)
- P807 Verbesserte Risikobestimmung durch geschlechtsspezifische molekulare Profilerstellung in B-chronisch lymphatischer Leukämie**
I. Tinhofe*, G. Rubenzer, C. Holler, M. Stöcher, A. Egle, R. Greil (Salzburg, A)
- P808 Rituximab in Kombination mit Fludarabin und Etoposid ist eine sehr wirksame Therapie bei der chronisch lymphatischen Leukämie**
K.U. Chow*, S. Kim, S. Herrmann, D. Hoelzer, L. Bergmann (Frankfurt, D)
- P809 Fludarabin, Cyclophosphamid und Mitoxantron mit und ohne G-CSF in der Behandlung der fortgeschrittenen chronischen lymphatischen Leukämie**
P. Fraisl*, O. Burkhard, A. Franke, R. Schlag, G. Hopfinger, R. Busch, M. Hallek, B. Eichhorst
on behalf of the GCLLSG (German CLL Study Group)
- P810 Fludarabin (Fludara®) ist eine hoch effektive, sichere und gut verträgliche 1st-line-Behandlung der CLL unabhängig vom Alter und körperlichen Fitness der Patienten: Interimanalyse einer prospektiven Anwendungsbeobachtung**
U. Söling*, R. Zankovich, A. Bittrich, J. Weniger (Kassel, Köln, Erfurt, D)
- P811 Resultate einer Lebensqualitätsanalyse, welche unter Benutzung des EORTC QLQ-C30 als Teil einer Phase III Studie der DCLLSG, Fludarabin versus Chlorambucil in der Erst-Linien-Therapie bei älteren Patienten mit fortgeschrittener CLL analysiert**
H.-M. Scholz*, R. Busch, M. Hallek, B.F. Eichhorst, The German CLL Study Group (Köln, München, D)
- P812 Therapie hyperleukozytärer Rezidive von B-CLL nach fludarabinhaltiger Chemotherapie. Zwei Fallberichte**
E. Roemer*, N. Gulzad, A. Dürr, R. Pisula, X. Sitskaja, A. Fauser (Idar-Oberstein, D)

18:00–
19:30

Nicht maligne Hämatologie

Vorsitz: N. Galtermann (Düsseldorf, D); R. Fuchs (Eschweiler, D)

- P813 Coombs-positive Erythrozyten gesunder Blutspender, eine experimentell belegte Erklärung**
V. Alaia*, B. Frey, H.U. Lutz (Zürich, CH)
- P814 Coombsnegative hämolytische Krise - eine seltene Erstmanifestation eines M. Wilson: ein Fallbericht**
D. Adorf*, M. Seilmaier, E. Hörwick, P. Schomerus, C. Nerl (München, D)

- P815 Die Thomas Plot Software: ein neues Konzept in der Anämie-Diagnostic**
R. Röddiger, U. Schmid, R. Moka, G. Wiedle, R. Walter-Matsui*, L. Thomas (Mannheim, Grenzach-Wyhlen, Frankfurt/Main, D)
- P816 Erfolgreiche Therapie der Autoimmunthrombozytopenie durch subkutane Gaben von Anti-D**
O.M. Meyer*, H.K. Kiesewetter, M.H. Hermsen, P.P. Petriedes, M.R. Rose, H.S. Seibt, A.S. Salama (Berlin, Hamm, München, Minden, D)
- P817 Kehren überalterte, menschliche Neutrophile in das Knochenmark zurück?**
S. Yildirim*, F. Bautz, A. Boehmler, L. Kanz, R. Möhle (Tübingen, D)

18:00– 19:30 Gerinnung

Vorsitz: H.-H. Wolf (Halle, D); M. Mohren (Magdeburg, D)

- P818 Die Rolle endothelialer Mikropartikel in der Pathogenese der Chemotherapie-assoziierten Hyperkoagulabilität**
D. Lechner*, M. Kollars, S. Eichinger, P.A. Kyrle, A. Weltermann (Wien, A)
- P819 Thromboseprophylaxe in der Schwangerschaft mit LMW-Heparin**
H.-H. Wolf*, A. Frühauf, C. Scheler, F. Röpke (Halle, D)
- P820 Therapie der erworbenen Hemmkörperhämophilie – Stellenwert von Immunsuppression, Immunadsorption und Gerinnungssubstitution**
H.-H. Wolf*, O. Dorligschaw, K. Jordan, A. Harba, C. Kuhn, H.-J. Schmoll (Halle, D)
- P821 Erhöhte Faktor VIII (FVIII)- und von Willebrand Faktor (VWF)-Aktivität bei Patienten mit malignen Lymphomen und akuten Leukämien**
M. Mohren*, I. Markmann, K. Jentsch-Ullrich, M. Koenigsmann, G. Lutze, A. Franke (Magdeburg, D)
- P822 Fallbericht: verlängerte Thromboplastinzeit wegen eines erworbenen Faktor VII-Inhibitors**
M. Hildebrandt, M. Schuler, E. Herrmann, K.-M. Klima, S. Ghani, W.-D. Ludwig (Berlin, D)
- P823 Antithrombinmangel und Thrombingenerierung – Einfluß der zugrundeliegenden Mutation**
A. Siegemund*, U. Scholz (Leipzig, D)
- P824 Therapeutische Antikoagulation bei Antiphospholipid – Syndrom: Schwierigkeiten im Monitoring**
A. Siegemund, U. Scholz* (Leipzig, D)
- P825 Thrombozytenfunktion bei Immunthrombozytopenie**
U. Scholz*, A. Siegemund (Leipzig, D)

18:00– 19:30 Sonstige Onkologie

Vorsitz: P. Daniel (Berlin, D); W.M. Fiedler (Hamburg, D); NN; N. Basara (Leipzig, D)

Vorsitz: P. Daniel (Berlin, D); W.M. Fiedler (Hamburg, D)

- P826 Promotormethylierung führt zu einer verminderten Expression von O6-Methylguanin-DNA-Methyltransferase (MGMT) bei Gliomen**
C. Nickolay*, M. Schmid, J. Seidel, K. Seitz, H.P. Richter, H. Döhner, M. Wöfle (Ulm, D)
- P827 Expression von Dickkopf-3 in Tumorgefäßen von malignen Gliomen**
G. Untergasser*, J. Kern, M. Zimmermann, H. Rumpold, M. Hermann, E. Gunsilius (Innsbruck, A)
- P828 p14ARF induzierte Apoptose interferiert nach DNA-Schädigung mit Kontrollpunkten des Zellzykluses**
A. Milojkovic*, D. Güner, P. Hemmati, B. Gillissen, J. Wendt, C. von Haefen, P.T. Daniel (Berlin, D)
- P829 Synthetische Phospholipid-Analoga induzieren Apoptose durch eine todesligand-unabhängige Aktivierung von FADD/Caspase-8**
C. von Haefen, J. Wendt, C. Belka, S. Radetzki, W. Reutter, K. Danker, P.T. Daniel (Berlin, Tübingen, D)
- P830 Mcl-1 inhibiert die Aktivierung von Bak durch Nbk/Bik**
B. Gillissen*, P. Hemmati, D. Güner, G. Forro, A. Richter, A. Richter, B. Dörken, P.T. Daniel (Berlin, D)

- P831 „Crosstalk“ zwischen ER und Mitochondrien ist entscheidend für Nbk induzierte Apoptose**
B. Gillissen*, P. Hemmati, D. Güner, G. Forro, A. Richter, A. Richter, B. Dörken, P.T. Daniel (Berlin, D)
- P832 Detektion von dysregulierten Metalloproteinasen und ko-regulierten Genen im Rahmen der HCV-induzierten sowie nicht-viralen Hepatokarzinogenese mittels Oligonukleotid-Arrays**
H. Hass*, J. Jobst, O. Nehls, J. Hartmann, S. Kaiser (Stuttgart, Reutlingen, Tübingen, D)
- P833 Effektive Suppression der TGF-alpha vermittelten Aufregulation der MMP9 expression in Keratinozyten**
M. Meissner*, C. Fischer, E. Valesky, R. Kaufmann, J. Gille (Frankfurt, D)
- P834 Expression von CHK2 sensibilisiert für DNA Damage induzierte Apoptose**
P. Hemmati*, B. Verdoodt, G. Normand, B. Gillissen, J. Wendt, D. Güner, E. May, B. Doerken, P. Daniel (Berlin, D; Villejuif, F)
- P835 MAPKAP Kinase-2 spielt eine Rolle in Chemotherapie induziertem DNA Damage Checkpoint Signaling**
C. Reinhardt*, A.S. Aslanian, J. Lees, M.B. Yaffe (Cambridge, USA)
- P836 Fraktionierte Strahlentherapie kann funktionell relevante Überexpression von Multidrugresistenz-Genen und Proteinen in menschlichen Tumorzelllinien induzieren**
D. Koychev*, D. Bottke, A. Busse, T. Wiegel, E. Thiel, W. Hinkelbein, U. Keilholz (Berlin, Ulm, D)
- P837 Bim induziert Apoptose über den mitochondrialen Weg**
G. Forro*, B. Gillissen, A. Richter, P.T. Daniel (Berlin, D)
- P838 Das Proto-Onkogen PBX-1 ist notwendig für Nebennierenrinden-Wachstum und Steroid-Synthese und interagiert mit dem SF-1 Signaltransduktionsweg**
J. Scheele*, U. Lichtenauer, D. Schulte, M. Kolanczyk, A. Höflich, S. Hahner, F. Beuschlein (Halle (Saale), Freiburg, München, Würzburg, D)
- P839 Charakterisierung von DNA-Ploidie, Proliferationsverhalten, histopathologischen Befunden und intratumoraler Heterogenität in primären und rezidierten Kopf-Hals-Tumoren (HNSCC) – potentielle Bedeutung für den klinischen Einsatz und Therapieplanung**
H. Hass*, A. Schmidt, O. Nehls, S. Kaiser (Stuttgart, Koblenz, Tübingen, D)
- Vorsitz: NN; N. Basara (Leipzig, D)*
- P840 Antiangiogene Vasohibin-Proteine sind im Zellkern lokalisiert**
J. Kern*, G. Untergasser, M. Bauer, E. Gunsilius (Innsbruck, A)
- P841 Nachweis zirkulierender lymphatischer Endothelzellen im Blut von Tumorpatienten**
S. Loges*, K. Suhrbier, S. Riethdorf, J. Otten, G. Schuch, K. Pantel, C. Bokemeyer, W. Fiedler (Hamburg, D)
- P842 VEGF-Expression im Aszites- oder Pleurapunktat bei Patienten mit und ohne maligner Grunderkrankung**
B. Grünberger*, O. Pichelmayr, P. Valent, T. Grünberger, M. Krauth, R. Bauer, M. Raderer (Wien, A)
- P843 Renale Antikörper in der Differentialdiagnose von Kopf-Hals Tumoren**
J. Hastka*, G. Metzgeroth, W. Back, B. Schultheis, C. Kuhn, R. Hehlmann (Mannheim, D)
- P844 Auto-DiSC: eine neue Methode zur Evaluation der in-vitro Chemosensitivität mittels Durchflußzytometrie**
N. Bomhold*, T. Schinköthe, P. Staib (Köln, D)
- P845 Entscheidungshilfe zur Auswahl geeigneter Formeln zur Berechnung der individuellen Nierenfunktion bei onkologischen Patienten**
K. Holweger*, H. Lipp, K. Dietz, J. Hartmann, C. Bokemeyer (Tübingen, Hamburg, D)
- P846 Compliancemesung bei Patienten mit per os appliziertem Capecitabin**
S. Simons*, S. Roth, A. Arjukese, M. Braun, Y. Ko, W. Kuhn, U. Mey, P. Schwindt, H. Wolter, U. Jaehde (Bonn, D)
- P847 Unterschiedliche Reaktionen der endothelialen Vorläuferzellen und der VEGF-Plasma-Konzentration auf metronomische und konventionelle Chemotherapien**
T. Trefzer*, A. Steinke, S.O. Peters, S. Stölting, T. Wagner (Lübeck, D)
- P848 Zwei-Jahres-Analyse eines Patientenaufnahme und Leitsystems**
B. Deschler*, D. Ulrich, A. Kühnemund, A. Jestädt, P. Fofana, H. Bertz (Freiburg, D)

- P849 Imatinib Mesylate in der Behandlung von Patienten mit rezidierten PDGF-R exprimierenden hochgradigen Gliomen**
M.R. Hassler*, C. Marosi, J.A. Hainfellner, M. Preusser, K. Rössler, K. Dieckmann, C. Haberler (Wien, A)
- P850 Lokoregionale Hyperthermie bei fortgeschrittenen Hirntumoren**
H.S. Sahinbas* (Bochum, D)
- P851 Klinischer Verlauf von 55 Tumorpatienten mit ZNS-Befall - eine retrospektive Analyse**
J. Rabe*, H. Krentz, M. Leithauser, K. Jost, I. Hilgendorf, C. Kahl, J. Casper, M. Freund, C. Junghanss (Rostock, D)
- P852 Pemetrexed/Platin zur Therapie des fortgeschrittenen peritonenalen Mesothelioms**
M. Karthaus*, F. Frieler, N. Vasquez, N. Pfeil, U. Wiegand, A. Plahl, K. Hornyk, M. Schmidt, F. Baysal, K. Tagizadeh, M. Trapp (Bielefeld, D)
- P853 Erfolgreiche Hormontherapie bei rezidiertem Granulosazelltumor – ein Fallbericht**
M. Schuler*, D. Pink, W.-D. Ludwig, P. Reichardt (Berlin, D)
- P854 Titanocene Y zeigt antitumorale Aktivität gegen frisch gewonnene humane Tumoren**
O. Oberschmidt*, M. Tacke, K. Strohfeldt, N. J. Sweeney, C. Pampillón, J. Fleeth, F. E. Lüdtke, S. Struck, A.-R. Hanauske (Hamburg, D; Dublin, IRL)
- P855 Induktion lokalisierter TNF Aktivität am Tumor mittels bispezifischer Antikörper**
M. Krusch*, T. Herrmann, A. Peterfi, I. Kumbier, L. Kanz, G. Jung, H. Salih (Tübingen, D)
- P856 Intravenöses Eisen verbessert die Erythropoetintherapie bei Krebspatienten**
G. Günther*, A. Sauer (Potsdam, D)

18:00–**Psycho-Onkologie**

19:30

Vorsitz: E. Brähler (Leipzig, D); J. Meran (Wien, A)

- P857 Erhebung der psycho-sozialen Belastung von Krebspatienten in der Routine von Tumorboards an einem Comprehensive Cancer Centre**
P. Heussner*, B. Huber, C. Pirker, K. Siewert, J. Siewert, M. Molls, C. Peschel, A. Sellschopp (München, D)
- P858 Normalisierung durch Übernahme der Patientenrolle: subjektive Krankheitsvorstellungen, Bewältigungsstrategien und Zukunftserwartungen bei Patienten mit akuter myeloischer Leukämie nach Adaptation an den Klinikalltag**
M. Koenigsmann*, N. Kreutzmann, K. Köhler, A. Franke, J. Frommer (Magdeburg, D)
- P859 Analyse des Zusammenhangs zwischen somatischen Beschwerden und psychischen Belastungen bei erwachsenen Patienten unter zytotoxischer Chemotherapie: psychosomatische Aspekte in der Hämatologie**
M. Koehler*, J. Holzhäuser, M. Koenigsmann, A. Franke, J. Frommer (Magdeburg, D)
- P860 Lebensqualität bei Pankreaskarzinom**
C. Braun*, J. Müller-Nordhorn, S. Roll, M. Böhmig, M. Nocon, A. Reich, L. Noesselt, B. Wiedenmann, S.N. Willich, B. Brüggjenjürgen (Berlin, D)
- P861 Nutzung komplementärer und alternativer Medizin und Informationsbedarf bei Patienten mit chronischer lymphatischer Leukämie (CLL)**
M. Hensel*, M. Zoz, A.D. Ho (Heidelberg, D)
- P862 Psychosomatische Prozessanalyse in der Hämatologie: die Untersuchung erwachsener Patienten während des Prozesses der Hochdosis-Chemotherapie mit autologer hämatopoetischer Transplantation**
M. Koehler*, T. von Toll, M. Koenigsmann, A. Franke, J. Frommer (Magdeburg, D)

18:00– **Palliativmedizin**

19:30

Vorsitz: H.-H. Bartsch (Freiburg, D)

P863 Palliativmedizinischer Dienst in einer ländlich strukturierten Gegend für hospitalisierte und ambulant behandelte onkologische Patienten

C. Thürigen*, P. Müller, W. Schreml (Günzburg, D)

P864 Prospektive Preiskalkulation der Palliativmedizin für Patienten mit nichtkleinzelligem Bronchialkarzinom

R. Walshe*, C. Ostgathe, R. Voltz, M. Hallek, J. Wolf (Köln, D)

P865 Die Hoffnung stirbt zuletzt

H.T. Steinmetz*, C. Gabor, S. Schmitz (Köln, D)

P866 Chemotherapie aus palliativmedizinischer Sicht – ein komplexer Fallbericht

M. Lientscher*, I. Strohscheer, H. Samonigg (Graz, A)

18:00– **Infektionen (bakteriell, Virus, Pilz)**

19:30

Vorsitz: NN; NN; M. Schaich (Dresden, D)

Vorsitz: NN; NN

P867 Taurolidin-Citrat als Standard-Blocklösung für dauerhaft implantierte Katheter

A. Simon*, G. Wieszniewsky, U. Bode (Bonn, D)

P868 Meta-Analyse zur Bewertung der empirischen antibiotischen Monotherapie versus Kombinationstherapie mit Aminoglykosiden bei neutropenischen Patienten mit Fieber

C. Hahn-Ast*, M. von Lilienfeld-Toal, F. Hoffmann, K. Orlopp, G. Marklein, A. Glasmacher (Bonn, D)

P869 Disseminierte Tuberkulose bei einer Patientin mit akuter myeloischer Leukämie

I. W. Blau*, G. Hütter, T. Schneider, E. Thiel (Berlin, D)

P870 Lichtmikroskopischer Streptokokkennachweis im peripheren Blut- und Knochenmarksaustriech

T. Austein*, G. Aue, I. Schnieder, J. von Bloh, S. Badge, H. Kerstan (Brake, D; Bethesda, USA)

P871 Corynebakterium Meningitis mit fatalem Verlauf in der Leukopenie

R. Schabath*, D. Schöndube, E. Herrmann, W.D. Ludwig, M. Hildebrandt (Berlin, D)

P872 Imitation einer mikroangiopathischen Hämolyse durch eine CMV-Infektion des Knochenmarkes nach Rituximab-haltiger Hochdosistherapie

I. Meisinger*, K.C. Weisel, L. Kanz, R. Möhle (Tübingen, D)

P873 Prospektive Aspergillus PCR Untersuchung bei Patienten mit invasiver Fadenpilzinfektion aus der AmBiLoad Studie

M. Hummel*, B. Spiess, O. A. Cornely, M. Dittmer, H. Mörz, D. Buchheidt (Mannheim, Köln, München, D)

P874 Detektion und Identifizierung fungaler DNA in Blut-, BAL- und Gewebeproben mit Hilfe eines DNA Microarrays zur Diagnose systemischer Pilzinfektionen bei neutropenischen Patienten

B. Spiess*, W. Seifarth, M. Hummel, O. Frank, A. Fabarius, C. Zheng, H. Mörz, R. Hehlmann, D. Buchheidt (Mannheim, D)

P875 Induktion von Resistenzgenen in Candida albicans durch die Zytostatika Doxorubicin und Vincristin

M. Ruhnke*, G. Kofla, B. Schulz, U. Storch (Berlin, D)

P876 Ergebnisse des Galactomannan Elisa Tests unter Piperacillin-Tazobactam Therapie – Bedeutung der Abnahmezeitpunkte: endgültige Ergebnisse

K. Orlopp*, G. Marklein, S.M. Reiffert, A. Welter, C. Hahn-Ast, I. Purr, M. von Lilienfeld-Toal, M. Gorschlüter, I.G.H. Schmidt-Wolf, E. Molitor, A. Glasmacher (Bonn, D)

- P877 Umtägig appliziertes Amphotericin (0,5 mg/kg KG) verhindert bei Patienten nach allogener Stammzelltransplantation mit reduzierter Konditionierung die Reaktivierung von Pilzinfektionen mit akzeptabler Toxizität**
A. Mikolajewska*, V. Vucinic, G.N. Franke, D. Niederwieser, T. Lange (Leipzig, D)
- P878 Liposomales Amphotericin B zur Prophylaxe invasiver Mykosen – eine pharmakoökonomische Analyse**
O. Penack*, P. Martus, E. Thiel, I. Blau (Berlin, D)
- P879 Primäre Antimykotische Prophylaxe während Induktionschemotherapie bei akuter myeloischer Leukämie (AML) – Voriconazol vs. Placebo**
O.A. Cornely*, A. Böhme, J. J. Vehreschild, D. Buchheidt, D. Arenz, U. Harnischmacher, C. P. Heussel, A. Ullmann, G. Wassmer (Köln, Frankfurt am Main, Mannheim, Mainz, D)
- P880 Bestimmung der Plasmaspiegel von Voriconazol bei hämatologischen Patienten**
W. Heinz*, C. Klöser, C. Guhl, A. Helle, H. Einsele, H. Klinker (Würzburg, D)
- P881 Invasive Mykosen nach allogener und autologer SZT**
M. Post*, C. Lass-Flörl, G. Gastl, D. Nachbaur (Innsbruck, A)
- P882 Invasive Zygomycose bei Patienten nach Stammzelltransplantation mit Graft-versus-Host Krankheit**
M. Leithäuser*, C. Aepinus, K. Jost, I. Hilgendorf, E. Respondek, C. Große-Thie, C. Kahl, D. Wolff, J. Casper, M. Freund, C. Junghanss (Rostock, D)

Supportive Therapie und Komplikationen

Vorsitz: M. Schaich (Mainz, D)

- P883 Überexpression des Humanen Superoxid-Dismutase Gens vermittelt Radioprotektion in Normalgewebszellen**
M.R. Veldwijk*, C. Herskind, W.J. Zeller, S. Fruehauf, F. Wenz (Mannheim, Heidelberg, D)
- P884 Hämolytisch-urämisches Syndrom unter Gemcitabin-Therapie**
R. Müller*, M. Haen, L. Kanz, F. Mayer, J.T. Hartmann (Tübingen, D)
- P885 Behandlung onkologischer Patienten mit oraler Zusatznahrung (Resource 2.0 Faser®) und Diätberatung zur Verbesserung ihres Ernährungszustandes**
A. Grabner*, S. Plihal, D. Tscherner, E. Pail, K. Mellitzer, P. Wagner, H. Toplak (Graz, A)
- P886 Selektive qualitative und quantitative Veränderungen der Mundflora bei Mucositis unter Chemotherapie eines Burkitt-Lymphoms: Fallbericht**
M. Handschur*, H. Karlic, E. Pittermann, T. Nösslinger, M. Pfeilstöcker (Wien, A)
- P887 Perforation der Vena cava superior - eine seltene Komplikation zentraler Venenkatheter**
K. Jost*, M. Leithäuser, C. Große-Thie, I. Hilgendorf, H. Andree, T. Postel, J. Casper, M. Freund, C. Junghanss (Rostock, D)
- P888 Eine prospektive Studie zur Evaluation von prädiktiven Faktoren für ein Ansprechen auf Darbepoetin alpha bei Patienten mit soliden Tumoren (PFAD-Studie)**
H.T. Steinmetz*, M. Hellmich, A. Aldaoud, C. Lerchenmüller, M. Neise, A. Tsamaloukas, S. Schmitz (Köln, Leipzig, Münster, Hilden, D)
- P889 Palifermin als effektive Mukositisprophylaxe nicht nur während hämatopoetischer Stammzelltransplantation**
C. Grosse-Thie*, K. Jost, I. Hilgendorf, D. Wolff, M. Leithäuser, T. Postel, H. Andree, J. Casper, M. Freund, C. Junghanss (Rostock, D)
- P890 Vergleich von Peg-Filgrastim und Filgrastim nach allogener Stammzelltransplantation**
C. Lutz*, G. Massenkeil, I. Tamm, S. Neuburger, T. Terwey, B. Doerken, R. Arnold (Berlin, D)
- P891 Lenograstimbehandlung bei Patienten mit gynäkologischen Tumoren**
H.-H. Wolf*, I. Krohn, A. Frühauf, W. Krüger (Halle, Frankfurt, Greifswald, D)
- P892 Routinemäßige prophylaktische Thrombozytentransfusionen sind nicht notwendig bei Patienten mit akuter myeloischer Leukämie - eine therapeutische Transfusionsstrategie ist sicher und kosteneffektiv**
H. Wandt*, M. Frank, K. Schäfer-Eckart, W. Leopold, K. Wendelin, M. Wilhelm (Nürnberg, D)
- P893 Ernährungsstatus der Patienten während der Tumortherapie: 40% der Patienten sind mangelernährt**
H. Bertz*, M. Birli, G. Zuercher (Freiburg, Karlsruhe, D)

- P894 Geriatrisches Assessment bei TumorpatientInnen in Österreich**
S. Desole*, M. Scheibner, U. Lusser, C. Pirhofer, B. Holzner, G. Kemmler, B. Sperner-Unterweger, R. Stauder (Innsbruck, A)
- P895 Fünf Dimensionen des Geriatrischen Assessments – Ergebnisse einer Faktorenanalyse**
U.-M. Lusser*, G. Kemmler, B. Holzner, M. Scheibner, S. Desole, C. Pirhofer, B. Sperner-Unterweger, R. Stauder (Innsbruck, A)
- P896 Konzept zur qualitativen Besserung der Behandlung von Krebspatienten: zwei Jahre Erfahrung im Umgang mit dem System zur Meldung klinischer unerwünschter Ereignisse (SAE)**
A. Weis*, N. Chevalier, P.S. Haas, P. Schröttner, A. Koller, A. Jestädt, J. Heinz, H. Henß, M. Engelhardt (Freiburg, D)

18:00–
19:30 **Immunologie**

Vorsitz: B. Glass (Göttingen, D); H. Salih (Tübingen, D)

Antigen präsentierende Zellen

Vorsitz: B. Glass (Göttingen, D)

- P897 Interleukin-10 inhibiert die Toll-like Rezeptor vermittelte Aktivierung von Antigen präsentierenden Zellen**
A. Knödler*, A. Bringmann, M. Weck, L. Kanz, K.M. Brauer, F. Grünebach, P. Brossart (Tübingen, D)
- P898 Mit IFN- α hergestellte dendritische Zellen besitzen Eigenschaften von reifen dendritischen Zellen als auch von natürlichen Killerzellen**
M. Korthals*, N. Safaian, R. Kronenwett, D. Maihöfer, M. Lara, M. Schott, C. Papewalis, E. Diaz-Blanco, R. Sorg, M. Winter, S. Kliszewski, R. Haas, G. Kobbe, R. Fenk (Düsseldorf, D)
- P899 Quantitative Expressionsanalyse der Toll - like Rezeptoren 2,4 und 9 in dendritischen Zellen, die aus AML- Blasten generiert wurden**
A. Schmitt*, K. Giannopoulos, P. Reinhardt, L. Li, H. Döhner, M. Wiesneth, M. Schmitt (Ulm, D)
- P900 Charakterisierung des spezifisch auf dendritischen Zellen bindenden Antikörpers W5C4**
A. Bringmann*, H.J. Bühring, L. Kanz, P. Brossart (Tübingen, D)
- P901 Zoledronsäure inhibiert die Funktion von Toll-like Rezeptor 4 Ligand aktivierten dendritischen Zellen**
A. Bringmann*, S.M. Schmidt, K.M. Brauer, K. von Schwarzenberg, D. Werth, F. Grünebach, L. Kanz, P. Brossart (Tübingen, D)
- P902 Prä-klinische Untersuchung von Interleukin-12 produzierenden semi-gereiften dendritischen Zellen und Anwendung in einer Krebsimpfstudie zur Behandlung von Nierenkrebs**
T. Felzmann*, F. Wimpissinger, A. Dohnal, H. Hügel, W. Stackl (Wien, A)
- P903 Regulierung der Funktion von dendritischen Zellen durch Histon-Deacetylase-Inhibitoren**
J. Beck*, A. Nencioni, F. Grünebach, A. Bringmann, L. Kanz, F. Patrone, A. Ballestrero, P. Brossart (Tübingen, D; Genua, I)
- P904 Überlege Elektrotransfektionseffizienz bei unter GMP-Bedingungen aus elutrierten Monozyten gewonnenen dendritischen Zellen**
N. Schub* (Kiel, D)

Antigene

- P905 Identifizierung eines neuen Peptid-Epitops aus dem Cancer/Testis-Antigen HOM-MEL-40/SSX2 mit der Fähigkeit zur Auslösung von CD4+ und CD8+ T-Zell-Antworten**
B. Kubuschok*, F. Neumann, C. Wagner, G. Held, S. Stevanovic, C. Schormann, A. Al Ahmad, K. Ertan, W. Schmidt, M. Pfreundschuh (Homburg, Tübingen, D)
- P906 Identifizierung und Charakterisierung von T-Zell-Epitopen, abgeleitet von RGS5, einem neuen, weit verbreitet exprimierten Tumor-Antigen**
C.N. Boß*, F. Grünebach, K.M. Brauer, T. Weinschenk, L. Kanz, S. Stevanovic, H.G. Rammensee, P. Brossart (Tübingen, D)
- P907 Bcr-Abl-Aktivität ist entscheidend für die Immunogenität von CML-Zellen**
K.M. Brauer*, D. Werth, K. von Schwarzenberg, A. Bringmann, L. Kanz, F. Grünebach, P. Brossart (Tübingen, D)

Effector cells and experimental TCR

- P908 Blockade von PD-1 Oberflächenexpression auf tumorspezifischen T Zellen als Ansatz zur Effizienzsteigerung adoptiver Zelltherapien bei Malignomen**
L. Borkner*, R. Andreesen, A. Mackensen, C. Blank (Regensburg, D)
- P909 Die Rolle der Adaptorproteine Bcl10 und Malt1 in der Entwicklung unreifer T-Lymphozyten**
P. Jost*, U. Ferch, S. Weiss, C. Peschel, J. Ruland (München, D)
- P910 Milchsäure – ein Metabolit des Tumorzellstoffwechsels inhibiert die Aktivität humaner T-Zellen**
K. Fischer*, P. Hoffmann, S. Voelkl, N. Meidenbauer, J. Ammer, M. Edinger, E. Gottfried, S. Schwarz, G. Rothe, S. Hoves, A. Mackensen, L. Kunz-Schughart, R. Andreesen, S.W. Krause, M. Kreutz (Regensburg, Bremen, D)
- P911 Herstellung mutierter T-Zell Rezeptoren zur Verhinderung von Kombinationen transduzierter und natürlicher TCR-Ketten nach TCR Gentransfer**
R.S. Intan*, R.H. Voss, R. Engel, S. Thomas, C. Huber, M. Theobald (Mainz, D)
- P912 Herstellung eines Maus-Modells zur Untersuchung der in vivo Sicherheit und therapeutischen Effizienz des p53 TZR**
S. Stein*, E. Antunes Ferreira, F. Rohrbach, C. Huber, M. Theobald (Mainz, D)

Vorsitz: H. Salih (Tübingen, D)

- P913 T-Zellrezeptor-Gentransfer in humane zytotoxische T-Zellklone kann zu gemischten T-Zellrezeptor-Heterodimeren führen, aber auch zur Verdrängung von endogenen T-Zellrezeptoren**
J. Neudorfer*, D. Sommermeyer, C. Peschel, T. Blankenstein, W. Uckert, H. Bernhard (München, Berlin, D)
- P914 Die Funktionalität eines Maus Einzelketten-T-Zell-Rezeptor mit einer TZR Calpha-Domäne koexprimiert in humanen T-Zellen, ist erfolgreich projizierbar auf einen humanen TZR durch dessen partielle Murinisierung**
R.H. Voss*, R.S. Intan, S. Thomas, M. Grabowski, R. Engel, P. Guillaume, P. Romero, C. Huber, M. Theobald (Mainz, D)
- P915 Phänotyp, Funktion und Sicherheit eines bicistronischen GMP-tauglichen retroviralen p53 TZR Vektors**
F. Rohrbach*, G. Brandenburg, E. Antunes Ferreira, V. Wimmenauer, D. Hirsch, T. Stanislawski, C. Huber, M. Theobald (Mainz, D)

Modulation

- P916 Expression des Proteinase Inhibitor-9 in primären AML-Blasten und seine Regulation durch IFN-gamma**
S. Hoves*, A. Kolbeck, K. Mondal, R. Andreesen, A. Mackensen (Regensburg, D)
- P917 Degranulation von T-Zellen spezifisch für die Zytomegalievirus-Proteine pp65 und IE1 in allogenen Stammzell-transplantierten Patienten**
S. Ganepola*, S. Fuhrmann, L. Uharek, E. Thiel, H. Volk, F. Kern (Berlin, D)
- P918 SLAM und SAP sind für die zytotoxische Aktivität von Lymphozyten erforderlich – in vitro und in vivo Daten**
S. Mehrle*, M.W. Büchler, J. Schmidt, A. Märten (Heidelberg, D)
- P919 Wirkung von Zoledronsäure auf myeloide Zellen**
A.M. Wolf*, H. Rumpold, G. Gastl, E. Gunsilius, H. Tilg, D. Wolf (Innsbruck, A)
- P920 Serumspiegel von Granzym A und Granzym B nach Stammzelltransplantation**
B. Kircher*, P. Schumacher, D. Nachbaur (Innsbruck, A)
- P921 Phase II Immuntherapie-Studie mit Zoledronat und IL-2**
V. Kunzmann*, M. Smetak, K. Weigang-Köhler, B. Kimmel, F. Weissinger, J. Birkmann, H. Einsele, M. Wilhelm (Würzburg, Nürnberg, D)

non-MHC immunity

- P922 Expression und Rolle von GITR Ligand bei Effektorfunktionen von Makrophagen**
M. Krusch*, M. Kloss, K. Baltz, A. Peterfi, I. Kumbier, H. Salih (Tübingen, D)
- P923 Rolle des humanen Glucocorticoid-induced TNF Receptor bei der Interaktion von Tumor und Immunsystem**
K. Baltz*, M. Krusch, A. Bringmann, P. Brossart, F. Mayer, M. Kloss, T. Baessler, I. Kumbier, A. Peterfi, S. Kupka, S. Kroeber, D. Menzel, M. Radsak, H. Rammensee, L. Kanz, H. Salih (Tübingen, Mainz, D)
- P924 Lösliche Freisetzung von GITR Ligand durch Metalloproteasen verstärkt NK Zell-vermittelte Antitumoraktivität**
K. Baltz*, M. Krusch, T. Baessler, M. Kloss, I. Kumbier, A. Peterfi, L. Kanz, H. Salih (Tübingen, D)

Humorale Immunität

- P925 Humorale anti-Tumor Immunität am Beispiel der altersabhängigen Verteilung von B-Zellen, die den gegen Magenkarzinomzellen gerichteten Antikörper SC-1 exprimieren**
P. Richl*, M. Albers, S. Brändlein, H. Morbach, B. Illert, H.P. Vollmers, H.J. Girschick (Würzburg, D)
- P926 Bildung von Zell Konjugaten und Austausch von Membran Lipiden treten vor dem Tod der Zielzellen während der Antikörper-abhängigen Granulozyten-vermittelten Zytotoxizität auf**
H. Horner*, C. Frank, C. Dechant, R. Repp, M. Herrmann, B. Stockmeyer (Erlangen, Kiel, D)

Vakzination

- P927 Vakzinierung mit WT1/Pr3-Peptiden bei Patienten mit AML und MUC1-Peptiden bei Patienten mit multiplem Myelom – vorläufige Ergebnisse**
E.M Wagner*, J. Kuball, M. Wattad, C. Huber, W. Heit, M. Theobald (Mainz, Essen, D)

18:00– 19:30 Stammzellen

Vorsitz: C. von Schilling (München, D); W.-K. Hofmann (Berlin, D)

- P928 Hypozellularität des Knochenmarks, Thrombozytopenie und Colony-forming-Units dienen als prognostische Indikatoren von Frühkomplikationen nach autologer peripherer Blut-Stammzelltransplantation**
A.M.S. Mueller*, G. Ihorst, D. Wider, M. Engelhardt (Freiburg, D)
- P929 Unterschiedliche Signaltransduktion von drei G Protein-gekoppelten chemotaktischen Rezeptoren, die von CD34+ hämatopoetischen Progenitoren exprimiert werden**
X. Xue*, A. Boehmler, L. Kanz, G. Seitz, R. Möhle (Tübingen, D)
- P930 Die Adhäsion hämatopoetischer Progenitorzellen auf mesenchymalen Stromazellen variiert**
F. Wein*, C. Roderburg, R. Saffrich, A. Seckinger, V. Eckstein, A.D. Ho, W. Wagner (Heidelberg, D)
- P931 Effiziente präklinische Expansion mesenchymaler Stammzellen mit Thrombozytenlysat**
K. Schallmoser*, C. Malischnik, E. Rohde, A. Reinisch, C. Güllly, G. Lanzer, W. Linkesch, D. Strunk (Graz, A)
- P932 Genexpressionsanalysen mesenchymaler Stammzellen**
C. Malischnik*, K. Schallmoser, E. Rohde, A. Reinisch, C. Guelly, G. Lanzer, W. Linkesch, D. Strunk (Graz, A)
- P933 Myogene Differenzierung in vitro und Integration mesenchymaler Stammzellen in den Blasenhal in vivo als ein Ansatz zur funktionellen Therapie der Urininkontinenz**
G. Feil*, A. Boehmler, S. Maurer, R. Zimmermann, G. Seitz, A. Stenzl, L. Kanz, K. Sievert, R. Möhle (Tübingen, D)
- P934 Molekulare Charakteristika humaner mesenchymaler Stromazellen mit supportiver Funktion für hämatopoetische Progenitorzellen**
W. Wagner*, F. Wein, C. Roderburg, R. Feldmann, A. Seckinger, M.H. Maurer, A. Diehlmann, V. Eckstein, W. Kuschinsky, A.D. Ho (Heidelberg, D)
- P935 Analyse der Hämatopoese und der hämatopoetischen Stamm- und Progenitorzellen in Taurin-defizienten Mäusen**
S. Brookmann*, R. Kronenwett, R. Haas, U. Warskulat, D. Häussinger (Düsseldorf, D)

- P936 Expressionsprofil von ABCA3 in physiologischen und maligne transformierten hämatopoetischen Zellen**
B. Chapuy*, S. Corsham, U. Radunski, R. Koch, L. Trümper, G.G. Wulf (Göttingen, D)
- P937 Regulation und funktionelle Bedeutung des Ras-GTPase-Activating Protein SH3 Domain-Binding Protein (G3BP) in hämatopoetischen Progenitorzellen**
F. Aschenbrenner*, K. Schwarz, M. Komor, M. Kampfmann, W.K. Hofmann, D. Hoelzer, O.G. Ottmann, M. Ruthardt, G. Bug (Frankfurt, Berlin, D)
- P938 Agonisten und Antagonisten von SDF-1alpha haben selektive funktionelle Effekte auf hämatopoetische Progenitorzellen**
A. Faber*, C. Roderburg, F. Wein, R. Saffrich, A. Seckinger, K. Horsch, A. Diehlmann, V. Eckstein, A.D. Ho, W. Wagner (Heidelberg, D)
- P939 Vorstellung einer neuen Methode zur Prozessierung und Kryokonservierung peripherer Blutstammzellen ausserhalb eines Reinraumes unter Erfüllung der EU-GMP Richtlinien**
H. Menzel*, C. Carste, M. Schöffel, R. Peter, D. Shirvani, K. Götze, C. Peschel, C. von Schilling (München, D; Lakewood, USA)
- P940 Expansion von CD133+ hämatopoetischen Stammzellen in Co-Kulturen mit mesenchymalen Stroma-Zellen aus dem Knochenmark - Ort und Kontakt entscheiden**
N. Alakel*, K. Müller, M. Bornhäuser, G. Ehninger, R. Ordemann (Dresden, D)
- P941 Ki-GM4, ein neuer monoklonaler Antikörper, identifiziert pluripotente Zellen abgeleitet von humanen Monozyten aus peripherem Blut**
C. Napp*, M. Matthaei, W. Klapper, H.-H. Wacker, R. Parwaresch (Kiel, D)
- P942 Der Transkriptionsfaktor Nuclear Factor of Activated T-cells reguliert die Expression des Down Syndrome Critical Region 1 Gens in Megakaryozyten**
S. Kytälä*, I. Habermann, G. Ehninger, A. Kiani (Dresden, D)
- P943 Gelatinöse Knochenmarktransformation bei einer Patientin mit Leukopenie und Anorexie: Kasuistik und Literaturüberblick**
M. Kripp*, M. Hummel, C. Kuhn, C. Lorentz, R. Hehlmann (Mannheim, D)

09:30– **DGHO Pflegeprogramm**

17:00

*Vorsitz: R. Bäumer (Mülheim, D) Präsident KOK
B. Glawogger (Graz, A) Präsident AHOP*

09:30– **Begrüßung**

09:45 D. Niederwieser (Leipzig, D) Kongresspräsident
R. Bäumer (Mülheim, D) Präsident KOK

09:45– **Nebenwirkungen in der onkologischen Therapie**

10:30 V. Heinemann (München, D)

10:30– **Schmerzmanagement als pflegerische Aufgabe in der Onkologie**

11:15 D. Wecht (Marburg, D)

11:15– **Pause**

11:30

11:30– **Patientenberatung bei hämatologischen Toxizitäten**

12:00 S. Gärtner (Freiburg, D)

12:00– **Was wollen Patienten und Angehörige? Betroffene melden sich zu Wort!**

13:00 **Erfahrungsberichte von Angehörigen und Patienten aus der Klinik und den Praxen!**
Moderation: R. Bäumer (Mülheim, D) Präsident KOK

13:00 – **Mittagspause**

14:00

14:00– **Respiratorisches Versagen nach hämatopoietischer Stammzelltransplantation:
verbessertes Überleben mit nicht-invasiver Beatmung**

944

A. Maringer (Wien, A)

14:45– **Hoffnungen versus Realitäten in der Onkologiepflege**

15:30 I. Bachmann (Zürich, CH)

15:30– **Workshop**

17:00

1. Komplementäre Pflegemethoden

A. Kiebler (Freiburg, D)

2. Schmerzmanagement und Fatigue

A. Doll (Berlin, D)

- 08:00–
16:00 **DGHO Pflegeprogramm**
Vorsitz: D. Wecht (Marburg, D) KOK Beirat
S. Gärtner (Freiburg, D) KOK Beirat
- 08:00– **Zusammenarbeit mit Angehörigen in der Onkologie**
08:30 B. Glawogger (Graz, A) Präsident AHOP
- 08:30– **Grundsätze der Rehabilitation in der Onkologie**
09:00 U. Seifart (Bad Soden-Salmünster, D)
- 09:00– **Krebs im Alter**
09:30 T. Beinert (Wartenberg, D)
- 09:30– **Ein guter Fang: Sturzprophylaxe in der Onkologie**
10:00 A. von Spee (Freiburg, D)
- 10:00– **Gesprächsführung mit Tumorpatienten und Angehörigen**
10:30 Dr. Stur (Leipzig, D)
- 10:30– **TARGET: eine Schulungsinitiative der EONS und KOK**
11:00 R. Bäumer (Mülheim, D) Präsident KOK
- 11:00– **Target Therapien in der Onkologie**
11:45 H. Schulze Bergkamen (Mainz, D)
- 11:45– **Mittagspause**
14:00
- 14:00– **Workshop**
16:00
Mal- und Kunsttherapie
Frau Umbesen, U. Völkel (Bad Soden-Salmünster, D)

Autorenverzeichnis

Name	Nummer	Name	Nummer	Name	Nummer	Name	Nummer
Abbrederis, K.	P616	Aulmann, C.	P692	Begley, C.G.	V134	Blau, I.	V314, V344, V411, P556, P568, P575, P869, P878
Abenstein, K.	P593	Austein, T.	P870	Beham, A.	V300, P677	Blau, O.	V314, V344, P568, P575
Abken, H.	V202, V205, V318, P641	Awada, A.	7	Beham-Schmid, C.	V300, P677	Blau, W.	V418
Acevedo, M.	V193	B acher, U.	V343, V405, P515	Behlendorf, T.	P660	Blechs Schmidt, M.	P436
Adam, C.	V144	Bachleitner-Hoffmann, T.	P595	Behre, G.	159, V231, V232, V376, P435, P446, P470, P542, P581, P587	Bleier, S.	V356, P688
Adam, Z.	P520, P761, P762	Back, W.	P843	Behringer, D.	164	Bleyl, D.	164
Adès, L.	P438, P455	Bacovsky, J.	P762	Behringer, K.	P730, P734	Bloomfield, C.D.	V135
Adler, R.	P503	Badge, S.	P870	Behrmann, P.	P682	Bocchia, M.	360
Adorf, D.	P814	Baerlocher, G.	V238	Beier, M.	P522	Böck, H.	V370, P697
Aepinus, C.	P882	Baessler, T.	P441, P923, P924	Beigi, R.	V128	Bode, U.	P867
Agis, H.	P518	Bair, W.	P767	Beijnen, J.	P658	Boeck, S.	V308, P627
Ahmed, F.	V225, V228	Bajetta, E.	P639	Beissert, T.	V137	Boehmler, A.	P786, P817, P929, P933
Aichberger, K.J.	P518	Bakhtiar, S.	V222	Beling, C.	P710	Boehrer, S.	P438, P455
Aigelreiter, A.	V300	Bakker, F.	P740	Belka, C.	P829	Boffetta, P.	V143
Aigelsreiter, A.	P677	Baldus, C.D.	V135, V344, P451	Belohlavek, O.	P735	Bogner, C.	P799
Aivado, M.	P524, P526	Balkhi, M.J.	159	Bender, K.	V222, V223	Bohlander, S.	V232, P446, P452, P471, P482, P483
Al Ahmad, A.	P905	Balkhi, M.Y.	P446	Béné, M.	P469	Bohlius, J.	V371, V379, V380, 389, P729
Al-Ali, H.K.	28, 59, 164, V262, V406, P479, P491, P506, P554, P569, P570, 675, P708, P738	Balleisen, S.	P773	Beneke, H.	V255	Böhme, A.	V139, P879
Al-Batran, S.	V152, 364	Ballestrero, A.	P903	Benner, A.	V263, P704, P802	Böhme, J.	P617
Alaia, V.	P813	Baltz, K.	P441, P922, P923, P924	Bentink, S.	V303	Böhmer, F.	V337
Alakel, N.	P940	Bamberg, M.	V350, P597	Bentz, M.	V303	Böhmer, M.	P860
Albers, M.	V422, P925	Banat, G.	P701	Benz, M.	P665	Bohndorf, K.	P692
Albert, N.	P678, P679, P682	Bär, A.	V142	Berdel, W.E.	V197, V337, V348, P471, P473, P482, P483, P676, P769	Bokemeyer, C.	89e, 112, 112b, 112g, V348, V383, P597, P657, P658, P678, P679, P682, P841, P845
Aldaoud, A.	P695, P888	Bararia, D.	159, V231, V232	Bereswill, S.	V271, P534	Bolcak, K.	P761
Alexander, T.	P577	Barett, C.	P511	Berger, F.	P679	Boldt, T.	P766
Altorjai, G.	P595	Baretton, G.	P467	Berger, H.	V303	Böll, B.	P726
Ammer, J.	P910	Bargetzi, M.J.	P716	Berger, U.	V190	Bomhold, N.	P844
Anderl, F.	P564	Bargou, R.	249, V259, P698, P744, P746, P763, P781	Bergholz, U.	P461	Bommert, K.	V259
Andersen, M.K.	P466	Barth, T.F.	V303, P690	Bergmann, L.	36, 212, P808	Borchmann, P.	V312, P726, P730, P731, P734
Andersohn, F.	14d	Barthelmeh, M.	P659, P739	Bernhard, H.	V322, P591, P913	Borel, N.	P677
Andree, H.	P669, P887, P889	Bartram, C.	V139, P431	Bertinetti, C.	V374	Borgerding, A.	P551, P567, P709, P714
Andreesen, R.	P476, P652, P908, P910, P916	Bartsch, H.H.	P780	Bertolino, V.	P557	Borkner, L.	P908
Andrulis, M.	V150, V259	Bartsch, K.	P570	Bertoni, F.	P798	Bornhäuser, M.	89b, V218, V221, V270, 284a, V346, P436, P453, P516, P538, P544, P546, P556, P583, P940, P945b
Angermund, R.	V383, P770, P771, P772	Bartsch, P.	P783	Bertz, H.	V272, P848, P893	Bornhäuser, P.	P516
Anhuf, J.	P710	Bartsch, R.	P595	Bertz, J.	P500, P590	Boß, C.N.	P906
Antunes Ferreira, E.	P912, P915	Basara, N.	90d, V220, V262, 392, P556, P557, P569, P570	Berwanger, B.	V280	Bösch, K.	V408
Apostolidis, C.	P699	Bäsecke, J.	P443, P461	Besse, B.	V145	Böttcher, S.	V373
Appelt, U.	V273, V385	Baskaynak, G.	V191	Bethe, U.	V311	Bottke, D.	P836
Apperley, J.	292a	Bassermann, F.	V129	Bethge, W.	V221, P573, P579, P580	Bouche, O.	P638
Arastéh, K.	P733	Basso, G.	P432, P469	Bettelheim, P.	946a	Bouche, F.	P619
Arbach, O.	V419	Bauchmüller, K.	P717	Betts, D.	P752	Bradwell, A.R.	285d
Arenz, D.	P879	Bauer, A.	V127	Beuermann, D.	P693	Braess, J.	P471, P482, P483, P489
Argawal, S.	V197	Bauer, F.	P703	Beuschlein, F.	P838	Braig, M.	V131
Argukese, A.	P846	Bauer, M.	P840	Beyer, J.	V348	Brake, R.L.	V134
Arnold, C.N.	V275	Bauer, R.	P842	Beyer, M.	V201, V204, V206	Brandenburg, G.	P915
Arnold, D.	92a, V152, 174c, V309, 365, P617	Bauer, S.	V423, P672	Bhalla, K.	V191	Brandhorst, D.	P756
Arnold, N.	V301	Bäuerle, P.	P698	Bieker, R.	P473	Brändlein, S.	V422, P925
Arnold, R.	V139, V275, P560, P561, P577, P578, P890	Bauknecht, T.	175e	Biersack, H.	P556	Brandt, B.	P533
Aronson, N.	V379	Baum, M.	P650	Bieritz, F.	P638	Brandts, C.	V337
Arseni, N.	V225, V228, V336	Baum, W.	P740	Bildat, S.	P610	Branford, S.	V192
Aschenbrenner, F.	P937	Baumann, P.	P749	Billiet, J.	160	Brauer, K.M.	P897, P901, P906, P907
Aschoff, P.	P580	Baumann, W.	95	Binckebanck, A.	P430	Braumann, D.	V311
Asemissen, A.	V411, V423, P651, P672	Baurmann, H.	V218, V219, V317	Binder, C.	P592, P593	Braun, C.	P860
Aslanian, A.S.	P835	Bautz, F.	P817	Binder, M.	158, V421	Braun, H.A.	P745
Asslaber, D.	P788, P791	Baysal, F.	P852	Binder, T.	946		
Assmann, M.	164, P506	Bechrakis, N.	162, P670	Bingemann, S.	P468		
Auberger, J.	P549, P565, P574	Bechtel, D.	V265	Birkmann, J.	P700, P921		
Aue, G.	P870	Beck, J.	P903	Birli, M.	P893		
Aul, C.	V404, P523, P528, P530, P532	Becker, A.	P429, P443	Bisping, G.	P769		
Aulitzky, W.	50, 179, P495, P496	Becker, C.	P479, P491	Bittrich, A.	P810		
		Becker, H.	P638	Bitzer, M.	P642		
		Becker, K.	V151, V311	Bjelic-Radisic, V.	V229		
		Becker, P.	P688	Blank, C.	P908		
		Bedenne, L.	P638	Blankenstein, T.	P913		
		Beelen, D.W.	V194, V195, V269, P450, P552, P562, P584				

Autorenverzeichnis

Name	Nummer	Name	Nummer	Name	Nummer	Name	Nummer
Braun, M.	P846	Buske, C.	V225, V228, V336, P471, P482, P483, P694	Cremer, F.	P751	Ditschkowski, M.	V194, V269, P552
Bredenfeld, H.	V375	Buske, N.	P602	Creutzig, E.	V402	Dittmer, M.	P873
Brenner, S.	P782	Busse, A.	V144, V352, V418, P670, P671, P707, P836	Criel, A.	160	Dittrich, C.	7, 8
Brenner, W.	V315			Cripps, M.	V352	Ditz, D.	P738
Brezinschek, Rl	P703			Cross, M.	P465, P491	Djulbegovic, B.	281a
Bridger, G.	V354	C abantchik, Z.I.	91a	Cross, N.C.P.	V250	Doehn, C.	V347
Bringmann, A.	V319, P897, P900, P901, P903, P907, P923	Cai, D.	P454, P511	Czech, P.	P634	Dohnal, A.	P902
Britten, C.M.	V223, P533	Calandra, G.	V354	Czibere, A.	P524	Döhner, H.	27, 58, 89, V136, V255, V260, V263, V303, V340, V341, V345, V406, V407, V408, V409, V412, P444, P447, P472, P474, P481, P488, P490, P527, P545, P795, P787, P800, P802, P804, P826, P899
Brittinger, G.	P683	Callet-Bauchu, E.	P679	d' Andrea, R.J.	V225	Döhner, K.	V340, V341, V345, V407, V408, V409, P444, P447, P472, P474,
Brix, B.	P427	Camara, O.	P601	Däbritz, H.	V131		P481, P488, P490
Brodofel, H.	P777	Cammenga, J.	P461	Dachselt, K.	164	Dölken, G.	164, P491, P585, P586, P675, P778
Brookmann, S.	P935	Capanu, M.	P636	Dahlhaus, M.	P536	Dombrowski, F.	P664
Brors, B.	P498	Cario, H.	91c	Dalla-Favera, R.	P802	Dommaschk, J.	174d
Bross, K.	P652	Carrato, A.	P638	Dangoor, A.	V352	Donner, A.	P632
Brossart, P.	V319, 358, P897, P900, P901, P903, P906, P907, P923	Carste, C.	P939	Daniel, P. T.	V275, V416, P437, P828, P829, P830, P831, P834, P837	Dorda, A.	P703
		Caspar, C.B.	P685	Danker, K.	P829	Dörffel, W.	P725
		Casper, J.	P487, P563, P708, P851, P882, P887, P889	De Grève, J.	V311	Dörken, B.	V130, V131, V133, 332, V342, V416, P437, P560, P561, P577, P578, P626, P830, P831, P834, P890
Brown, A.	P752			Debatin, J.	P510	Dorligschaw, O.	P820
Brown, C.	P469	Cazzola, M.	V404	Debatin, K.	V279, V280, V307, V417	Douillard, J.	V310, P639
Brown, D.	V346	Cerny, T.	V375	Debey, S.	V235, P789	Downes, M.	V196, P434
Brown-Swigart, L.	V414	Cervantes, F.	V191	Debey-Pascher, S.	V143, V201, V204, V206	Downing, J.	P469
Brück, P.	V138, P767	Chamberlain, M.	168	Debois, M.	V311	Drach, J.	70, 116, 285
Bruecher, B.	V154	Chang-Claude, J.	P607	Dechant, C.	P926	Dransfeld, C.-L.T.	P449
Brüggemann, M.	V373, P427, P431	Chapuy, B.	P494, P551, P567, P709, P714, P936	Dechow, T.	P492, P604	Dreger, P.	P576, P696, P704
Brüggenjürgen, B.	P860	Chatterjee, M.	V259, P746	Decker, T.	V156, P799	Drescher, A.	6
Brugger, W.	P573	Chemnitz, J.	V204, V206	Deckert, M.	2b	Dresel, I.	P653
Brümmendorf, T.	14g, V191, V192, P505	Chen, B.	P545	Deckert, P.M.	P643	Dreys, J.	92
		Chen, C.	P509	Deining, M.	292b	Drewelow, B.	P536
Bruns, I.	V142, V353, V353	Chen, J.	V408, V412, P545	Del Val, C.	V273	Dreyling, M.	105a, V302, V370, V371, V373, 399, P680, P681, P683, P684, P694, P695, P697
Buchert, A.	367	Chevalier, N.	V381, P896	del Valle, F.	P481	Driesen, J.	V206
Buchheidt, D.	V376, P873, P874, P879	Chinnadurai, G.	V416	Della Porta, M.	V404	Driessen, C.	P747, P777
Büchler, M.	V306, P620, P625, P628, P918	Chmielewicz, B.	V419	Delorme, S.	P757	Druker, B.	V192
		Chmielewski, M.	V202, V205	Demharter, J.	P692	Du, J.	P472
Buchner, M.	V132	Choudhary, C.	V337	Dempfle, C.-E.	33, 49	Dübel, S.	P643
Büchner, T.	110, 110d, V406, V407, P471, P473, P482, P483	Chow, K.U.	P808	Denecke, B.	P777	Dubois, N.	V415
		Christiansen, H.	V280	Denz, U.	P774	Duesberg, P.	P508
		Christopeit, M.	V231, V232, P435, P446, P470, P542, P581, P587	Denzel, T.	P804	Dufour, A.	P471
Buer, J.	P649	Chromik, J.	P430	Deppenbrock, H.	P627	Dugas, M.	V338
Bug, G.	P937	Clasen, S.	P642	Derigs, G.	V304, P674	Dührsen, U.	174a, V238, V264, V265, P691, P768, P785
Bug, S.	V238	Classen, J.	V350, P606	Dernedde, J.	P643	Dunst, J.	109b
Bühler, A.	P804	Classen, S.	V201, V204, V206	Deschler, B.	P478, P750, P776, P848	Dürr, J.	V238, V264, V265, P785
Bühning, H.J.	P900	Clausen, J.	P541, P549, P558, P565, P574	Desole, S.	P531, P894, P895	Dürr, A.	P812
Bukowski, R.-M.	P650	Claussen, C.	P777	Deutsch, A.	V300, P677	Dürr, K.	V307
Bullinger, A.	289	Claviez, A.	P559, P725	deWit, M.	85, 187	Duyster, J.	V127, V129, 330, V339, P492, P501, P603, P604, P616
Bullinger, L.	V263, V340, V341, V345, V408, V409, P444, P447, P472, P474, P488	Clemens, M.	164, P767	Diaz-Blanco, E.	P898	Dworzak, M.	P432
Bumeder, I.	P775	Clement, J.H.	P602	Dicker, F.	P801		
Bund, D.	P792, P794	Cleveland, J.	P687	Dieckmann, K.	P572, P849		
Bunjes, D.	P545, 945c	Coelho, V.	P643	Diefelbinger, H.	P640		
Burchert, A.	284b, P454, P511	Cogliatti, S.	P690	Diehl, V.	V375, P691, P730, P732, P734, P736		
Burger, M.	P605	Colcher, D.	P686, P724, P727	Diehlmann, A.	P934, P938		
Burger, R.	P740	Coleman, M.	P729	Dieing, A.	P599		
Burgstaller, S.	P517	Collenbusch, F.	V219	Dierks, C.	V128		
Burkart, C.	P642	Coras, B.	P656	Dierlamm, J.	P678, P679, P682		
Burkhard, O.	P809	Corbacioglu, A.	V409, P472, P474, P488	Dietmayer, W.	P476		
Burkhardt, R.	P554	Cornely, O.	•••	Dietz, K.	P845		
Burkholder, I.	8	Cornely, O.	100b, 178a, 244, 288d, 288e, V376, V377, P873, P879	Dietzfelbinger, H.	P771		
Burlakova, I.	V219			Digel, W.	V141		
Burmeister, T.	V135, P425	Corsham, S.	P936	Diken, M.	163		
Burnett, A.	89a	Coupland, S.E.	V144	Dirix, L.	7		
Burrows, F.	P726	Coy, J.F.	P614	Disselhoff, C.	V197		
Busch, D.	P564	Cramer, P.	V266, V267	Distler, E.	V316		
Busch, R.	V266, V267, V268, P775, P809, P811					E aves, C.J.	293
Busemann, C.	P586, P778					Ebeling, P.	P710, P785

Autorenverzeichnis

Name	Nummer	Name	Nummer	Name	Nummer	Name	Nummer
Ebell, W.	14h	Enz, M.	V303, P800	Fischer, L.	V314	Furkert, K.	P765
Ebell, W.	V419	Erben, P.	V190, V192, V193, V250, V252, V253, V256, V258, P513, P519	Fischer, M.	P537	Fürst, F.	P631
Eberhardt, W.	40, V145, 172c, 216, P610, P650	Erdel, M.	P574	Fischer, N.	P775	G abor, C.	P865
Ebert, M.	P618	Ernst, T.	V190, V193, V277, P513, P519	Fischer, R.	P467	Gaco, V.	P632
Ebert, T.	172b	Ertan, K.	P905	Fischer, T.	V192, P430	Gahn, B.	P559, P588
Eckert, K.	5	EBbach, U.	P664	Fischer von Weikersthal, L.	P616, P640	Gaiger, A.	62
Eckstein, N.	P746	Eschenburg, H.	164, P615	Flashhove, M.	V356, P785	Gaipa, G.	P432
Eckstein, V.	V224, V354, P930, P934, P938	Etzrodt, P.E.	P622	Fleeth, J.	P854	Galle, P.R.	P618
Edel, E.	P554	Eucker, J.	P599	Fleischhacker, M.	V349	Ganepola, S.	V314, P550, P917
Edelmann, J.	P569	Evan, G.	V414	Fleissner, C.	V261, P745, P753	Ganser, A.	99, 110c, 173b, V139, V406, V407, V409, P472, P481, P490
Eder, T.	P594, P631, P654, P655	Evans, R.M.	V196, P434	Flieger, D.	P618, P622, P700	Gao, Y.	V226
Ederer, C.	V205	Evers, C.M.	P522	Fliessbach, K.	V305	Garbe, E.	14d
Edinger, M.	P910	Ezzedine, R.	V192	Flohr, T.	P431	Garcia-Pardillos, G.	V142
Edler, L.	8	F abarius, A.	V256, 368, P498, P499, P508, P874	Florschütz, A.	P491	Gärtner, F.	P484
Egerer, G.	V305, P673, P764	Faber, A.	V224, P938	Foa, R.	P469	Gaska, T.	P767
Egger, M.	V272	Fabre, C.	P438, P455	Foerster, M.	162, P670, P671	Gasper, E.	P638
Eggle, D.	V143, V201, V204	Faderl, S.	110a	Fofana, P.	P848	Gassmann, W.	946a
Egle, A.	V237, P807	Fadle, N.	P667	Folprecht, G.	171b, V156, V310, P615	Gassner, F.	P796
Ehninger, G.	19, 44, 102, 102c, 102e, V218, V270, 281, V346, V402, V406, V407, P436, P445, P448, P449, P453, P458, P467, P475, P477, P516, P538, P544, P546, P556, P583, P584, P806, P940, P942	Fahrenkrog, B.	P460	Fonatsch, C.	P466, P525	Gastl, G.	V378, P541, P574, P743, P881, P919
Eich, H.T.	V375	Falk, C. S.	V315	Forro, G.	P830, P831, P837	Gattenlöhner, S.	P758
Eichenaauer, D.	V203	Falkow, R.	P509	Forstbauer, H.	P701	Gattermann, N.	91, 91b, 91d, 91e, 99b, 160, 173c, V191, V258, 299, V404, P505, P512, P523, P526
Eichhorst, B.	V266, V267, V268, P809, P811	Fätkenheuer, G.	P712, P733	Förster, I.	157	Gatzemeier, U.	165a
Eichinger, S.	P818	Faul, C.	V221, P573, P579, P580, P777, P781	Forstner, B.	P629	Gauler, T.	V145, P610
Eilers, M.	V130, V280, 331, P454	Fauser, A.	P556, P557, P812	Frank, O.	P498, P499, P508, P874	Gawronski, K.	P495
Einsele, H.	71, 99d, 117, V147, 173, 177b, 177d, V259, 327, V370, P460, P555, P564, P666, P697, P698, P711, P748, P758, P763, P769, P779, P781, P782, P880, P921	Fehle, K.	V376	Frank, S.	P622, P624	Gazzo, S.	P679
Eisfeld, A.-K.	P554	Fehse, B.	V273, P553	Franke, A.	164, P664, P689, P708, P760, P783, P784, P809, P821, P858, P859, P862	Geddert, H.	161
Eiwen, K.	P488	Feil, G.	P933	Franke, B.	V374	Geer, T.	P696, P767
Ei-Samahi, A.	V254	Fein, N.	V205	Franke, G.N.	P569, P877	Geffers, R.	P649
Eliu, A.-S.	P622	Feldmann, K.	V274	Franklin, J.	V375, P732	Geisen, C.	V148
Ellerbrok, H.	V419	Feldmann, R.	P934	Frankl, W.	24, 83, 112e	Geißler, G.	P662
Elmaagacli, A.	V194, V195, V269, P450, P552, P562	Feller, A.C.	V303	Frentsch, M.	V419	Geißler, G.	V218
Elstner, E.	P500, P590	Felsher, D.	294	Freund, M.	V139, 164, 169, P487, P506, P535, P536, P563, P851, P882, P887, P889	Geissler, M.	P618
Eltai, F.	P726	Felzmann, T.	P902	Frey, B.	P813	Geletu, M.	159, P435, P446
Emde, A.	P599	Fenaux, P.	P438, P455	Frey, U.	V265	Gentilini, C.	V220, V223, V314, V320, P547, P550, P575
Emmerich, B.	P749, P775	Fend, F.	V156	Frick, E.	P775	Gerecke, C.	P521, P763
Endl, E.	V201	Fenk, B.	P505	Frick, S.	P721	Gerger, A.	P594
Endler, G.	V254	Fenk, R.	V353, P582, P773, P898	Frickhofen, N.	V304, P720	Gerhardt, A.	P491
Endlicher, E.	V156	Ferch, U.	P909	Fridrik, M.	P514, P517	Gerlach, C.	P720
Engel, R.	V323, P911, P914	Ferencik, S.	P562	Friedrich, C.	112d	Gerlach, U.	P504
Engelhard, M.	V194	Feuerhake, F.	V304	Frieler, F.	P852	Germeroth, L.	P564
Engelhardt, M.	V381, P612, P717, P750, P769, P774, P776, P896, P928	Feuerstake, Y.	P591	Frischmuth, K.	P754	Germing, U.	77, 160, 207, V403, V404, P480, P522, P523, P525, P526, P528, P530
Engelmann, E.	P550	Feuring-Buske, M.	V225, V228, V336, P471, P482, P483	Fritsch, S.	P471	Germond, C.	P639
Engels, M.	946	Fey, M.	290	Fritz, R.	V251	Gewies, A.	157
Engert, A.	V203, V305, V312, V371, V375, V379, V380, 388, 401, P691, P711, P724, P726, P728, P729, P730, P731, P733, P734, P736	Fichtner, I.	5	Fröhling, S.	V340, V409, P444, P472, P474, P488	Geworski, L.	P718
Eniu, A.	7	Fiedler, W.	P461, P481, P841	Frommer, J.	P858, P859, P862	Ghadjar, P.	V144
		Fiegl, M.	P482, P489	Frühauf, A.	P819, P891	Ghani, S.	P822
		Fiesel, F.	P496	Frühauf, S.	10a, V273, V354, V356, V385, P502, P507, P576, P688, P883	Giagounidis, A.	99c, V404, P523, P525, P528, P530, P532
		Fietkau, R.	V139, P637	Frühwirth, M.	V300, P677	Giannopoulos, K.	V408, V412, P899
		Fietz, T.	164	Fuchs, H.	P643	Giehl, M.	P499, P508
		Figlin, R.A.	P650	Fuchs, M.	P627	Gieseler, F.	P630
		Finch, A.	V414, P529	Fuhrmann, S.	P917	Giles, F.	P430
		Finger, K.	157	Fulda, S.	V279, V280, V307, V417	Gillfillan, S.	P456
		Fink, U.	V151			Gille, J.	V413, P833
		Finke, J.	V272, V304, P674, P539			Gillies, S.D.	P686
		Fischer, B.	V145			Gillissen, B.	V416, P828, P830, P831, P834, P837
		Fischer, C.	P833				
		Fischer, G.	P572				
		Fischer, J.C.	V353				
		Fischer, K.	P910				

Autorenverzeichnis

Name	Nummer	Name	Nummer	Name	Nummer	Name	Nummer
Gilman, E.	P730, P734	Greish, K.	V321	Haen, M.	P884	Hassler, M.R.	P849
Gilmore, T.D.	V301	Greisinger, F.	P719	Haferlach, T.	26, 57, V343, V405, V410, P463, P469, P515, P521, P801, 946a	Hastka, J.	P706, P759, P843
Giordano, F. A.	V273, V385	Gretz, N.	P498	Hafner, C.	P656	Hauck, E.	281b
Girschick, H.J.	V422, P925	Gribben, J.	V236	Hafner, M.	P499	Hauschulz, K.	P758
Girschikofsky, M.	V254, P514	Griesinger, F.	93a, V145, P429, P443, P494, P611, P702	Hagemeyer, C.	P426	Hauser, H.	P514, P517
Gisslinger, H.	V255	Griesshammer, M.	V255, V256	Hagner, N.	P454	Häussinger, D.	P935
Giza, A.	P684	Grif, K.	V378	Hähling, D.	164	Hawkins, R.	V352
Glaeske, G.	98	Grigoileit, G.U.	P564	Hähling, D.	P491	Hecht, J.	P639
Glasmacher, A.	2j, 99a, V305, V377, P673, P765, P767, P868, P876	Grobe, N.	164	Hahn-Ast, C.	P765, P767, P868, P876	Hecht, M.	V261, P742, P753
Glass, B.	P443, P551, P567, P702, P709, P714	Grobholz, R.	V150, P614	Hähnel, P.S.	V313	Hecker, H.	V310
Glauche, I.	P497	Gröne, M.	V315, P533	Hahner, S.	P838	Heffinger, R.	P600
Gleissner, B.	87, 189	Groner, S.	P490	Hahnfeld, S.	164, P626	Hegenbart, U.	P576, P764
Gleixner, K.V.	V251, V257, V321, P518	Groß, O.	157	Hainfellner, J.A.	P849	Hegewisch-Becker, S.	V156
Glienke, W.	P462, P621	Groschek, M.	P770	Hainz, M.	P470	Hehlmann, R.	V190, V193, V250, V252, V253, V255, V256, V277, P493, P498, P499, P508, P510, P513, P519, P706, P759, P843, P874, P943
Glossmann, J.-P.	V384, P608, P646	Große-Thie, C.	P563, P882, P887, P889	Hajek, R.	P761, P762	Heidemann, J.	P458
Gnad-Vogt, U.	V277	Grosse-Wilde, H.	V194, P562, P756	Halangk, J.	P669	Heidenreich, A.	52, 181
Göbel, U.	V271, P534	Grothe, W.	P542, P581	Hall, M.	P687	Heidenreich, R.	P718
Goebel, A.	V381	Grubert, M.	P768	Hallek, M.	V202, V235, V266, V267, V268, 282e, 282f, 282g, V312, V384, 400, P613, P645, P789, P792, P794, P809, P811, P864	Heider, U.	V261, P742, P745, P753
Goede, J.	V146	Grünberger, B.	P842	Hamacher, F.	P788, P791, P793	Heil, G.	V406
Goede, V.	V266, V267	Grünberger, T.	P842	Hammerer, P.	P649	Heilbronn, R.	P550
Goerke, A.	P753	Grundler, R.	V127, V339	Hämmerling, G.J.	239	Heimesaat, M.	V271, P534
Gogel, J.	P747	Grünebach, F.	V319, P897, P901, P903, P906, P907	Hammond, A.	P712	Heimpel, H.	V146, V255
Göhring, G.	P528, P530	Grüneisen, A.	P482	Hanauske, A.	8, 103c, 103f, P854	Hein, S.	P474
Gökbuget, N.	29, 60, V135, V136, V139, V382, P425, P427, P431	Grünwald, V.	P650, P657	Handel, G.	P653	Heinecke, A.	P471, P482, P483
Göldner, H.	P568	Gruze, A.	V257, V321, P518	Handgretinger, R.	V221, 242	Heinemann, V.	76, 122, V155, 171d, 175b, V308, P627, P640
Goldschmidt, H.	104f, V150, V354, P751, P757, P764, P766, P767	Guelly, C.	V230, P932	Handscur, M.	P886	Heintel, D.	P754
Gonen, M.	P636	Guenther, S.	P542	Hänel, A.	V370, P697	Heinz, J.	P896
Gorantla, S.	P492, P501	Guerreiro, M.	P672	Hanisch, F.	V206	Heinz, W.	P666, P779, P880
Görke, A.	P626	Guhl, C.	P880	Hanisch, U.-K.	P593	Heise, V.	V402
Gorschlüter, M.	P700, P701, P765, P767, P876	Guillaume, P.	V412, P545, P914	Hanke, K.	P590	Heisting, M.	P662
Gossmann, A.	V375	Gülly, C.	P931	Hanks, A.	P688	Heit, W.	P927
Göthert, J.R.	V134	Gulzad, N.	P812	Hansen, H.	V203, V312, P728	Heitger, A.	297
Gottfried, E.	P910	Güner, D.	V416, P828, P830, P831, P834	Hansmann, M.L.	V303	Heizmann, M.	P716
Götz, G.	P476	Gunsilius, E.	P541, P574, P827, P840, P919	Häntschel, M.	P580	Helbig, W.	P491
Götz, N.	P714	Günther, A.	P559, P740	Haralambieva, E.	V303	Held, G.	P905
Götze, K.	P442, P456, P481, P939	Günther, G.	P856	Harba, A.	P820	Helke, K.	P675
Gounant, V.	V145	Günther, J.	P433	Harbeck, N.	172a	Helle, A.	P666, P880
Grabarczyk, P.	P424	Gütgemann, I.	2a	Harbott, J.	P503	Hellenbrecht, A.	V382
Grabellus, F.	P785	Guttenberger, R.	V304	Harder, L.	V301	Heller, W.	P596
Grabner, A.	P885	Haack, A.	P538	Harnischmacher, U.	P879	Hellinger, C.	P452
Grabowski, M.	P914	Haag, C.	P615	Harris, A.	V352	Hellmich, M.	P888
Grabowski, P.	V275	Haak, U.	164, P695	Härtel, N.	P493, P510	Hellström-Lindberg, E.	174b, 281c
Gräf, T.	V142, P773	Haas, A.	164, P675, P766	Hartenstein, R.	P648	Helmberger, T.	287d
Gramatzki, M.	P559, P588, P740, 945	Haas, O. A.	P429	Härter, G.	P712	Helwig, A.	V218, V270
Grassinger, J.	P652	Haas, P.S.	P774, P896	Hartman, P.-C.	P490	Hemmati, P.	V416, P560, P561, P577, P578, P828, P830, P831, P834
Gratwohl, A.	17, 42, 106b, V192, V258	Haas, R.	V142, 161, V353, P512, P523, P524, P526, P582, P699, P773, P898, P935	Hartmann, E.	P633, P635	Hennig, H.	P429
Gräven, U.	66, 101a, 182	Haase, D.	V403, P443, P481, P494, P525	Hartmann, F.	V370, P697	Henß, H.	V381, P896
Grbic, J.	V128	Haase, S.	P528, P530, P532	Hartmann, J.	V311, V348, P658, P832, P845	Henschler, R.	V200
Greb, E.	P547	Habdank, M.	P472	Hartmann, J.T.	54, 124, V350, P632, P642, P657, P665, P884	Hensel, M.	2d, 2i, P696, P700, P704, P705, P861
Gregor, M.	P632	Häbe, S.	P804	Hartmann, T.	P605	Hentrich, M.	V376, P648, P733
Greil, R.	V234, V237, V375, P517, P788, P790, P791, P793, P796, P807	Haberler, C.	P849	Hartwig, U.	P533	Henz, S.	P690
Greiner, A.	V150, V259, V260	Habermann, A.	P787, P795, P802	Hasenclever, D.	V303	Henze, G.	110b
Greiner, J.	V355, V408, V412, P545	Habermann, I.	P942	Hasenkamp, J.	P551, P567, P709, P714	Herbacek, I.	P634
Greinix, H.	V274, 289a, P572	Habersang, K.	P512	Hasford, J.	P694	Herbst, R.	P675
		Hacker, G.	V127	Hass, H.	P832, P839	Hermann, M.	P827
		Häcker, S.	V280				
		Hacker, U.	P645, P646				
		Haefner, M.D.	P721				

Autorenverzeichnis

Name	Nummer	Name	Nummer	Name	Nummer	Name	Nummer
Hermann, S.	V370	Ho, A.D.	V224, V273, V354,	Horn, M.	P497	Jäger, H.	P712
Hermesen, M.H.	P816		V375, 390, P449, P507,	Horn, S.	P461	Jäger, U.	329, P754
Hernandez Rivas, J.	P469		P543, P576, P696,	Horner, H.	P926	Jain, S.	V259
Hero, B.	V280		P704, P705, P751,	Hornych, K.	P852	Jakob, A.	P653, P803
Herold, M.	164, 248, 282, 282a,		P757, P764, P861,	Hörsch, D.	V275	Jakob, C.	V261, P745, P753
	282b, V371, P715		P930, P934, P938	Hörsch, K.	P938	Jakse, G.	P650
Herr, W.	V222, V223, V315,	Hochhaus, A.	8, 106a, V138, V153,	Horst, H.	P481, P712	Janka-Schaub, G.	298
	V316, 325, P533		V190, V191, V192,	Hortig, P.	P609	Janssens, U.	P767
Herrmann, A.	P683		V193, V250, V252, V253,	Hörwick, E.	P814	Jauch, A.	P502
Herrmann, E.	P822, P871		V256, V258, V277, 284,	Hose, D.	P751, P764	Jehle, E.C.	P632
Herrmann, K.	V154		P430, P493, P498, P499,	Hoster, E.	V373, P471, P483,	Jenke, P.	V266, V267
Herrmann, M.	P926		P505, P508, P510, P511,		P683, P694	Jentsch-Ullrich, K.	P664, P689,
Herrmann, R.	166		P513, P519, P617, P637	Hotz-Wagenblatt, A.	V273, V385		P760, P821
Herrmann, S.	P808	Hoeffken, K.	P433, P601	Houet, L.	P663	Jenuwein, T.	V130
Herrmann, T.	P855	Hoehler, T.	P618	Hoves, S.	P910, P916	Jeron, A.	P649
Herskind, C.	P883	Hoelzer, D.	V135, V136, V137,	Hrgovic, I.	V413	Jestädt, A.	P848, P896
Hertenstein, B.	V317, P661		V138, V139, 170, V198,	Hsieh, C.	P632	Jobst, J.	P832
Herz, S.	P767		V199, V200, 292, P425, P427,	Hua, T.	P539	Jocham, D.	V347
Heß, G.	V223		P430, P431, P808, P937	Hubalewska, A.	P684	Johannsen, A.	P509
Heskamp, M.	P585	Hofbauer, S.	P790	Huber, B.	P857	Johansson, B.	P466
Hess, G.	P695, P763	Hofer, K.	V322	Huber, C.	163, V222, V223, V313,	Jonnakuty, S.	V273
Heuchel, C.	P548	Hoffarth, S.	V313		V315, V316, V323, P533,	Jordan, K.	P660, P820
Heuser, E.	P734	Höffken, K.	102a, 164, P548, P602		P695, P911, P912,	Jorgowski, S.	P592
Heußner, P.	63	Hoffmann, A.	P593		P914, P915, P927	Jörke, C.	P602
Heussel, C. P.	P879	Hoffmann, C.	P712, P733	Huber, J.	P687	Jost, K.	P487, P563, P851,
Heussner, P.	P857	Hoffmann, F.	164, P765,	Hübl, W.	P755		P882, P887, P889
Heyder, C.	P788, P791, P793		P766, P868	Hublitz, P.	V415	Jost, P.	P909
Heydrich, B.	P481	Hoffmann, J.	V193	Hudecek, M.	P547	Josting, A.	P732, P736
Heymanns, J.	P644, P695	Hoffmann, K.	V352	Hueber, A.	P619, P723	Jotterand, M.	P466
Heyn, S.	P491	Hoffmann, P.	P910	Huehn, J.	P672	Jovanovic, M.	V307
Heyne, K.	V415	Hoffmann, R.T.	287	Hügel, H.	P902	Judex, M.O.	V227
Hiddemann, W.	V225, V228, V302,	Hoffmann, U.	P648	Huizing, M.	7	Jukic, Z.	P662
	V336, V338, V370,	Hofheinz, R.	69, V152, V153, 171c,	Hülsewede, H.	V380	Jung, B.	P720
	V373, V375, V376,		185, V277, P614,	Hummel, H.	395, P748	Jung, G.	P855
	P452, P457, P471,		P615, P617, P637	Hummel, M.	V303, P873,	Jung, W.	P551, P567, P702
	P482, P483, P489,	Höflich, A.	P838		P874, P943	Junghans, A.	P554
	P681, P683, P684,	Hofmann, G.	P594, P631, P654	Hundemer, M.	P751, P764	Junghanß, C.	P535
	P694, P695, P697	Hofmann, J.	P550	Hünerlitürkoglu, A.N.	P582	Junghanss, C.	P487, P491,
Hieke, K.	P715	Hofmann, M.	P619		P741		P536, P563, P851,
Hiepe, F.	P577	Hofmann, R.	P649	Hung, C.	P758		P882, P887, P889
Hilbe, W.	V140	Hofmann, W.	V135, V344, V411,	Huober, J.	P597, P658	Junker, A.	6
Hilbers, U.	V220, P550		P451, P469, P937	Huppert, V.	V220	Jurczak, W.	P684
Hilbig, A.	P626	Hofmeister-Mielke, N.	P535	Huston, T.E.	P650	Jürgens, A.	V305, P673
Hildebrandt, B.	V403, V404, P522,	Hofstädter, F.	P476	Hutchinson, M.	289b		
	P523, P525, P526	Hohenberger, W.	V309	Hütter, G.	V411, P707, P869	Kahl, C.	P487, P851, P882
Hildebrandt, M.	P486, P722,	Hohloch, K.	P702, P719	Hütter, G.	V302, P681	Kaiser, M.	V261, V419, P742,
	P822, P871	Höhne, S.	V156	Hüttmann, A.	V264		P745, P753
Hilgendorf, I.	V319, P487, P536,	Hölig, K.	P436, P538	Huynh, M.Q.	P454	Kaiser, S.	P832, P839
	P563, P851, P882,	Holler, C.	V237, P807			Kaiser, U.	P700
	P887, P889	Hollweck, R.	V155	ibig-Rehm, Y.	P539	Kalhs, P.	V274, P572
Hilger, R.A.	6, P768	Holm-Eriksen, S.	P493, P510	Ihorst, G.	V304, P478, P674,	Kallinich, B.	P586
Hillengass, J.	P757	Hölsch, A.	V384		P717, P774, P928	Kampfmann, M.	P937
Himmelreich, H.	V238	Hölscher, A.	V384	Ikogho, R.	P553	Kancha, R.K.	P603
Hinke, A.	V308	Holweger, K.	P658, P845	Illerhaus, G.	V304, P674	Kanowsky, W.	P662
Hinkelbein, W.	P836	Holzhausen, H.-J.	P470	Illert, A.L.	V129	Kantarjian, H.	V191, V192, P430
Hinnenthal, K.	V380	Holzhäuser, J.	P859	Illert, B.	P925	Kanz, L.	V221, V226, V319, V350,
Hintelmann, H.	P473	Holzner, B.	P894, P895	Illmer, T.	V346, V402, V406, P436,		V375, P441, P573, P579,
Hinterberger, W.	P572	Homann, J.	V355		P458, P459, P477		P580, P642, P665, P747,
Hinz, K.	P678, P679,	Hombach, A.	V202, V205,	Intan, R.S.	P911, P914		P777, P786, P798, P817,
	P682		V318, P641	Irmer, S.	P427		P855, P872, P884, P897,
	361	Hombach, V.	V355	Ittel, T.	164, P506, P615		P900, P901, P903, P906, P907,
Hipp, M.	V309, P647	Hömme, C.	V197	Izon, D.J.	V134		P923, P924, P929, P933
Hipp, P.	V380	Honecker, F.	112c, V383, P657			Kapp, K.	P654, P655
Hirsch, D.	P915	Hopfenmüller, W.	P568	Jacki, S.	P516	Karawajew, L.	P426, P432, P440
Hirsch, F.W.	P653, P803	Hopfer, O.	P451, P464	Jacobs, T.	287b	Karim, K.	P443
Hirt, C.	P585, P675	Hopfinger, G.	P809	Jacques, C.	P639	Karlic, H.	P439, P886
Hirv, K.	P537	Horger, M.	P665, P777	Jaehde, U.	6, P846	Karthauss, M.	288a, P852
Hiwatari, M.	V129	Horisberger, K.	P637	Jaekel, N.	P738	Kaskel, P.	V377
Hlinka, M.	V194, V269, P552	Hörmann, G.	V321	Jäger, D.	P620, P628	Kasparu, H.	P514, P571

Autorenverzeichnis

Name	Nummer	Name	Nummer	Name	Nummer	Name	Nummer
Katalinic, A.	97	Klöckner, T.	P600	Kollmannsberger, C.	V348, P657	Kröning, H.	P627
Kaufmann, A.	359	Kloetzel, P.M.	P745	Komor, M.	P937	Kronnie, T.	P469
Kaufmann, R.	V413, P833	Kloos, W.	V149	Kondakci, M.	P582	Kropf, S.	P760
Kaus, N.	V316	Klöser, C.	P880	Könecke, C.	V317	Kropff, M.	104d, 173a, P769
Kausche, S.	V315	Kloss, M.	P441, P922, P923, P924	König, H.	P493, P510	Kroschinsky, F.	V305, P467, P673
Kawaguchi, H.	V129	Klump, B.	P632	König, J.	P571	Krüger, W.	P585, P586, P675, P708, P778, P891
Kearney, P.	P795	Knauf, W.	P568	Königsrainer, A.	V350	Krumpelmann, A.	P733
Kegel, T.	P660	Kneba, M.	V139, V268, V301, V373, P427, P431	Konur, A.	V222, V223	Krusch, M.	P441, P855, P922, P923, P924
Keil, M.	5	Knecht, R.	93c, 109	Kopetzky, C.	V205	Kruse, K.	P424
Keilholz, U.	93d, V144, 162, V352, V411, V418, V423, P609, P651, P670, P671, P672, P707, P836	Kneidinger, M.	V321	Kopp, H.	V350	Kruth, J.	V190, V193, V253, V256, P513, P519
Keller, U.	P687, P731	Kneitz, S.	P635	Köppler, H.	P644, P695	Kuball, J.	V323, P927
Kellermann, L.	V152	Knipp, S.	P480	Korfee, S.	P610	Kuban, R.	V259, P742
Kelm, M.	P582	Knödler, A.	P897	Korfel, A.	86, 188	Kubuschok, B.	P741, P905
Kemeny, N.	P636	Knödler, M.	P609	Körper, S.	14b, 14c	Kuckelkorn, U.	P745
Kemmer, H.	P745	Knolle, P. A.	V201	Korthals, M.	P898	Kudlich, T.	P633, P635
Kemmler, G.	P894, P895	Knoll, B. O.	P718	Korwitz, U.	V380	Kuehlicke, K.	V273
Kerenyi, M.	V251	Knop, S.	285b, P698, P744, P763, P781	Koscielniak, E.	53, 123	Kufer, P.	P698
Keresmann, Z.	V303	Knopp, A.	P487, P563	Kose, D.	P760	Kühl, S.-J.	P578
Kern, F.	P917	Knoth, H.	P436	Kosel, D.	V346	Kuhlich, E.	P503
Kern, J.	P827, P840	Knuth, A.	37, 213	Kosowski, M.	163	Kuhn, C.	V372, P704, P706, P759, P820, P843, P943
Kern, W.	V343, V405, V410, P463, P482, P515, P801	Ko, Y.	P846	Köster, W.	105c	Kuhn, M.	V141, P478
Kerstan, H.	P870	Kobbe, G.	V353, P582, P773, P898	Kotkiewitz, S.	P763	Kuhn, W.	P846
Kersten, A.	P668	Kobe, C.	397	Koychev, D.	P836	Kühnemund, A.	P612, P848
Kerz, M.	P481	Kober, T.	V371	Koza, V.	P762	Kühnhardt, D.	P599
Kessler, H.	P677	Köberle, D.	8	Kozak, T.	P735	Kühnl, A.	P599
Kessler, P.	P762	Koch, A.	P512	Krahl, R.	V262, V406, V407, P491, P506, P554	Kumbier, I.	P441, P855, P922, P923, P924
Kessler, T.	P473	Koch, B.	P776	Krämer, A.	P704	Kündgen, A.	V404, P523, P526
Kestler, H.	V303, V341, P444, P800	Koch, G.	P754, P755	Krämer, D.	V147, V259, P460	Kunowska, N.	V415
Kettner, E.	164, P491, P627	Koch, P.	P676	Kranz, R.	V340	Kuntz, G.	P748
Kiani, A.	V218, V270, V346, P436, P942	Koch, R.	P936	Kraus, M.	P747	Kunz-Schughart, L.	P910
Kiefer, T.	P585, P675, P778	Koch, S.	P445, P453	Krause, M.	P459	Kunzmann, V.	P666, P779, P921
Kielwein, E.S.	P803	Koch, S.	P445, P453	Krause, S.W.	P910	Kupka, S.	P923
Kienast, J.	V376, P556, P769	Kochanek, M.	V201	Krauspe, S.	P601	Küppers, R.	V265
Kienle, D.	V263, P795, P800, P802	Kocher, M.	P613	Krauter, J.	V406, V409, P472, P490	Kurz, D.	V319
Kiesewetter, H.K.	P816	Koehler, M.	P859, P862	Krauth, M.	P518, P842	Kurzidim, B.	P722
Kim, S.	P650, P808	Koenigsmann, M.	P689, P708, P760, P783, P784, P821, P858, P859, P862	Krebbel, H.	V261	Kuschinsky, W.	P934
Kimmel, B.	P921	Koermoecki, U.	V274	Krebs, B.	P474	Kyrle, P.A.	P818
Kingreen, D.	P733	Kofla, G.	P875	Kreci, M.	P761	Kyttälä, S.	P942
Kipps, T.	P469	Kofler, D.	V202, V205, V235, V318, P789, P792, P794	Kreckel, P.	P733	La Rosée, P.	P493, P510, P706, P759
Kirchen, H.	P481	Kogon, S.C.	V196	Kreibich, U.	P491, P766	Laabs, K.	P557
Kircher, B.	P549, P565, P920	Kohl, T.M.	P452	Kreipe, H.	V256, P661	Ladenstein, R.	55, 125
Kirchhof, K.	P692	Köhler, H.	V202, V205, V318	Kreiter, S.	163	Ladwig, K.-H.	P607
Kirchinger, P.	P698	Köhler, K.	P858	Krejci, M.	P762	Lage, H.	P669
Kirschner-Schwabe, R.	P426	Köhler, M.	P540	Kremers, S.	P481	Lahaye, T.	V190, V192, V193, P430, P508
Klapper, W.	V303, P941	Köhler, S.	V316	Krentz, H.	P487, P85	Lakner, V.	164, P506
Klar, E.	P637	Köhler, W.	P578	Kressnig, E.	P662	Lakshmi Simhadri, V.	V203
Klaskova, K.	P735	Kohlhammer, H.	V303, P800	Kretschmer, A.	P514, P517	Lamprecht, M.	P673
Klausmann, G.	P615	Kohlhase, A.	P601	Kreutz, C.	V233	Landgraf, S.	P723
Klautke, G.	P637	Kohlmann, A.	P463, P469	Kreutz, M.	P910	Landt, O.	V402
Kleber, M.	P750, P776	Köhn, H.	P737	Kreutzmann, N.	P858	Landthaler, M.	P656
Kleboth, K.	P644	Köhne, C.-H.	35, 171, 171a, 211, V310, V311, P615, P627, P638, P639	Kreuz, M.	V303	Lang, F.	P517
Kleeberg, L.	P753	Kohne, E.	V146	Krieger, O.	P517, P525, P571	Lang, I.	V311
Kleff, V.	V356	Kolanczyk, M.	P838	Kripp, M.	V190, P943	Lang, N.	P769
Klein, U.	P751, P764	Kolb, G.	112, 112a, 112g, V383	Krippel, P.	P594, P631, P655	Lang, P.	V221
Klein-Hitpass, L.	V264	Kolb, H.-J.	20, 45, V317, V411	Krischel, H.	V145	Lange, R.	V227
Kleinschmidt, J.A.	P502	Kolbe, K.	V223	Krüber, A.	V263, P800, P802, P804	Lange, S.	P536
Kleinschmidt, R.	P767	Kolbeck, A.	P916	Krüber, S.	P665, P923	Lange, T.	111b, V138, V220, 246, P506, P550, P569, P570, P877
Kliem, C.	V262, P569, P570	Kölbl, O.	P647	Kroemer, G.	P438, P455	Langendorf, P.	P728
Klima, K.-M.	P822	Koldehoff, M.	V194, V195, V269, P450, P552	Kröger, M.	P556	Langner, S.	P566, P589
Klimstra, D.	P636	Kollars, M.	P818	Kröger, N.	79, 90c, 209		
Klingebiel, T.	387	Koller, A.	P896	Krohn, I.	P891		
Klinger, M.	P698	Koller, E.	P481	Kronawitter, D.	V355		
Klinker, H.	P666, P779, P880			Kronenwett, R.	V142, 160, 161, V353, P512, P699, P898, P935		
Kliszewski, S.	V353, P699, P898			Krönig, H.	V322		

Autorenverzeichnis

Name	Nummer	Name	Nummer	Name	Nummer	Name	Nummer
Langsenlehner, U.	P594, P631, P654, P655	Lipp, T.	V139	Mantovani Löffler, L.	P617	Metzgeroth, G.	V193, V252, V253, P519, P759, P843
Lansdorp, P.	V238	Liu, H.	P500, P590, P599	Marian, B.	P634	Metzner, B.	V348, V372, P708
Lanzavecchia, A.	P798	Liu, W.	P469	Maringer, A.	944	Mey, U.	2f, 164, P700, P701, P846
Lanzer, G.	V230, P931, P932	Lobitz, O.	P582	Markett, J.	P512	Meyer, O.M.	P816
Lara, M.	P898	Locker, G.	P595	Marklein, G.	P868, P876	Meyer, R.	V222, V223, V315, P533, P733
Larsen, A.K.	P630	Loddenkemper, C.	V130, V133, V220	Markmann, I.	P784, P821	Meyer zum Büschenfelde, C.	P591
Lass-Flörl, C.	V378, P881	Löffler, M.	291, V303, P497	Markova, J.	V375, P735	Mian, A.	V137
Lassmann, S.	P504, P636	Loges, S.	P841	Marks, R.	V304, P539, P674	Michael, M.	P773
Lauber, S.	V190, V193, V253, P513, P519, P686	Lohmann, I.	V274	Marosi, C.	P849	Michaelson, M..D.	P650
Laufs, S.	V273, V354, V356, V385, P688	Lohrbacher, V.	P532	Marschner, N.	7	Michel, L.	P604
Laurent, D.	V145, P639	Lorch, A.	V348	Märten, A.	V306, P620, P625, P628, P918	Mieth, M.	V261
Lauster, R.	V419	Lordick, F.	V151, V154, V155, V156, 176b, V309, 363, P615, P616, P627	Martens, U.	V233	Miething, C.	V127, V339
le Coutre, P.	V191, V258, P430, P505	Lorentz, C.	P513, P943	Martens, U.M.	V141, V149	Mikolajewska, A.	P877
Lechner, D.	P818	Lorenz, T.	V190	Martin, S.	P699	Miller, K.	P651
Lee, F.Y.	V257	Lorenzen, S.	V154, V155, V156, P616	Martinez, S.	P647	Miller, S.	V341, P444
Lee, P.	P509	Losem, C.	P695	Martiniak, Y.	P503	Mills, K.	P469
Lees, J.	P835	Lotze, C.	P585, P675	Martus, P.	V135, 162, P878	Milojkovic, A.	P828
Legler, T.	P540	Lübbert, M.	78, 208, P478, P480, P484, P485, P525, P529	Marz, S.	P442, P456	Mirzaei, S.	P737
Lehenbauer-Dehm, S.	P599	Lube, R.	P805	Maschmeyer, G.	100, V139, 245, 288, 288b	Mitlöchner, R.	P440
Lehmacher, W.	V347, P607	Lubrich, B.	V381	Massenkeil, G.	P560, P561, P577, P578, P890	Mitrou, P.	P733
Lehmann, H.	P712	Lück, H.-J.	113	Matthaei, M.	P941	Mitry, E.	V310
Lehmann, K.	P527	Ludin, C.	10	Matzdorff, A.	P481, P772	Mitterbauer, M.	V274, V572
Lehmann, T.	P697	Lüdtke, F. E.	P854	Maurer, M.H.	P934	Mix, J.	V252
Leiblein, S.	P569	Ludwig, A.	V203	Maurer, S.	P933	Möbius, V.	174
Leipe, J.	P619, P723	Ludwig, H.	99e, P737, P754, P755	Maurer, L.	P623	Moehler, H.	P618
Leistert, C.	P797	Ludwig, K.	P637	Mawrin, C.	P784	Moehler, T.	V150, P757, P764, P767
Leithauser, M.	P487, P563, P851, P882, P887, P889	Ludwig, W.	V139, V351, P426, P432, P440, P482, P486, P521, P722, P822, P853, P871	May, E.	P834	Möhle, R.	V226, P786, P817, P872, P929, P933
Leitner, C.	P703	Lüftner, D.	175c, P598	Mayer, F.	V350, P657, P665, P884, P923	Möhlendick, B.	P425
Leitner, E.	P677	Lühns, H.	P633, P635	Mayer, J.	P510	Möhler, M.	113b, V153
Lengfelder, E.	V255, V256, P706	Lukan, N.	V153, V277, P614	Mayer, R.	P654, P655	Mohr, B.	V218, P475, P516, P772, P806
Lennerz, V.	V315	Lüschen, S.	P427	Mayer, T.	P659, P693, P739	Mohren, M.	P689, P708, P783, P784, P821
Lentz, F.	6	Lusser, U.	P894, P895	Mayerhofer, M.	V251, V257, V321, P518	Mohty, M.	90
Leo, E.	P698	Lutterbüse, R.	P698	Mayr, C.	P792, P794	Moka, R.	P815
Leopold, W.	P892	Lutz, C.	P560, P577, P578, P890	McClelland, M.	V197	Molitor, E.	P876
Lerche, L.	P538	Lutz, D.	V254, P514, P517, P571	McCubrey, J.	P461	Möller, P.	V303, P690
Lerchenmüller, C.	P888	Lutz, H.U.	P813	Mehrle, S.	P918	Molls, M.	P857
Leschinger, N.	P568	Lutz, L.	P648	Meidenbauer, N.	P910	Mondal, K.	P916
Letsch, A.	V411, V423, P672	Lutze, G.	P821	Meier, S.	P722	Montemurro, M.	P675
Leupolt, E.	V263	Luxembourg, B.	V148	Meisinger, I.	P665, P872	Moore, M.	V226, P639
Li, L.	V408, V412, P498, P899	Maas, J.-H.	P540	Meissner, M.	V413, P833	Moos, M.	P751
Li, X.	V354	MacIntyre, E.	P469	Melcher, R.	P633, P635	Moosmann, N.	P640
Libicher, M.	P698	Mackensen, A.	326, V411, P908, P910, P916	Melchinger, W.	P539	Morant, D.	8
Lichtenauer, U.	P838	Mader, R.	P595, P629	Melchior, S.	V315	Morbach, H.	V422, P925
Lichter, P.	V263, V303, V341, P444, P800, P802	Maecker, H.	P509	Meller, J.	P702, P719	Morgan, M.	V409
Liebert, U.	P550, P554	Maeda, H.	V321	Mellert, G.	V338, P457, P471	Morgenstern, A.	P699
Liebisch, P.	V260, V412, P763, P769	Mages, J.	V227	Mellitzer, K.	P885	Moriggl, R.	V251
Lientscher, M.	P866	Mahlknecht, U.	P449, P491, P543	Mengel, E.	14f	Moritz, T.	V356, P710, P756, P785
Liersch, R.	P676	Mai, S.	V153	Mentel, R.	P585	Morris, S.W.	V129
Liersch, T.	V309	Maier, A.	P701	Menzel, C.	P643	Mörz, H.	P873, P874
Lin, E.	P639	Maihöfer, D.	P898	Menzel, D.	P923	Mossner, M.	P451
Linck, D.	P556	Maintz, C.	P770	Menzel, H.	P939	Mosthaf, F.	P712
Lindhoff-Last, E.	V148	Malamoussi, T.	V338	Mergenthaler, H.	P481	Motzer, R.J.	P650
Lindner, T.	V351	Malarski, N.	P601	Merkel, O.	P788, P791, P793	Mross, K.	8, 9
Linkesch, W.	167, V230, V300, P566, P589, P677, P703, P931, P932	Malatsidze, N.	P741	Mertelsmann, R.	158, V421	Mueller, A.M.S.	P612, P928
Linnebank, M.	V305	Malcovati, L.	V404	Merx, K.	V256, V27	Muetherig, A.	P542, P587
Linseisen, J.	V143	Malischnik, C.	V229, V230, P931, P932	Meßmer, J.	P531	Mügge, L.-O.	P548
Lioznov, M.	P553	Mandl-Weber, S.	P749	Messerer, D.	V139	Mugler, C.	V127
Lipp, H.	112f, P658, P845	Mannhalter, C.	P466	Messner, C.	P783, P784	Mühlradt, P.	P628
Lipp, R.W.	P703			Mestres, R. M.	P473	Müllauer, L.	V251
				Metz, K.	P710	Müller, C.	V148, P479, P537, P584
				Metzler, K.H.	P483	Müller, E.	P465, P627
				Metzener, B.	V370, P697	Müller, F.	P674
						Müller, K.	P940

Autorenverzeichnis

Name	Nummer	Name	Nummer	Name	Nummer	Name	Nummer
Müller, L.	P581, P587, P626, P660	Niedobitek, G.	P723	Pabst, C.	V270, P544	Pintoff, J.	P665
Müller, M.	V138, V190, V192, V193, V253, P470, P499, P505, P508, P513, P519, P542, P693, P739	Nieselt, K.	V197	Pachmann, K.	P433, P601, P602	Piper, M.	V379
Müller, P.	P863	Nikolaos, N.E.	P671	Padro, T.	P473	Pirhofer, C.	P894, P895
Müller, R.	V375, V384, P884	Nilsson, J.	P687	Pahl, H.	V256	Pirker, C.	P857
Müller, S.	P536, P710	Nisters-Backes, H.	P732	Pail, E.	P885	Pirker, R.	39, 215
Müller-Hermelink, H.	V259, V303, V375, P711, P758	Nitsch, D.	P787	Pallasch, C.P.	V235, P789	Pisula, R.	P812
Müller-Holzner, E.	V140	Nocon, M.	P860	Pampillón, C.	P854	Pittermann, E.	P886
Müller-Leydig, E.	P505	Noessel, L.	P860	Pantel, K.	P841	Plahl, A.	P852
Müller-Nordhorn, J.	P860	Nogai, A.	V271, V314, P534, P575	Pantic, M.	V233	Platzbecker, U.	V218, V270, P544, P546, P583
Müller-Tidow, C.	V197, V337, P435	Nogler-Semenitz, E.	V378	Panzer, M.	P680	Plettenberg, A.	P712
Mumm, A.	P780	Nogova, L.	P608	Panzer-Grümayer, R.	P429	Plihal, S.	P885
Muntean, A.	P752	Nollet, F.	160	Papewalis, C.	P898	Pliskat, H.	P770, P771, P772
Murga Penas, E.M.	P678, P679, P682	Nohte, E.	P729	Parwaresch, R.	V303, P941	Pluschnig, U.	P595
Müßig, A.	V314, P575	Nonn, M.	V316, P533	Paschka, P.	P519	Podleschny, M.	P429, P443
Mytilineos, J.	P537	Noppeney, R.	P691, P698	Pastan, I.	P727	Pogge von Strandmann, E.	V203, V312, P726, P728
Na, I.	V144, V418, V423, P672	Normand, G.	P834	Pastore, A.	V302, P681	Pohl, F.	P647
Nachbaur, D.	V378, P541, P549, P558, P565, P574, P881, P920	Nösslinger, T.	P525, P886	Patrone, F.	P903	Pohlmann, H.	P648
Nachtkamp, K.	P526	Novak, U.	P690	Patzler, G.	P547	Pohlreich, D.	V274, P572
Nadler, A.	P757	Novosadova, L.	P762	Pavlova, A.	V138	Polivka, J.	P735
Nagata, S.	P727	Nowak, D.	P451	Pecený, R.	V194, V195	Pollack, J.	V340, V408, P447
Nagy, K. Z.	V273	Nowrousian, M.	104a, 285c, P710, P756	Pederiva, S.	P685	Pönisch, W.	72, 104b, 118, V262, P491, P569, P738, P766
Nakamura, T.	P748	Nückel, H.	V265, P768	PeerZada, A.	159, V231, V232, P435	Ponsaerts, P.	V355
Napieralski, S.	P511	Nürnberg, P.	P607	Peham, K.	P514, P517	Pooten, M.	P512
Napp, C.	P941	O'Brien, S.	V191	Peinert, S.	P617	Popov, A.	V201, V204, V206
Naumann, F.	V380	O'Shea, C.	V414	Pels, H.	V305, P673	Popov, I.	P638
Naumann, R.	2c, 164, P731, P765, P767	Oberschmidt, O.	P854	Pelzer, U.	P626	Popp, H.	2f, V252, P700
Naundorf, S.	V273	Ocampo, C.B.	V196	Penack, O.	V314, P878	Poppelreuter, M.	P780
Navrátil, M.	P520	Ochsenreither, S.	P651	Pereira, P.	P642	Poremba, C.	V279, V280
Neben, K.	P704	Odendahl, M.	P564	Peschel, C.	V127, V129, V151, V154, V155, V156, 157, V227, V322, V339, P442, P456, P492, P501, P591, P603, P604, P616, P687, P799, P857, P909, P913, P939	Porschen, R.	P632
Nehls, O.	P632, P832, P839	Oechsle, K.	P657	Peter, N.	V372, P491	Poser, M.	P710
Nehring, C.	P738	Oelschlägel, U.	V218, P448, P516, P546, P806	Peter, R.	P939	Poske, U.	P738
Neise, M.	P888	Oertel, S.	P696	Peterfi, A.	P441, P855, P922, P923, P924	Pospischil, A.	P677
Nencioni, A.	P903	Oettle, M.	P712	Peters, S.O.	P847	Possinger, K.	74, 120, P500, P590, P599, P615, P745, P753
Nerl, C.	P814	Oettle, H.	P626	Petrausch, U.	P643	Post, M.	P881
Neser, S.	164	Oldenburg, J.	V138, V148	Petriedes, P.P.	P816	Post, S.	V153
Neubauer, A.	164, V346, P454, P459, P511	Olivieri, A.	P700	Petzer, A.	P481, P517, P541, P574	Postel, T.	P887, P889
Neubauer, J.	P761	Oostendorp, R.	V227, P442, P456	Peyn, A.	P661	Pott, C.	V301, V370, V373, P697
Neuberg, D.	V236	Opalka, B.	P756	Pezzutto, A.	P684	Pour, L.	P761, P762
Neuberg, J.	P624	Opderbeck, S.	P693	Pfaff, H.	96, P607	Pracht, G.	V278
Neuburger, S.	P560, P561, P578, P890	Opel, D.	V279, V417	Pfannenberg, C.	P580	Prall, C.	P524
Neudorfer, J.	P913	Opitz, B.	P491, P626	Pfeifer, D.	V141, V233	Pralle, E.	P593
Neukirchen, S.	P692	Ordemann, R.	P940	Pfeifer, H.	V138	Pralle, H.	P481
Neumann, F.	V420, P512, P582, P699, P773, P905	Orlopp, K.	2f, P700, P765, P868, P876	Pfeiffer, H.	369	Preudhomme, C.	P469
Neumann, M.	P607	Ortlepp, C.	P445	Pfeiffer, M.	P605	Preuss, K.D.	V420, P667, P741
Neumeister, P.	V300, P589, P677	Oruzio, D.	P640	Pfeiffer, M.	P605	Preusser, M.	P849
Neuwelt, E.A.	84, 186	Ostermann, H.	178b, V376	Pfeil, N.	P852	Prinz, G.	P539
Ngo, T.	P750, P776	Ostertag, C.	V304, P674	Pfeilstöcker, M.	P439, P525, P886	Przybylski, G.K.	P424
Nicaise, C.	V192, V193	Ostgathe, C.	P864	Pfistner, B.	V375, P730, P732, P734, P736	Puccetti, E.	V198, V199
Nickelsen, M.	P731, P733	Ottremba, B.	104e	Pfoertner, S.	P649	Pukrop, T.	P592, P593
Nickenig, C.	V372	Ott, G.	V303, P681	Pföhler, C.	P667	Pulikkan, J.A.	159, P435
Nickolay, C.	P527, P826	Ott, K.	V151	Pfrepper, C.	V262	Purr, I.	P876
Niederwieser, D.	104, 173d, 177, V192, V220, V262, V320, 324, V406, V407, P465, P479, P491, P506, P547, P550, P554, P569, P570, P675, P738, P766, P877	Ottmänn, O.	106c, V137, V138, V191, V192, V250, V258, 284c, P430, P505, P937	Pfreundschuh, M.	282c, 282d, V372, V415, V420, P667, P741, P905	Quentmeier, H.	P457
		Otto, F.	158	Phan, V.T.	V196	Quietzsch, D.	P627
		Oudard, S.	P650	Pichelmayer, O.	P842	Quintanilla-Fend, L.	V129
		Ovcharenko, D.	V346	Pickl, W.	V257, V274, V321, P518	Raab, M.	P751
		Overbeck, T. R.	P611	Pieck, A.C.	6	Rabe, J.	P851
		Pabinger, I.	30, 46	Pink, D.	V351, P853	Rabitsch, W.	V274, P572
				Pinon, J.	V237	Rachet, B.	P729
						Rack, B.	175d
						Radbruch, A.	V419
						Raderer, M.	P842
						Radetzki, S.	P829
						Radich, J.	V192

Autorenverzeichnis

Name	Nummer	Name	Nummer	Name	Nummer	Name	Nummer
Radsak, M.	P923	Rick, O.	V348, V349, P657	Ruck, S.	P487	Schäfer, I.	V409
Radujkovic, A.	P507	Rickerts, V.	177a	Rücker, F.	V340, V341, V345, P444, P447	Schäfer, M.	157
Radunski, U.	P936	Riechel, C.	V381	Rückert, A.	V272	Schäfer-Eckart, K.	P556, P892
Raedle, J.	P618	Riecke, A.	P659, P739	Rückrich, T.	P747	Schaich, M.	V346, V402, V406, V407, P448, P449, P458, P467, P475, P477
Raff, T.	V373, P427, P431	Rieder, H.	V139, P425	Rudas, M.	V350, P595	Schäkel, U.	P467, P475
Raffer, M.	P476	Rieger, C.	177c	Rüdiger, T.	P711	Schalhorn, A.	287d
Rafferty, T.	V191, V258, P430, P505	Rieger, K.	P575	Rudolph, C.	V133	Schalk, E.	P664, P689
Ramdohr, P.	P615	Rieken, M.	V302	Ruf, S.	V136, P800	Schallmoser, K.	V229, V230, P931, P932
Rammensee, H.-G.	240, V320, P906, P923	Riesch, M.	P752	Ruffert, U.	P766	Schanz, J.	V403, P525
Rancso, C.	P746	Riess, H.	31, 47, 113a, P626	Ruhnke, M.	P875	Schardt, C.	P770
Ranft, K.	P680	Riet, T.	V202, V205	Ruland, J.	157, P909	Schatz, M.	V193, V256
Rao Simhadri, V.	V312	Riethdorf, S.	P841	Rummel, M.	105, P684, P731	Schatz, N.	P604
Rappl, G.	V202, V318	Riethmüller, G.	P698	Rumpold, H.	V140, P558, P743, P827, P919	Scheele, J.	P838
Raschke, S.	V142, V353, P699	Rietz, A.	V418	Rumstadt, B.	P663	Scheffold, A.	V419
Ratei, R.	P426, P432, P440, P521	Riggert, J.	P540	Runnebaum, I.	P601	Scheibenbogen, C.	V144, V352, V411, V418, V423, P670, P671, P672
Rath, J.	V147	Ringden, O.	393	Rushton, S.	P442, P456	Scheibner, M.	P894, P895
Raubitschek, A.A.	P686, P724, P727	Ringhofer, M.	V412, P545, P650	Russell, S.	P748	Scheid, S.	P426
Raulf, N.	V415	Ritgen, M.	V268, V373	Rüster, B.	V200	Scheideler, M.	P793
Raunig, W.	P662	Ritter, G.	V412	Rüter, B.	P478, P480, P529	Scheidt, B.	P648
Rawat, V.P.S.	V336	Ritter, M.	P454, P459	Ruthardt, M.	V137, V198, V199, V200, 295, P937	Scheithauer, W.	67, 183
Rawluk, J.	V233	Rixe, O.	V145, P650	Rütt, C.	P583	Scheler, C.	P819
Rebmann, V.	P756	Robbel, C.	V381	Ryschich, E.	V306, P620	Schellong, G.	P725
Rech, D.	P619	Rocco, G.	P531	Ryser, M.	P445, P453	Schenk, T.	V190, V193, V253, V258, P513, P519
Rech, J.	P619, P723	Rockstroh, J.	P712	Sadikaj, L.	V190	Scheppach, W.	P633, P635
Reck, M.	103d	Röddiger, R.	P815	Sadlon, T.	V225	Scherubl, H.	V276, P618
Reddy, V.A.	P435	Rödel, C.	V309	Sadownski, B.	P494	Schetelig, J.	V218, V270, P436, P806
Regitz, E.	V420, P667	Röder, I.	P497	Safaian, N.	P898	Scheulen, M.E.	4, 6, 7, 8
Reich, A.	P860	Roderburg, C.	V224, P930, P934, P938	Saffrich, R.	V224, P930, P938	Scheurle, M.	P633, P635
Reichardt, P.	56, 102d, 126, 176a, V351, P853	Rodloff, A.	178	Sahin, N.	357	Schiel, X.	V376
Reichle, A.	P476, P482, P652, P656, P708	Roemer, K.	V415	Sahin, U.	163	Schildhauer, I.	V133
Reichmann, H.	V305	Roemer, E.	P812	Sahinbas, H.S.	P850	Schilling, G.	P682
Reichmann, U.	P597	Roethling, N.	V154, V155	Sahlmann, C.	P702	Schimansky, T.	V258
Reiffert, S.M.	P876	Rohde, E.	V229, V230, P931, P932	Sailer, V.	P610	Schinkel, S.	P784
Reimann, M.	V133	Rohde, M.	P651	Salama, A.S.	P816	Schinköthe, T.	P797, P805, P844
Reimer, P.	P711, P782	Rohn, A.	P703	Salat, C.	V376	Schirmer, V.	P766
Reinartz, G.	P676	Rohr, U.	161, V142, V353, P773	Salau, J.	V349	Schirren, R.	V348
Reindl, C.	V338, P457	Rohrbach, F.	P912, P915	Salih, H.	P441, P855, P922, P923, P924	Schirutschke, H.	P544, P546
Reineke, T.	P736	Rohrbeck, A.	V142, 161	Salles, G.	P679	Schlag, R.	P771, P809
Reiners, K.	V203, V312, P726	Rohrberg, R.	164, P766	Salvador, C.	P743	Schlegel, U.	V305, P673
Reinhardt, A.	V320, P547	Rojewski, M.	V355	Salwender, H.	P481	Schlegelberger, B.	V133, P528, P530
Reinhardt, C.	7, P698, P835	Roll, L.	P626	Samans, B.	P459	Schleicher, J.	V348
Reinhardt, P.	P899	Roll, S.	P860	Samonig, H.	P594, P631, P866	Schlenk, R.	89c, V340, 366, V406, V407, V408, V409, P447, P472, P474, P481, P488, P490
Reinisch, A.	V229, V230, P931, P932	Röllig, C.	P436	Samorapoompichit, P.	V257, V321	Schleunig, M.	V219, V317, P767
Reiser, M.	2e, V372, P691	Romero, P.	P914	Sander, S.	V263	Schliemann, C.	P473
Reiter, A.	247, V250, V252, V253, V255, V256, V258, P519, P521	Röpke, F.	P819	Sänger, J.	P501	Schließler, G.	P615
Reitmeier, M.	P648	Rosche, M.	P599	Sanz, G.	18, 43	Schlimok, G.	P692
Renner, W.	P631, P654	Rosche, M.	P599	Sarbia, M.	P632	Schmalzing, M.	P579
Renström, J.	V227	Rose, M.R.	P816	Sargin, B.	V337	Schmelz, K.	V342
Repp, R.	V370, P559, P588, P697, P926, 945d	Rosenfeldt, M. T.	V131	Saric, T.	V206	Schmid, C.	V317, P482
Respondek, E.	P882	Rosenmayr, A.	P572	Sasse, S.	V312, P728	Schmid, M.	V136, V146, P447, P527, P826
Reuter, H.	V336	Rosenwald, A.	V303, P633, P635	Sauer, A.	P856	Schmid, U.	P690, P815
Reuter, S.	243	Rösler, W.	P619, P723	Sauer, R.	V309	Schmidmaier, R.	P749
Reutter, W.	P829	Rosolowski, M.	V303	Sauer, S.	V150	Schmidt, A.	P583, P839
Rhein, P.	P426, P432, P440	Roskopf, M.	V142, 161, V353, P699	Sauerbruch, T.	P622, P641	Schmidt, C.	P424, P586
Richl, P.	V422, P925	Rössler, K.	P849	Sauerland, C.	V406, V407, P482, P483	Schmidt, J.	V306, P620, P625, P628, P918
Richter, A.	V347	Röth, A.	V238, P768	Sauerland, M.	P471	Schmidt, M.	7, P852
Richter, A.	P437, P830, P831	Roth, S.	P846	Saußele, S.	V190		
Richter, A.	P437, P830, P831, P837	Rothe, A.	V312	Sayer, H.	P548, P708		
Richter, H.P.	P826	Rothe, G.	P910	Schabath, R.	P486, P871		
Richter, P.	164	Röthling, N.	P616	Schadendorf, D.	V352		
		Rougier, P.	V310, P638	Schäfer, C.	P647		
		Royer, H.	P522, P746	Schäfer, H.	P485, P504		
		Royer-Pokora, B.	P425, P522				
		Rozanski, M.	P766				
		Rubenzler, G.	V234, P807				
		Ruberg, F.	P723				

Autorenverzeichnis

Name	Nummer	Name	Nummer	Name	Nummer	Name	Nummer
Schmidt, P.	V202, V205	Schrezenmeier, H.	14a, 90a, 111, 296, V355, P537, P584	Schwind, S.	P479	Skorta, I.	P495, P496
Schmidt, S.M.	P901	Schröder, G.	P586	Schwindt, P.	P846	Skotnicki, A.	P684
Schmidt, W.	P629, P905	Schröder, S.	P554	Schwinzer, B.	V278	Skvortsov, S.	V140
Schmidt-Hieber, M.	162, P568	Schroeder, M.	P713	Scudla, V.	P762	Smetak, M.	P921
Schmidt-Wolf, I.	2, 2f, 2k, V305, V348, P481, P622, P624, P641, P673, P696, P700, P701, P704, P765, P767, P876	Schröttner, P.	P896	Seckinger, A.	P930, P934, P938	Smyth, J.	V352
Schmiegel, W.	P691	Schub, N.	P559, P588, P904	Sedivy, R.	P629	Sohlbach, K.	P454
Schmier, J.W.	P704	Schubert, J.	14, 14e, 111a, P767	Seeber, S.	175, 175f, V356, P610, P710, P756, P785	Söling, U.	P810
Schmitt, A.	V408, V412, P545, P899	Schubert, U.	V310, P638	Seeger, K.	P426	Sommermeyer, D.	P913
Schmitt, C.A.	V130, V131, V133	Schuch, G.	P841	Seeger, T.	V354	Sonneck, K.	V251, V257
Schmitt, M.	V408, V412, P545, P899	Schuck, E.	P769	Seggewiß, R.	P779	Sonnenberg, M.	P495, P496
Schmitt, T.	V222	Schuld, P.	V191, V258, P430, P505	Seibert, R.	V301	Sorg, R.	P898
Schmitt-Gräff, A.	V256, V258, P557	Schüle, R.	V415	Seibt, H.S.	P816	Sorg, U.	V356
Schmittl, A.	162, P609, P670, P671, P707	Schulenburg, A.	V274, P572, P634	Seidel, J.	P826	Soria, J.C.	V145
Schmitz, M.	P546	Schüler, F.	P585, P675, P778	Seifarh, W.	P498, P499, P508, P874	Sos, M.	P606
Schmitz, N.	398	Schuler, M.	7, 38, 214, V313, V351, P698, P822, P853	Seiffert, E.	P443	Soucek, S.	V406, V407, P467, P475
Schmitz, S.	94, P695, P865, P888	Schuler, U.	288c	Seifried, E.	V148	Spang, R.	V303, P426
Schmitz, V.	P622	Schulte, C.	V194	Seilmaier, M.	P814	Sparwasser, T.	157
Schmoll, H.-J.	68, 101, 101b, 184, P617, P660, P820	Schulte, D.	P838	Seipel, P.	V129	Späth, D.	V409
Schnabelrauch, M.	P602	Schultheis, B.	V277, P493, P843	Seipelt, G.	P767	Späth, R.	V382
Schneeweiss, A.	172	Schultz, P.	V128	Seitz, G.	P786, P929, P933	Sperner-Unterweger, B.	61, P894, P895
Schneider, C.	V190, P607, P787, P795	Schultze, J.	V143, V201, V204, V206, V235, P607, P789	Seitz, K.	P826	Sperr, W.R.	V251, V254
Schneider, J.	V352	Schulz, A.	V235	Sekora, A.	P535	Spiekermann, K.	V338, P452, P457, P471, P482, P483
Schneider, P.	V384, P608, P613, P646	Schulz, B.	P875	Selleslag, D.	160	Spiess, B.	P498, P499, P508, P873, P874
Schneider, S.	P471	Schulz, C.	P599	Sellmann, L.	V265, P785	Spoehn, C.	P506
Schneider, T.	P869	Schulz, H.	V305, V371, P673	Sellner, L.	P502	Spohn, M.	P510
Schnieder, I.	P870	Schulz, M.	P592, P593	Sellschopp, A.	P857	Sprengel, E.	P662
Schnittger, S.	V338, V343, V405, V410, P463, P515, P801	Schulze, A.	P491, P546	Selmi, R.	163	Sreseli, R.T.	V141
Schnürer, E.	V315	Schulze, K.	P609	Selzer, E.	P518	Srock, S.	164
Schober, T.	P732	Schulze, M.	P491, P640	Semper, H.	V254	Staak, J.O.	P686, P724, P727
Schoch, C.	V343, V405, V410, P463, P466, P515, P801	Schumacher, P.	P549, P920	Seppa, L.	P752	Staber, P.	V300
Schoengen, A.	P659, P693, P739	Schumann, E.	V344	Serba, S.	V306	Staber, P.B.	P566, P589
Schoenland, S.	P764	Schumm, M.	P555	Serbent, V.	V344	Stackl, W.	P902
Schöffel, M.	P939	Schuppan, D.	V276	Serke, M.	103e	Stade, B.	V256
Scholl, C.	P472, P488	Schuran, B.	P532	Seroneit, T.	V155, P616	Staub, P.	P482, P797, P805, P844
Scholl, S.	P548	Schürmann, D.	P733	Servan, K.	P522	Staiger, W.	V153, P614
Scholten, T.	P626	Schurr, R.	V276	Serve, H.	89d, V197, V337	Stanicek, J.	P761
Scholz, C.	P437	Schuster, R.	162, P670, P671	Seshire, A.	V198, V199, V200	Stanislavski, T.	P915
Scholz, H.-M.	P811	Schütt, P.	P610, P710, P756	Seufferlein, T.	176, P618	Staratschek-Jox, A.	V143, P607
Scholz, U.	P823, P824, P825	Schütte, W.	103b	Seymour, J.	V370, P697	Starczynowski, D.T.	V301
Schomerus, P.	P814	Schutzova, M.	P762	Sezer, O.	104c, V261, P731, P742, P745, P753, P769	Stark, A.	P667
Schön, C.	V345	Schwab, R.	V338	Shia, J.-R.	P636	Starkmuth, M.	P624
Schönbein, C.	P543	Schwabe, M.	P668	Shirvani, D.	P939	Stauch, M.	P626, P640
Schöndube, D.	P486, P871	Schwable, J.	V337	Siciliano, R.D.	P721	Stauder, R.	P525, P531, P894, P895
Schöpflin, A.	P636	Schwaenen, C.	V136, P800	Siebert, R.	V238, V303	Steckel, N.	V194, V195, V269, P450, P552
Schormann, C.	P905	Schwaiger, M.	V151	Siegemund, A.	P823, P824, P825	Steffens, M.	V148
Schott, M.	P898	Schwalbe, E.	P766	Siebert, W.	V218	Steffens, R.	P494
Schöttker, B.	P555	Schwalbe, M.	P602	Siehl, J.	162, P707	Steger, G.	P595, P629
Schrader, A.J.	P649	Schwalen, A.	161	Siemes, S.	P592	Steidl, U.	V403, P525
Schrader, C.	P559	Schwamb, J.	V235, P789	Sieniawski, M.	P732, P736	Stein, H.	V130, V133, V151, V275, V303
Schrader, J.	V275	Schwänen, C.	V303	Sievers, E.	P624	Stein, S.	P912
Schramm, W.	32, 48	Schwartz, S.	V135	Sillaber, C.	V250, P589	Steinberg, J.	V276
Schrappe, M.	P426, P432	Schwartz-Albiez, R.	V150	Simon, A.	P867	Steinbild, S.	8
Schreder, M.	P754, P755	Schwartzkopf, M.	V384	Simon, T.	V279	Steiner, U.	P651
Schreier, G.	P531	Schwarz, K.	V146, P937	Simons, S.	P846	Steinke, A.	P847
Schreml, W.	P863	Schwarz, S.	P425, P476, P910	Singh, S.M.	V231	Steinmetz, H.T.	P865, P888
		Schwarzbach, M.	V153	Sinn, H.P.	175a	Steinmetz, T.	P627
		Schwarzer, A.	P506, P766	Sitskaja, X.	P812	Stelck, B.	P630
		Schwarzer, G.	V371	Sittinger, K.	V148	Stelljes, M.	V221
		Schweighofer, C. D.	V268	Skoetz, N.	V371	Stelzl, E.	P677
		Schweigle, E.	V226	Skopalova, M.	P735	Stenzl, A.	P933
		Schwenke, H.	164				
		Schwenke, M.	P675				
		Schwerdtfeger, R.	V218, V219, V317				
		Schwertner, C.	V276				
		Schwesinger, G.	P586				

Autorenverzeichnis

Name	Nummer	Name	Nummer	Name	Nummer	Name	Nummer
Sternsdorf, T.M.	V196, P434	Tesch, H.	51, 175, 175f, 180	Trefzer, T.	P847	Viehmann, S.	P503
Sterz, J.	V261, P745, P753	Teschendorf, C.	P691	Trelle, S.	V371, V379, P731	Villalobos, M.	P764
Studel, C.	P445, P448	Tewes, M.	P610	Trenschel, R.	V194, V195, V269, P562	Vlachou, P.	P604
Stevanovic, S.	P905, P906	Thaler, J.	P517	Trepel, M.	158, V421	Voelkl, S.	P910
Stiefelhagen, M.	P502	Thaler, S.	V313	Triebel-Roth, K.	P589	Vogel, M.	P777
Stieler, J.	P626	Theilig, A.	P675	Trivedi, A.	159, V231, V232, P446	Vogel, W.	P573, P579, P580, P781
Stilgenbauer, S.	V263, P787, P795, P800, P802, P804	Theobald, M.	V313, V323, 328, P481, P911, P912, P914, P915, P927	Trojan, J.	P627	Vogel Wigger, B.	P721
Stitz, E.	P611, P702	Theodor, R.	V347	Trümper, L.	V303, V403, P429, P443, P461, P494, P525, P551, P567, P592, P593, P611, P698, P702, P709, P714, P719, P936, 945a	Vogler, M.	V307
Stöcher, M.	P517, P807	Theurich, S.	P542	Tsamerloukas, A.	P888	Vogt, A.	P641
Stocking, C.	P461	Theuser, C.	P544, P583	Tscherner, D.	P885	Vogt, T.	P656
Stockmeyer, B.	P926	Theuser, K.	P538	Tschiedel, S.	V320, P547	Vogt-Schaden, M.	V305
Stölting, S.	P847	Thiede, C.	V218, V219, V346, V402, P436, P445, P448, P449, P453, P458, P460, P467, P475, P477, P516, P806	Tunn, P.-U.	V351	Vögtle, N.F.	V421
Stölzel, U.	V276	Thiel, A.	V419	Türeci, Ö.	163, 241	Voigt, W.	P660
Storch, U.	P875	Thiel, E.	V135, V139, V144, 162, V220, V271, V314, V344, V411, V418, V423, P425, P451, P534, P550, P568, P575, P609, P651, P670, P671, P672, P707, P836, P869, P878, P917	Tuschy, S.	V377	Volk, B.	V304
Störkel, S.	34, 210	Thiel, G.	V344, P575	Tyroller, M.	P775	Volk, H.	P917
Storlazzi, C.T.	P466	Thiele, B.J.	P669	Tzankov, A.	V250	Vollmers, H.P.	V422, P925
Stötzer, O.	P627	Thiele, J.	V256	Übelacker, R.	V376	Voltz, R.	P864
Straka, C.	P749, P76, P775	Thiele, M.	V271, P534	Uckert, W.	P913	von Bergwelt-Baildon, M.	V206
Strand, S.	V315	Thierry, V.	V381	Uharek, L.	90b, V220, V223, V271, V314, V411, P491, P534, P550, P568, P575, P708, P917	von Bloh, J.	P870
Strasak, A.	P558	Thomale, J.	V264	Uhle, R.	P506	von Bubnoff, N.	106, P501, P603
Strasser-Weippl, K.	P754, P755	Thomalla, J.	P644, P695	Uhlig, J.	P766	von den Berg, A.	V374
Strate, A.	P540	Thomalla, J.	P644, P695	Uhrberg, M.	V220	von Dobschütz, K.	P659
Strehl, J.	2f, P622, P624, P700, P701	Thomas, L.	P815	Ullmann, A.	V377, P879	von Grünhagen, U.	164, P506
Strenge-Hesse, A.	396	Thomas, M.	41, 93, 103, 103a, 165b, 217	Ullmann, R.	P466	von Haefen, C.	V416, P828, P829
Strobel, E.-S.	P717	Thomas, R.	P606	Ullrich, S.	P600	von Haessler, A.	161, V142, V353, P699
Strohfeldt, K.	P854	Thomas, S.	V323, P911, P914	Ulreich, R.	P703	von Harsdorf, S.	P545
Strohscheer, I.	22, 81, P866	Thomssen, H.	P661	Ulrich, D.	P848	von Klitzing, C.	V129
Stroux, A.	V144, V314, P670, P671	Thöne, S.	P501	Ulrich-Pur, H.	P634	von Lilienfeld-Toal, M.	2k, P625, P765, P767, P868, P876
Struck, S.	P854	Thürigen, C.	P863	Ultsch, A.	V235, P789	von Mach, M.-A.	100a
Strumberg, D.	8	Thurley, D.	P696	Ungethüm, U.	V259, P742	von Metzler, I.	V261, P742, P745, P753
Strunk, D.	10b, V229, V230, 391, P566, P703, P931, P932	Tibensky, I.	P620	Untergasser, G.	P827, P840	von Schilling, C.	P684, P939
Strupp, C.	V404, P523, P526	Tickenbrock, L.	V337	Unterhalt, M.	V370, V373, P471, P482, P483, P683, P684, P694, P695, P697	von Schwarzenberg, K.	P901, P907
Stübig, T.	P454, P459	Tiemann, M.	P676, P725, P740	Unzicker, C.	P782	von Toll, T.	P862
Stuhler, G.	V221, P555	Tilg, H.	P919	Urban, C.	P589	von Tresckow, B.	V203, V312, P728
Stühmer, T.	V259, P744, P746	Tilgen, W.	P667	Valent, P.	V192, V251, V254, V257, V321, P518, P525, P634, P842	Vonthein, R.	P777
Sturm, I.	V275	Timke, C.	P559	Vales, A.	V321	Vorlicek, J.	P520, P762
Stürzenhofecker, B.	V303	Timmer, J.	V233	Valesky, E.	P833	Voskova, J.	V410
Südhoff, T.	P652, P691	Tinhofer, I.	V234, P788, P790, P791, P793, P796, P807	van Cutsem, E.	V310, V311, P639	Voss, R.-H.	V323, P911, P914
Suhrbier, K.	P841	Toepler, T.	P649	van der Kuip, H.	P495, P496	vRundstedt, F.	P547
Sülberg, H.	V309	Toetzke, F.	P437	van Lunzen, J.	P712	Vucinic, V.	P738, P877
Sumna, E.	P762	Tomala, C.	P611	Varga, F.	P439	Wacheck, V.	P518
Sundararajan, S.	V141	Tomann, T.	V374	Vasquez, N.	P852	Wacker, H.-H.	P941
Surace, C.	P466	Tomczak, P.	P650	Veelken, H.	V132, V141, V149, 158, V233, V374, P668	Wagner, A.	V377
Suther, M.	V205	Tonn, T.	P564	Vegi, N.M.	V336	Wagner, C.	P905
Suttorp, M.	P503	Topaly, J.	P507, P576	Vehling-Kaiser, U.	P640	Wagner, E.M.	P927
Svobodnik, A.	P762	Töpelt, K.	P608, P613	Vehreschild, J. J.	P879	Wagner, I.	V270, P544
Sweeney, N. J.	P854	Toplak, H.	P885	Veldwijk, M.R.	P502, P883	Wagner, K.	P602
Sytk, L.	P454	Topp, M.S.	V259, P744, P748, P758, P763	Vempati, S.	V338, P457	Wagner, M.	V342, 741
Szibere, A.	P773	Torzewski, J.	V355	Verdoodt, B.	P834	Wagner, O.	V254
Tabor, V.	V130	Tothova, E.	P762	Vergauwe, P.	V311	Wagner, P.	P885
Tacke, M.	P854	Traikov, S.	P448	Verhoef, G.	V258	Wagner, T.	P692, P847
Tagizadeh, K.	P852	Trajanoski, Z.	P793	Viardot, A.	V136, V303, P698, P800	Wagner, W.	V224, P930, P934, P938
Tamm, I.	V342, P560, P561, P577, P578, P890	Trapp, M.	P852			Waldau, A.	P433
Tang, L.	P636	Trappe, R.	394			Waller, C.	P663
Tatsch, K.	287a	Trautmann, H.	V301			Wallwiener, D.	P597
Tawadros, S.	P728					Walshe, R.	V384, P613, P645, P864
Teichler, S.	P454, P459					Walter, B.	P652
Teichmann, B.	V133					Walter-Matsui, R.	P815
Tenen, D.	V353					Walther, J.	P640
Terpe, H.	P535					Walz, C.	V250, V252, V253
Terwey, T.	P560, P561, P577, P578, P890						

Autorenverzeichnis

Name	Nummer	Name	Nummer	Name	Nummer	Name	Nummer
Wandehack, M.	P466	Weit, A.	P710	Willich, S.N.	P860	Zander, A.	V273, P553, P584, P718
Wandt, H.	V370, P556, P697, P892	Welte, K.	V278	Wimmenauer, V.	P915	Zander, T.	V143, V204, P606, P607
Wang, Y.	V197, P454, P511	Welter, A.	P876	Wimmer, K.	P466	Zang, C.	P500, P590
Warmuth, M.	V128	Weltermann, A.	P818	Wimpissinger, F.	P902	Zankovich, R.	P810
Warncke, M.	V132	Wendelin, K.	P892	Winkler, D.	V263, P787, P795, P800, P802	Zapf, S.	P583
Warskulat, U.	P935	Wendl, C.	V260, V412	Winkler, S.	V254	Zatkova, A.	P466
Wasan, H.	287c	Wendt, J.	V416, P828, P829, P834	Winter, M.	P898	Zebisch, A.	P589
Wäsch, R.	V272	Wendtner, C.M.	105b, V202, V235, V268, P789, P792, P794	Wirths, S.	P798	Zechmann, C.	P757
Wasser, K.	P757	Wenger, M.	V372	Wismeth, C.	P673	Zeelen, U.	P659, P739
Wassertheurer, S.	P703	Weniger, J.	P810	Witteles, W.	P509	Zehrfeld, T.	P766
Wassmann, B.	V138	Wenz, F.	V153, V354, P502, P637, P883	Witzel, M.	V150	Zeidler, C.	V278
Wassmer, G.	P607, P879	Wenzel, C.	P595	Witzens-Harig, M.	2h, P696, P704, P764	Zeis, M.	V275, V411
Wattad, M.	P927	Wermke, M.	V270, P436	Wohlfarth, A.	P740	Zeller, W. J.	V273, V354, V356, V385, P502, P507, P771, P883
Watzka, M.	V148	Werner, M.	P504, P636	Wolf, A.	V140, P558, P743, P919	Zellmeier, E.	P471
Weber, M.	21, 80	Wernet, P.	V353	Wolf, D.	V140, P541, P558, P743, P919	Zemanova, M.	P762
Weber, T.	P542, P581	Werth, D.	P901, P907	Wolf, H.	164, P772	Zenz, T.	P804
Weber, W.	V151	Weßendorf, S.	V136	Wolf, H.H.	164, P491, P660, P675, P819, P820, P891	Zettl, F.	P698
Weck, M.	P897	Wessendorf, S.	V303, P800	Wolf, J.	V143, V384, P606, P607, P608, P613, P645, P646, P864	Zeus, T.	P582
Wedding, U.	P491	Westhoff, M.	V417	Wolf, M.	93b, 165	Zeuzem, S.	P627
Wegrzyn, J.	P684	Westphal, S.	P760	Wölfel, C.	V316, V320	Zheng, C.	P498, P499, P508, P874
Wehler, D.	V223	Weyrauch, J.	P720	Wölfel, T.	V316, V320	Zheng, X.	V200
Wehler, T.	V223, V315, V316, P533	Wichmann, H.-E.	P607	Wolff, D.	P487, P535, P536, P563, P882, P889	Zhour, N.	V150
Wehmeier, A.	V255	Wickenhauser, C.	V206	Wölflle, M.	P527, P826	Zhu, Y.	P620
Wehmeyer, J.	P719	Wider, D.	P928	Wöll, E.	V156	Zielinsky, C.	75, 121, V274, P572, P595
Wehr, C.	V381	Widmer, L.A.	P721	Wolter, H.	P846	Zimmermann, F.	V154
Weide, R.	P644, P695	Wieczarkowicz, A.	V205	Wörmann, B.	P471, P482, P483	Zimmermann, M.	V385, P827
Weidmann, E.	P723	Wieczorek, L.	P469	Wörtzel, S.	V339	Zimmermann, O.	V355
Weigang-Köhler, K.	P627, P698, P921	Wiedemann, B.	P860	Wrba, F.	P634	Zimmermann, R.	P933
Weigert, N.	V155	Wieder, H.	V151	Wuchter, P.	P764	Zimmermann, S.	V141, V149
Weigert, O.	P684	Wiedle, G.	P815	Wulf, A.	5	Zimmermann, Y.	V302, P681
Weihrauch, M.	P646	Wiegand, U.	P852	Wulf, G.	P494, P540, P551, P567, P702, P709, P714, P936	Zinke-Cerwenka, W.	P589
Wein, F.	V224, P930, P934, P938	Wiegel, T.	P836	Wunderle, L.	V138, P430	Zipperer, E.	160
Weinbach, B.	P644	Wiehe, J.	V355	Wyen, C.	P712, P733	Zips, D.	109a
Weingart, O.	V371, V379, V380	Wieland, W.	P652	Xue, X.	P929	Zirlik, K.	V236
Weinhardt, S.	V354	Wienker, T.	P607	Yaffe, M.B.	P835	Ziske, C.	P622, P701
Weinkauf, M.	V302, P681	Wienker, T.F.	V148	Yeoh, A.	P469	Zöchbauer-Müller, S.	P629
Weinschenk, T.	P906	Wieser, R.	P468	Yildirim, S.	P786, P817	Zohren, F.	P773
Weis, A.	V381, P896	Wieshammer, S.	P803	Zach, O.	P514, P517, P571	Zojer, N.	285a, P491, P737, P754, P755
Weis, J.	P780	Wiesneth, M.	V355, P899	Zacharias, S.	P760	Zöllinger, A.	P744
Weiß, J.	P640	Wieszniewsky, G.	P867	Zahrieh, D.	V236	Zoz, M.	P861
Weis, M.	P699	Wihlidal, P.	P439			Zschunke, M.	V197
Weisel, K.C.	V226, P872	Wilhelm, M.	102b, P711, P892			Zschuppe, E.	P491
Weiss, A.	23, 82	Wilhelm, M.	P921			Zuercher, G.	P893
Weiss, C.	P508	Wilke, H.	109c, 362			Zur Hausen, A.	P636
Weiss, L.	P796	Wilke, J.	P652			Zwingers, T.	P683
Weiss, S.	P909	Willeke, F.	P614, P637				
Weissinger, F.	P711, P921	Willenbacher, W.	V378				
Weitzer, W.	P594, P655	Williams, M.	P469				
Welslau, M.	P770	Willich, N.	P676				

Vorträge

Alle Vortragssäle sind mit einem PC-System unter Windows XP Professional und der aktuellen Version von Microsoft PowerPoint sowie einem Beamer für PowerPoint Präsentationen ausgestattet.

Bitte beachten Sie, dass in den Vortragssälen die Benutzung Ihres eigenen Laptops nicht zulässig ist. Doppelprojektionen sind ebenfalls nicht möglich.

Bitte geben Sie Ihre Präsentation möglichst frühzeitig in der Vortragsannahme (Ebene -1) ab, mindestens jedoch 60 Minuten vor Beginn Ihres Vortragsblockes. Akzeptiert werden alle gängigen Datenträger wie USB Memory Sticks und CD-ROMs. Sie haben in der Vortragsannahme die Möglichkeit, Ihre Präsentation kurz zu überprüfen.

Posterpräsentationen

Datum der Posterbegehung	Zeit der Posterbegehung	Montieren des Posters	Entfernen des Posters
Montag, 6. November 2006	18:00 – 19:30 Uhr	bis spätestens Montag, 6. November 2006 8:00 Uhr	bis spätestens Mittwoch, 8. November 2006 10:00 Uhr
Dienstag, 7. November 2006	18:00 – 19:30 Uhr		

Die Autoren müssen während der jeweiligen Posterbegehung vor ihrem Poster anwesend sein.

Bitte beachten Sie, dass das Auf- und Abhängen der Poster in der Verantwortung der Autoren liegt.

Poster, die nach Ablauf der oben erwähnten Zeit nicht abgenommen wurden, werden vom Veranstalter entfernt und vernichtet.

Offenlegung potentieller Interessenskonflikte

Potentielle Interessenskonflikte sind zu Beginn des Vortrages bzw. auf dem Poster offenzulegen.

Publikation

Alle akzeptierten Abstracts (Freie Vorträge und Poster) werden in einem Supplementum der Zeitschrift *Onkologie* publiziert.

Richtlinien für Referenten und Autoren

Samstag, 4. November 2006

18:30 Uhr

Konzert in der Thomaskirche

Die Thomaskirche in Leipzig ist als Wirkungsstätte Johann Sebastian Bachs und des Thomanerchores weltweit bekannt.

Sie sind herzlich eingeladen, ein Konzert mit namhaften Leipziger Musikern zu erleben.

Aus administrativen Gründen ist eine Anmeldung erforderlich, und es wird eine Schutzgebühr von € 15.– erhoben.



Samstag, 4. November 2006

20:00 Uhr

Museum der Bildenden Künste Leipzig

Am 4. Dezember 2004 wurde der neue Museumsbau auf dem Sachsenplatz eröffnet. Der quaderförmige Neubau des Museums wurde von den Architekten Karl Hufnagel, Peter Pütz und Michael Rafaelian entworfen. Die heutige Sammlung auf etwa 7000 m² Ausstellungsfläche beinhaltet ungefähr 3500 Gemälde, 1000 Skulpturen und 60 000 grafische Blätter. Bedeutendste Teile der Sammlung sind Werke niederländischer und deutscher Alter Meister wie Frans Hals und Lucas Cranach dem Älteren, Romantikern wie Caspar David Friedrich und Vertretern der Düsseldorfer Malerschule wie Andreas Achenbach. Das Highlight der

Skulpturensammlung stellt die Beethoven-Plastik von Max Klinger, dem grossen Sohn der Stadt, dar.

Erleben Sie eine Führung durch das Museum. Danach laden wir Sie zu einem Cocktail ein.

Aus administrativen Gründen ist eine Anmeldung erforderlich, und eine Schutzgebühr von € 15.– wird erhoben.

Sonntag, 5. November 2006

18:00 – ca. 21:00 Uhr

Eröffnung und Willkommens-Cocktail

Nach der Eröffnung der Tagung findet in der Industrieausstellung ein Willkommens-Cocktail statt.

Alle Teilnehmer, Begleitpersonen und Aussteller sind ganz herzlich dazu eingeladen.

Dienstag, 7. November 2006

20:00 Uhr

Bankett

Das Bankett findet in der Glashalle der Messe Leipzig statt.

Preis pro Person: € 40.–



Sonntag, 5. November 2006

13:30 – 17:30 Uhr

Leipzig erleben

Die Stadt Leipzig stellt sich vor – Messestadt, Stadt der Dichter und Denker, Musikstadt, Heldenstadt von 1989, „Boomtown“ und vieles mehr. Der Ausflug beginnt etwas ausserhalb von Leipzig beim berühmten Völkerschlachtdenkmal. Auf der weiteren Erkundungstour werden Sie die Altstadt, das Alte und das Neue Rathaus, die Mädlerpassage, den durch Goethe weltbekannten „Auerbachs Keller“ und die vielen alten Handelsehöfe kennen lernen. Aber auch die Moderne mit dem City-Hochhaus und seiner schönen Aussichtsplattform wird auf dieser Tour nicht fehlen.

Preis pro Person: € 25.–

Montag, 6. November 2006

13:30 – 17:00 Uhr

Leipzig musikalisch

Seit Jahrhunderten bürgen das Gewandhausorchester und der Thomaschor für den weltweit ausgezeichneten Ruf Leipzigs als Musikstadt. Bedeutende Musiker und Komponisten wie Bach, Lortzing, Mendelssohn, Wagner und Robert Schumann sowie die bekannten Kapellmeister Nikisch und Abendroth lebten und wirkten in Leipzig. Die Führung beinhaltet einen Besuch der Nikolaikirche mit einem exklusiven Orgelanspiel und der Thomaskirche, der bekanntesten Kirche Leipzigs, sowie des Barthels-Hofes, dem ältesten erhaltenen barocken Durchgangshof.

Preis pro Person: € 30.–

Montag, 6. November 2006

18:00 – 21:00 Uhr

Bummel durch die Leipziger Kneipenszene

Führung und Stadtrundgang auf Leipzigs „Drallewatsch“, einer Kneipen- und Erlebnismeile mit unverwechselbarem Flair. Einkehr in einen typischen Gasthof mit einem kleinen Imbiss und Umtrunk.

Preis pro Person: € 25.–

Dienstag, 7. November 2006

8:30 – 18:00 Uhr

Tagesausflug Meissen und Dresden

Auf dieser Tour erhalten Sie einen Einblick in die Geschichte der heutigen Hauptstadt des Freistaates Sachsen. Dresden zählt zu den schönsten deutschen Residenzstädten des Barocks. Auf einem ca. 2-stündigen Stadtrundgang werden alle wichtigen Sehenswürdigkeiten besucht, u.a. auch die berühmte und neu renovierte Frauenkirche. Des Weiteren haben Sie Gelegenheit, den alten Bischofssitz Meissen mit der Albrechtsburg, dem Dom, der Königlichen Porzellanmanufaktur und den schönen schmalen Gassen der Altstadt kennenzulernen.

Preis pro Person: € 45.–

(Mittagessen im Preis nicht inbegriffen)

Hinweis für alle Ausflüge

Treffpunkt für alle Ausflüge ist jeweils 15 Minuten vor Abfahrt im Kongresszentrum am Hotel-Schalter. Die Ausflüge finden nur dann statt, wenn eine Mindestteilnehmerzahl von 25 Personen erreicht wird. Falls ein Ausflug mangels Teilnehmern annulliert werden muss, werden die Kosten zurückerstattet. Bitte beachten Sie, dass ansonsten keine Rückerstattungen möglich sind.

Teilnahmegebühren

Mitglied DGHO, ÖGHO, SGMO	€ 140.–
Nichtmitglied	€ 290.–
Student*	€ 70.–
Pflegekräfte KOK*	€ 50.–
Pflegekräfte*	€ 70.–

*Nachweis erforderlich

Gebühren

Alle Gebühren beinhalten die gesetzliche Mehrwertsteuer.

Bankverbindung

Bank: Deutsche Bank AG, Weil am Rhein
Konto-Nr.: 2791358.00
BLZ: 683 700 24
IBAN Code: DE82 6837 0024 0279 1358 00
BIC: DEUTDEDB683
Begünstigter: AKM AG, CH-4005 Basel

Namenswechsel

Für einen Namenswechsel wird eine Gebühr von € 20.– erhoben.

Annullierung / Rückerstattung

Eine Annullierung konnte bis zum 14. September 2006 in schriftlicher Form erfolgen. Bei Annullierungen nach dem 14. September 2006 ist eine Rückerstattung der Tagungsgebühren nicht mehr möglich.

Allgemeiner Hinweis

Die Teilnehmerin / der Teilnehmer nimmt zur Kenntnis, dass sie / er dem Veranstalter gegenüber keine Schadenersatzansprüche stellen kann, wenn die Durchführung der Tagung durch unvorhergesehene politische oder wirtschaftliche Gewalt erschwert oder verhindert wird, sowie wenn Programmänderungen wegen Absagen von Referenten usw. erfolgen müssen. Mit der Anmeldung erkennt die Teilnehmerin / der Teilnehmer diesen Vorbehalt an.



Tagungsort

Congress Center Leipzig
Messe-Allee 1
D-04356 Leipzig / Deutschland
Tel. +49 341 41 45 52 52
Fax +49 341 41 45 52 53
www.ccl-leipzig.de

Kongresssprachen

Deutsch und Englisch
(keine Simultanübersetzung)

Ansprechpartner vor und nach der Tagung

AKM Congress Service
Postfach
CH-4005 Basel / Schweiz
Tel. +41 61 686 77 11
Fax +41 61 686 77 88
E-mail info@akm.ch
www.haematologie-onkologie-2006.de

Öffnungszeiten:

Montag – Freitag von
8.00 – 12.00 und 13.00 – 17.30 Uhr

Tagungssekretariat

Hämatologie-Onkologie 2006
c/o Congress Center Leipzig
Messe-Allee 1
D-04356 Leipzig / Deutschland
Tel. +49 341 41 45 52 52
Fax +49 341 41 45 52 53

Öffnungszeiten:

Samstag, 4. November 2006	8:00 – 17:30 Uhr
Sonntag, 5. November 2006	7:30 – 17:15 Uhr
Montag, 6. November 2006	6:45 – 17:45 Uhr
Dienstag, 7. November 2006	8:00 – 17:45 Uhr
Mittwoch, 8. November 2006	6:45 – 13:00 Uhr

Öffnungszeiten der Ausstellung

Sonntag, 5. November 2006	XX – XX Uhr
Montag, 6. November 2006	XX – XX Uhr
Dienstag, 7. November 2006	XX – XX Uhr

Wir empfehlen Ihnen den Besuch der Ausstellung, denn die ausstellenden Firmen leisten einen wesentlichen Beitrag zur Finanzierung der Tagung.

Kostenlose Benutzung der öffentlichen Verkehrsmittel

Während der Dauer der Tagung (4. – 8. November 2006) können alle Tagungsteilnehmer die öffentlichen Verkehrsmittel im Stadtbereich kostenlos benutzen. Sie finden ein Ticket bei Ihren Tagungsunterlagen.

Hotelunterkünfte und Ausflüge

Bitte wenden Sie sich an den Hotel-Schalter im Eingangsbereich.

Leipzig

Beim Informationsschalter auf Ebene 0 erhalten Sie Leipzig-spezifische Informationen (Restaurant- und Shoppingtips, Informationen über Museen, Theater und Konzerte, etc.).

Namensschilder

Bitte tragen Sie Ihr Namensschild gut sichtbar während der gesamten Dauer der Tagung. Lediglich mit Ihrem Namensschild erhalten Sie Zugang zu den Vortragssälen, der Ausstellung und der Posterausstellung.

Abstract-Buch

Alle akzeptierten Abstracts sind in einem Supplementum der Zeitschrift Onkologie publiziert. Sie finden ein Exemplar in Ihrer Kongresstasche.

Abstracts auf CD-ROM

Die CD-ROM wurde mit freundlicher Unterstützung von Roche produziert. Sie erhalten ein kostenloses Exemplar am Stand von Roche (Nr. 351/451).

Internetzugang

Im Bereich der Ausstellung befindet sich ein Internet Corner, der allen Teilnehmern kostenlos zur Verfügung steht.

Via W-LAN erhalten die Teilnehmer auf ihren eigenen Laptops ebenfalls kostenlosen Internetzugang.

Kunstaussstellung

Vor den Sälen 1, 2 und 3 (Ebene 1) stellen namhafte Künstler wie Soffritter und Horlbeck ihre Werke aus.

Kinderhort

Auf Ebene -1 befindet sich ein Kinderhort, der während der Öffnungszeiten des Tagungssekretariats geöffnet ist.

Presse

Pressevertreter erhalten bei Vorlage ihres Presseausweises kostenlosen Zutritt zur Tagung. Der Presseraum befindet sich auf Ebene -1.

Mobiltelefone

Mobiltelefone müssen beim Betreten der Vortragsäle sowie der Posterausstellung ausgeschaltet werden.

Rauchverbot

Bitte beachten Sie, dass dies eine Nichtraucher-tagung ist. Es darf im gesamten Kongresszentrum und in der Halle 2 (Ausstellung / Posterausstellung) nicht geraucht werden.

CME-Akkreditierung

Die Jahrestagung ist bei der EHA, der ESMO, der AIO sowie bei der Deutschen Ärztekammer (15 Punkte Kategorie B) und der Österreichischen Ärztekammer akkreditiert.

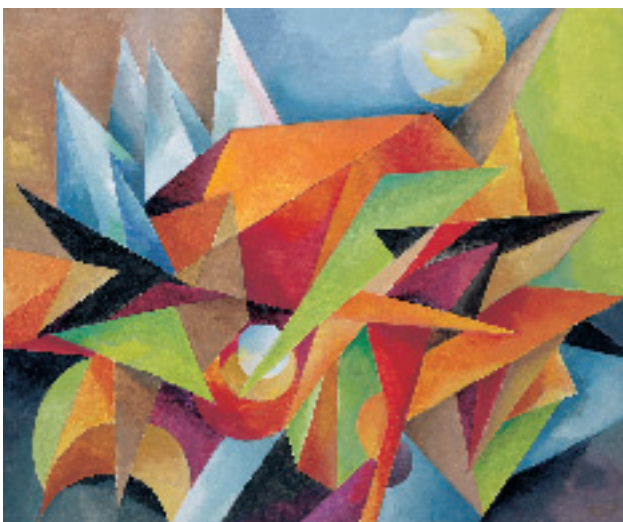
Mitgliedschaften bei den teilnehmenden Gesellschaften

Informationen finden Sie auf den Webseiten der Gesellschaften.

DGHO www.dgho.de

OEGHO www.oegho.at

SGMO www.e-onco.ch/ssmo



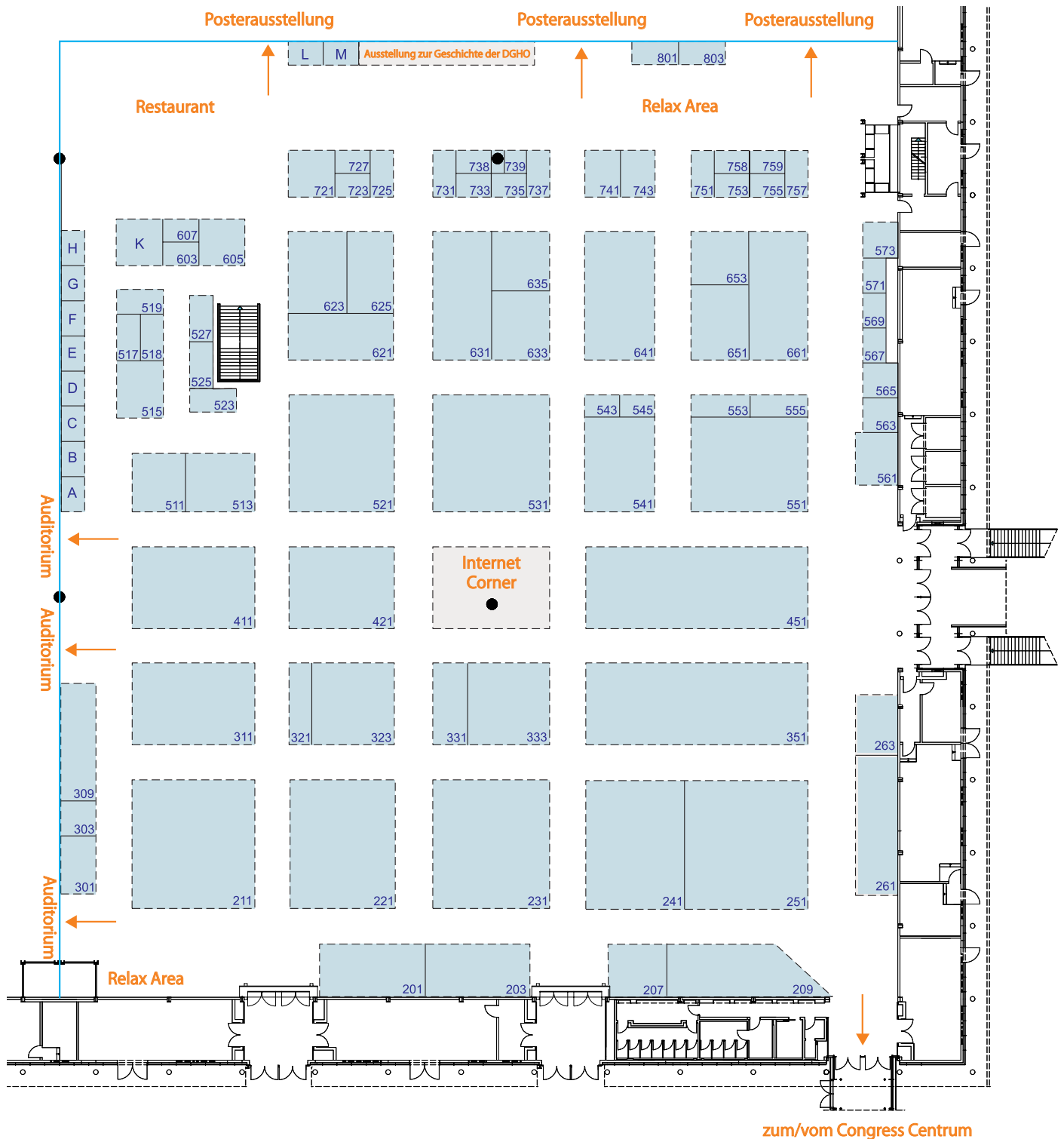
Sponsoren

Alexion Europe
Amgen GmbH
art tempi communications GmbH
AstraZeneca GmbH
Bayer Vital GmbH
Bioenvision
Bristol-Meyers Squibb GmbH & Co. KGaA
Celgene GmbH
Essex Pharma GmbH
Genzyme GmbH
Gilead Sciences GmbH
Hoffmann-La Roche AG
Lilly Deutschland GmbH
Merck Pharma GmbH
MSD Sharp & Dohme GmbH
Mundipharma GmbH
Novartis Pharma GmbH
Ortho Biotech
Ortho Biotech
Pfizer Pharma GmbH
Pharmion Germany GmbH
ribosepharm GmbH
Sanofi-Aventis Deutschland GmbH
Schering Deutschland GmbH
Shire Deutschland GmbH & Co. KG
Sirtex Medical Europe GmbH
The Binding Site GmbH
Therakos
Wyeth

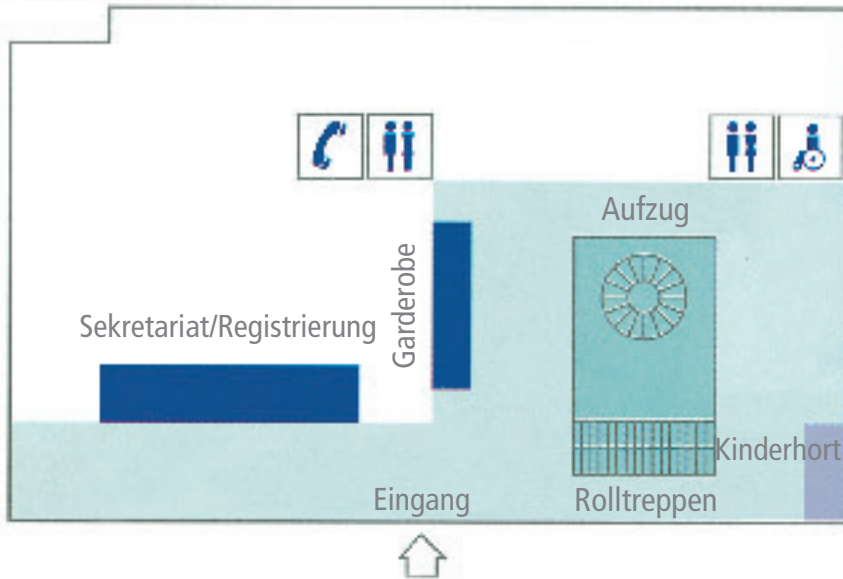
Ausstellerliste

- 735 Agendia GmbH, Grafing / D
743 Alcedis GmbH, Giessen / D
251 Amgen GmbH, München / D
511 Apocare Pharma GmbH, Bielefeld / D
641 AstraZeneca GmbH, Wedel / D
511 Axios Pharma GmbH, Bielefeld / D
523 Axon Lab AG, Baden - Dättwil / CH
Axon Lab AG, Reichenbach / Stuttgart / D
Axon Lab AG, Linz / A
515 B. Braun Melsungen AG, Melsungen / D
261 Baxter Deutschland GmbH,
Unterschleissheim / D
411 Bayer Vital GmbH, Leverkusen / D
545 Becton Dickinson GmbH, Heidelberg / D
517 Berlin-Chemie AG, Berlin / D
721 Bioenvision, Mannheim / D
737 Bio-Implant / Tauropharm, Hamburg / D
759 BMT Braun Limited, Mötzingen / D
333 Bristol-Myers Squibb GmbH + Co. KGaA,
München / D
421 Celgene GmbH, München / D
633 Cell Pharm GmbH, Bad Vilbel / D
527 Cellgenix GmbH, Freiburg / Breisgau / D
755 CellSystems, St. Katharinen / D
661 Cephalon Pharma GmbH,
Zeneus Pharma GmbH, Martinsried / D
541 Chugai Pharma Marketing Ltd.,
Frankfurt a. Main / D
203 Essex Pharma, München / D
758 Evomed Medizinservice GmbH, Darmstadt / D
741 Fresenius Biotech GmbH, Gräfeling / D
301 Fresenius Kabi HD GmbH, Bad Homburg / D
309 Genzyme GmbH, Neu-Isenburg / D
513 Gilead Sciences GmbH,
Martinsried b. München / D
631 GlaxoSmithKline GmbH & Co. KG, München / D
263 Grünenthal GmbH, Aachen / D
555 Hexal AG, Holzkirchen / D
573 Horn Imaging GmbH, Aalen / D
551 Lilly Deutschland GmbH, Bad Homburg / D
303 Lipomed GmbH, Bochum / D
653 Mayne Pharma & Onkoworks, München / D
323 Medac, Wedel / D
553 Medidata Medical Imaging CRO, Konstanz / D
207 Megapharm GmbH, Sankt Augustin / D
221 Merck Pharma GmbH, Darmstadt / D
321 Miltenyi Biotec, Bergisch Gladbach / D
525 MiroMed / MTT GmbH, Frankfurt / Erfurt / D
209 MSD Sharp & Dohme GmbH, Haar / D
651 Mundipharma GmbH, Limburg/Lahn / D
201 NeoCorp AG, Weilheim / D
603 Nicolai GmbH, Langenhagen / D
733 Norgine GmbH, Marburg / D
231 Novartis Pharma GmbH, Nürnberg / D
605 Octapharma, Langenfeld / D
727 OMT GmbH, Rottweil / D
211 Ortho Biotech - Division of
Janssen-Cilag GmbH, Neuss / D
739 PakuMed medical products GmbH, Essen / D
753 Peter Pflugbeil GmbH, Zorneding / D
531 Pfizer Pharma GmbH, Karlsruhe / D
543 Pfrimmer Nutricia GmbH, Erlangen / D
621 Pharmion Germany GmbH, Hamburg / D
635 Pierre Fabre Pharma, Freiburg / D
723 Protherics, London / UK
521 Ribosepharm GmbH, Gräfelfing / D
567 Riemser Arzneimittel AG, Greifswald -
Insel Piems / D
351 Roche Pharma AG, Grenzach-Wyhlen / D
451 Roche Pharma AG, Grenzach-Wyhlen / D
241 Sanofi-Aventis Deutschland GmbH, Berlin / D
518 Sarstedt AG & Co., Nümbrecht / D
311 Schering Deutschland GmbH, Berlin / D
565 Schreiner MediPharm, Oberschleissheim / D
331 Shire Deutschland, Köln / D
738 Swedish Orphan International GmbH, Langen / D
623 Talecris Biotherapeutics GmbH,
Frankfurt a. Main / D
569 THC Pharm GmbH, Frankfurt am Main / D
519 The Binding Site GmbH, Schwetzingen / D
561 Therakos, Norderstedt / D
571 UpToDate, Mülheim / Ruhr / D
625 Wyeth Pharma GmbH, Münster / D
563 ZLB Behring GmbH, Hattersheim am Main / D
- Bücher**
801 Springer Medizin Verlag, Heidelberg / D
803 S. Karger Verlag für Medizin und
Naturwissenschaften GmbH, Freiburg / D
- NPOs**
A DGHO e.V., Berlin / D
B Kompetenznetz Maligne Lymphome, Köln / D
C Kompetenznetz Leukämien, Mannheim / D
D SKD - Stiftung Knochenmark- &
Stammzellspende Deutschland, Gauting / D
E EHx e.V., Essen / D
F Deutsche Leukämie- & Lymphom-Hilfe e.V.,
Bonn / D
F ME - Myeloma Euronet
F LC - Lymphoma Coalition
K DKMS - Deutsche Knochenmark-
spenderdatei gGmbH, Tübingen / D
L Deutsche Hirntumorhilfe e.V., Leipzig / D
M EMP - European Myeloma Platform, Genk / B

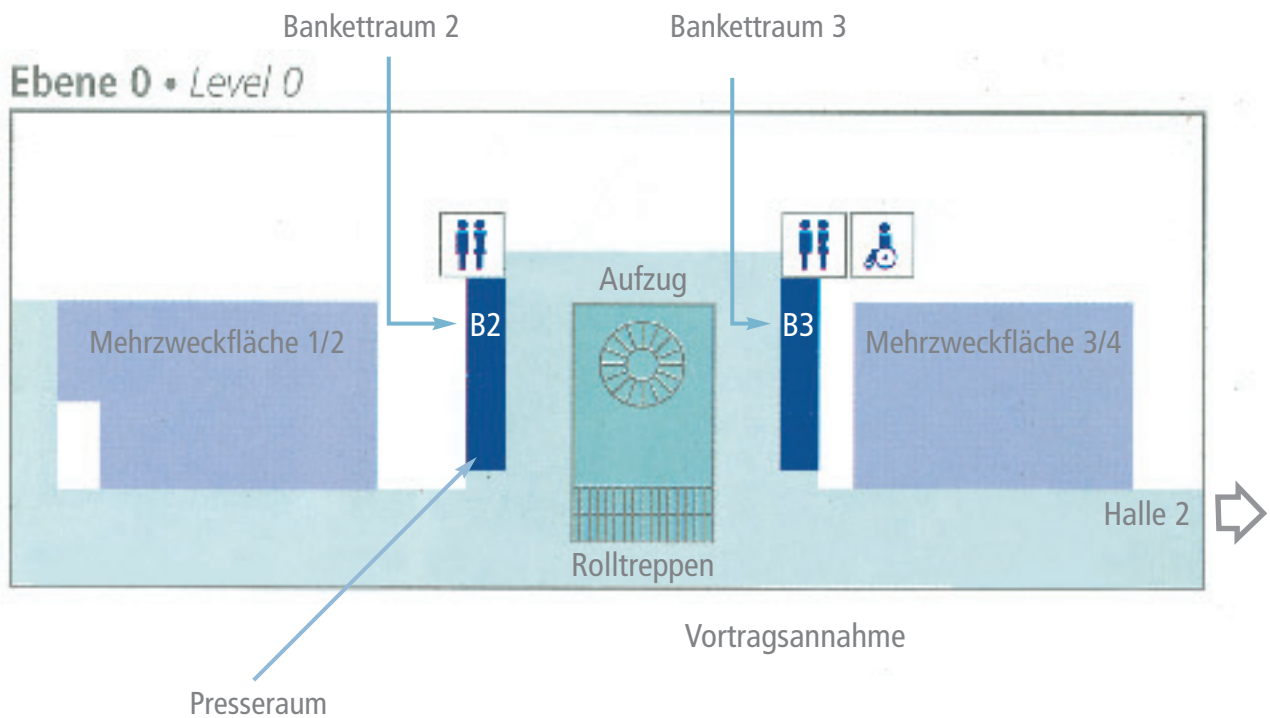
Ausstellungsplan



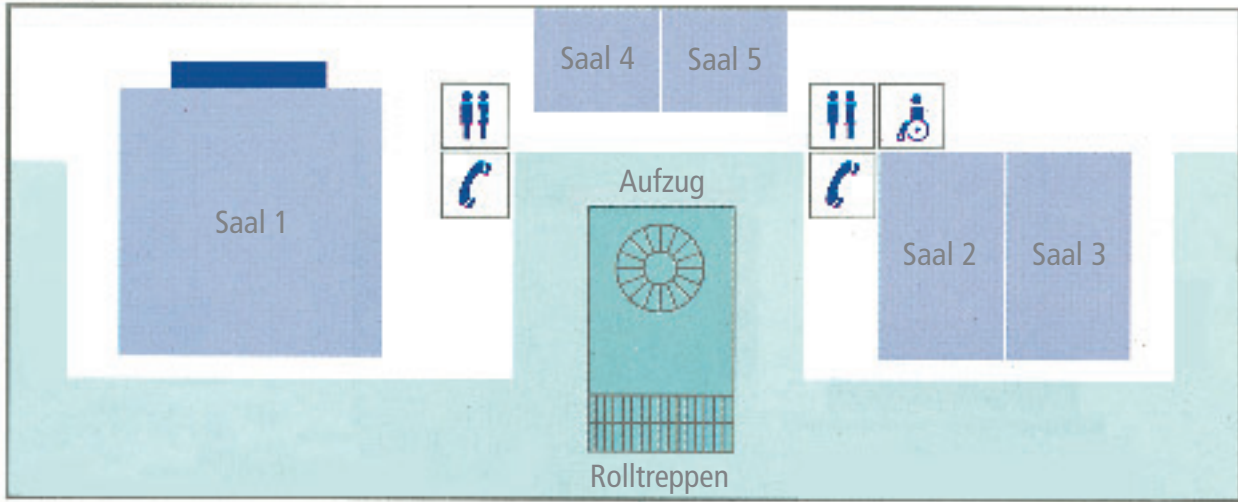
Ebene -1 • Level -1



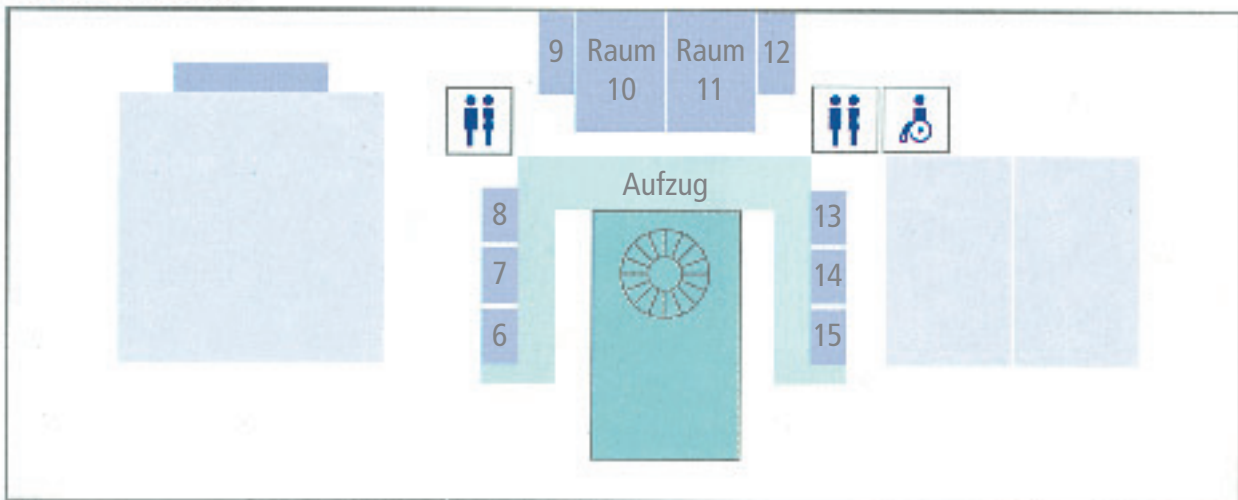
Ebene 0 • Level 0



Ebene 1 • Level 1



Ebene 2 • Level 2



Congress Center Leipzig



I AM

the human significance
the diversity of patients
the complexity of the disease

Angesichts der Vielschichtigkeit maligner Bluterkrankungen ist Bristol-Myers Squibb ein wichtiger Partner im Bereich der Hämatologie. Unser Ziel ist es, neue Therapien zur Marktreife zu führen, denn Patienten können auf lebenserhaltende Innovationen nicht warten.

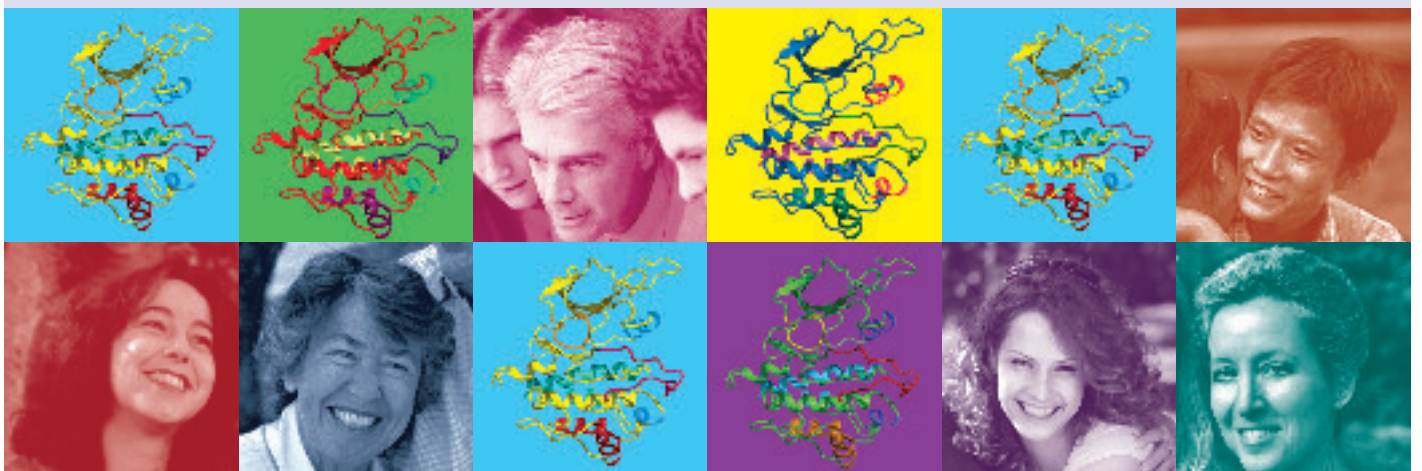
SYMPOSIUM
Imatinib - Resistenz:
Quo vadis?
Am Sonntag, 05.11.2006
13:30-15 Uhr in Saal 5

WE
ARE

focused on results
innovators in drug design
committed to the haematology community



Bristol-Myers Squibb





NOVARTIS
ONCOLOGY

Wissen schafft Leben



glivec[®]
Imatinib

Femara[®]
(Letrozol)

ZOMETAX[®] 
Zoledronsäure



Octreotid/I.M. INJEKTION

*1x im
Monat!*

Sandostatin[®] LAR[®]
MONATSDEPOT

Lebenswert leben